

並列計算機応用

信号処理

画像処理

3次元グラフィックス処理

VLSICAD

データベース処理

人工知能

数値計算

第6章 並列処理応用

6.1 信号処理

6.1.1 FFTの原理

$$f'_k = \frac{1}{N} \sum_{j=0}^{N-1} \exp(-2\pi i j k / N) f_j \quad (1)$$

$$N\{6N+2(N-1)+2\}=8N^2 \quad (2)$$

6.1.2 N点フーリエ変換のp点、q点フーリエ変換への分解

$$N=pq$$

$$h_l^r = \sum_{j=0}^{p-1} f_{l+jq} \exp(-2\pi i j r / p) \quad (3)$$

$$f'_{r+pm} = \sum_{k=0}^{N-1} \exp\{-2\pi i (r+pm)k / N\} f_k \quad (4)$$

ただし、 $k=l+jq$

$$0 \leq r \leq p-1, 0 \leq l \leq q-1$$

$$0 \leq m \leq q-1, 0 \leq j \leq p-1,$$

$$0 \quad | \quad q-1$$

$$0 \quad j \quad p-1$$

とおいて整理すると、

$$\begin{aligned} f'_{r+pm} &= \sum_{l=0}^{q-1} \sum_{j=0}^{p-1} \exp\left\{-2\pi i (r+pm)(l+jq)/(pq)\right\} f_{l+jq} \\ &= \sum_{l=0}^{q-1} \left\{ \exp\left(-2\pi i lm/q\right) \exp\left(-2\pi i lr/p\right) \right. \\ &\quad \left. \sum_{j=0}^{p-1} \exp\left(-2\pi i jr/p\right) f_{l+jq} \right\} \quad (5) \\ &= \sum_{l=0}^{q-1} \exp\left(-2\pi i lm/q\right) \exp\left(-2\pi i lr/N\right) h_l \end{aligned}$$

$$\begin{array}{c}
 \begin{array}{c} q \\ \downarrow \\ l \end{array} \\
 \begin{array}{c} p \\ \downarrow \\ j \rightarrow \end{array} \\
 \begin{array}{c} \left[\begin{array}{cccc} f_0 & f_1 & f_l & f_{q-1} \\ f_q & f_{q+1} & f_{l+q} & f_{2q-1} \\ \vdots & & \vdots & \vdots \\ f_{(p-1)q} & f_{l+(p-1)q} & f_{pq-1} & \end{array} \right] \quad \left[\begin{array}{c} h_0^0 \\ h_0^1 \\ \vdots \\ h_0^{(p-1)} \end{array} \right] \quad \left[\begin{array}{c} h_l^0 \\ h_l^1 \\ \vdots \\ h_l^{(p-1)} \end{array} \right] \quad h_{q-1}^0 \\ \quad \quad \quad \cdots \quad \quad \quad \vdots \\ \quad \quad \quad h_{q-1}^{(p-1)} \end{array} \end{array} \\
 \text{(a) } p \text{ 点 FFT} \quad \text{(b) }
 \end{array}$$

$$\begin{array}{c}
 \begin{array}{c} l \\ \downarrow \\ r \rightarrow \end{array} \\
 \begin{array}{c} \left[\begin{array}{cccc} h_0^0 \omega^0 & h_1^0 \omega^0 & h_l^0 \omega^0 & h_{q-1}^0 \omega^0 \\ \vdots & \vdots & \vdots & \vdots \\ h_0^r \omega^0 & h_1^r \omega^r & \cdots h_l^r \omega^{lr} & \cdots h_{q-1}^r \omega^{(q-1)r} \\ \vdots & \vdots & \vdots & \vdots \\ h_0^{(p-1)} \omega^0 & \cdots & \cdots & h_{q-1}^{(p-1)} \omega^{(q-1)(p-1)} \end{array} \right] \quad \left[\begin{array}{c} \bar{f}_0 \\ \bar{f}_p \\ \bar{f}_{p+1} \\ \vdots \\ \bar{f}_r \\ \bar{f}_{r+p} \\ \cdots \\ \bar{f}_{r+pm} \\ \cdots \\ \bar{f}_{r+p(q-1)} \\ \vdots \\ \bar{f}_{p-1} \\ \bar{f}_{2p-1} \\ \cdots \\ \bar{f}_{pq-1} \end{array} \right] \\ \quad \quad \quad r \rightarrow \quad \quad \quad m \downarrow \end{array} \end{array} \\
 \text{(c) } q \text{ 点 FFT} \quad \text{(d) }
 \end{array}$$

$$\begin{array}{c}
 \begin{array}{c} 2 \text{ 点 FFT} \\ \Downarrow \end{array} \\
 \left(\begin{array}{cccc} f_0 & f_1 & \cdots & f_e \\ f_{N/2} & f_{N/2+1} & \cdots & f_{e+N/2} \\ \vdots & \vdots & \ddots & \vdots \\ \vdots & \vdots & \ddots & \vdots \\ f_{N/2-1} & f_{N/2} & \cdots & f_{N-1} \end{array} \right) \quad \left(\begin{array}{cccc} f_0 + f_{N/2} & f_1 + f_{N/2+1} & \cdots & f_e + f_{e+N/2} \\ f_0 - f_{N/2} & f_1 - f_{N/2+1} & \cdots & f_e - f_{e+N/2} \\ \vdots & \vdots & \ddots & \vdots \\ \vdots & \vdots & \ddots & \vdots \\ f_{N/2-1} + f_{N/2} & f_{N/2} + f_{N/2+1} & \cdots & f_{N/2-1} + f_{N-1} \\ f_{N/2-1} - f_{N/2} & f_{N/2} - f_{N/2+1} & \cdots & f_{N/2-1} - f_{N-1} \end{array} \right)
 \end{array}$$

6.1.3 FFTアルゴリズムの導出

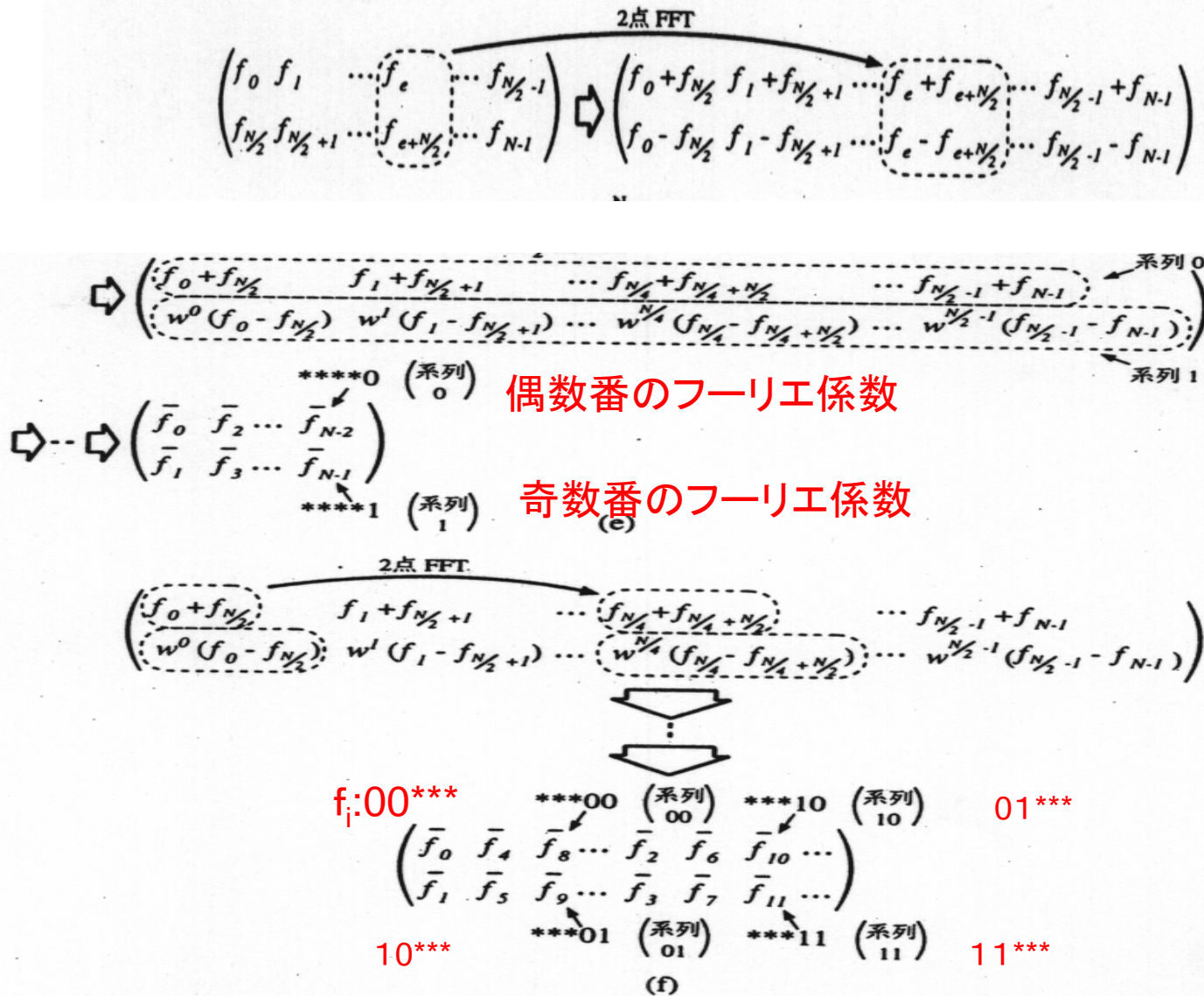
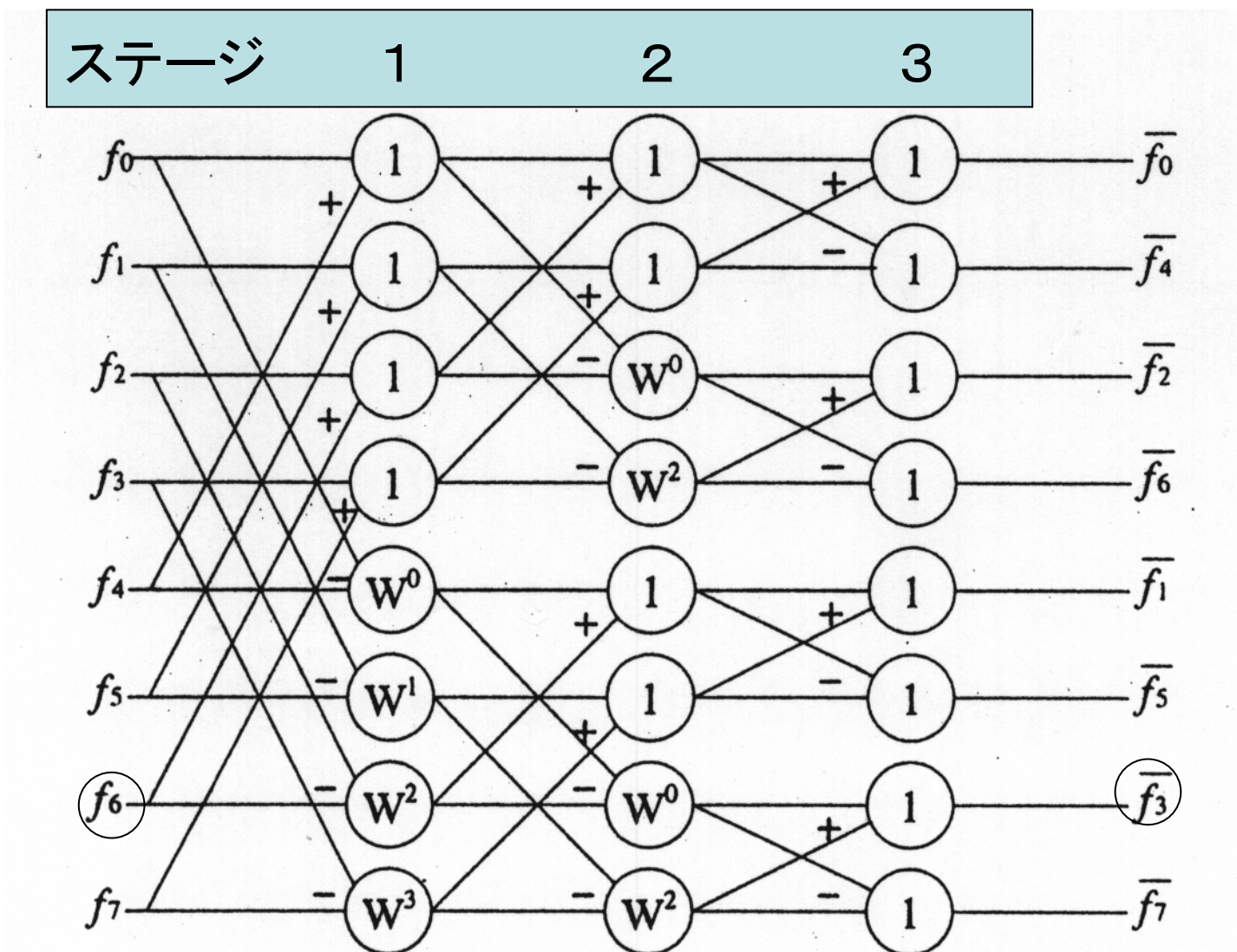


図 6.1 FFT の計算



6: 110 逆2進 011:3

逆2進順

6.1.3 FFTと並列処理

(1) 逐次処理の場合

$$T = 5N \log N$$

(8) 半性能長

(2) パイプライン処理の場合

$$\text{ベクトル長 } n \text{ のバタフライ演算: } 10 \cdot (n + N_{1/2}) \quad (9)$$

$$T_{p1} = 10 \alpha \sum_{i=1}^{\log N} (N 2^{-i} + N_{1/2}) 2^{i-1} \quad (10)$$

$$= 5N \log N + 10 N_{1/2} (N-1)$$

$$T_{p2} = 10 \cdot \sum_{i=1}^{\log N} N / 2^i \cdot (2^{i-1} + N_{1/2}) \quad (11)$$

$$= T_{p1}$$

$$\begin{aligned} T_{p3} &= 10 \cdot \left\{ \sum_{i=1}^K (N 2^{-i} + N_{1/2}) 2^{i-1} + \right. \\ &\quad \left. \sum_{i=K+1}^{\log N} N / 2^i \cdot (2^{i-1} + N_{1/2}) \right. \\ &= 10 \cdot (N_{1/2} 2^K + N N_{1/2} 2^K - 2N_{1/2}) + 5N \log N \quad (12) \end{aligned}$$

$$dT_{p3}/dK=0 \quad (13)$$

より、

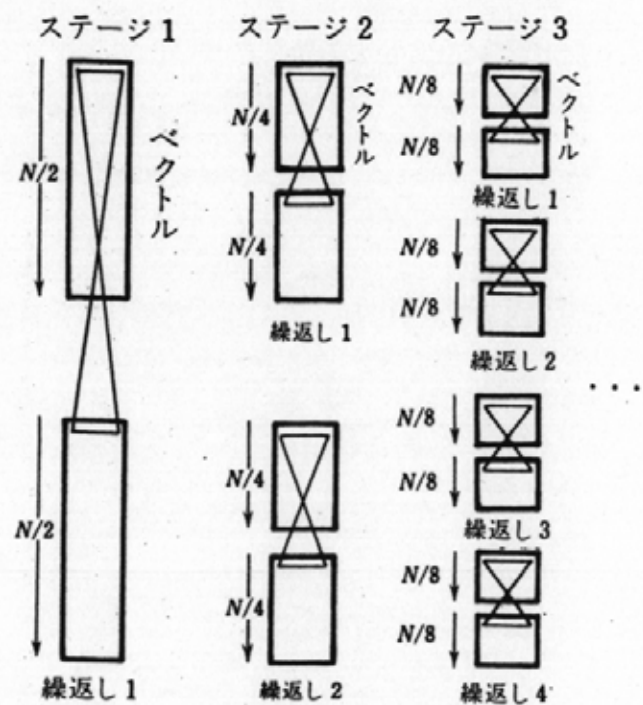
$$K=1/2 \log N \quad (14)$$

式(9)、(11)より、

$$T_{p3}=5N\alpha' \log N + 20\alpha' N_{1/2}(\sqrt{N}-1) \quad (15)$$

スピードアップ率 S_p は、

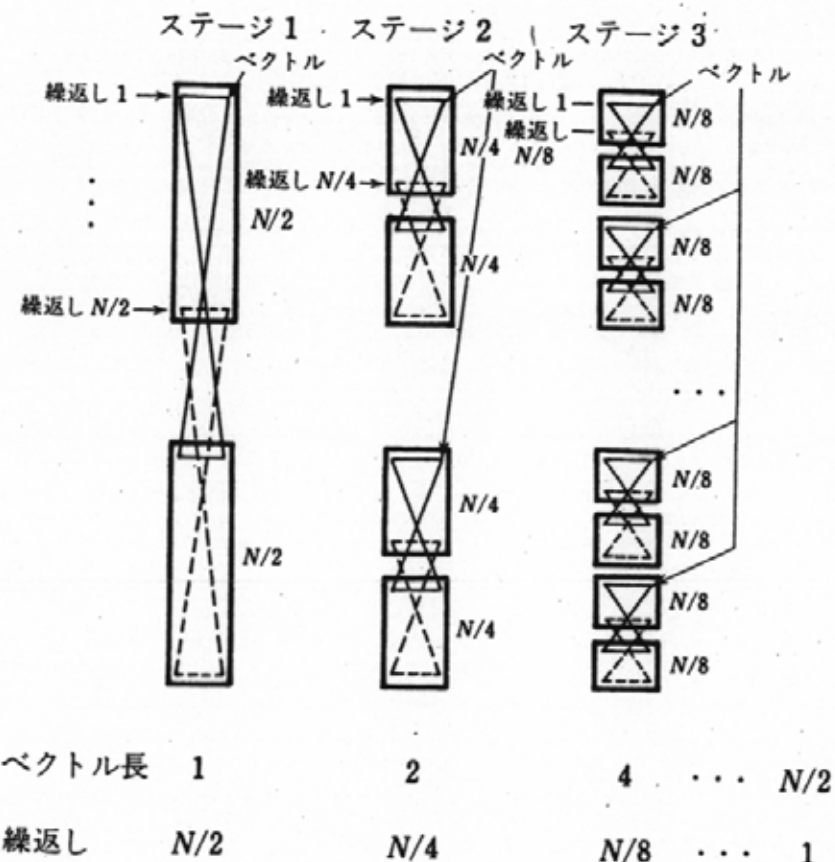
$$S_p = \frac{1}{\alpha'} \left\{ 1 + 4N_{1/2} / (\sqrt{N} \log N) \right\} \quad (16)$$



ベクトル長	$N/2$	$N/4$	$N/8$...	1
繰返し	1	2	4	...	$N/2$

$$\begin{aligned}
 T_{p1} &= 10\alpha' \sum_{i=1}^{\log_2 N} (N \cdot 2^{-i} + N_{1/2}) 2^{i-1} \\
 &= 10\alpha' \{ N/2 \log_2 N + N_{1/2} (N-1) \}
 \end{aligned}$$

(a) 最内ループ i でベクトル化



ベクトル長	1	$N/2$	$N/4$	4	...	$N/2$
繰返し						1

$$\begin{aligned}
 T_{p2} &= 10\alpha' \sum_{i=1}^{\log_2 N} N \cdot 1/2^i (2^{i-1} + N_{1/2}) \\
 &= 10\alpha' \{ N/2 \log_2 N + N_{1/2} (N-1) \}
 \end{aligned}$$

(b) 最内ループ k でベクトル化

(3) 並列処理の場合

$\log P$ 段までの演算時間

$8(N\alpha/P) \log P$

ステージ 1 2 3 $\log P$

データ距離 $N/2$ $N/4$ $N/8$... N/P

後半の $\log(N/P)$ ステージ

$(5N\alpha/P) \log(N/P)$ $F+G, W(F-G)$ の計算を (1 8)

スピードアップ率 S $N/(2P)$ 回

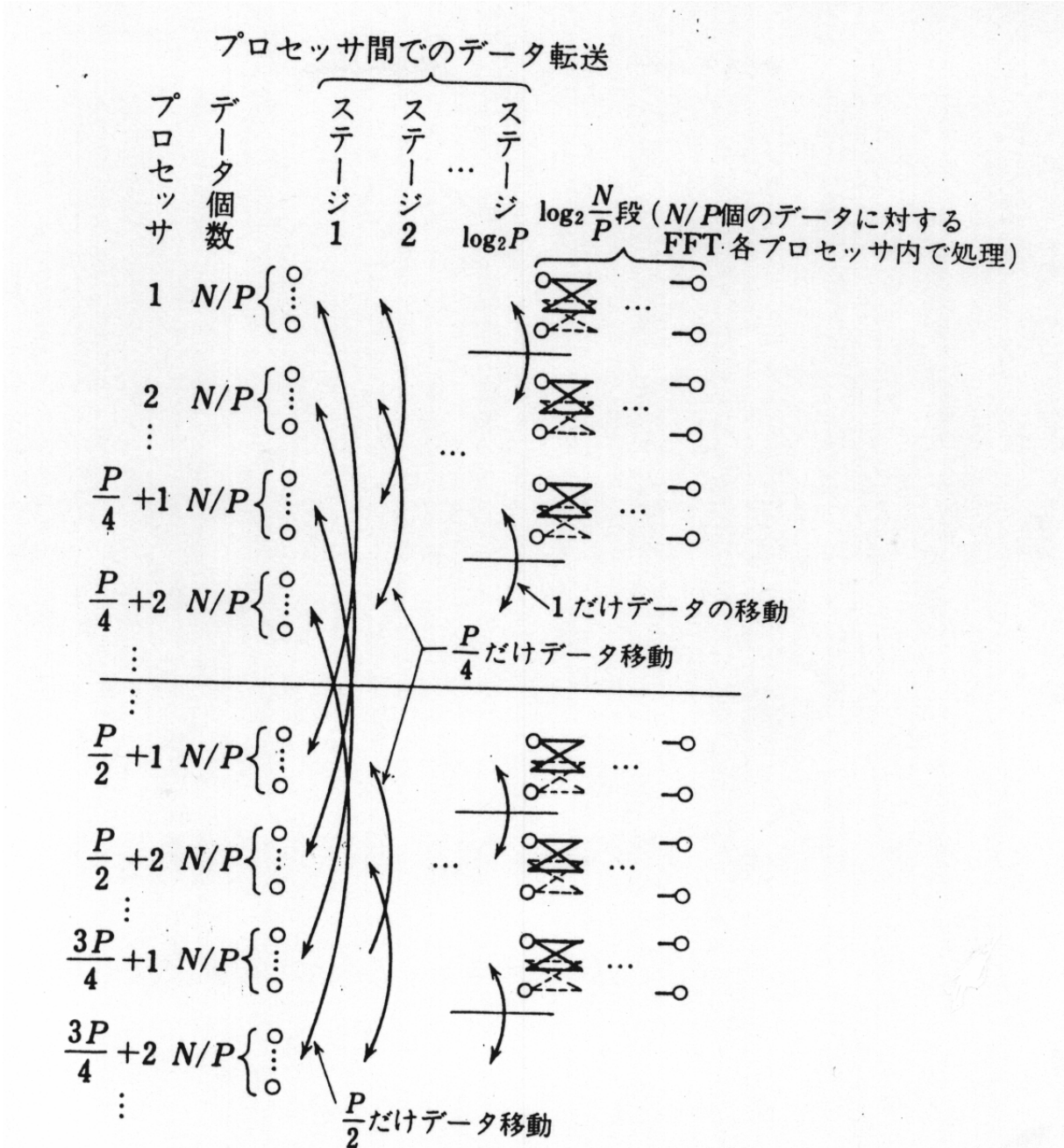
$S = 5N \log N / \{ (8N/P) \log P + (5N/P) \log(N/P) + \text{転送時間} \}$

(1 9)

$= P / [1 + \{3 \log P + (\underline{P/N} \text{ 転送回数})\} / 5 \log N]$

ここに、 $=$ / である。

$P, P^{1/2}, \log P$



リング網

転送時間

1回目 : $(N/P) * (P/2)$

2回目 : $P/4$ だけ離れたプロセッサ間での
データ交換 $(N/P) * (P/4) * 2$

3回目から $\log P$ 回までは同様に、

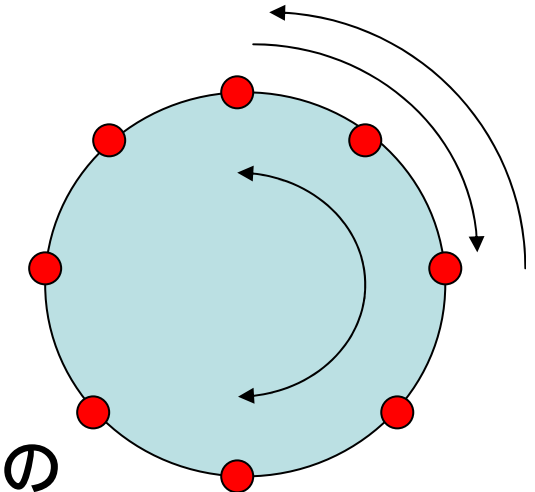
$(N/P) * (P/8) * 2, \dots, (N/P) * 1 * 2$

全転送回数 : (20)

$$(N/P) \{ P/2 + 2(P/4 + P/8 + \dots + P/2^{\log P}) \} = N(3/2 - 2/P)$$

スピードアップ率 S_r

$$S_r = P / [1 + (3 \log P + 3/2 - P) / 5 \log N] \quad (21)$$



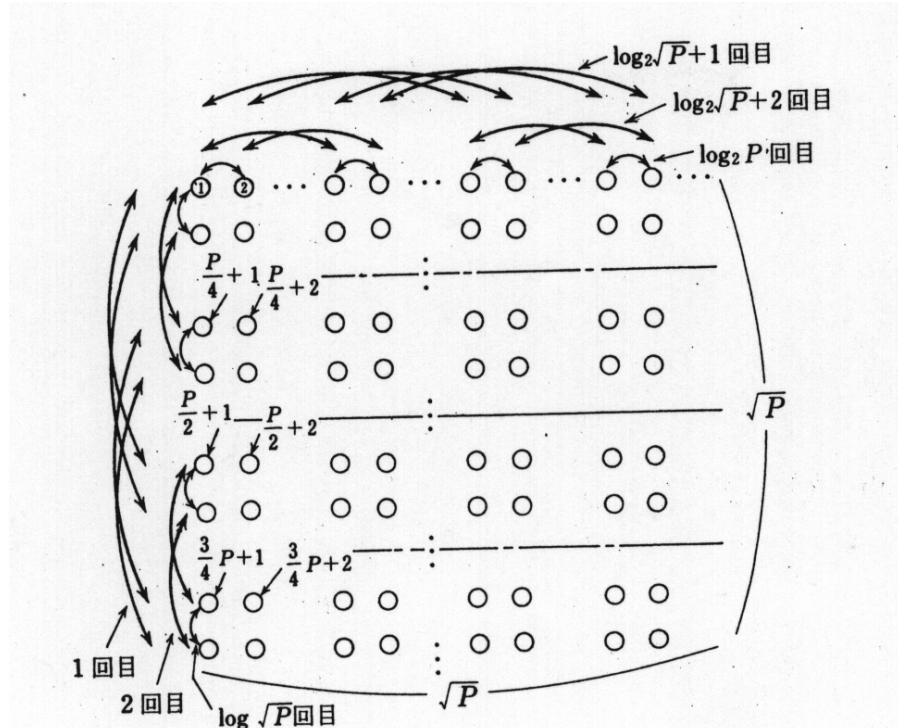
トーラス

転送回数 :

$$(3/\sqrt{P} - 4/P)N \quad (22)$$

スピードアップ率 S_t

$$S_t = P / [1 + (3 \log P + 3\sqrt{P}) / 5 \log N] \quad (23)$$



転送回数

$$1\text{回目} : \frac{N}{P} \times \frac{\sqrt{P}}{2}$$

$$2\text{回目} : \frac{N}{P} \times \frac{\sqrt{P}}{4} \times 2$$

⋮

$$\log_2 \sqrt{P}\text{回目} : \frac{N}{P} \times 2$$

$$\log_2 \sqrt{P} + 1\text{回目} : \frac{N}{P} \times \frac{\sqrt{P}}{2}$$

$$\log_2 \sqrt{P} + 2\text{回目} : \frac{N}{P} \times \frac{\sqrt{P}}{4} \times 2$$

⋮

$$\log_2 P\text{回目} : \frac{N}{P} \times 2$$

$$\text{合計} : \left(\frac{3}{\sqrt{P}} - \frac{4}{P} \right) N$$

ハイパキューブ

通信回数は最初の $\log P$ 段まで 1 段当たり $2N/P$

全転送回数

$$(2N/P)\log P \quad (24)$$

スピードアップ率 S_{bnc}

$$S_{bnc} = P/[1 + (3\log P + 2\log P)/5\log N] \quad (25)$$

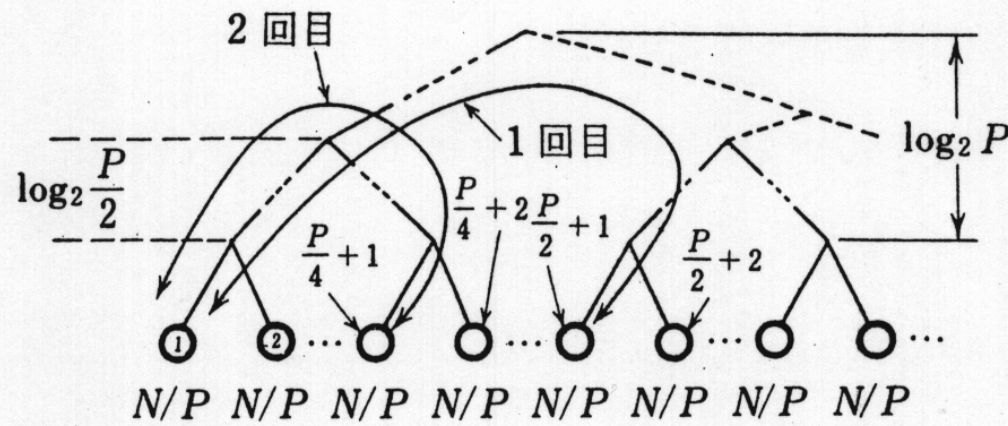
トリー

ファットトリーの転送回数：

$$(2N/P) * (\log P) * (\log P + 1) \quad (26)$$

スピードアップ率 S_{ft}

$$S_{ft} = P / [1 + (3 \log P + 2 (\log P)^2) / 5 \log N] \quad (27)$$



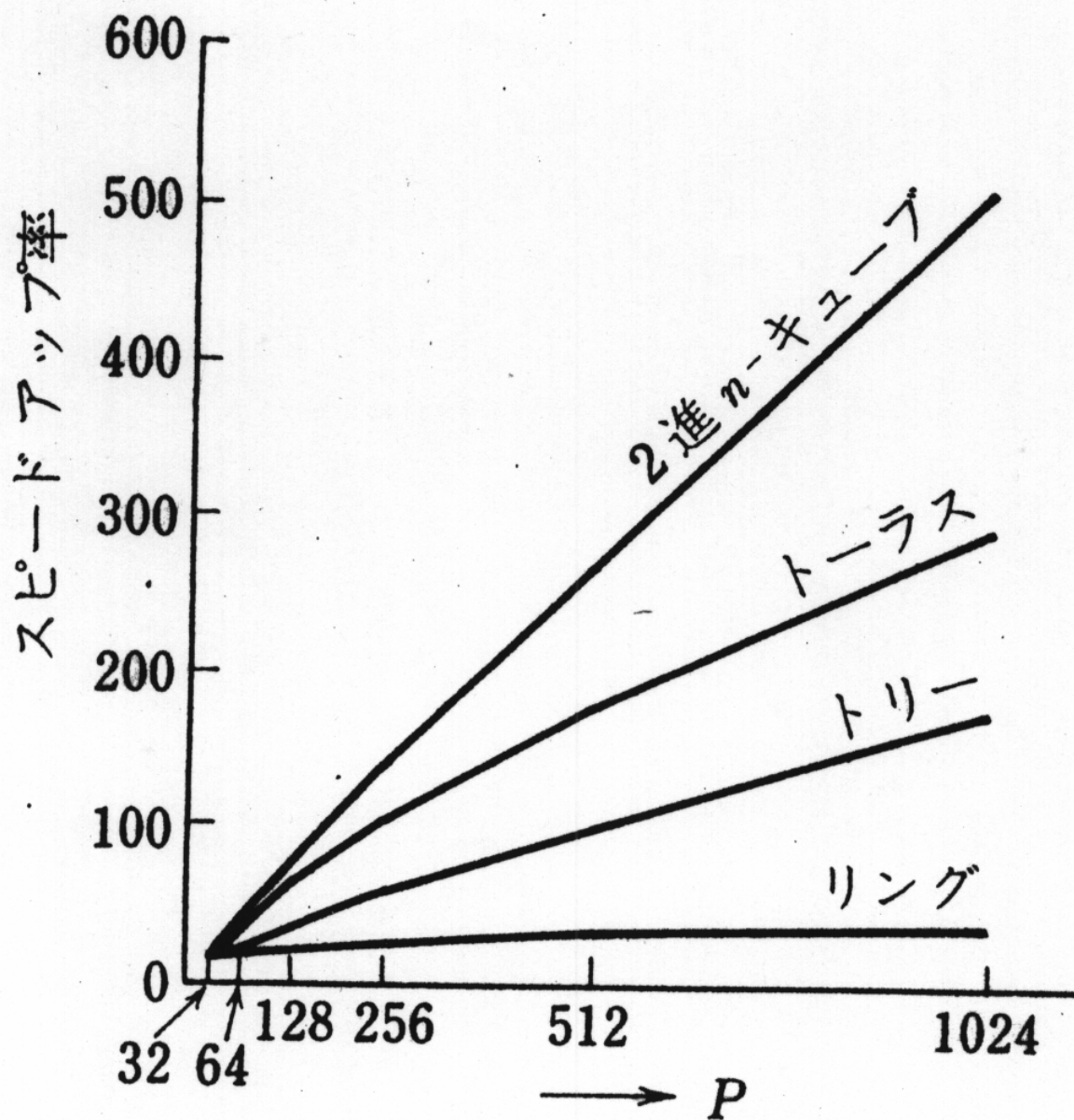
$$1\text{回目} : \frac{N}{P} \times 2 \log_2 P \times 2$$

$$2\text{回目} : \frac{N}{P} \times 2 \log_2 \frac{P}{2} \times 2$$

⋮

$$\log_2 P \text{回目} : \frac{N}{P} \times 2 \log_2 \frac{P}{2^{\log_2 P - 1}} \times 2$$

$$\text{合計} : \frac{2N}{P} (\log_2 P) (\log_2 P + 1)$$



(5) 専用FFTコンピュータ

N点FFT ($N=pq$) :

パイプライン処理

p点FFT

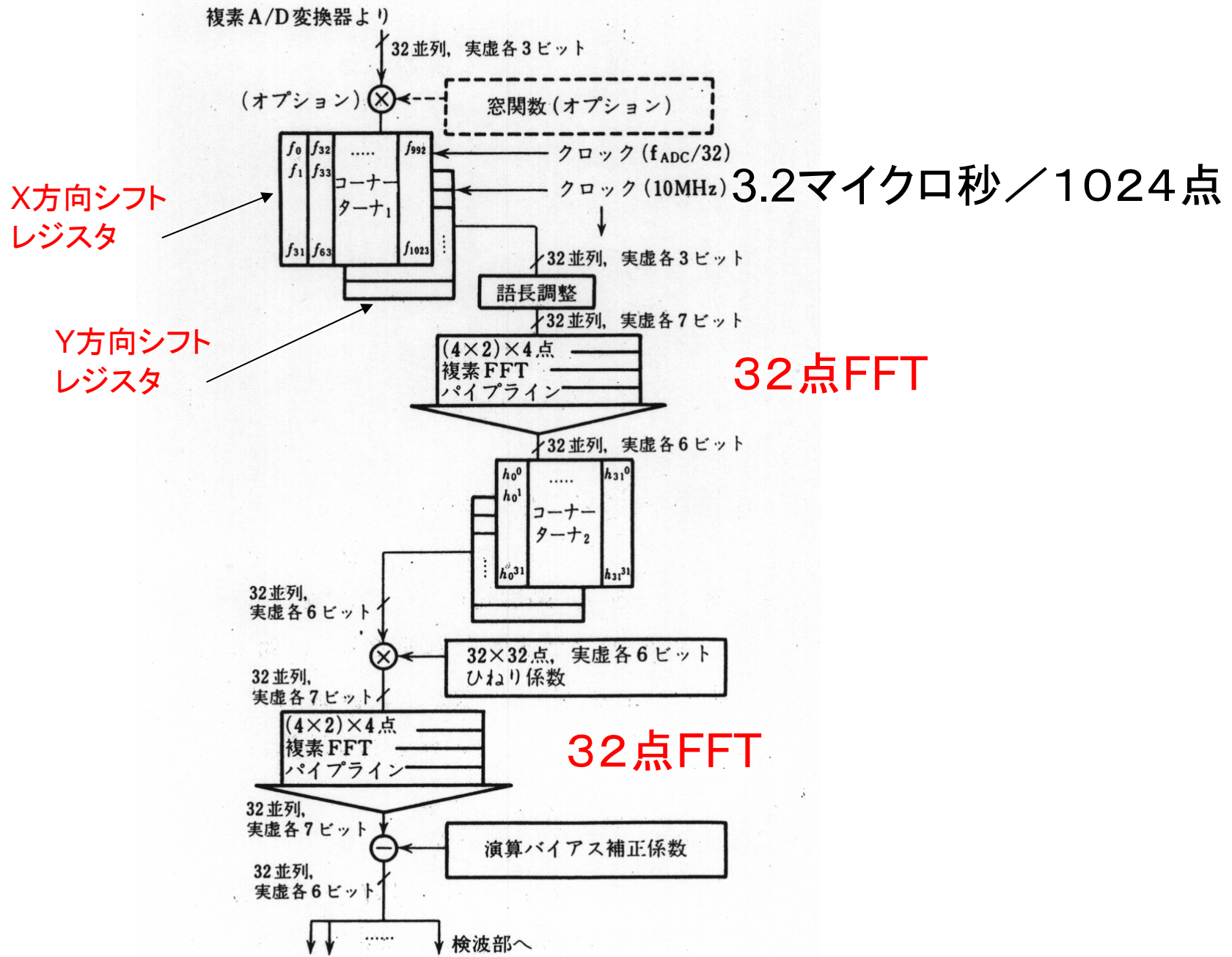
ひねり係数の乗算

q点FFT

東京天文台のFFTプロセッサ

$N=1024$ 、 $p=q=32$

コーナターナ：2次元シフトレジスタ



6 . 2 画像処理

6.2.1 空間フィルタ処理

$$\begin{aligned} 2 &= d^2 / dx^2 + d^2 / dy^2 \\ &= (I+1, J) + (I-1, J) + \\ &\quad (I, J+1) + (I, J-1) - 4 (I, J) \quad (28) \end{aligned}$$

完全並列処理方式

MPP、DAP、CAPなど

局所並列処理

東芝総合研究所のシステム (PPP)

フィルタ処理：輪郭線抽出など

ラプラシアンオペレータ

$$\begin{aligned}\nabla^2 \varphi &= \partial^2 \varphi / \partial x^2 + \partial^2 \varphi / \partial y^2 \\ &= \varphi(I+1, J) - \varphi(I, J) - \\ &\quad (\varphi(I, J) - \varphi(I-1, J)) + \\ &\quad \varphi(I, J+1) - \varphi(I, J) - \\ &\quad (\varphi(I, J) - \varphi(I, J-1)) \\ &= \varphi(I+1, J) + \varphi(I-1, J) \\ &\quad + \varphi(I, J+1) + \varphi(I, J-1) \\ &\quad - 4 \varphi(I, J)\end{aligned}$$

	1	
1	- 4	1
	1	

MPP

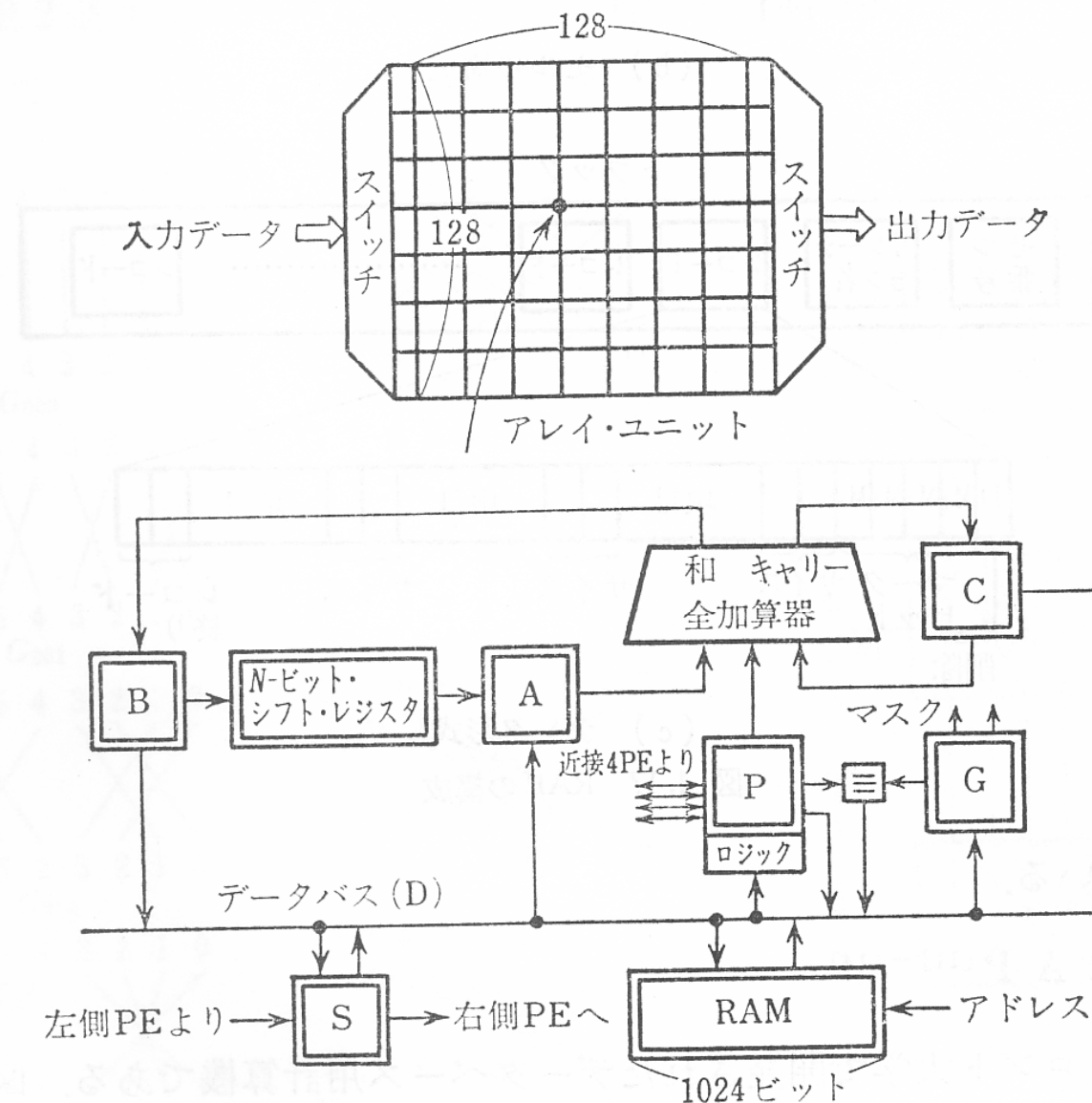


図 4.18 MPP の構成(K. E. Batcher: Design of a Massively Parallel Processor, IEEE Trans. C. Vol. 29, No. 9, 1980, pp. 836-840 による)



(a) Original photograph



(b) Printout of the digital gray-level picture

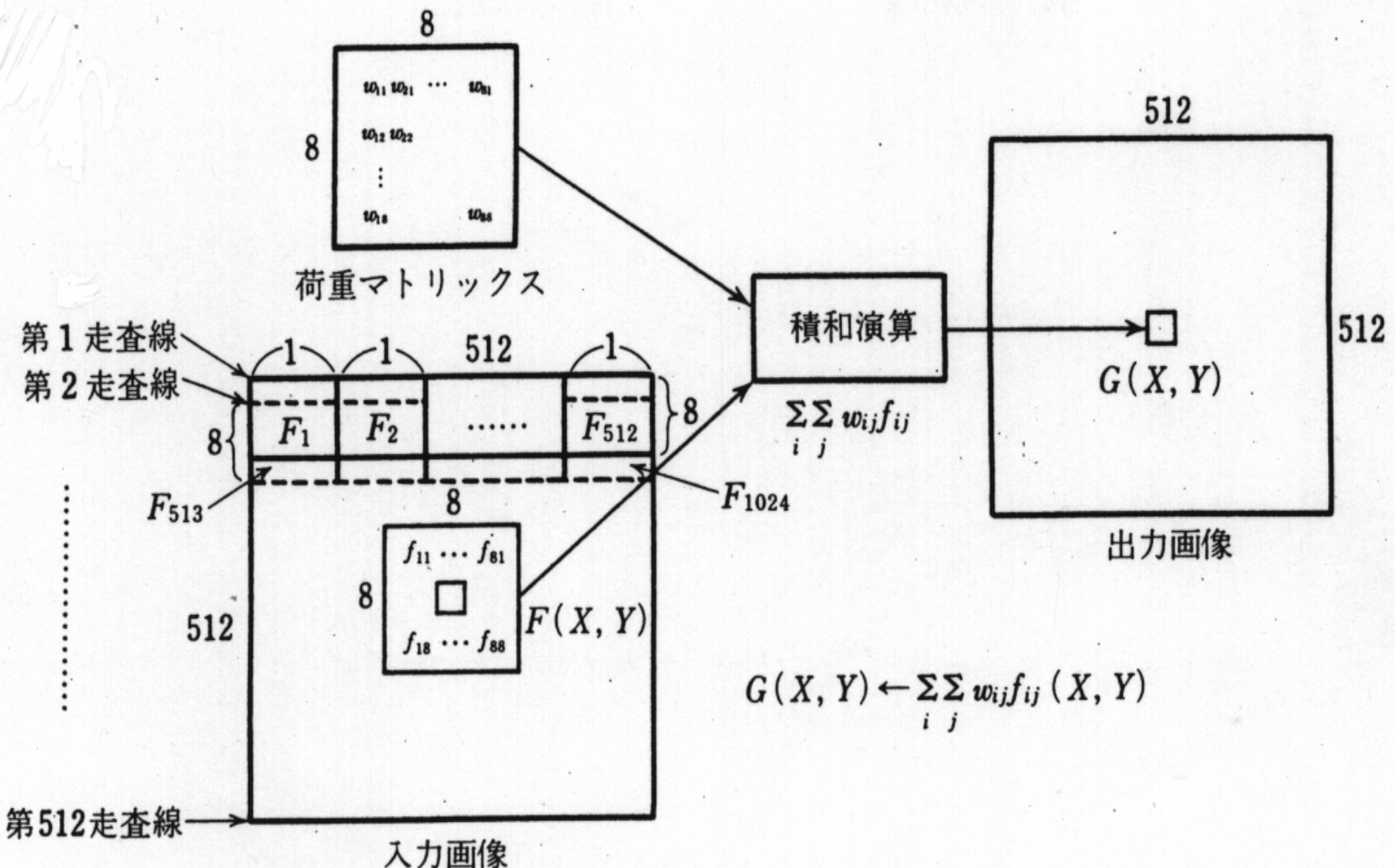


(c) Binary picture

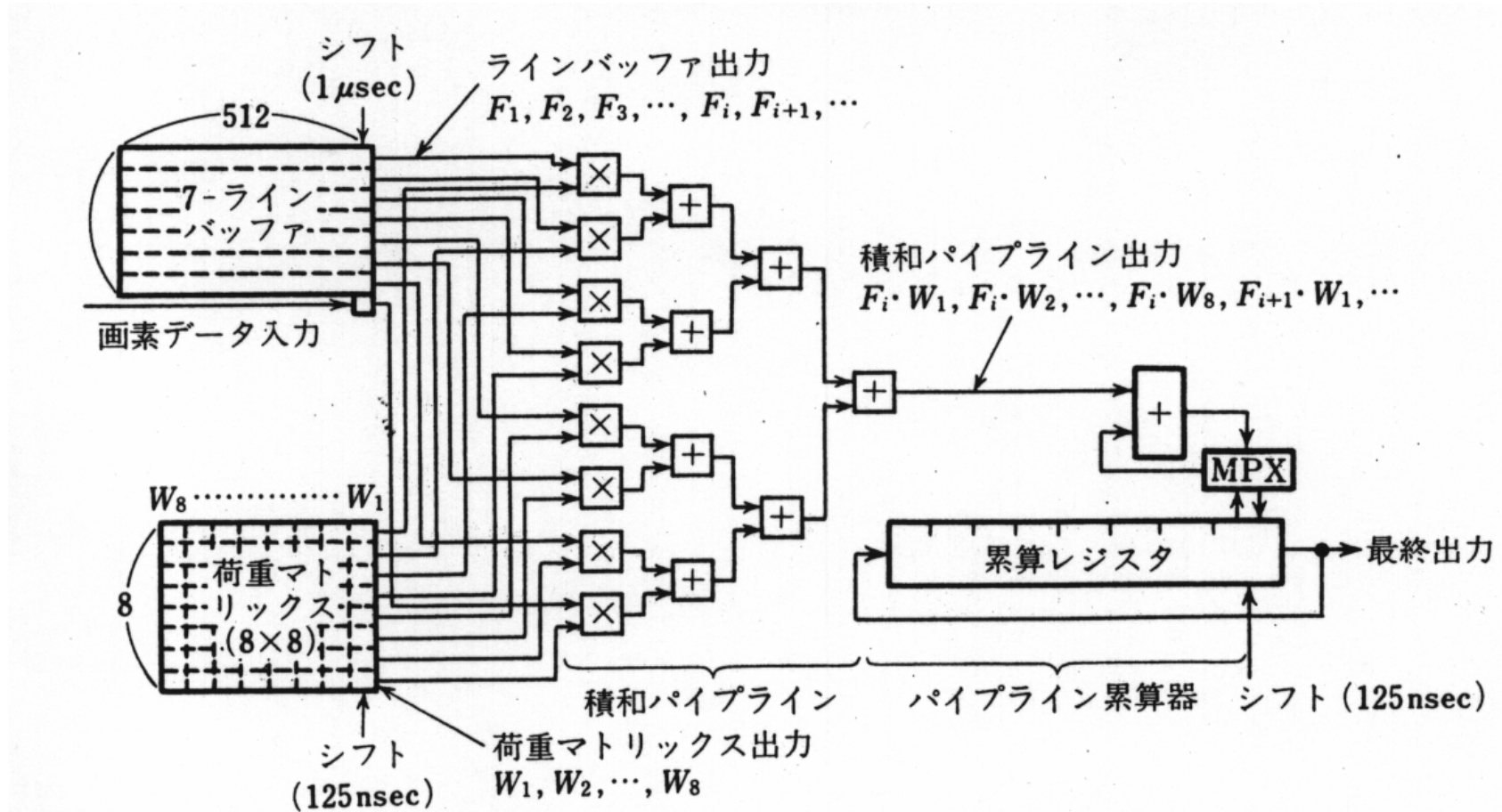
Figure 3-2

Picture input and line extraction.
The dark horizontal line in the upper
part is due to the burn in the CRT
surface of the FSS used for digitization.

金出武雄博士論文



(a) 空間フィルタ処理の原理



ラインバッファ

$F_i, F_{i+1}, \dots, F_{i+7}, \dots$ の連続出力

出力Pixel値の計算

$$F_i \cdot W_1 + F_{i+1} \cdot W_2 + \dots + F_{i+7} \cdot W_8$$

$$F_{i+1} \cdot W_1 + F_{i+2} \cdot W_2 + \dots + F_{i+8} \cdot W_8 \quad (29)$$

パイプライン乗算器

$F_i \cdot W_1, F_i \cdot W_2, F_i \cdot W_3, \dots, F_i \cdot W_8$

$F_{i+1} \cdot W_1, F_{i+1} \cdot W_2, F_{i+1} \cdot W_3, \dots, F_{i+1} \cdot W_8$

$F_{i+2} \cdot W_1, F_{i+2} \cdot W_2, F_{i+2} \cdot W_3, \dots, F_{i+2} \cdot W_8$

$F_{i+3} \cdot W_1, F_{i+3} \cdot W_2, F_{i+3} \cdot W_3, \dots, F_{i+3} \cdot W_8$

$F_{i+4} \cdot W_1, F_{i+4} \cdot W_2, F_{i+4} \cdot W_3, \dots, F_{i+4} \cdot W_8$ (3 0)

$F_{i+5} \cdot W_1, F_{i+5} \cdot W_2, F_{i+5} \cdot W_3, \dots, F_{i+5} \cdot W_8$

$F_{i+6} \cdot W_1, F_{i+6} \cdot W_2, F_{i+6} \cdot W_3, \dots, F_{i+6} \cdot W_8$

$F_{i+7} \cdot W_1, F_{i+7} \cdot W_2, F_{i+7} \cdot W_3, \dots, F_{i+7} \cdot W_8$

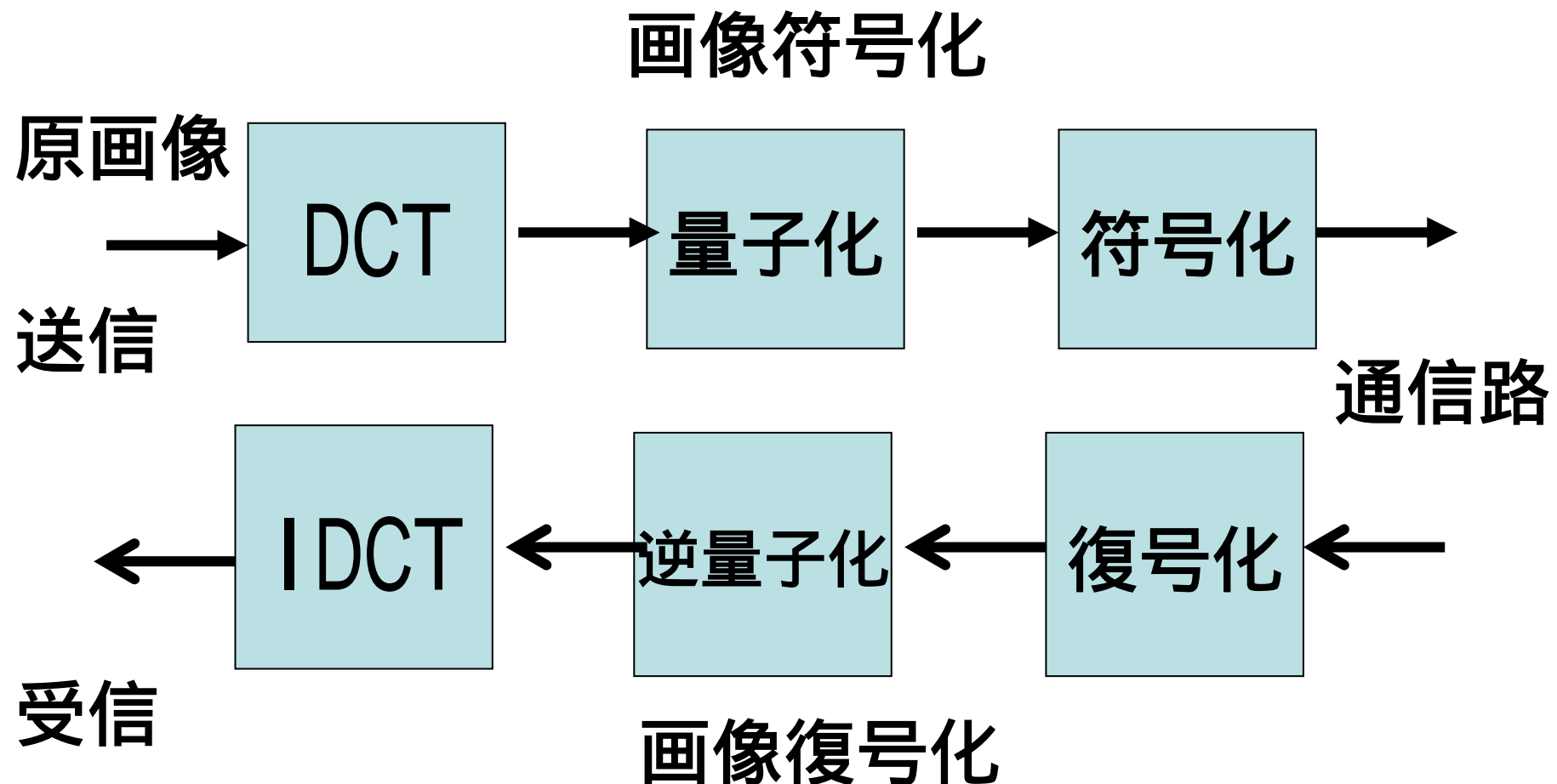
$F_{i+8} \cdot W_1, F_{i+8} \cdot W_2, F_{i+8} \cdot W_3, \dots, F_{i+8} \cdot W_8$

6.2.1 画像圧縮・復元処理

MPEG2 (Moving Picture Image Coding
Experts Group2)

画像符号化・復号化

DCT：離散コサイン変換



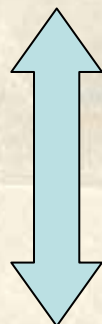
安田、藤原監訳

DCT変換（1次元）の証明

情報圧縮技術、bit別
冊、共立、1997

正規化 DCT

$$X^{c2}(k) = \sqrt{\frac{2}{N}} c_k \sum_{n=0}^{N-1} x(n) \cos \left[\frac{(2n+1)k\pi}{2N} \right], \quad (5.11)$$
$$k = 0, 1, \dots, N-1$$



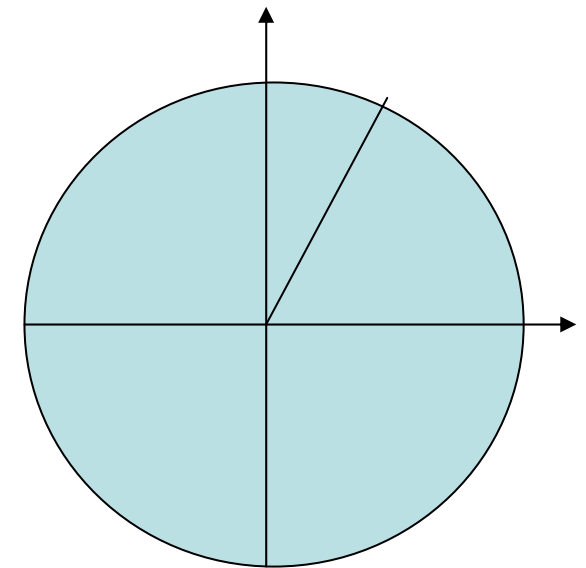
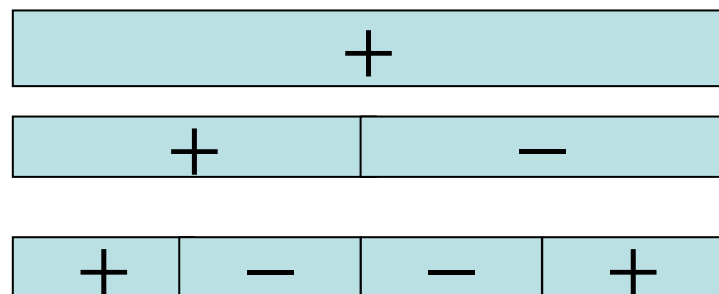
正規化 IDCT

$$x(n) = \sqrt{\frac{2}{N}} \sum_{k=0}^{N-1} c_k X^{c2}(k) \cos \left[\frac{(2n+1)k\pi}{2N} \right],$$
$$n = 0, 1, \dots, N-1$$

$$\cos\{(2n+1)k\pi/(2N)\}$$

	$n=0$	1	$N/4-1$	$N/4$	$N/2-1$	$N/2$	$3/4N-1$	$3/4N$	$N-1$
$K=0$	1	1	1	1	1	1	1	1	1
$K=1$	$1/(2N)$	$3/(2N)$	\dots	\dots	$1/2-1/(2N)$	$1/2+1/(2N)$	\dots	\dots	$1-1/(2N)$
$K=2$	$1/N$	$3/N$	\dots	$(1/2-1/N)$	$(1/2+1/N)$	\dots	$(1+1/N)$	\dots	$(3/2-1/N)$
\dots	\dots	\dots	\dots	\dots	\dots	\dots	\dots	\dots	\dots
$K=N-1$									
	$n=0$	$n=1$	$n=2$	$n=3$					
	$1/2-1/(2N)$	$3/2-3/(2N)$	$1/2-5/(2N)$	$3/2-7/(2N)$					

Kが小さいほど低周波領域



基底ベクトル

$$c(k, n) = 1/\sqrt{N} : k = 0$$

$$c(k, n) = \sqrt{2/N} \cos \frac{(2n+1)k\pi}{2N} : k \neq 0$$

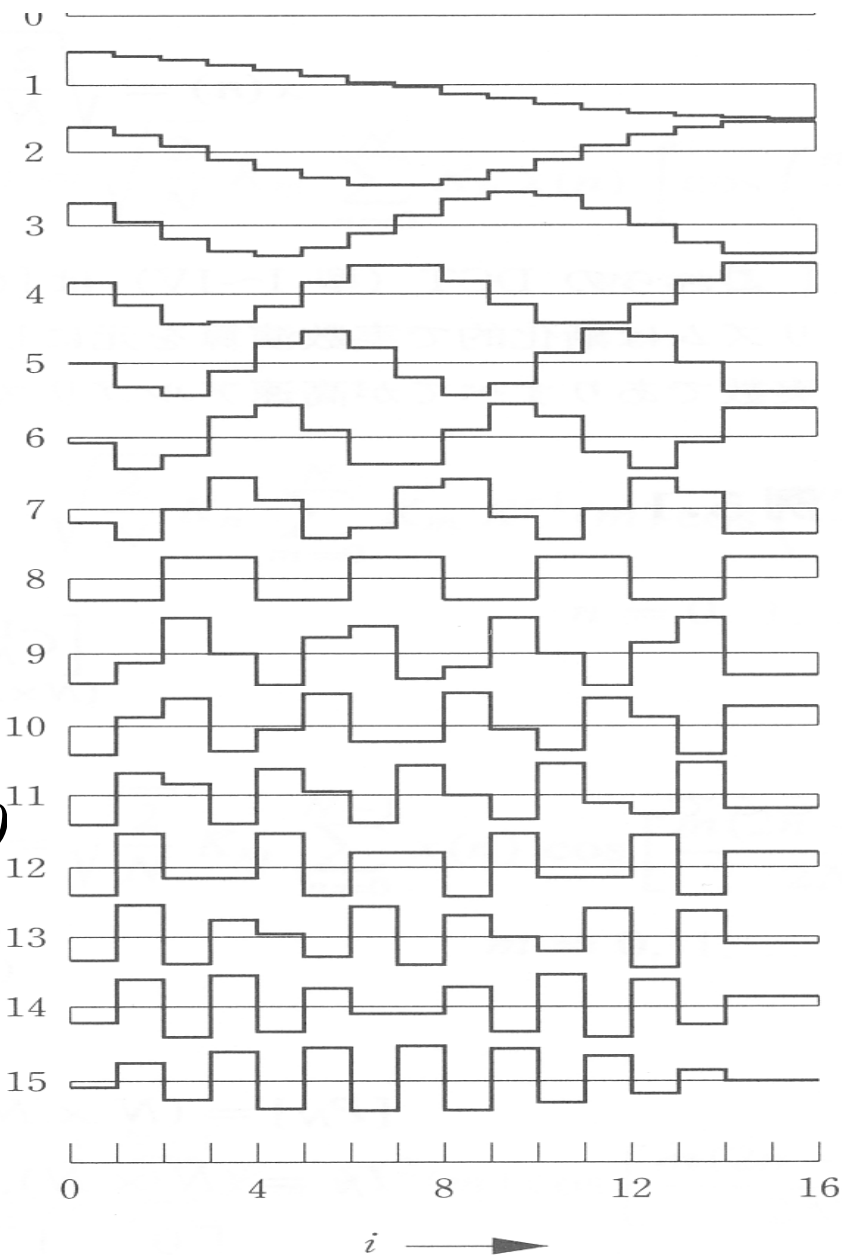


図 5.1 DCT-II の基底関数 $N = 16$

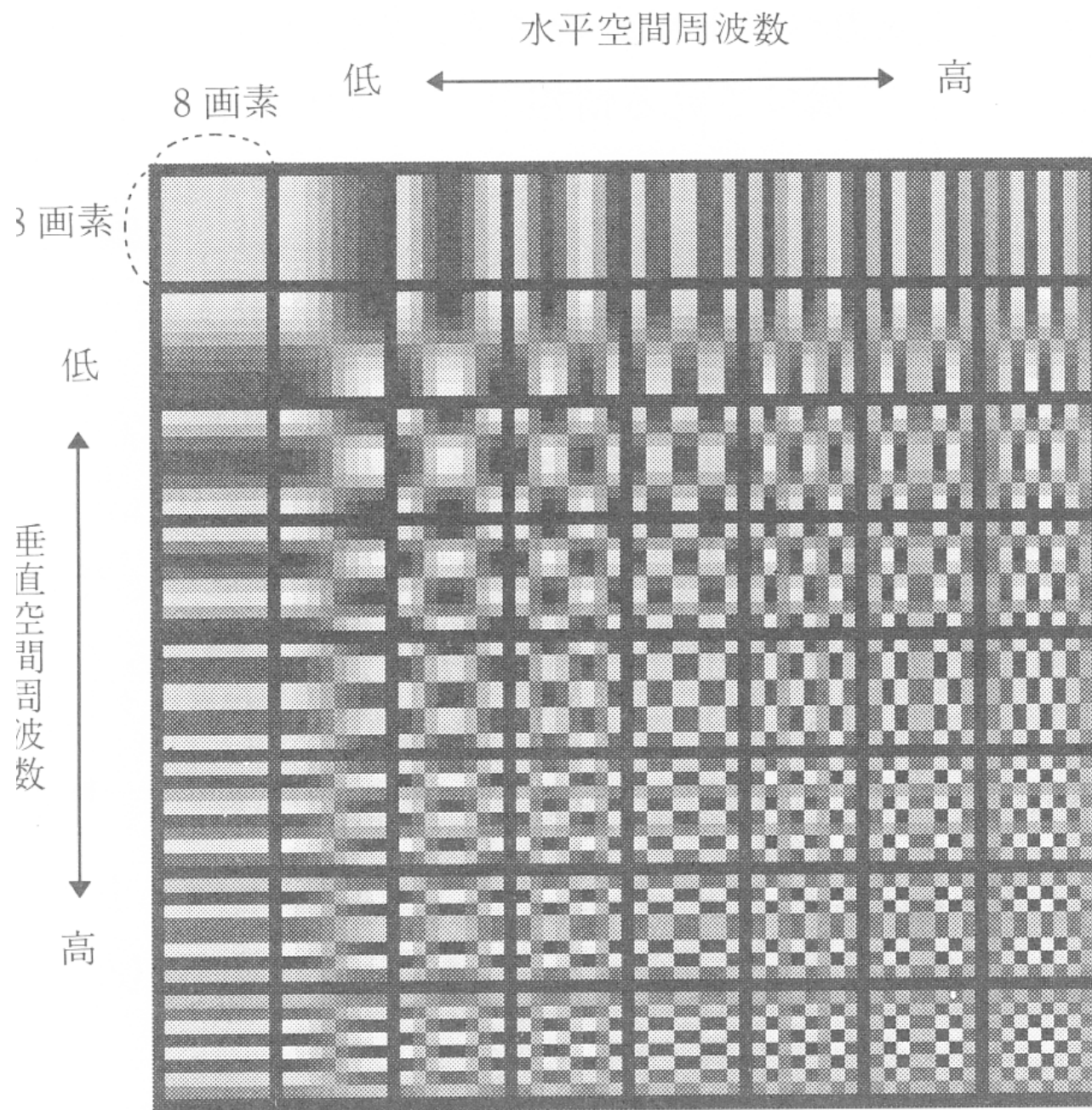


図 4.13 2 次元 DCT の基底画像パターン (8×8 の場合)

$$\begin{aligned}
x_n &= \frac{2}{N} \sum_{k=0}^{N-1} c_k^2 \sum_{m=0}^{N-1} x_m \cos \left[\frac{(2m+1)k\pi}{2N} \right] \cos \left[\frac{(2n+1)k\pi}{2N} \right] \\
&= \frac{2}{N} \sum_{m=0}^{N-1} x_m \sum_{k=0}^{N-1} c_k^2 \cos \theta_m \cos \theta_n
\end{aligned} \tag{5.25}$$

ただし、

$$\begin{aligned}
\theta_m &= \frac{(2m+1)k\pi}{2N}, \quad \theta_n = \frac{(2n+1)k\pi}{2N} \\
\cos \theta_m \cos \theta_n &= \frac{1}{2} [\cos(\theta_m + \theta_n) + \cos(\theta_m - \theta_n)] \\
&= \frac{1}{2} \left[\frac{e^{j(\theta_m + \theta_n)} + e^{-j(\theta_m + \theta_n)}}{2} \right] + \frac{1}{2} \left[\frac{e^{j(\theta_m - \theta_n)} + e^{-j(\theta_m - \theta_n)}}{2} \right]
\end{aligned}$$

ここで、 $j = \sqrt{-1}$ とおくと、式(5.25) は次のようになる。

$$\begin{aligned}
x_n &= \frac{1}{2N} \sum_{m=0}^{N-1} x_m \sum_{k=0}^{N-1} c_k^2 \left(\exp \left[j \frac{2k\pi}{2N} (m+n+1) \right] + \exp \left[-j \frac{2k\pi}{2N} (m+n+1) \right] \right. \\
&\quad \left. + \exp \left[j \frac{2k\pi}{2N} (m-n) \right] + \exp \left[-j \frac{2k\pi}{2N} (m-n) \right] \right) \tag{5.26}
\end{aligned}$$

$$c_k = \begin{cases} 1, & k \neq 0 \\ 1/\sqrt{2}, & k = 0 \end{cases}$$

$$\begin{aligned}
&= \frac{1}{2N} \sum_{m=0}^{N-1} x_m \sum_{k=0}^{N-1} c_k^2 \left(W_N^{-(m+n+1)\frac{k}{2}} + W_N^{(m+n+1)\frac{k}{2}} \right. \\
&\quad \left. + W_N^{-(m-n)\frac{k}{2}} + W_N^{(m-n)\frac{k}{2}} \right) \tag{5.27}
\end{aligned}$$

ただし、 $W_N = \exp\left(\frac{-j2\pi}{N}\right)$ = ユニタリ値の N 乗根、である。

式(5.27) は以下のように変形出来る。

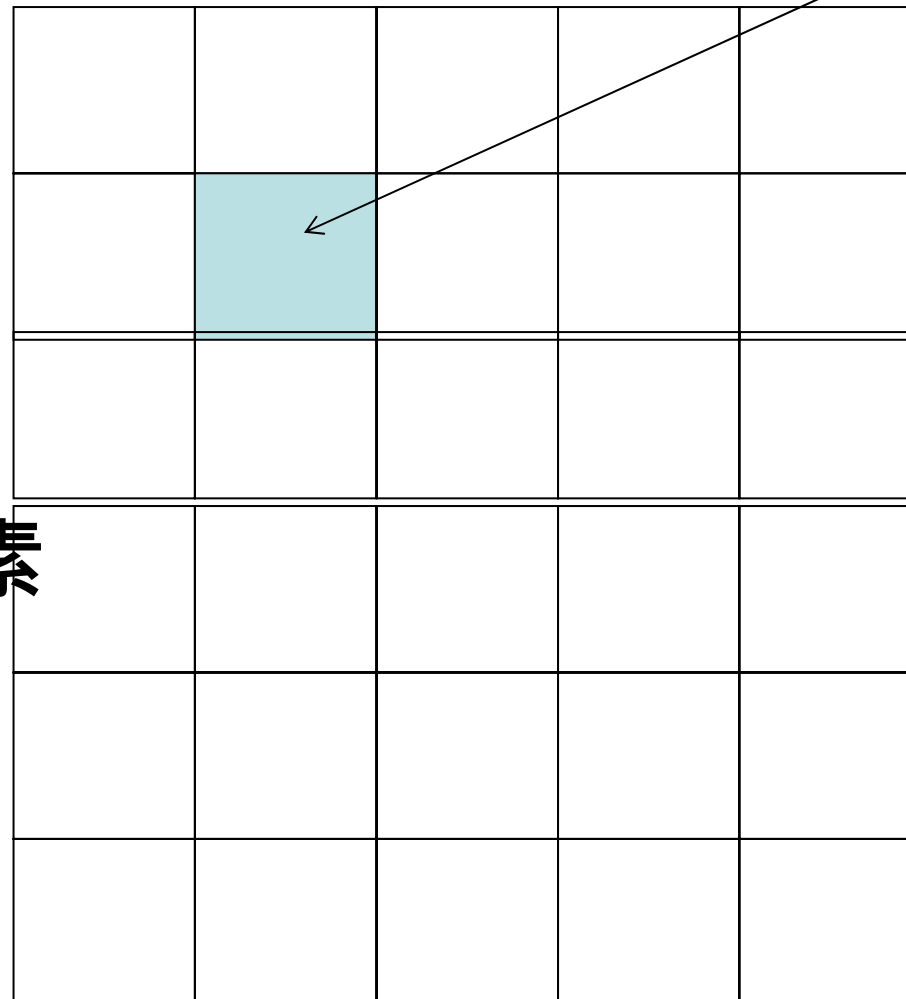
$$m = n \text{ and } k \neq 0 \text{ のとき } \left(\frac{1}{2N} x_n 2N \right) = x_n$$

$$m = n \text{ and } k = 0 \text{ のとき } \left(\frac{1}{2N} x_n \left(\frac{1}{\sqrt{2}} \right)^2 4N \right) = x_n$$

$$\begin{aligned}
\text{ただし } \quad \sum_{k=0}^{N-1} W_N^{kl} &= N\delta(l), \quad \text{ここで } \delta(l) = \begin{cases} 0, & l \neq 0 \\ 1, & l = 0 \end{cases}
\end{aligned}$$

480 画素

720 画素



ブロック
 8×8 画素

1 画像：
 90×60
ブロック

正規化 2D-DCT

各ブロックに対して DCT (N, M=8)

$$\begin{aligned} X_{u,v}^{c2} &= c_u c_v \frac{2}{\sqrt{NM}} \sum_{n=0}^{N-1} \sum_{m=0}^{M-1} x_{n,m} \cos \left[\frac{(2n+1)u\pi}{2N} \right] \cos \left[\frac{(2m+1)v\pi}{2M} \right] \\ &= \sqrt{\frac{2}{N}} \sum_{n=0}^{N-1} c_u \left[\sqrt{\frac{2}{M}} c_v \sum_{m=0}^{M-1} x_{n,m} \cos \frac{(2m+1)v\pi}{2M} \right] \cos \frac{(2n+1)u\pi}{2N}, \quad (5.38) \end{aligned}$$
$$\begin{aligned} u &= 0, 1, \dots, N-1, \\ v &= 0, 1, \dots, M-1, \end{aligned} \quad c_l = \begin{cases} 1/\sqrt{2}, & l=0 \\ 1, & l \neq 0 \end{cases}$$

正規化 2D-IDCT

$$\begin{aligned} x_{n,m} &= \frac{2}{\sqrt{NM}} \sum_{u=0}^{N-1} \sum_{v=0}^{M-1} c_u c_v X_{u,v}^{c2} \cos \left[\frac{(2n+1)u\pi}{2N} \right] \cos \left[\frac{(2m+1)v\pi}{2M} \right], \quad (5.39) \\ n &= 0, 1, \dots, N-1, \quad m = 0, 1, \dots, M-1 \end{aligned}$$

- 演算量
 - 各ブロック当たり: $64 \times (63 + 64 \times 4) = 20480$
 - 每秒当たりのブロック数
 - $5400 \times 30 = 162000$
 - 演算量: 3.2G演算／秒
- 総和
- ↑ $X \times \cos^* \cos$
- cos : テーブル参照

各ブロックのDC係数 X_{uv} に量子化

$$X_{quv} = \text{Nearest Int} (X_{uv}/Q_{uv})$$

表8.1 輝度量子化マトリックス Q_{uv} [367]

16	11	10	16	24	40	51	61
12	12	14	19	26	58	60	55
14	13	16	24	40	57	69	56
14	17	22	29	51	87	80	62
18	22	37	56	68	109	103	77
24	35	55	64	81	104	113	92
49	64	78	87	103	121	120	101
72	92	95	98	112	100	103	99

出典: © 1993 ITU-T.

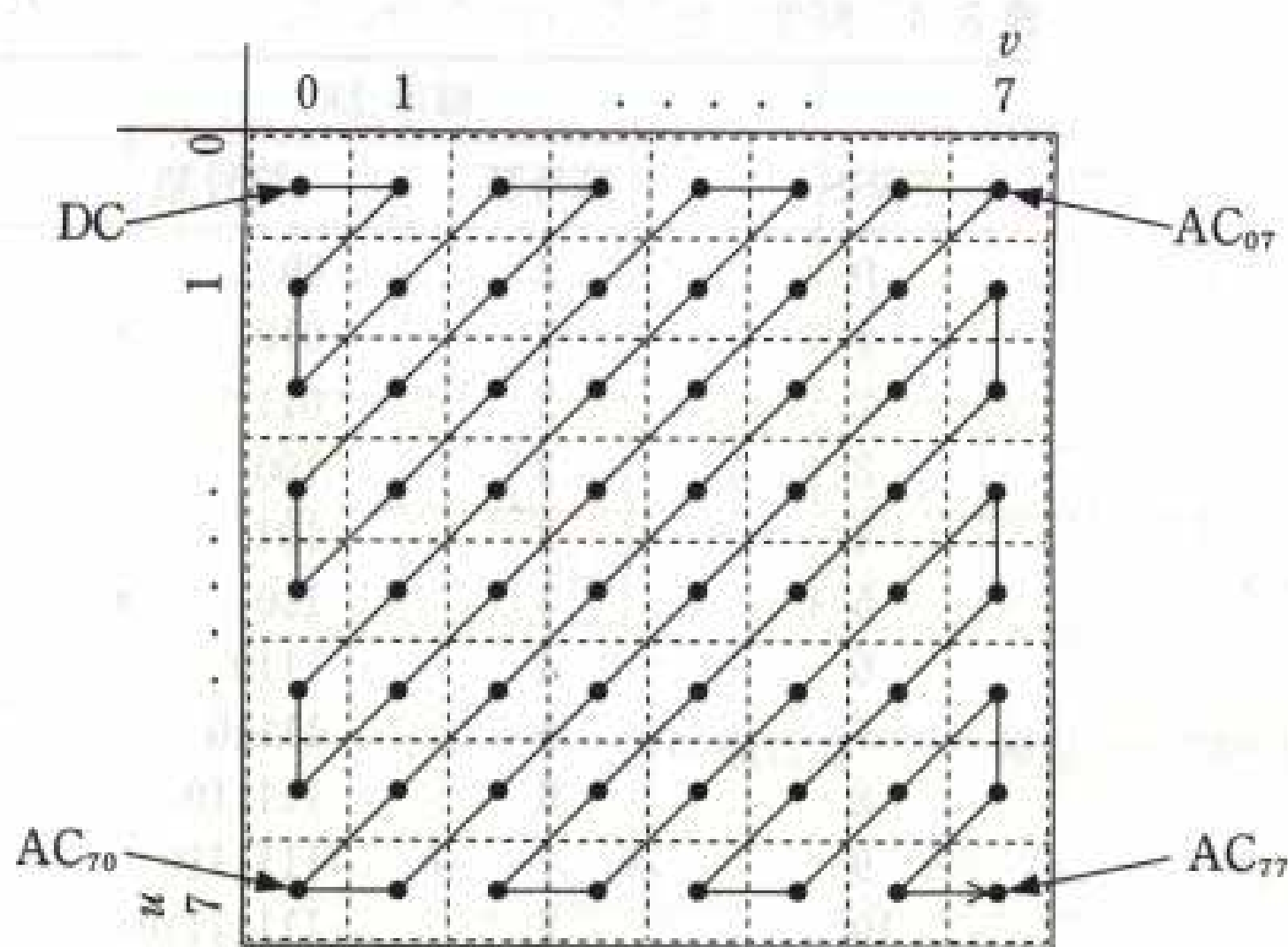
表8.2 色差量子化マトリックス Q_{uv} [367]

17	18	24	47	99	99	99	99
18	21	26	66	99	99	99	99
24	26	56	99	99	99	99	99
47	66	99	99	99	99	99	99
99	99	99	99	99	99	99	99
99	99	99	99	99	99	99	99
99	99	99	99	99	99	99	99
99	99	99	99	99	99	99	99

出典: © 1993 ITU-T.

U

各ブロックDC係数をジグザクスキャンし
符号化（ハフマン符号、ランレンジス符号）



動き補償：フレーム間での圧縮

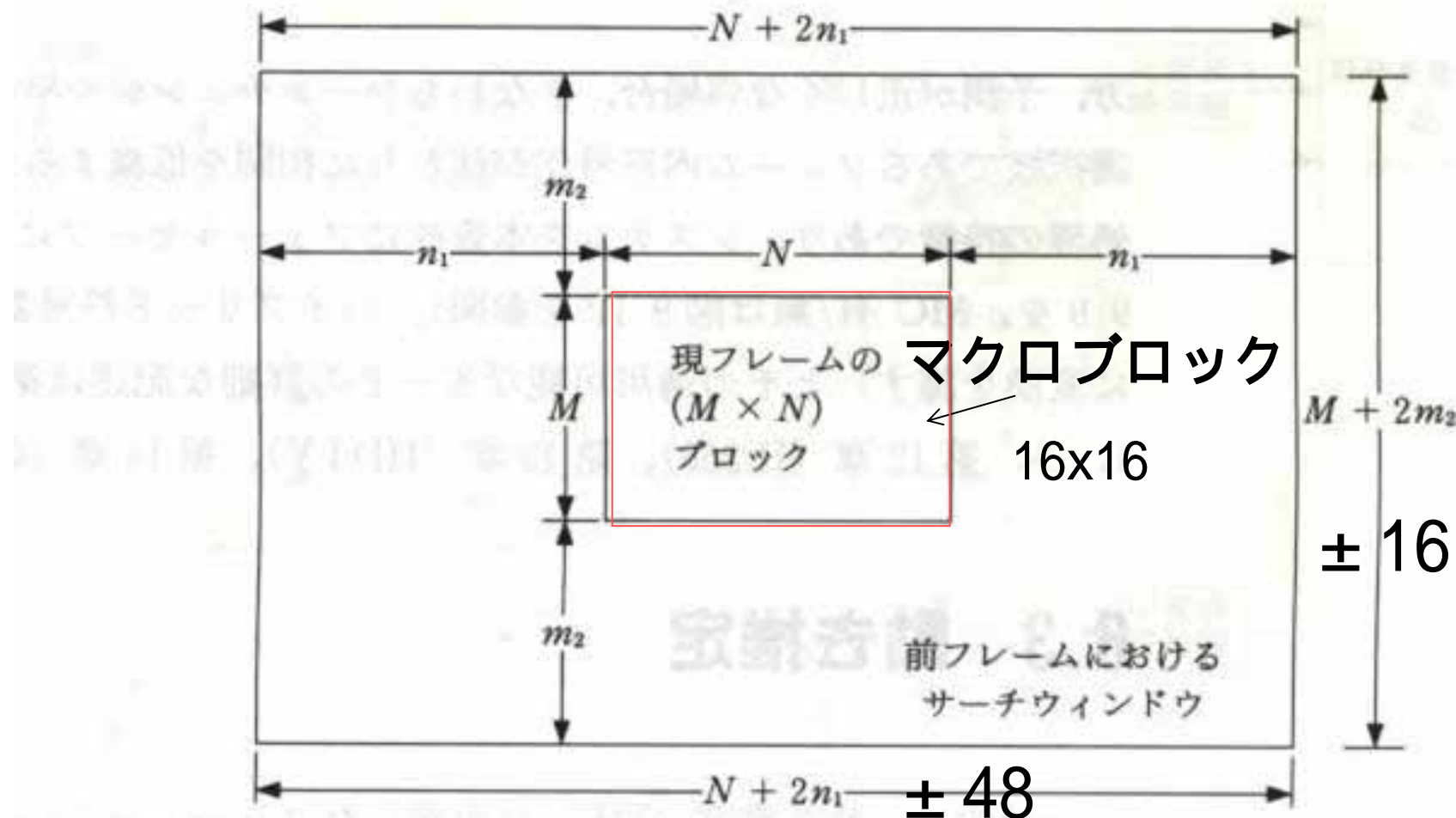


図 6.5 前フレームの $(M + 2m_2) \times (N + 2n_1)$ のサーチウィンドウを用いた、 $(M \times N)$ ブロックの動き推定（全探索）。動きベクトル範囲はフレーム間距離あたり水平 $\pm n_1$ 画素、垂直 $\pm m_2$ ラインである。

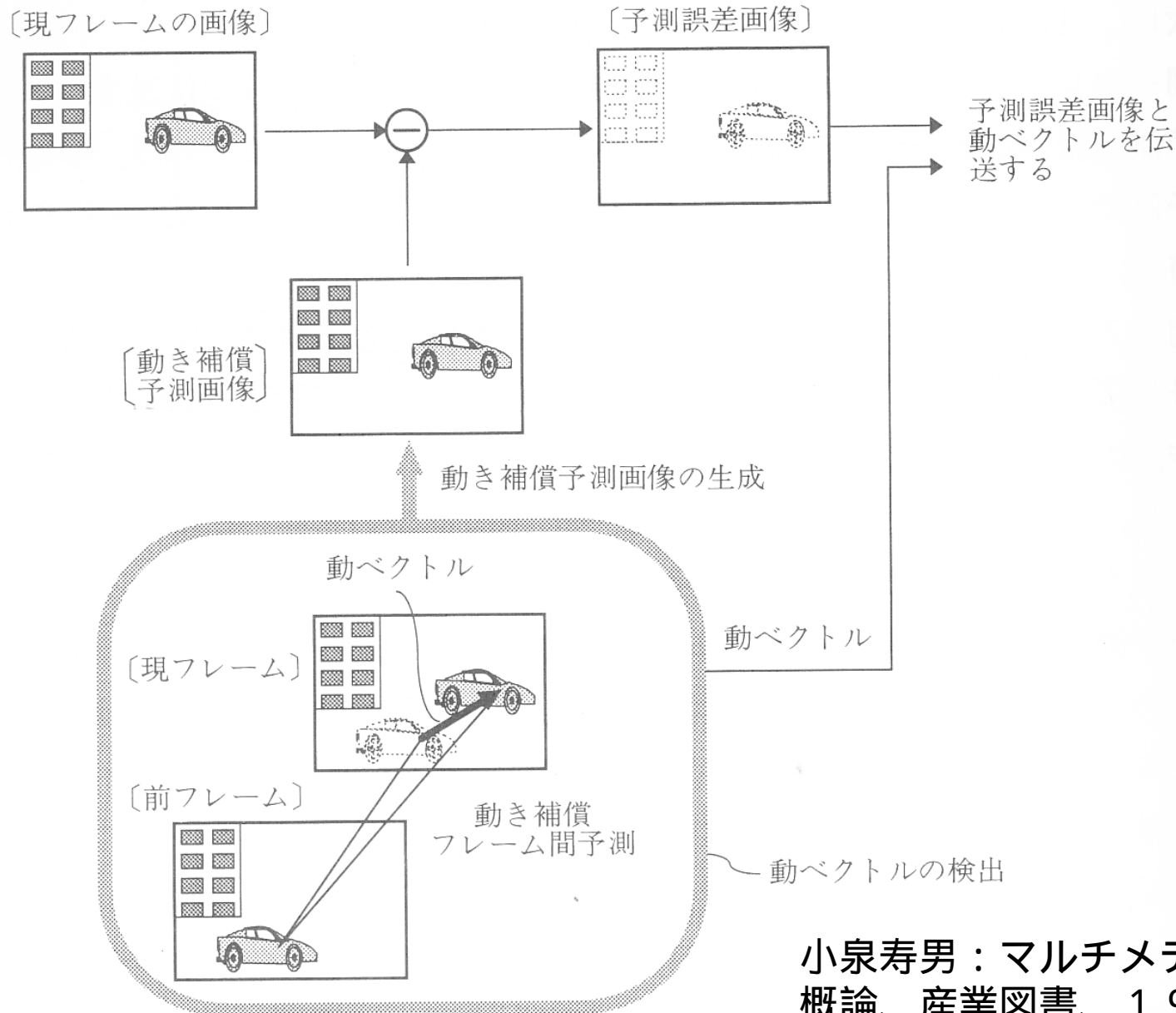
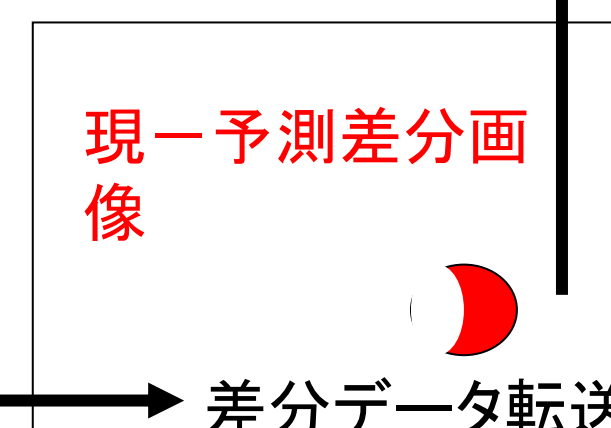
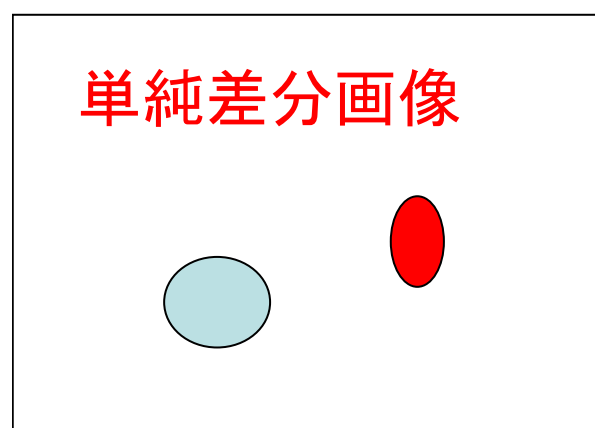
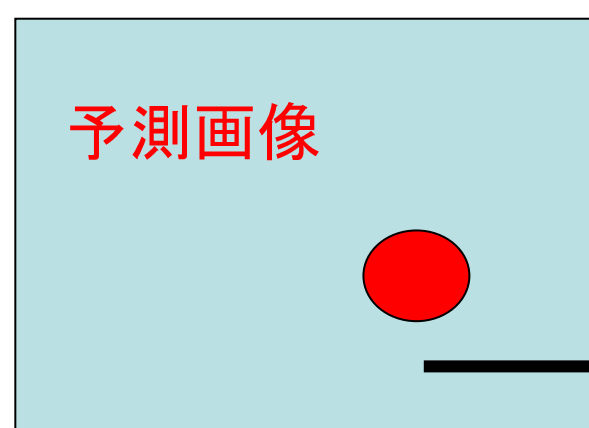
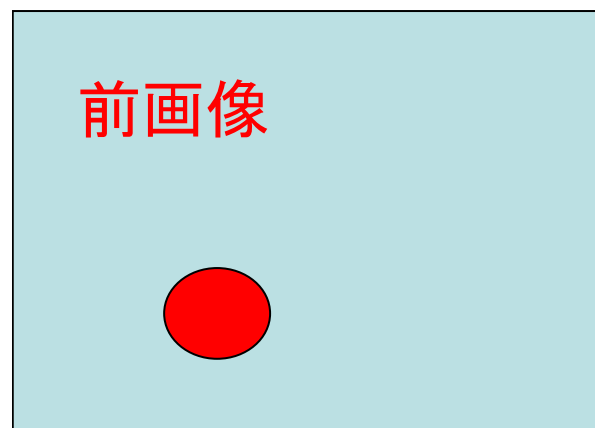
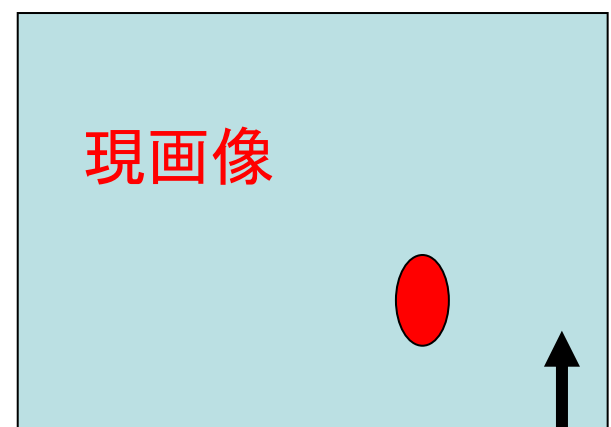
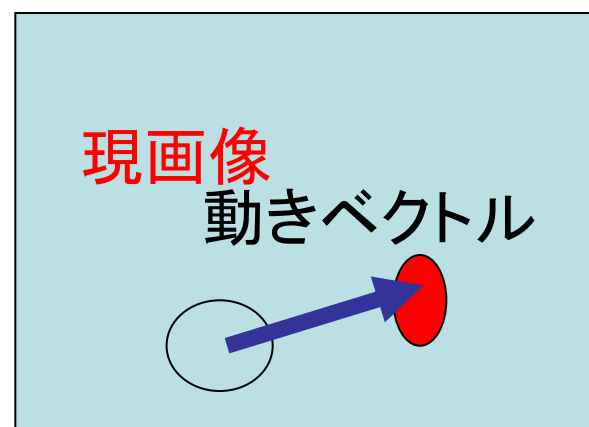
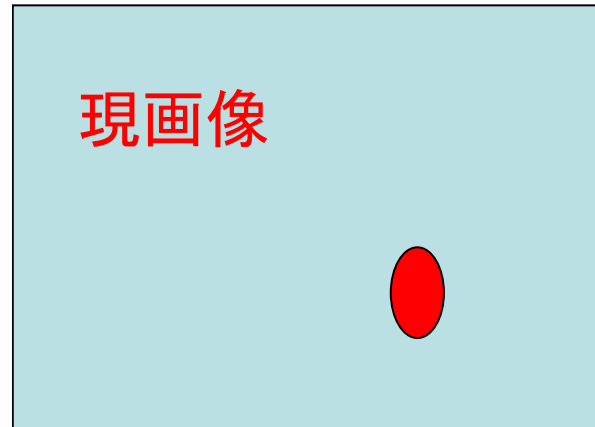
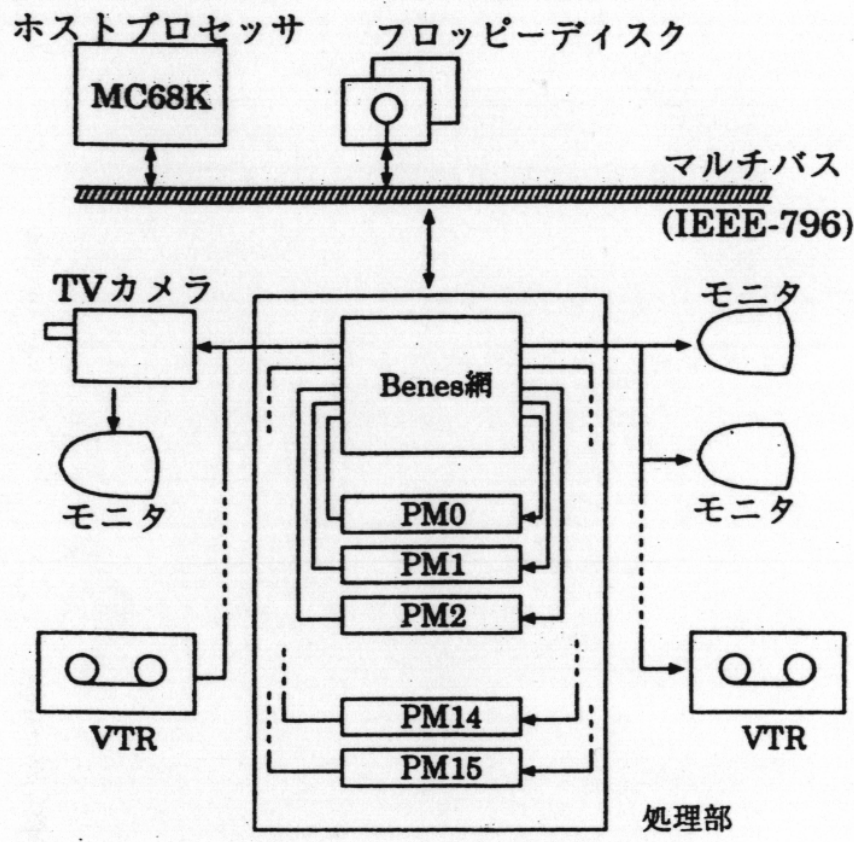


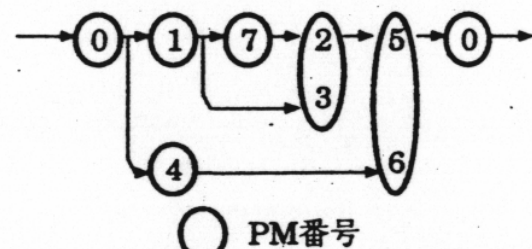
図 4.10 動き補償フレーム間予測の原理



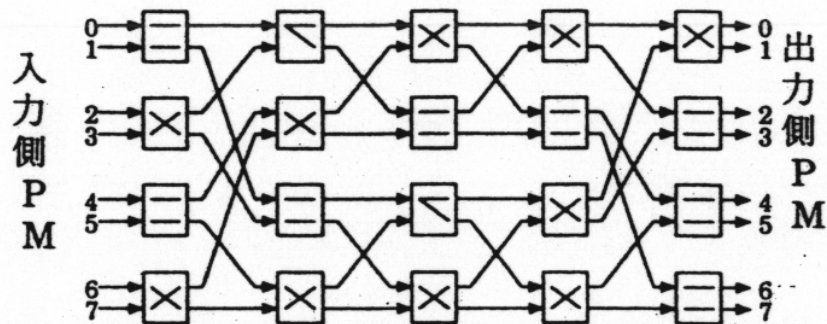
- 動き補償での演算量
- マクロブロック当たり: $\pm 48,16$ 画素領域
- $16 \times 16 \times 97 \times 33 \times 3 = 2458368$ 演算
マクロブロックサイズ 比較演算数
- 每秒当たりのマクロブロック処理数:
- $45 \times 30 \times 30 = 40500$
- 演算量: 1000億/秒: 100G演算/秒
フレーム数/秒



(a) システム構成



(b) パイプライン処理構造



(c) 結合網の制御

Benes網

図 6.11 韋馱天の構造

(佐々木ほか：構造可変型ビデオレート画像処理システム「韋駄天」，情報処理学会コンピュータビジョン研資，37-1(1985))

6.3 3次元グラフィックス処理

グラフィックス処理の要件

高速性

扱える図形の複雑さ

現実感表出の度合

レンダリング (rendering) 技術

図形を「美しく」表出する技術

サーフィスレンダリング

ボリュームレンダリング

6.3.1 サーフィスレンダリング

(1) 基本方式

物体表面 :

多角形 (ポリゴン) 、 2 次曲面、自由曲面で近似

基本処理

隠れ面消去

シェーディング

グローシェーディング

多角形の各頂点の輝度値から多角形内部の輝

度値を補間

フォンシェーディング

各頂点の法線ベクトルから多角形内部の法線ベクトル
を補間し、輝度計算

輝度：

面の法線ベクトルの方向、光源の位置、面の材質などで
決定

- ・光源の種類：並行光線、点光源、多光源、蛍光灯のような
立体（面）光源
- ・間接光：壁や床からの散乱光

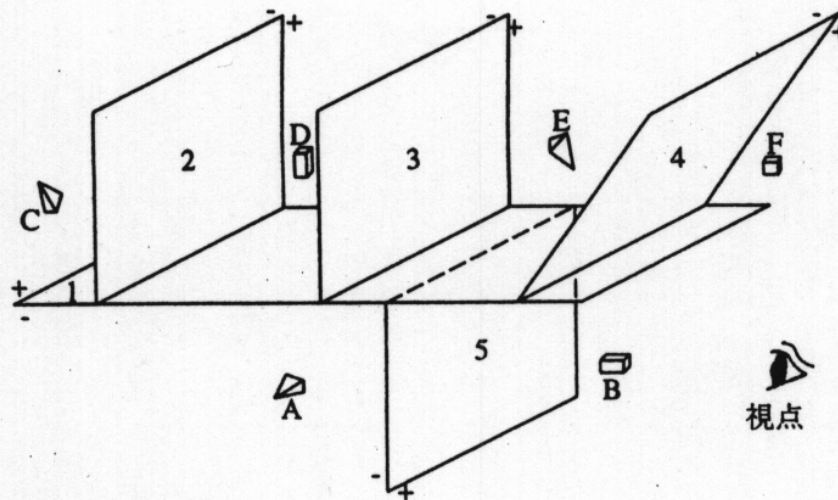
- ・付影処理：光線があたらない場所での影付け処理
- ・アンチエイリアス処理：図形の境界線でギザギザが現れる
と見づらい

(2) 隠面消去基本アルゴリズムと並列処理

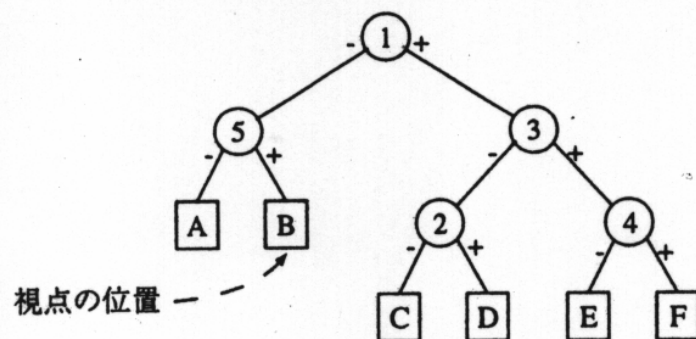
優先順位リスト法

粗い図形集合の高速リアルタイム処理

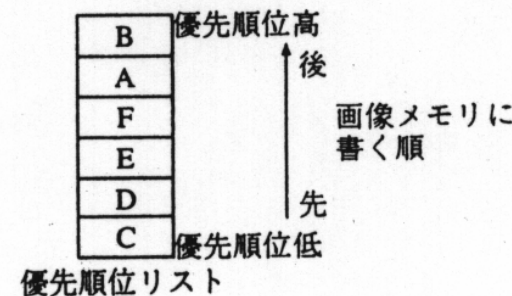
フライトイミュレータなど



(a) 図形と分割平面、および視点



(b) 分割平面についての木構造



(c) 優先順位リスト

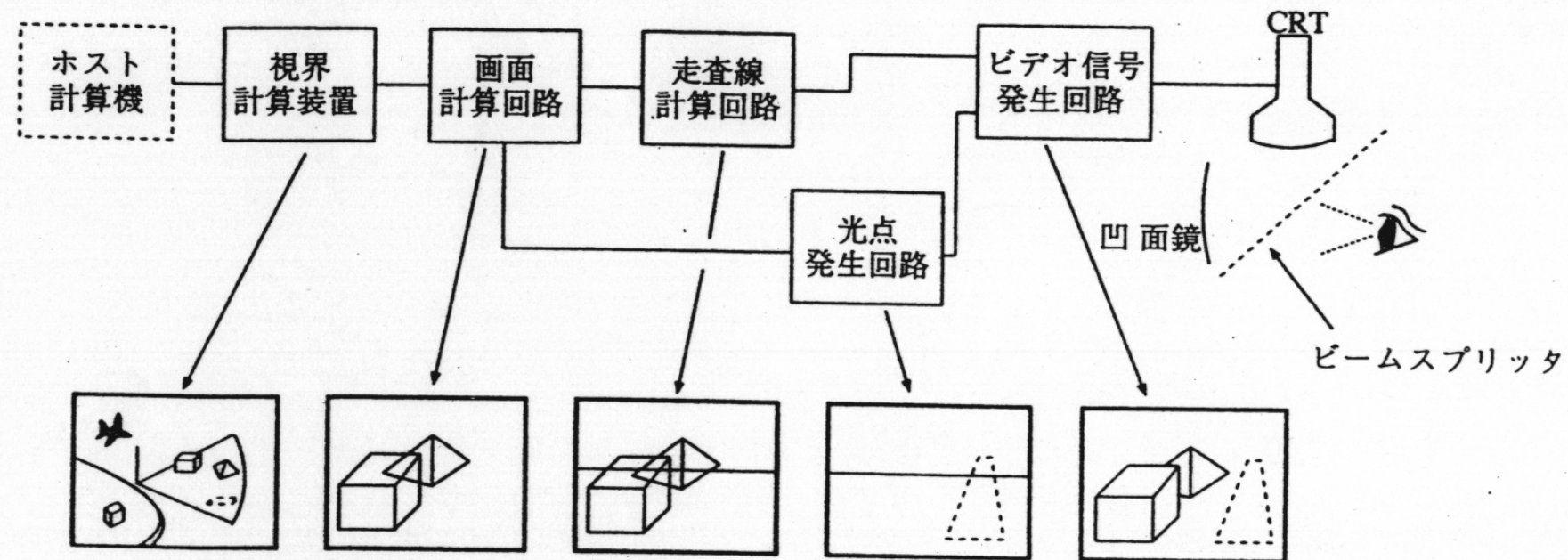


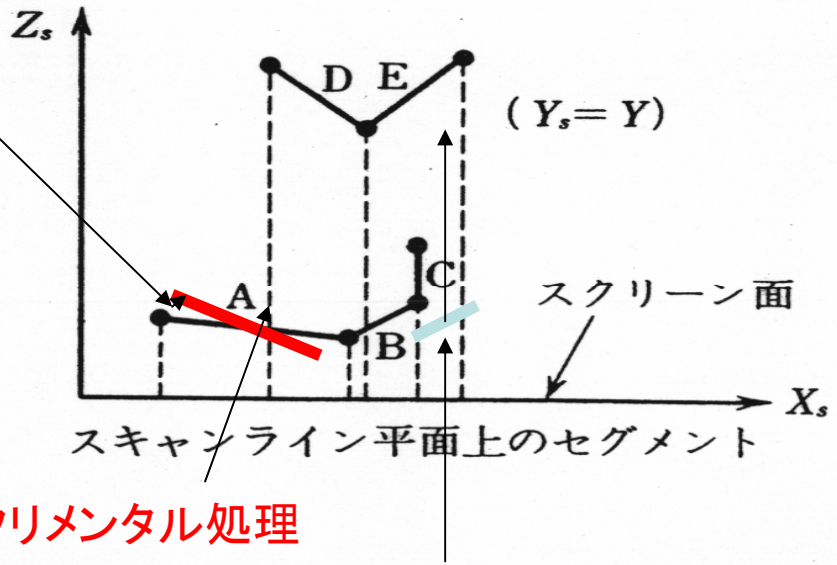
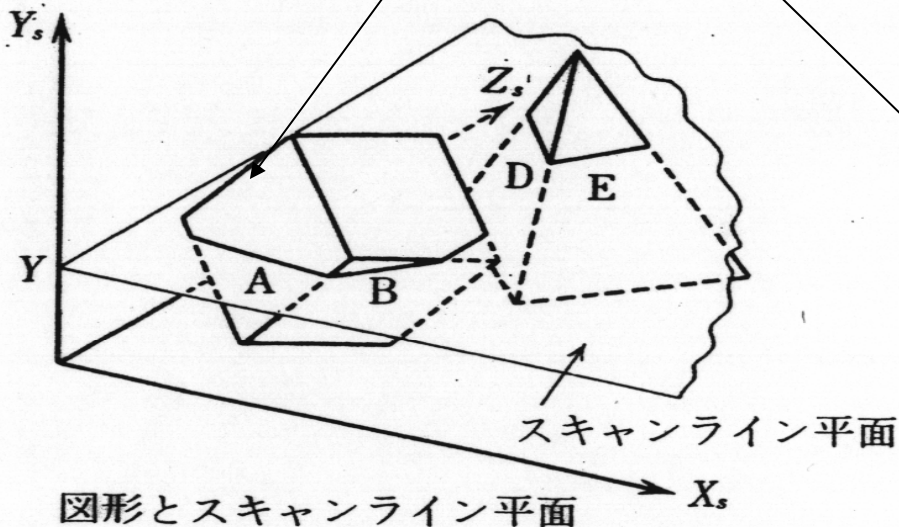
図 6.13 フライトシミュレータ

(麻生和夫：フライトシミュレータ用計算機合成映像，テレビジョン学会技術報告，IPD 65-5 (1982))

スキャンライン（SLA）法
メモリが高価であったときの方式
インクレメンタル処理
スキャンラインコーヒーレンス利用
スキャンライン間の類似性
半透明物体の表示が可能

$$(X-X_0)/a = (Y-Y_0)/b = (Z-Z_0)/c = t$$

$$dX = (a/b)dY, dZ = (c/b)dY$$



インクリメンタル処理

図 6.14 スキャンライン法

B半透明のときEと
ブレンド

EXPERTS:SLP2台、PXP:4台

新実、富田、萩原他、電子情報通信学会論文
誌、J-71D, 8, pp.1446-1453, 1988



Zバッファ法

単純なBrute Force法：メモリ安価時代

半透明物体表示不可

Zバッファ：奥行き情報を 1 枚保持

3 次元グラフィックス端末における

パイプライン構造

- ・幾何プロセッサ (GP)

ポリゴンの座標計算

- ・セグメントプロセッサ (SP)

セグメント補間

- ・ピクセルプロセッサ (PP)

Zバッファと比較

三角形のZ値 < 平行四辺形のZ値

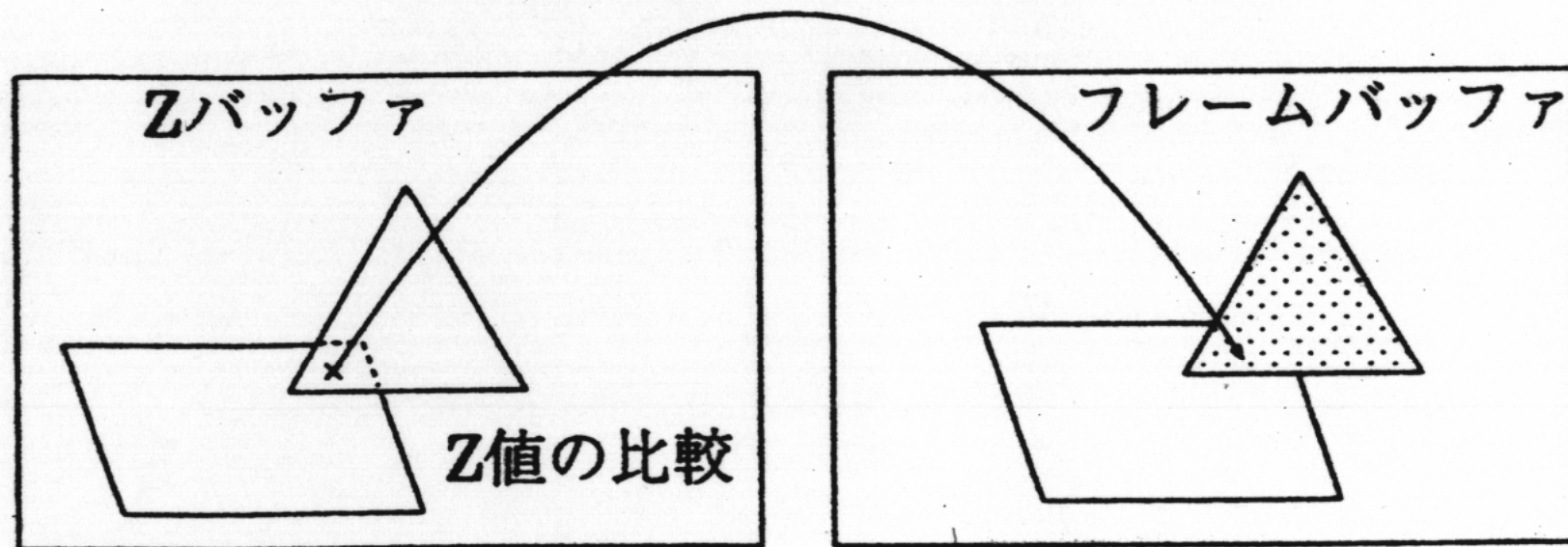


図 6.15 Zバッファ法

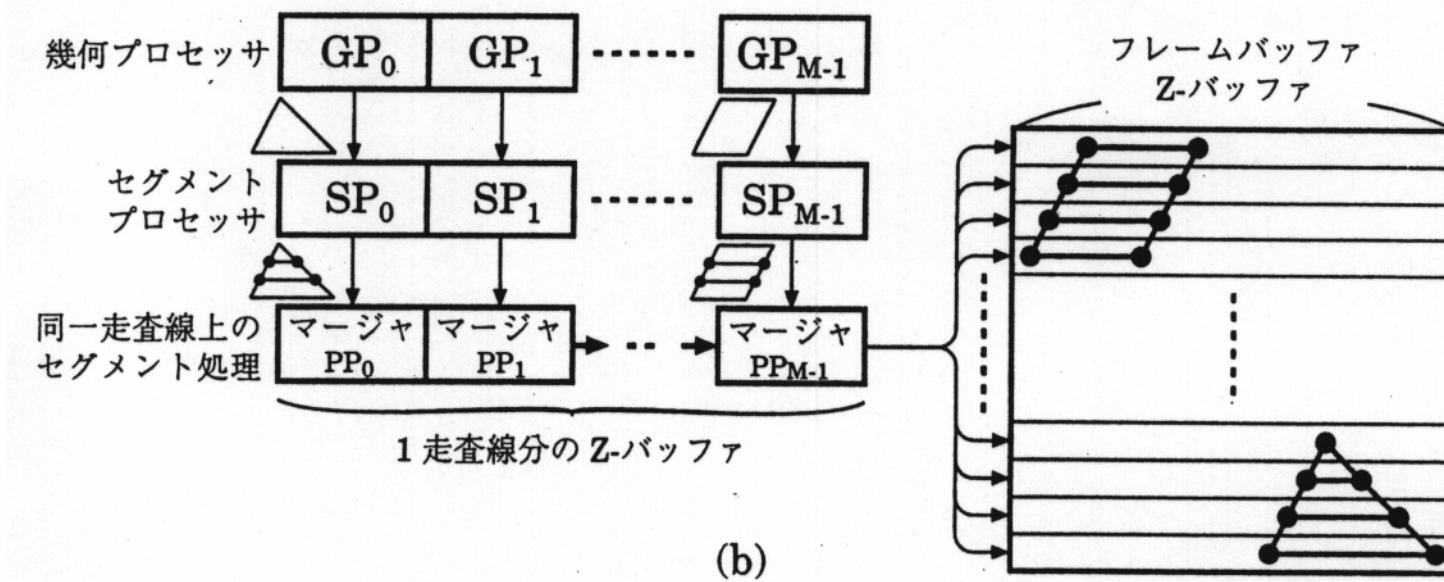
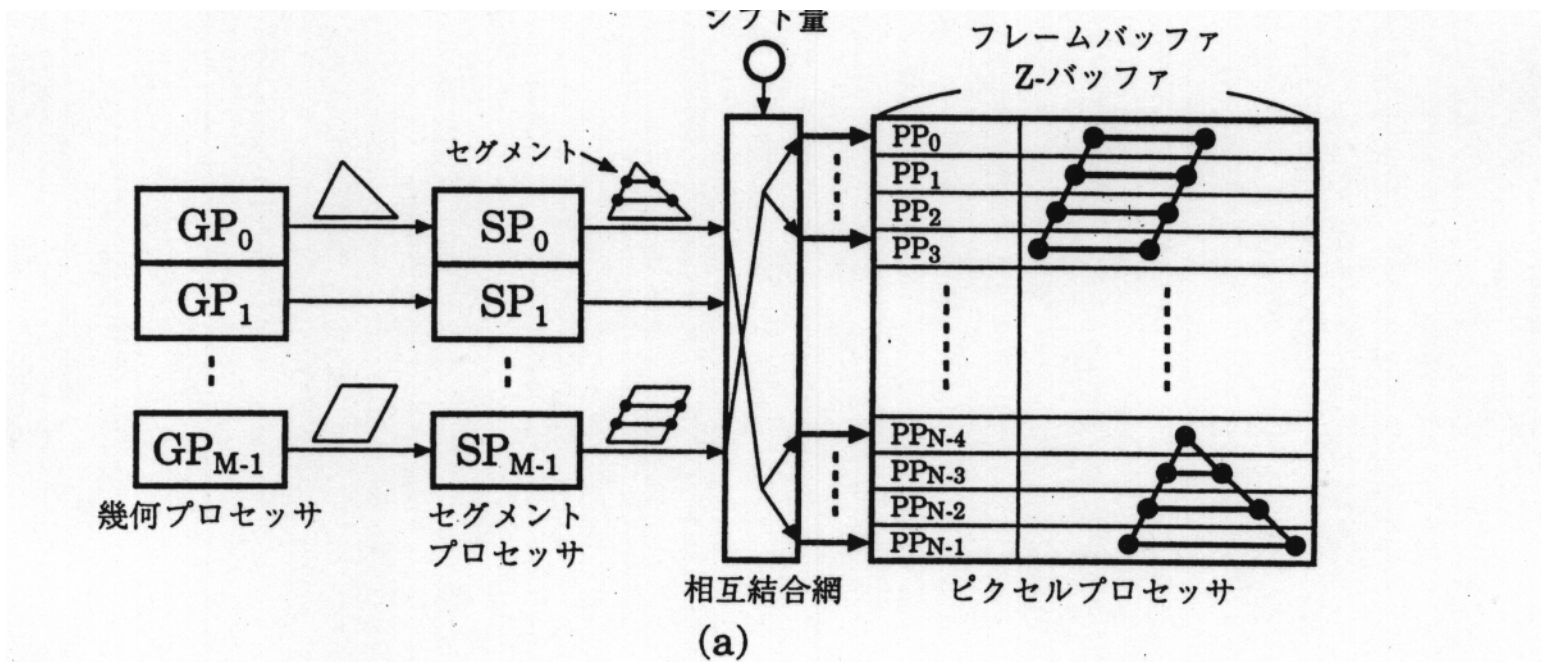


図 6.16 Zバッファ法による並列処理

視線探索法

- ・基本方式

1次視線と物体表面との交差判定

透過視線と反射視線

輝度計算

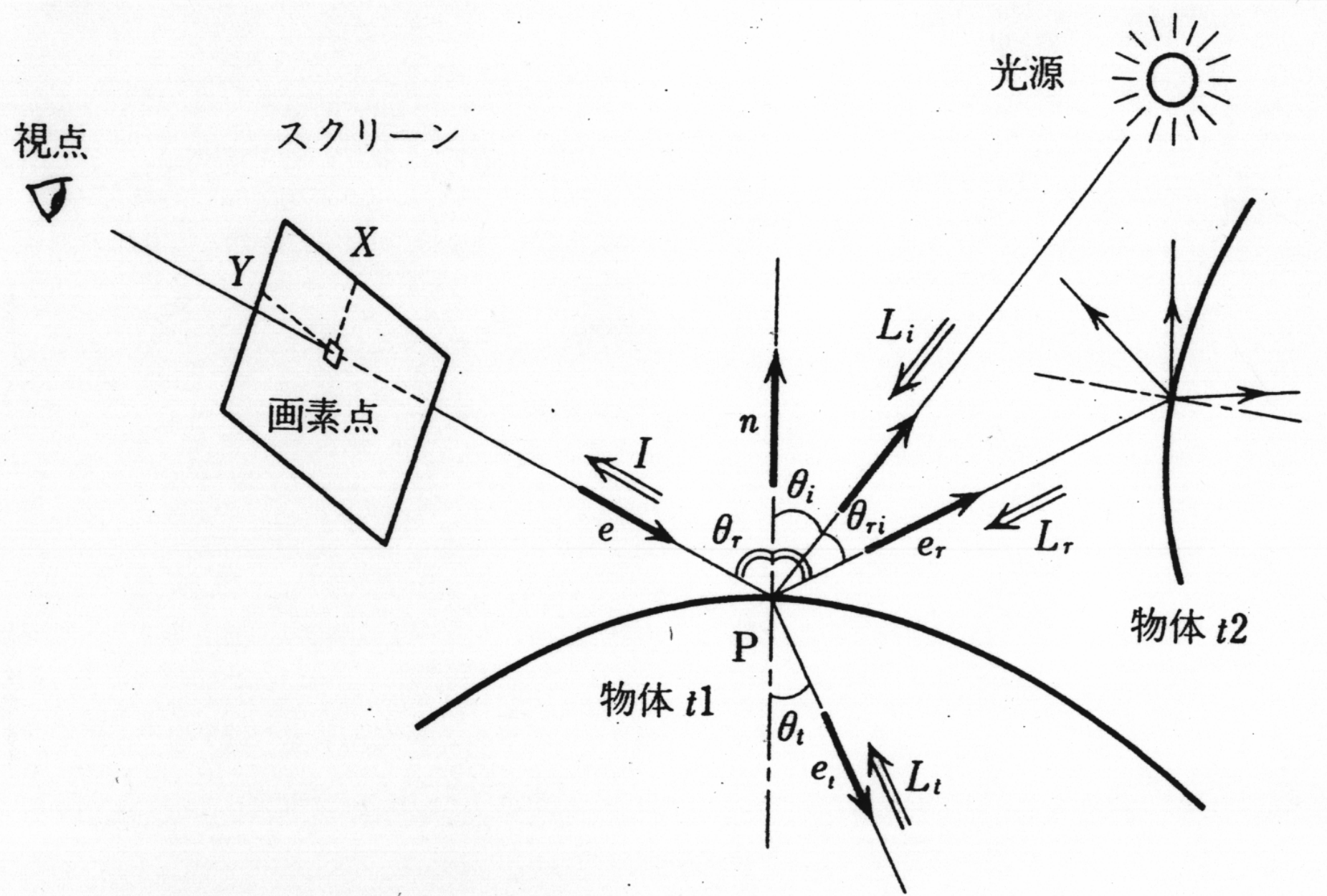
$$I = I_a + k_d n \cdot L_i + k_s L_r + k_t L_t$$

ただし、

I_a : 周囲光

n : 面の法線ベクトル

- ・交差判定に時間がかかる
　簡単な構造の外接物体の導入
- ・反射や屈折処理可能
- ・非常に美しいレンダリング可能



(3 3)

L_i : 光源からの入射光の強度 (ベクトル)

k_s : 正反射率、 k_t : 透過率

L_r : 正反射成分、 L_t : 透過成分

- ・並列処理

- (1) ピクセル並列

- 各プロセッサ : データベースのコピー

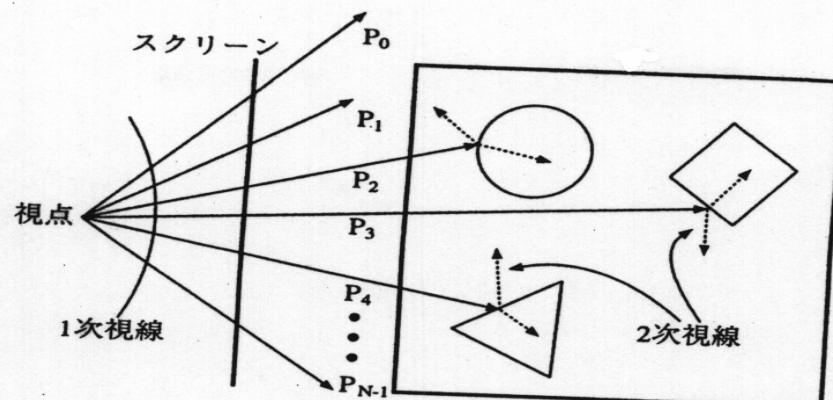
- (2) 空間並列

- 3次元空間の分割法

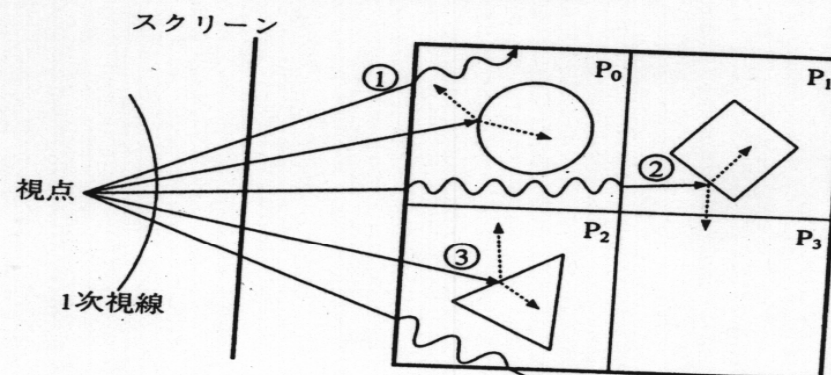
- オクトリー法 (octree)

- 空間等分割法

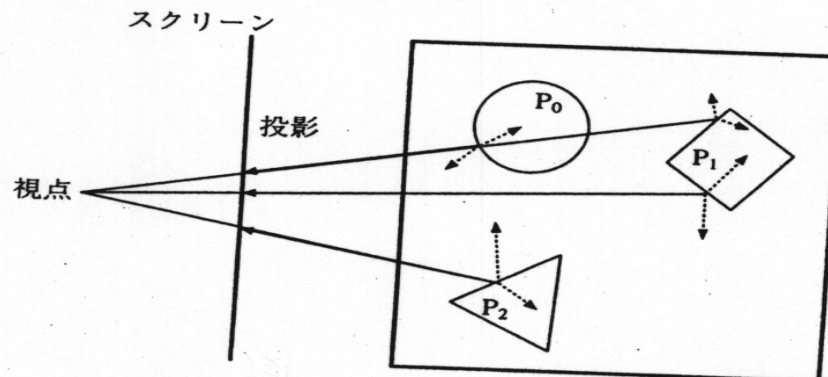
- (3) 物体並列



(a) ピクセル並列



(b) 空間並列



(c) 物体並列

図 6.18 視線探索法の並列化

6.3.2ボリュームレンダリング

医療画像や科学技術計算結果の3次元表示

問題点

ボリュームデータは3次元メモリが必要

処理時間が大

3次元配列としてデジタル化

回転やズーム処理で歪

法線ベクトルなど物体表面の関する情報なし

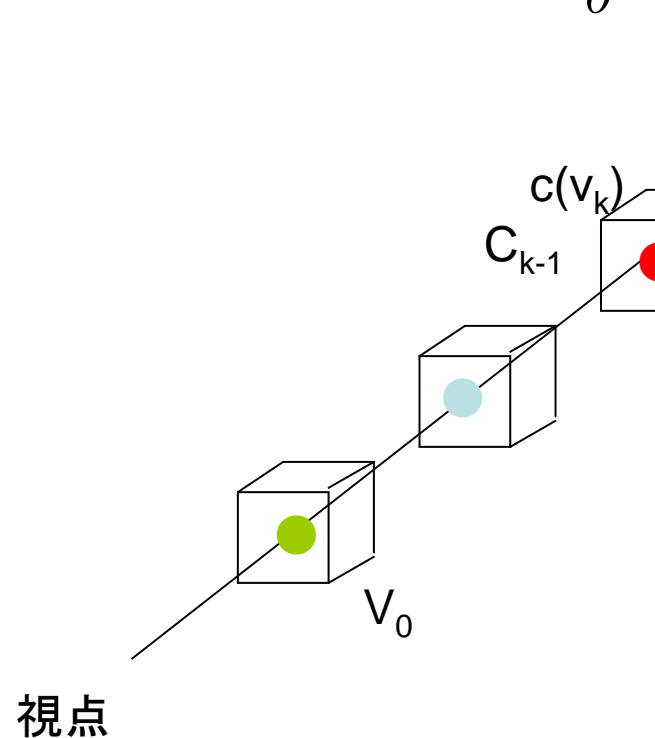
近接ボクセル値より計算する必要

アルゴリズム

$$P = \sum_{i=0}^n \alpha(v_i) c(v_i) \prod_{j=0}^{i-1} (1 - \alpha(v_j))$$

$$C_{k-1} = \alpha(v_k) c(v_k) + (1 - \alpha(v_k)) C_k$$

$$C_0 = P$$



$\alpha(v_k)$: ボリューム k での不透明度

$c(v_k)$: ボリューム k での色

$(1 - \alpha(v_k))$: ボリューム k での透明度

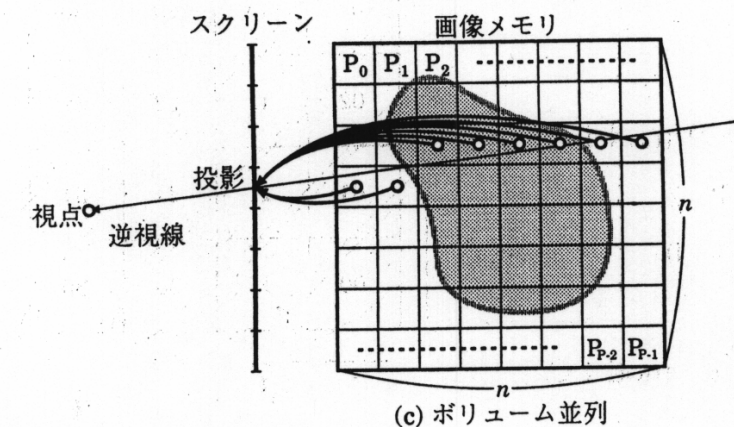
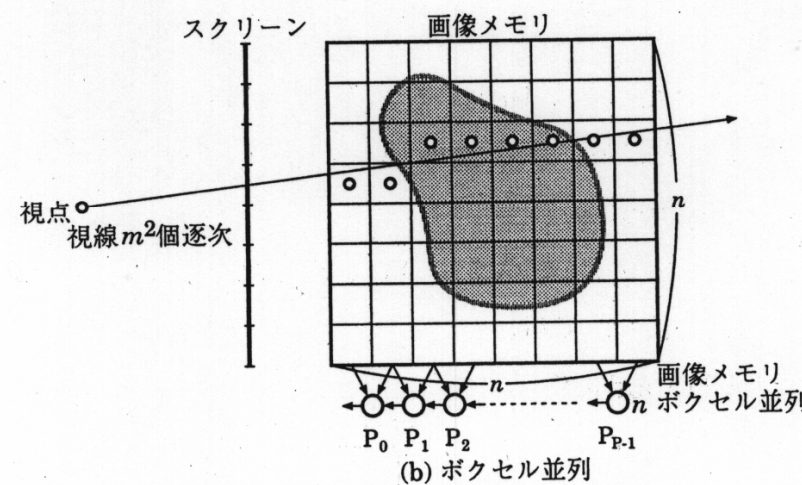
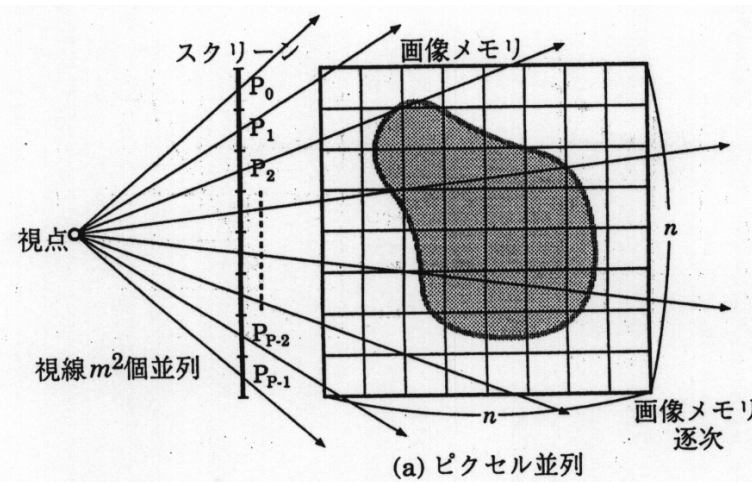
C_k : ボリューム k までの累積色

並列処理方式

ピクセル並列

ボクセル並列

ボリューム並列



ピクセル並列

ボリュームメモリをコピー：単純

分散共有メモリ（キャッシュメモリ）

リアルタイム性が保証できない

ボクセル並列

3次元直交メモリが必要

リアルタイム性が保証できる

- ReVolver（京都大学）

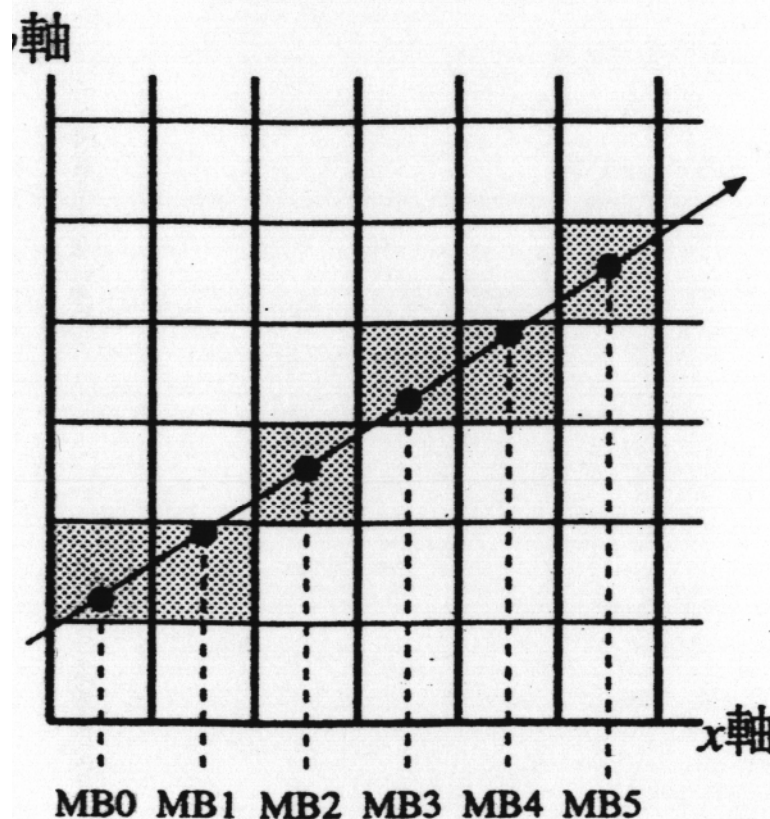
ボクセル並列

3重化3次元メモリ

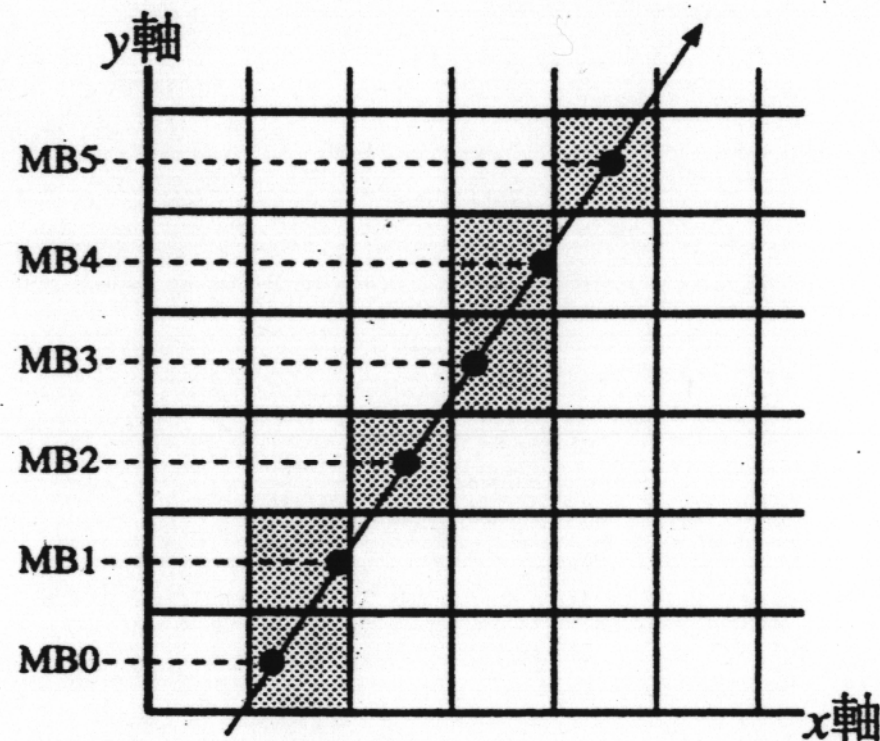
主軸サンプリング

ボクセル並列

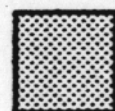
(1) 主軸がx軸の場合



(2) 主軸がy軸の場合



●サンプル点

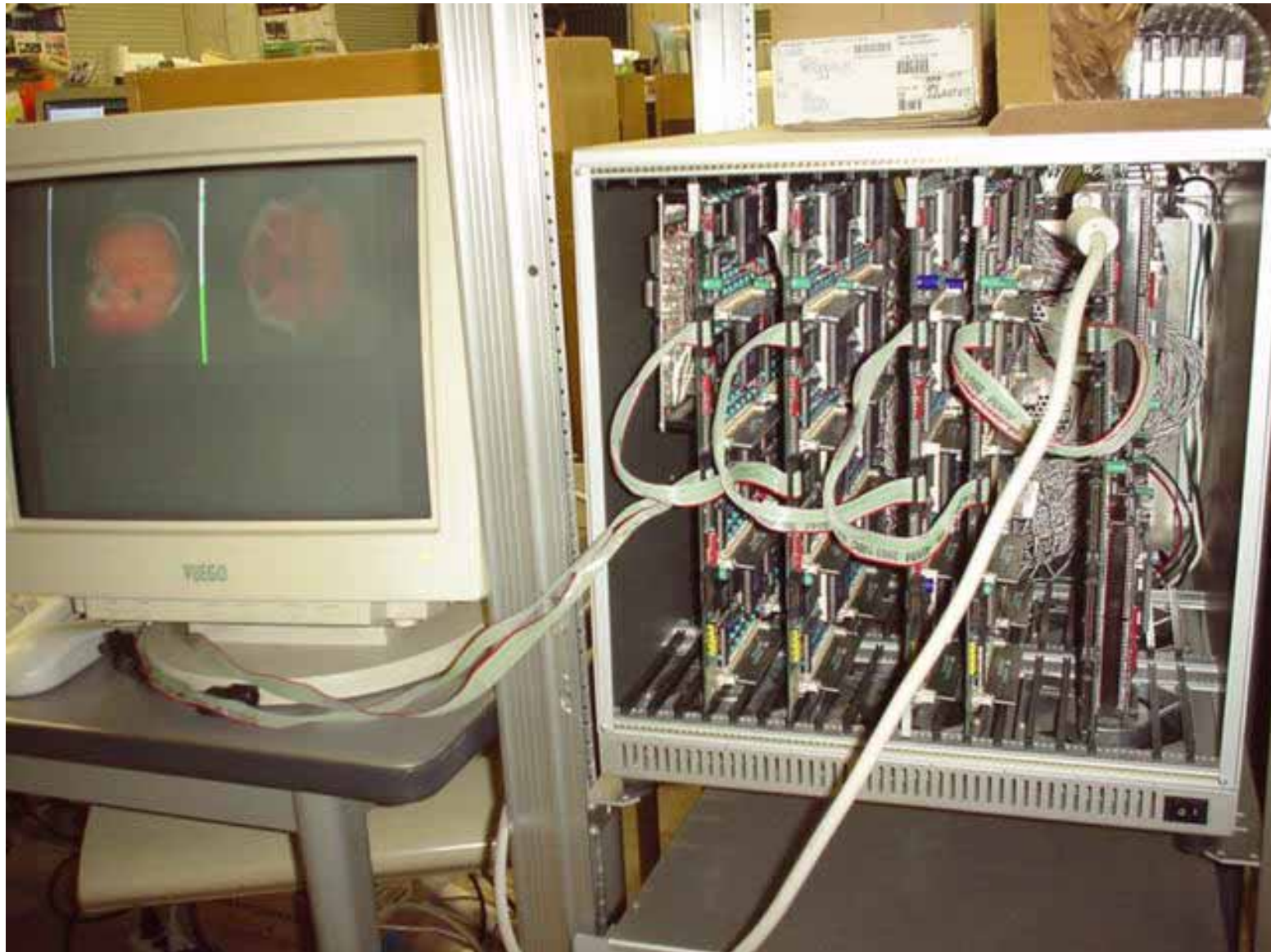


アクセスされるボクセル

MB0-MB5 メモリバンク番号

図 6.21 ReVolver のメモリ構成

ReVolver C-40:對馬、明石、富田ほか:情報
処理学会論文誌、36,7,pp.1709-1718,1995



Cube(ニューヨーク大.Kaufman)

- Cube

$$k = (x+y) \bmod n \quad (3 \ 4)$$

第1行 (y=1)

$$k = (x+1) \bmod 4$$

$$\begin{array}{ccccc} k & 0 & 1 & 2 & 3 \end{array}$$

$$\begin{array}{ccccc} x & 3 & 0 & 1 & 2 \end{array}$$

第2行 ($y=2$)

$k = (x+2) \bmod 4$ で

k	0	1	2	3
-----	---	---	---	---

x	2	3	0	1
-----	---	---	---	---

第1列 ($x=1$)

$k = (1+y) \bmod 4$ で

k	0	1	2	3
-----	---	---	---	---

y	3	0	1	2
-----	---	---	---	---

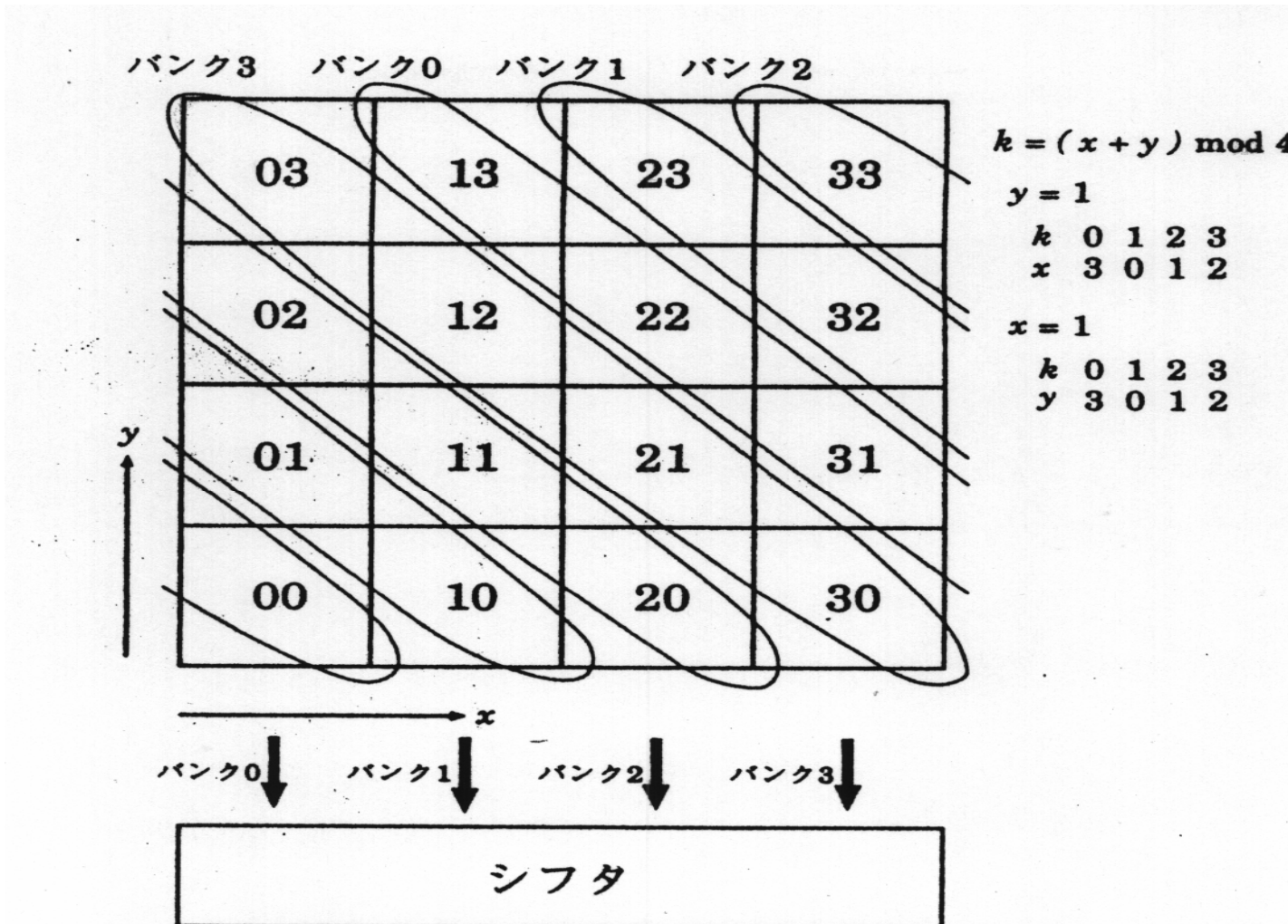
X 方向、 Y 方向に水平な視線：同時読み出し [直交メモリ](#)

任意方向の視線：一旦 2 次元メモリの内容を回転

Cube：平行投影向き（視点が無限遠点にあり、すべて

の視線が平行となっている)

遠近法（視点からの視線が平行でない）は困難



Cubeの3次元メモリ

$$k = (x+y+z) \bmod n \quad (35)$$

x, y, z 方向に並行な視線データ: 同時アクセス

n バンク構成

$0 \leq x, y, z, k \leq n-1$

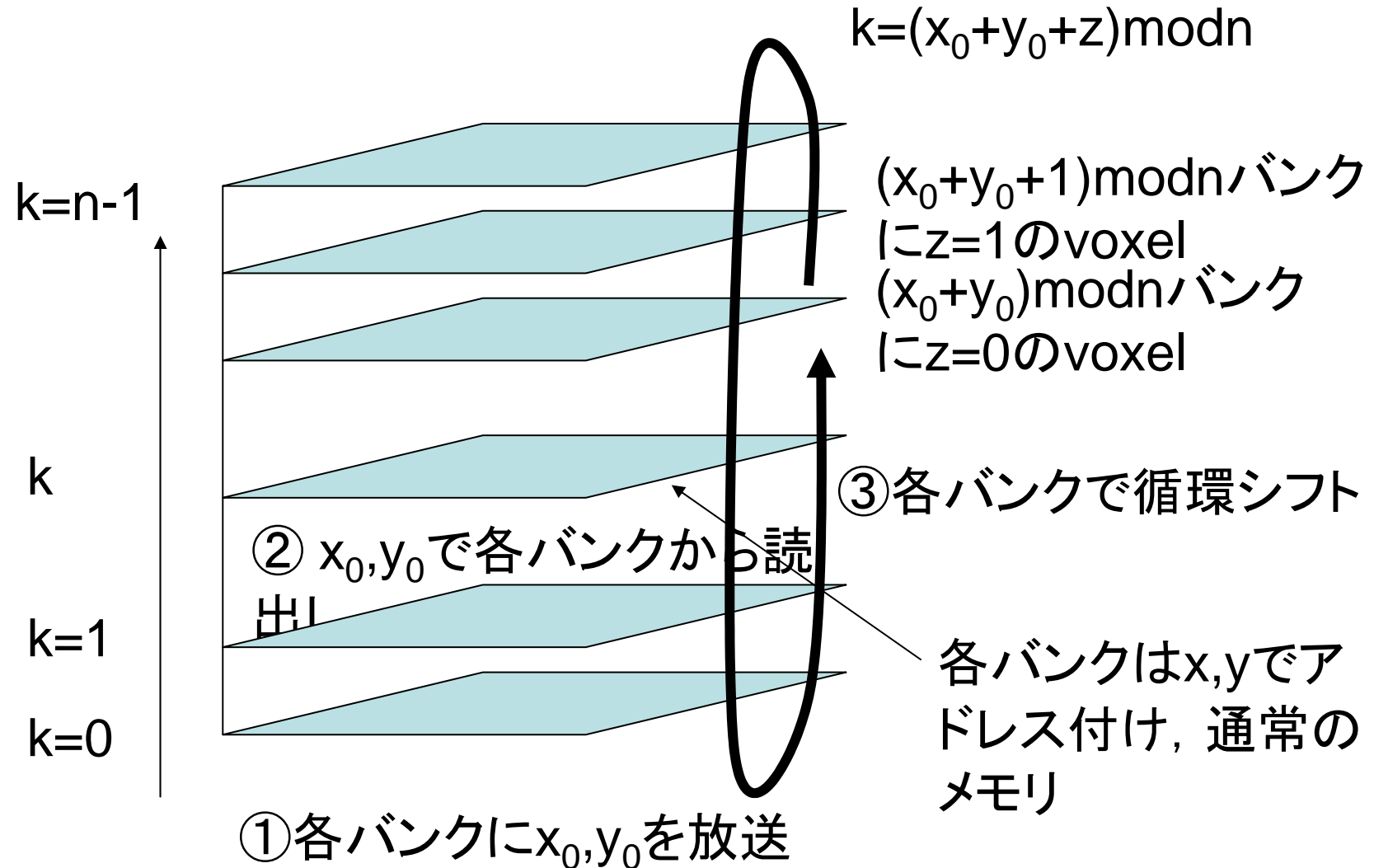
各バンク:

n^2 voxelsの通常のメモリ

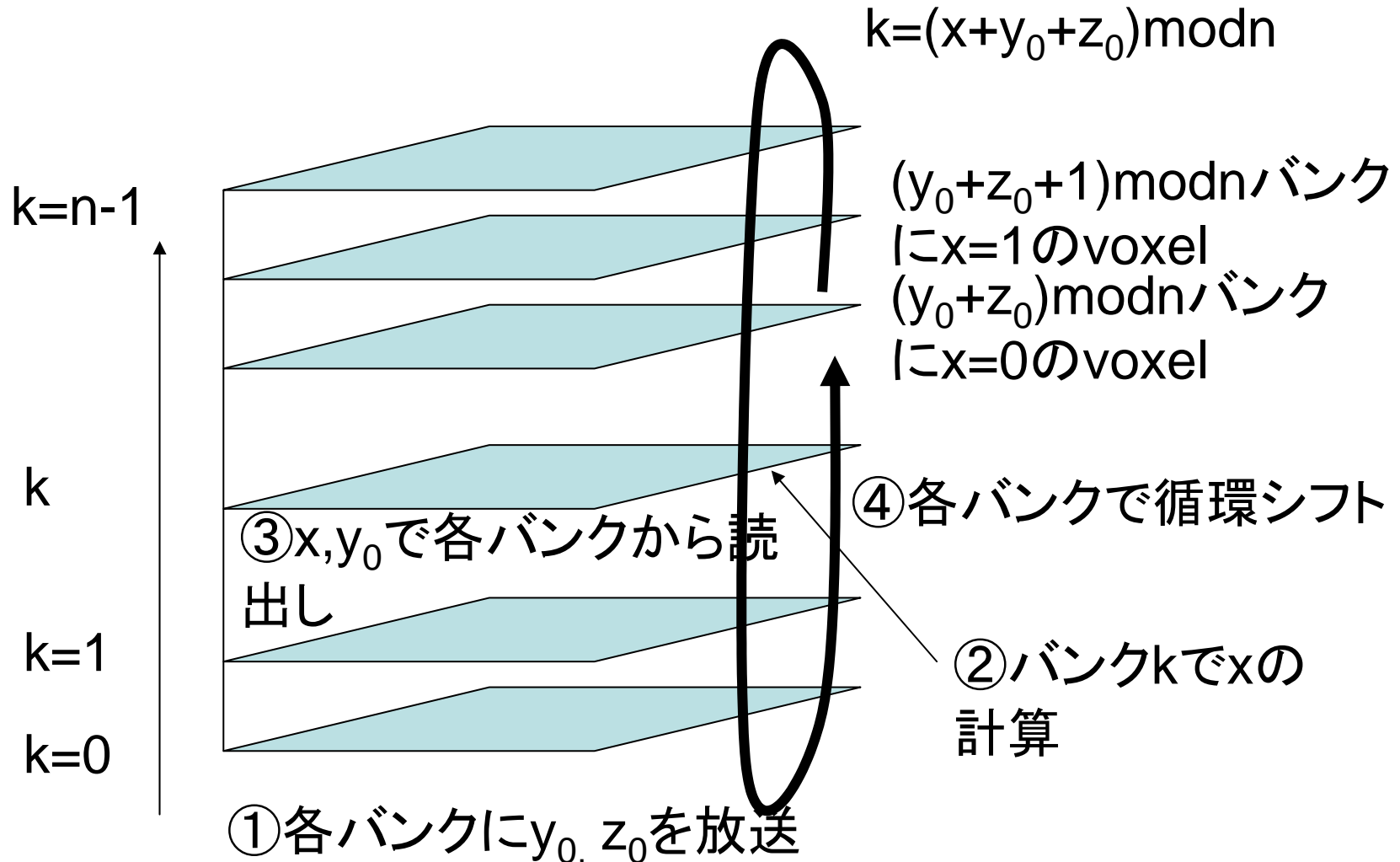
x, y でアドレス付け

$k = (x+y+z) \bmod n$ で決まる z が求まり, そのVoxel値が求まる

Z軸に平行なVoxelへの並列アクセス

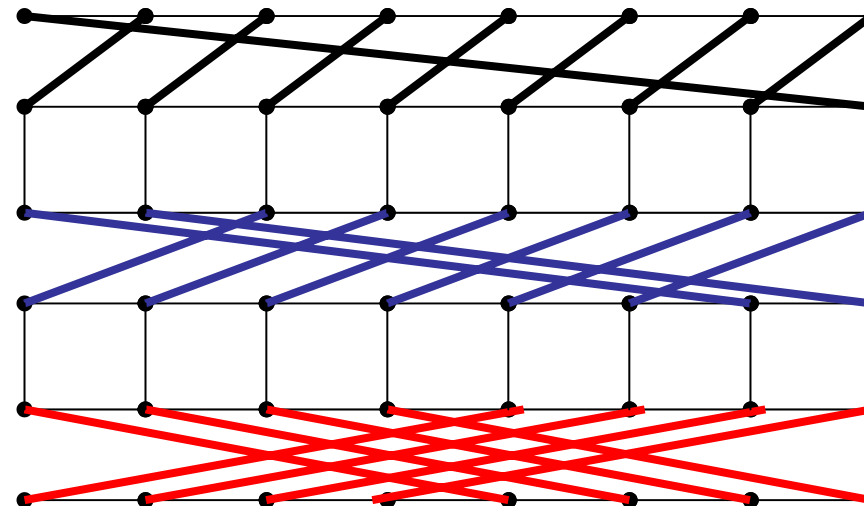


X軸に平行なVoxelへの並列アクセス



バレルシフタ

入力



出力

シフト量
($a_2a_1a_0$)

$a_0=1$

$a_1=1$

$a_2=1$

Logn段

x,y,z方向に平行でない視線データ

物体データを3次元メモリ内で回転

x,y,z方向に平行な視線でみる

物体データの回転:x,y,z軸周りでの回転を合成

$$X = \cos x + \sin y \quad (36)$$

$$Y = -\sin x + \cos y$$

(x, y) を固定したとき、

各バンク k :

式 (35) に対応した z 値

式 (36) : z の値に無関係に定数

バンク k の (x, y, z) に存在するデータの同時に読み出し
バンク k' { $k' = (X+Y+z) \bmod n$ } に一斉にバレルシフタで転送

シフト桁数 (X+Yに対応する) : すべてのバンクについて同一
すべての (x, y) について実行

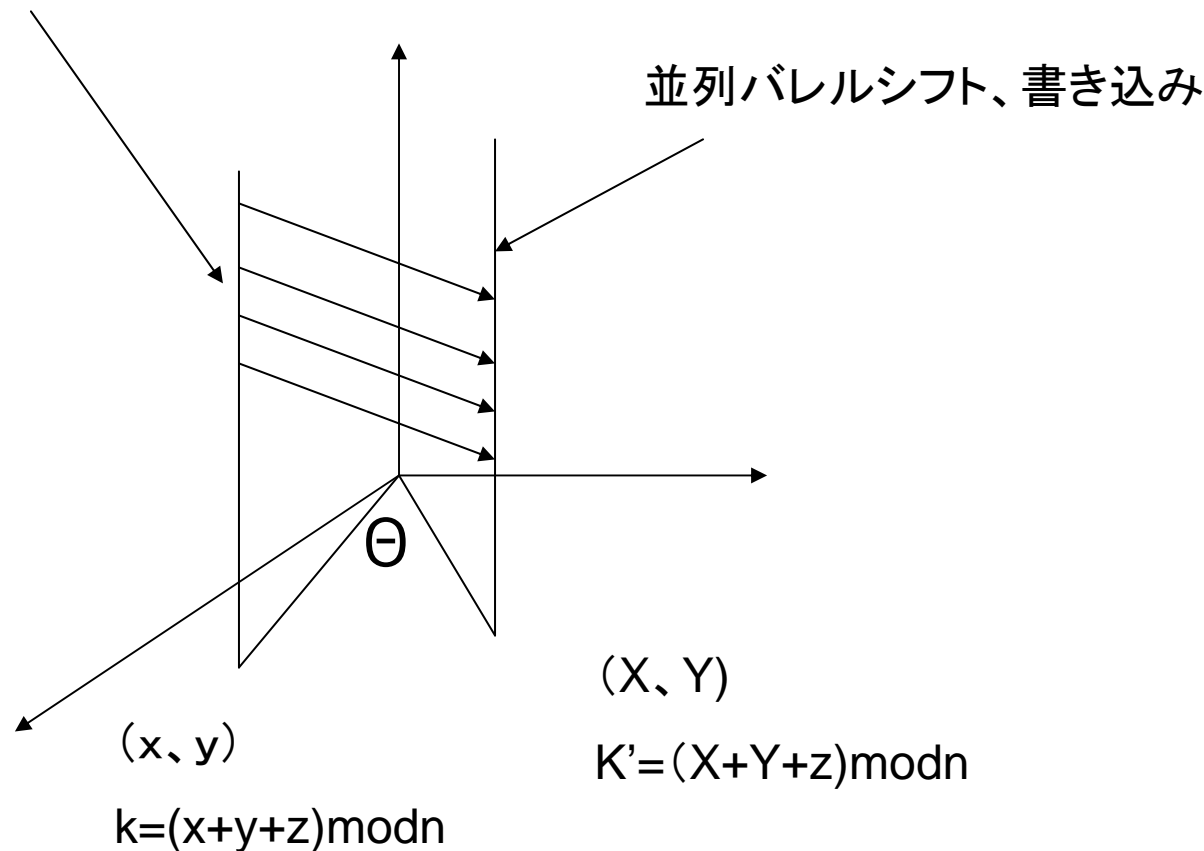
z 軸周りの回転

バレルシフタの時間 : $\log n$

1 つの軸当たり : $n^2 \log n$ 時間必要

z軸周りでの θ 回転

Z値の並列呼び出し



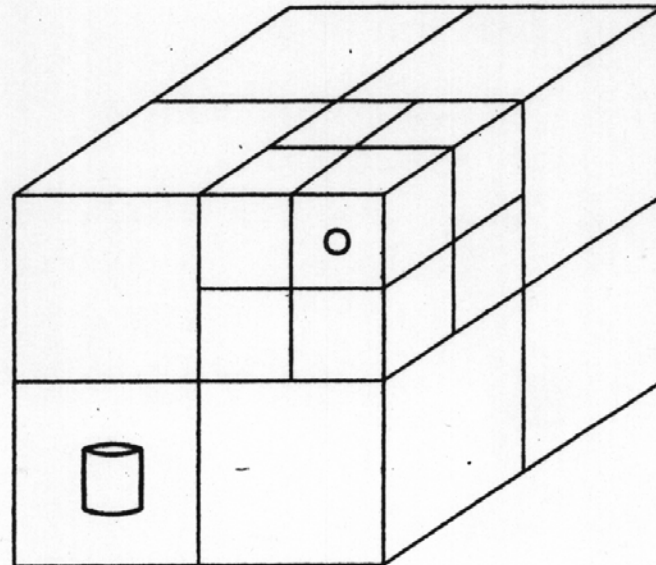
③ボリューム並列

視点から見たボクセルの奥行き情報

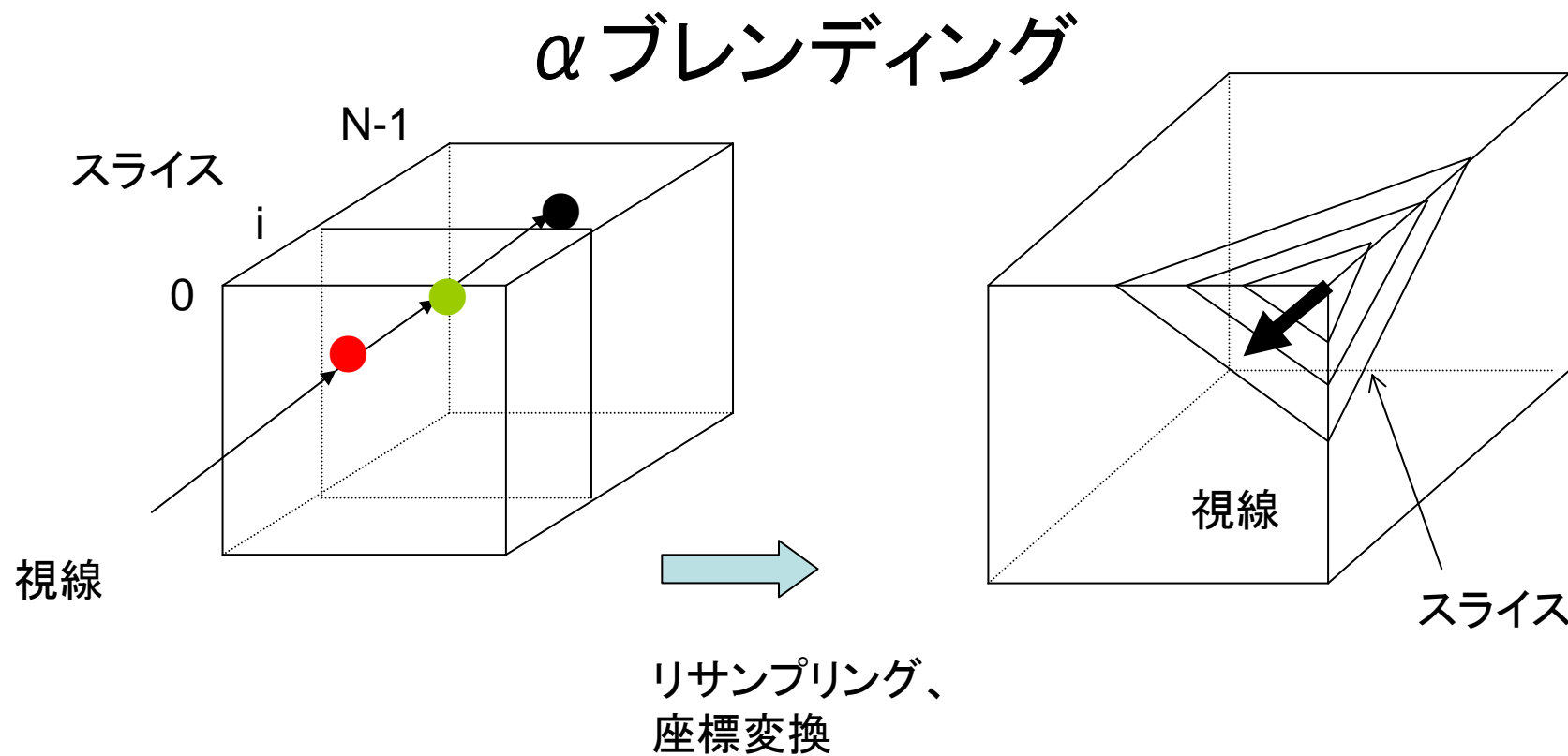
によるソート

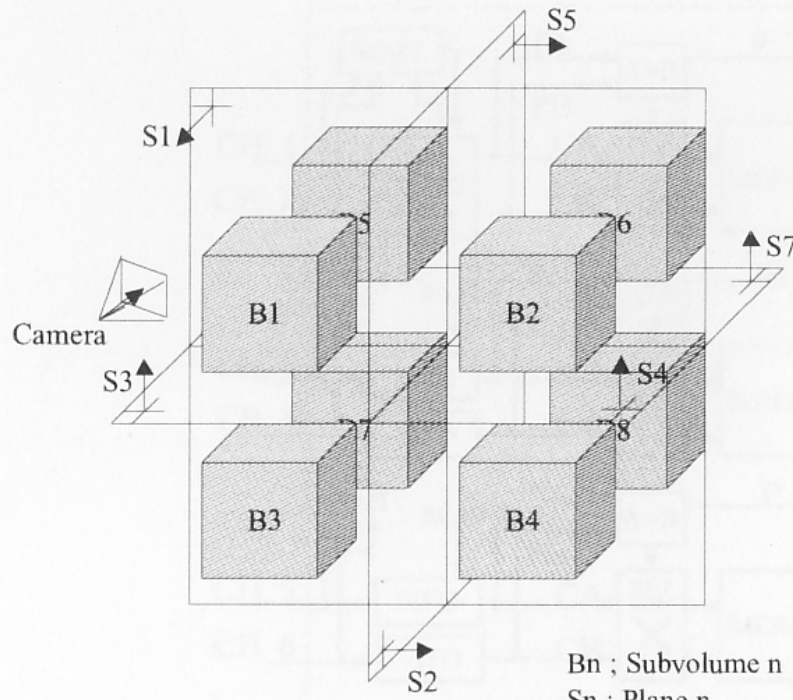
視点変更:ボクセル座標変換

空間分割:空間等分割、オクトリー分割

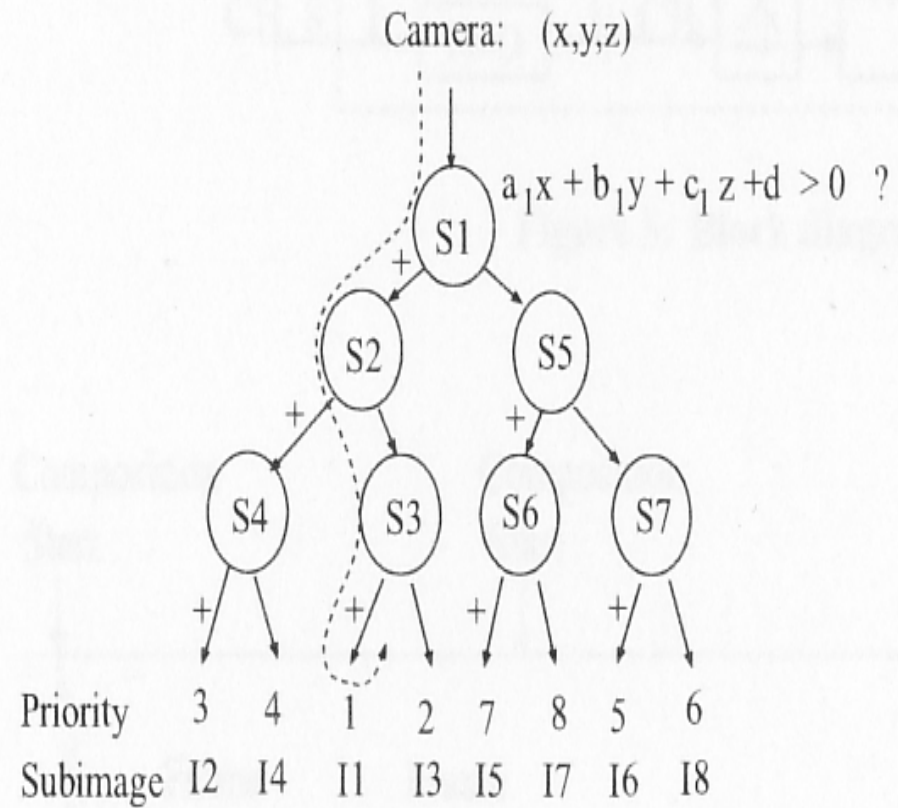


汎用グラフィックスカードを用いた ボリュームレンダリング

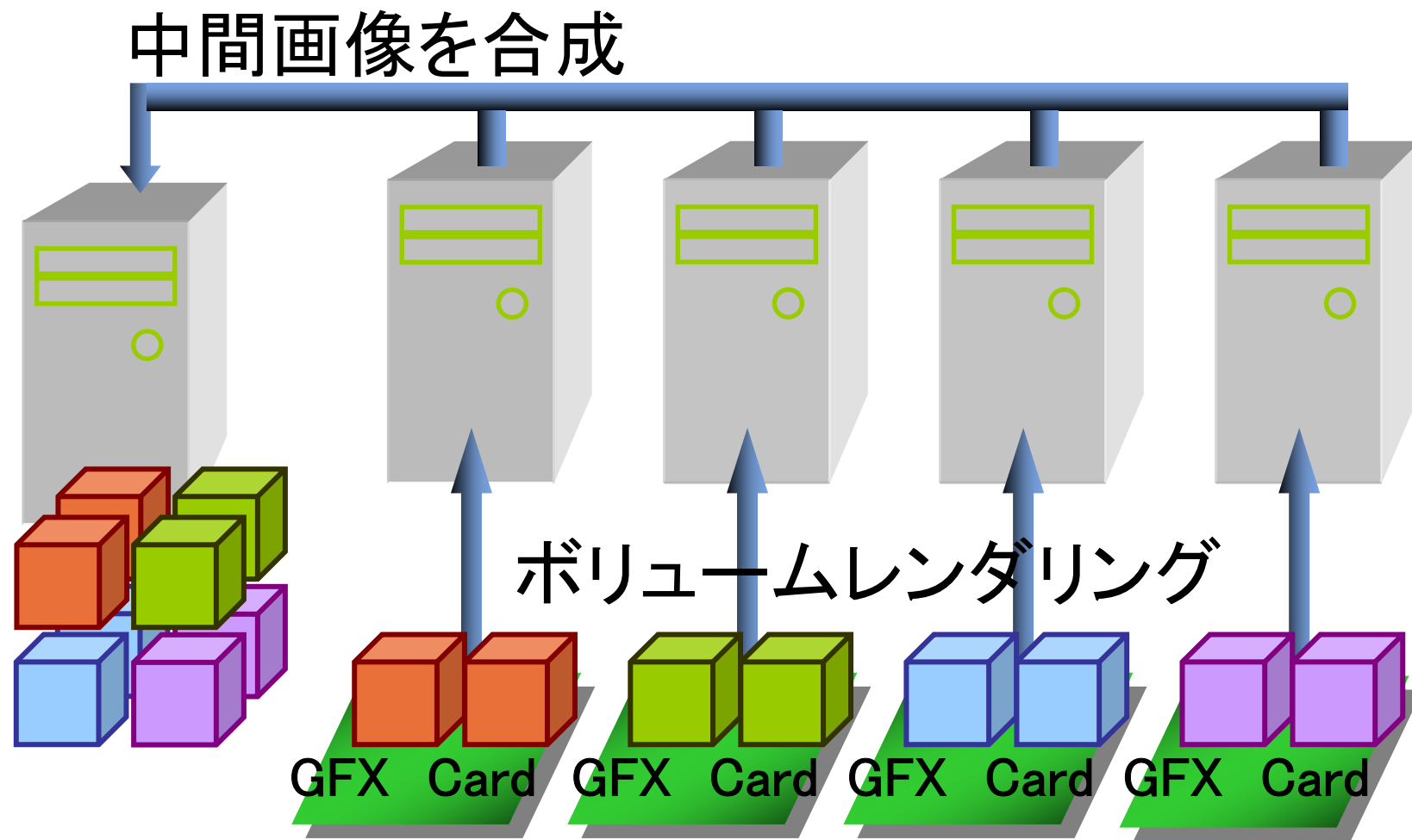




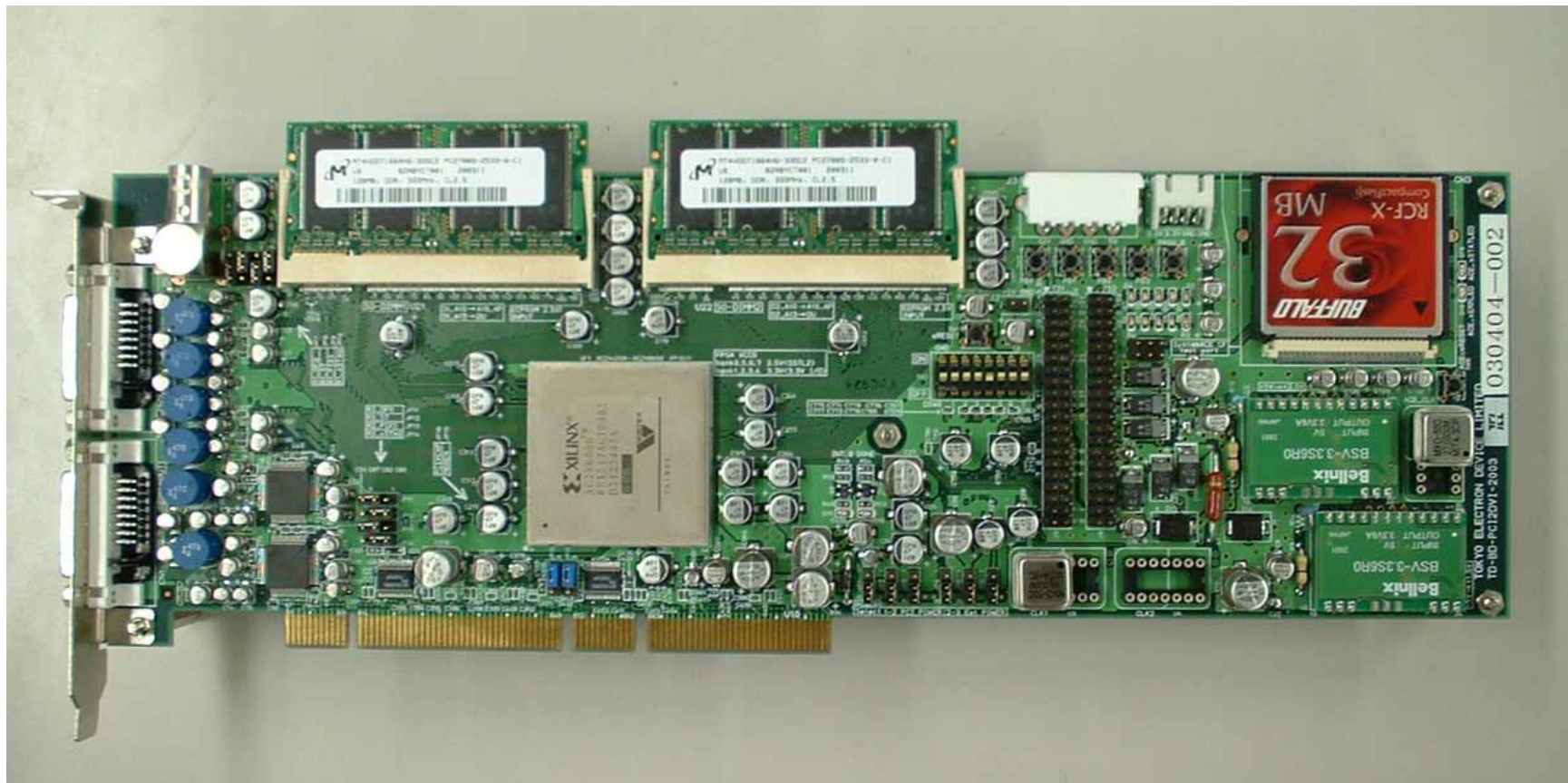
(a) Subdivide a volume data into subvolumes (B_n).



並列化手法



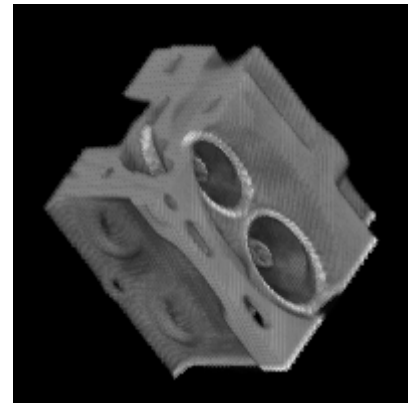
Visaカード



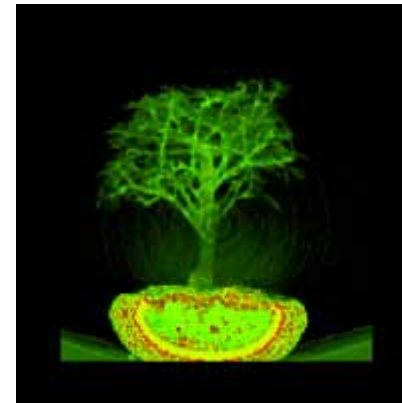
実装環境

Master
Pentium4 1.8GHz
512MB
GeForce4 Ti4600
128MB DDR
Slave(4台)
Pentium3 1.0GHz
512MB
RADEON9700PRO
325MHz Clock
Pipeline Unit 8
演算速度: 2.6Gpixel/sec
128MB DDR
Red Hat Linux
100BASE Ethernet
PVM3.4

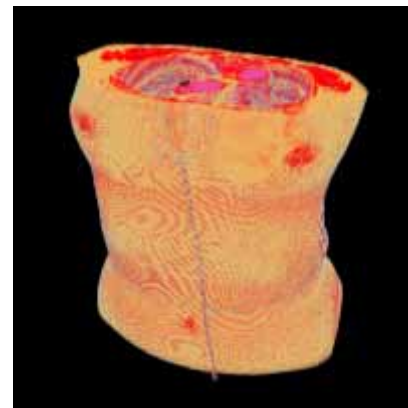
サンプルデータ



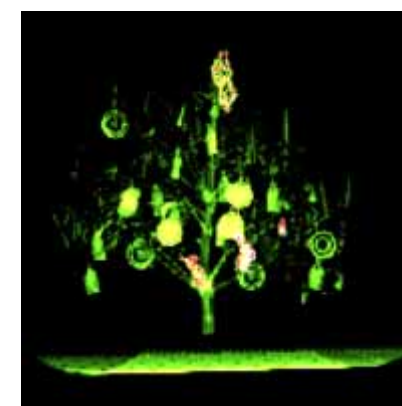
Engine: $256 \times 256 \times 128$



Bonsai: $256 \times 256 \times 256$



Chest: $512 \times 512 \times 512$



Tree: $512 \times 512 \times 1024$

並列化の効果

Data	描画速度[fps]			
	1台		4台	
	非分割	分割	非分割	分割
Engine (32MB)	102.4	39.9	17.7	18.0
Bonsai(64MB)	78.3	34.8	17.2	17.6
Chest (512MB)	-	0.066	1.30	13.2
Tree (1024MB)	-	0.007	-	0.77

分割:複数のテクスチャデータに分けて描画
サブブロックの数:4×4×4

6.4 VLSICAD

CADシステム

VHDLなどの高水準論理記述言語

論理シミュレータ

自動配置配線システム

回路シミュレーション

故障シミュレーション

6.4.1 論理シミュレーションの基本方式

ゲートレベルシミュレータ

AND、ORなどのゲートを単位とした細かな

シミュレーション

ブロックレベルシミュレータ

ゲートの集合体である機能レベルの高いブロック
を対象

全ゲート / ブロック方式

コンパイル方式:

前回と比較して入力信号に変化のないゲート /
ブロックに対してもすべてシミュレーション

回路図はそれと等価な動作を行うプログラムにコ
ンパイル

個々のゲート / ブロックに対応するプログラム部
分は信号伝ばん順に必ず実行

イベント駆動方式

前回と比較して入力信号変化のあったゲート／ブロックのみシミュレーション

インタプリタ的な方式で処理

同期方式と非同期方式

- 同期方式

時刻 t でのシミュレーションが全回路について
終了したのち、次の時刻 $t + 1$ のシミュレーションを開始

- 非同期方式

時刻 t でのシミュレーションが全回路について終了していないのに、部分的に時刻 $t+1$ のシミュレーションを開始

保守的方式：時刻 $t+1$ のシミュレーションを開始しても安全な（将来矛盾が起こらない）回路部分のみをシミュレーション。悲観的方式

タイムワープ方式：楽観的方式。 **投機的な実行**

安全でないような場合についてもシミュレーションを先に進める。

時刻 t での処理結果が、すでに開始された

時刻 $t+1$ のシミュレーションに影響を与える場合には、時刻 $t+1$ のシミュレーション結果は棄却され、時刻 t からシミュレーションはやり直される。

6.4.2専用並列論理シミュレータ

IBMのYSE、
富士通のSP、
NECのHAL

HALの構成

29台の論理プロセッサ
2台のメモリプロセッサ
メモリ装置をシミュレート
1台の制御プロセッサ
多段結合網

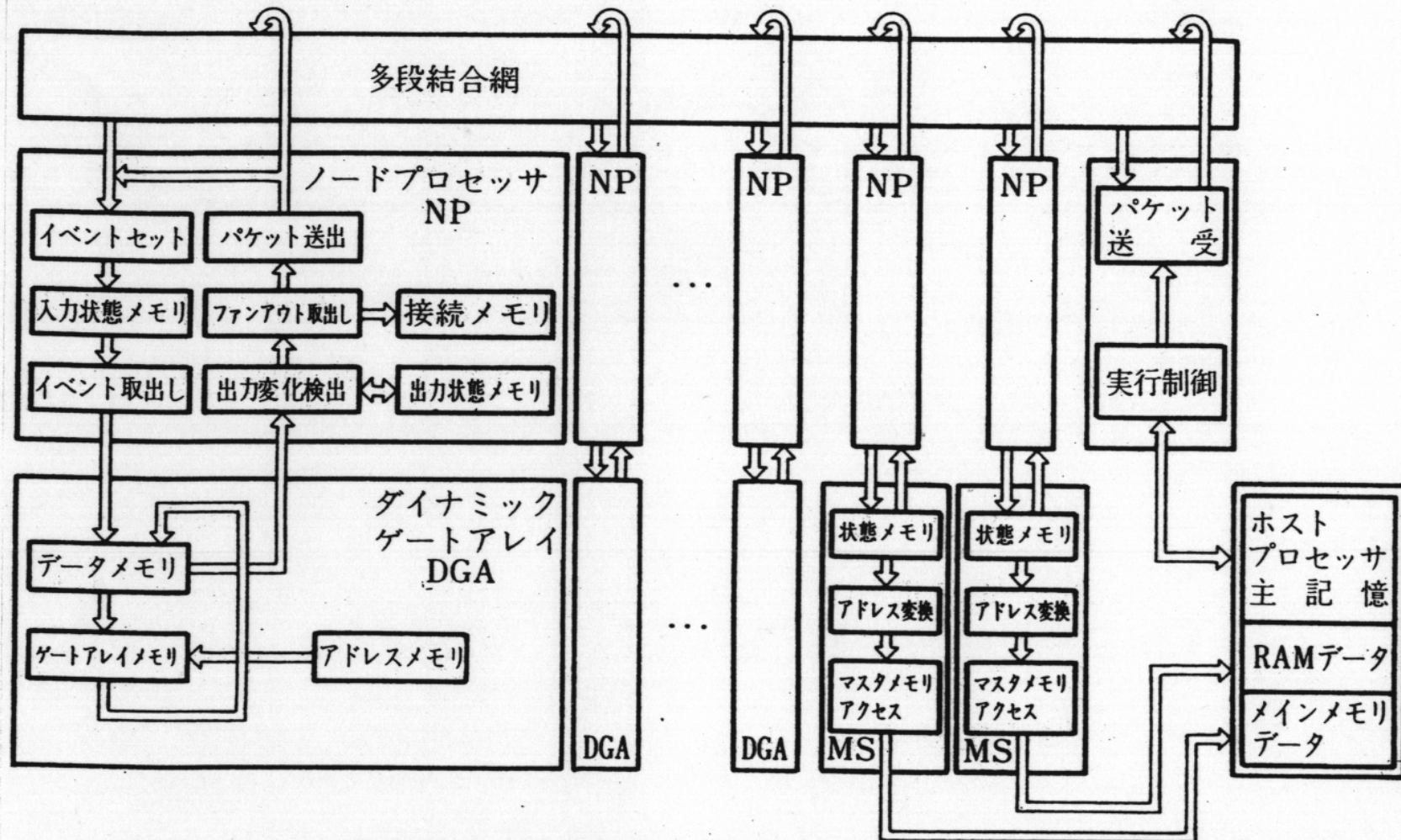
HAL:NECの並列コンピュータ
Cenjuの祖先

論理回路：

32入力32出力（数十～数百ゲートの論理回路に相当）を有する論理的にまとまりのある機能ブロックに分割

各ブロック：プロセッサの入出力状態メモリや接続メモリに格納

入力状態、出力状態、出力ピンの接続先（プロセッサ番号、ブロック番号、ピン番号）、および



1

2

29

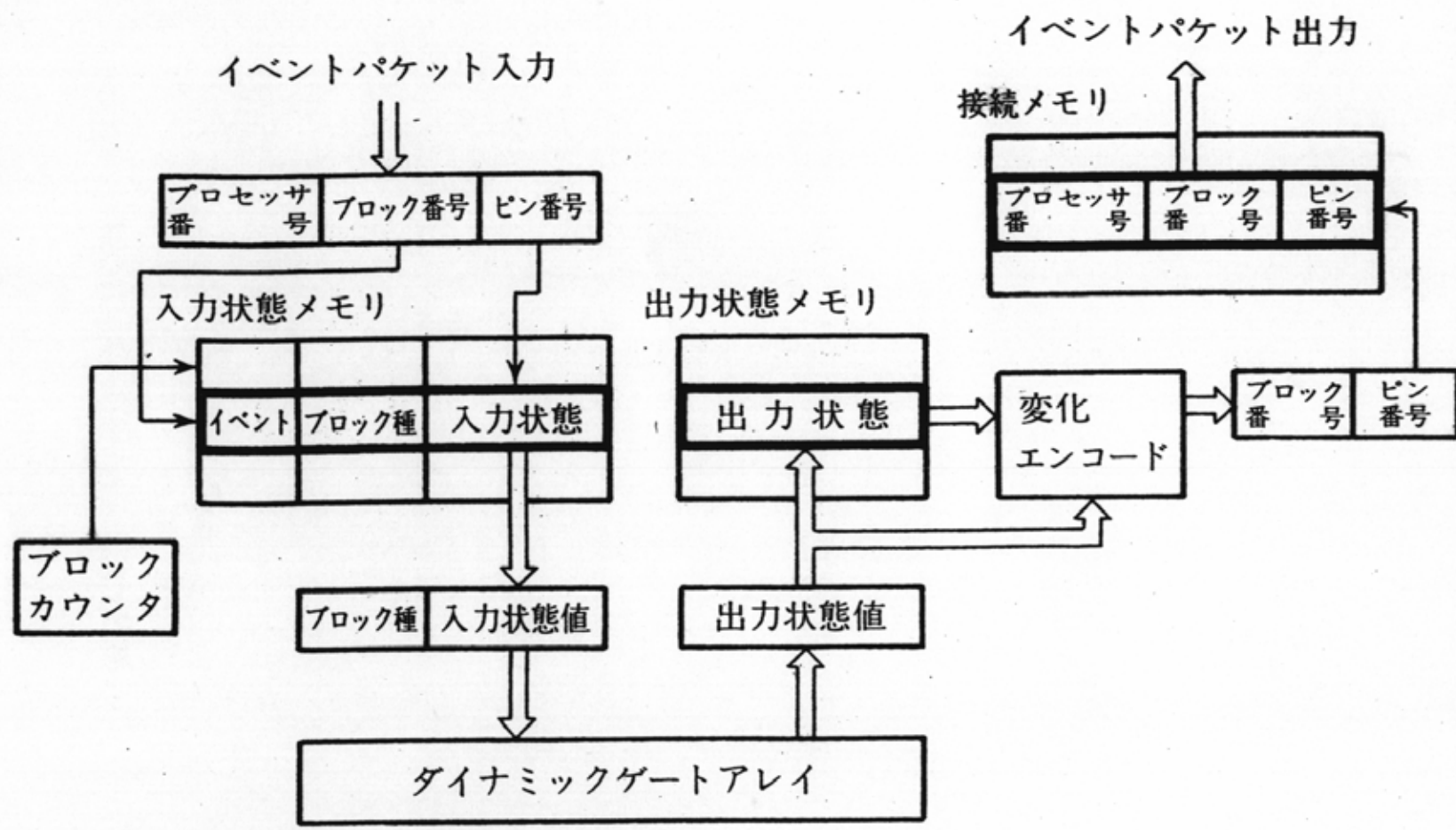
1

2

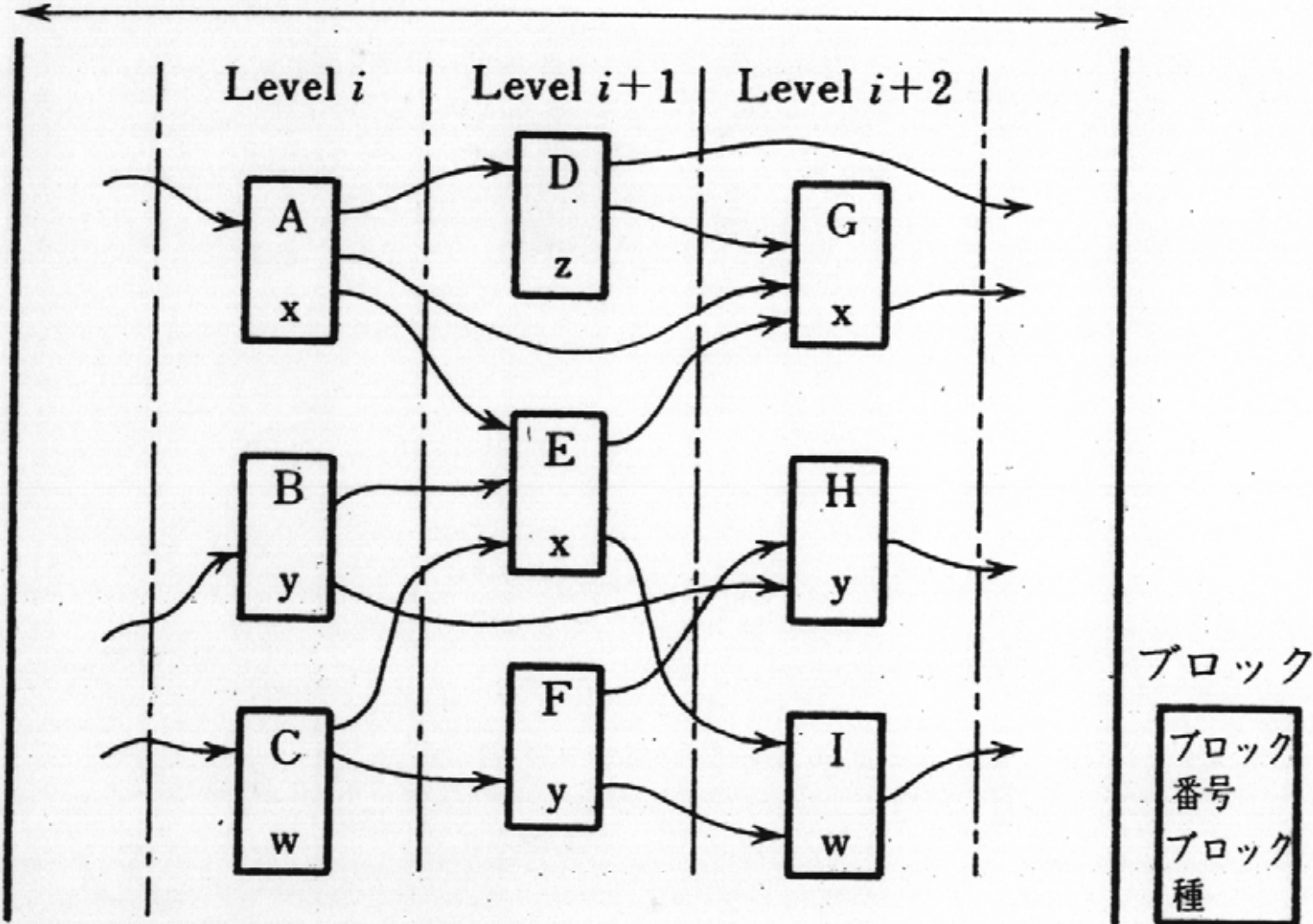
論理プロセッサ

メモリプロセッサ 制御プロセッサ

NP: ノードプロセッサ DGA: ダイナミックゲートアレイ



1 クロックサイクル



ブロック種（ブロックの論理機能を指示）

ブロックのシミュレーション：

ダイナミックゲートアレイ

真理値表：ブロック種を論理関数とし、入力状態

を論理変数

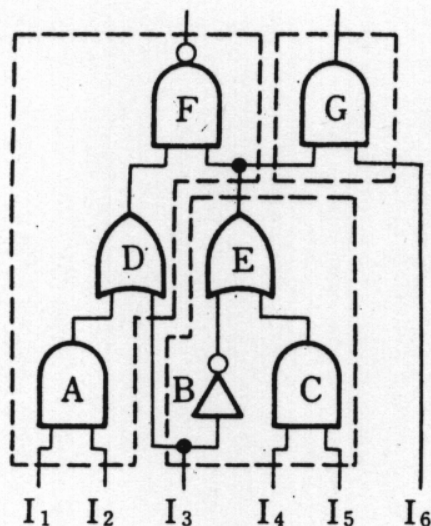
RAMによる真理値表を読み出し

6.4.3 スーパコンピュータの利用

日立のVELVET

信号線のベクトルデータの各々に対して

論理ゲートの操作を付隨



(a) 組合せ回路

```

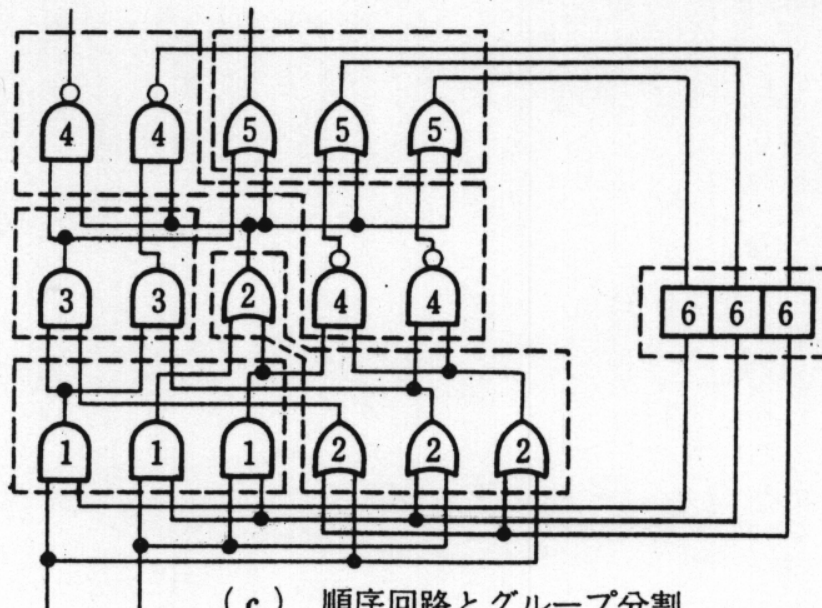
000001 READ(4,400) ((BUFF(J,I),J=1,LEN),I=1,6)
000002 DO 10 J=1,LEN
000003 BUFF(J,7)=IAND(BUFF(J,1),BUFF(J,2))
000004 BUFF(J,1)=IAND(BUFF(J,4),BUFF(J,5))
000005 BUFF(J,2)=IOR(BUFF(J,7),BUFF(J,3))
000006 BUFF(J,4)=NOT(BUFF(J,3))
000007 BUFF(J,3)=IOR(BUFF(J,4),BUFF(J,1))
000008 BUFF(J,1)=NOT(IAND(BUFF(J,2),BUFF(J,3)))
000009 10 BUFF(J,2)=IAND(BUFF(J,3),BUFF(J,6))

```

1行目 外部入力 $I_1 \sim I_6$ の読み込み

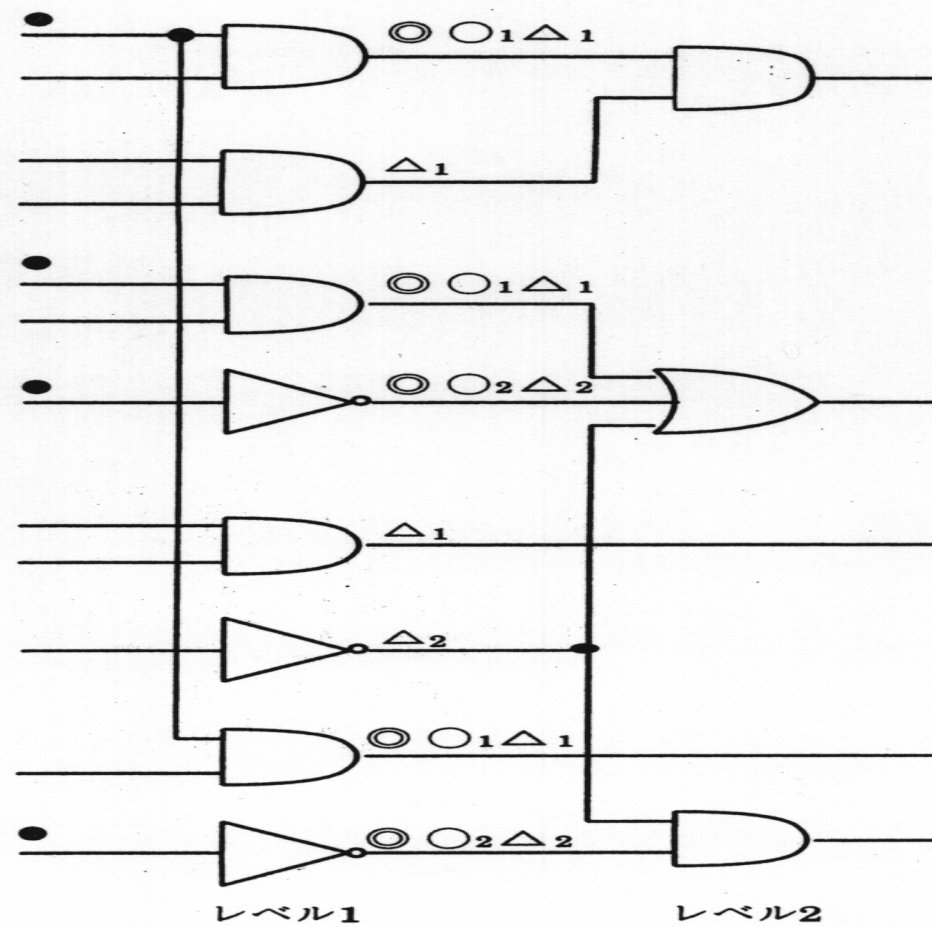
- 3行目 ゲート A の評価
- 4行目 ゲート C の評価
- 5行目 ゲート D の評価
- 6行目 ゲート B の評価
- 7行目 ゲート E の評価
- 8行目 ゲート F の評価
- 9行目 ゲート G の評価

(b) (a)に対するFORTRANプログラム



(c) 順序回路とグループ分割

●印：イベント発生



○ : VELVETで一つのベクトル命令での処理.
○₁, ○₂ : イベント駆動方式で二つのベクトル命令で処理
△₁, △₂ : コンパイラ方式で二つのベクトル命令で処理.

図 6.27 スーパコンピュータによる論理シミュレーション

演算パイプラインの考え方を止揚

スーパコンピュータの機能の利用

リストベクトル

- ・各レベル間での結線情報の処理

マスクレジスタ

- ・イベントが生じたゲートのマーク

ベクトルの収集・拡散

- ・イベントが生じたゲートのみへの処理

6.4.4マルチプロセッサ方式

並列論理シミュレーション：

一般的には並列離散的イベントシミュレーションの一問題

コンピュータシステムのシミュレーション例

コンピュータシステム：2台装備され、

各々時分割(TSS)で動作

ジョブ発生源：3つ

イベント：

ジョブ発生源からのジョブの発生

タイムクアンタムごとの処理の中斷や処理の終了

シミュレーション時刻t

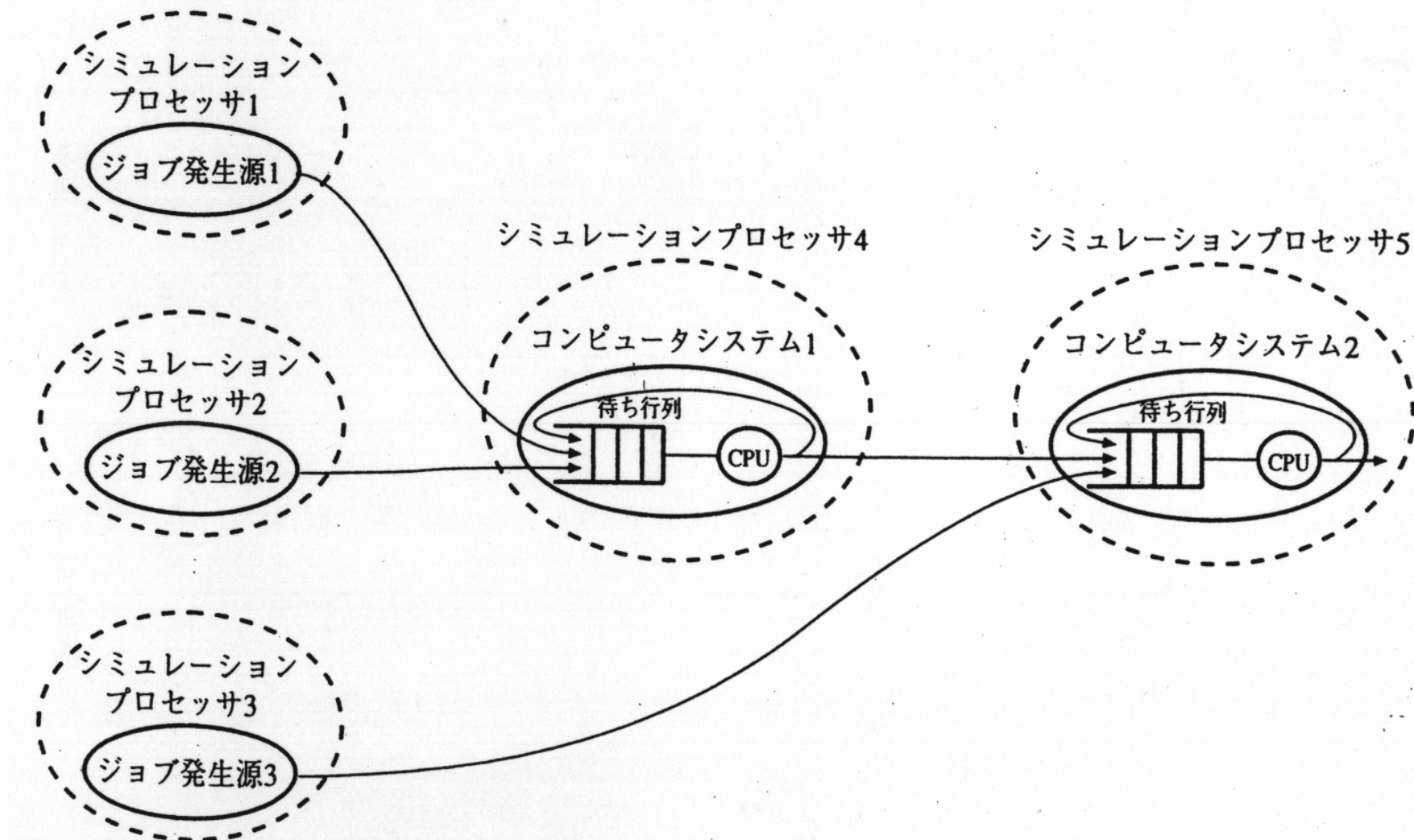


図 6.28 コンピュータシステムのシミュレーション

6.4.5 逐次シミュレーション

タイムホイール表で管理

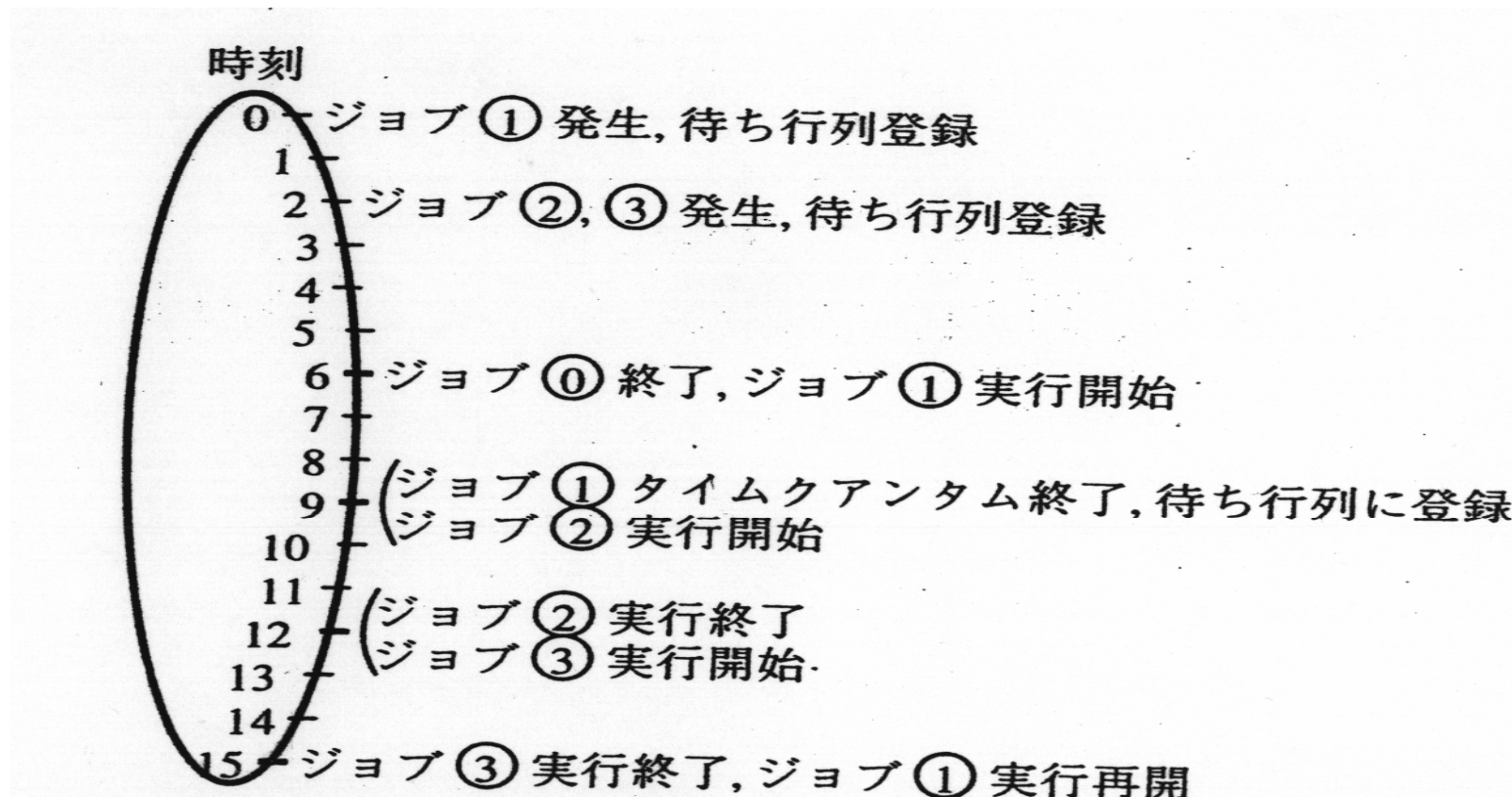


図 6.29 タイムホイール

6.4.6並列シミュレーション

(1) 同期方式

(2) 保守的方

- ・タイムスタンプ：イベントの発生する

- シミュレーション時刻

- ・イベントの種類：どのイベントの種類とその処理内容

- ・イベントの転送先

矛盾の生じない範囲でシミュレーション時刻
を各プロセッサで独自に進める

無矛盾性：シミュレーションノード（プロセッサ）

への制約で実現

各ノードの入力リンク：タイムスタンプの小さ
なものから順に到着

各出力リンク：タイムスタンプの小さな順でイ
ベントを生成

すべての入力リンク上に少なくとも 1 つの
イベントが存在するとき
すべての入力リンク上の入力イベントのうち最
も小さなタイムスタンプを有する入力イベント
を取り出し、
そのノードでの出力時刻（入力イベントのタイ
ムスタンプ値にノードでのイベント処理時間
を加算した時間）をタイムスタンプとして、
出力リンクにイベントとして出力
デッドロックの生起
ヌルメッセージの使用

保守的な方式をマルチプロセッサで
実現する際の問題点

通信量の増大

ヌルメッセージなどで通信量が増加

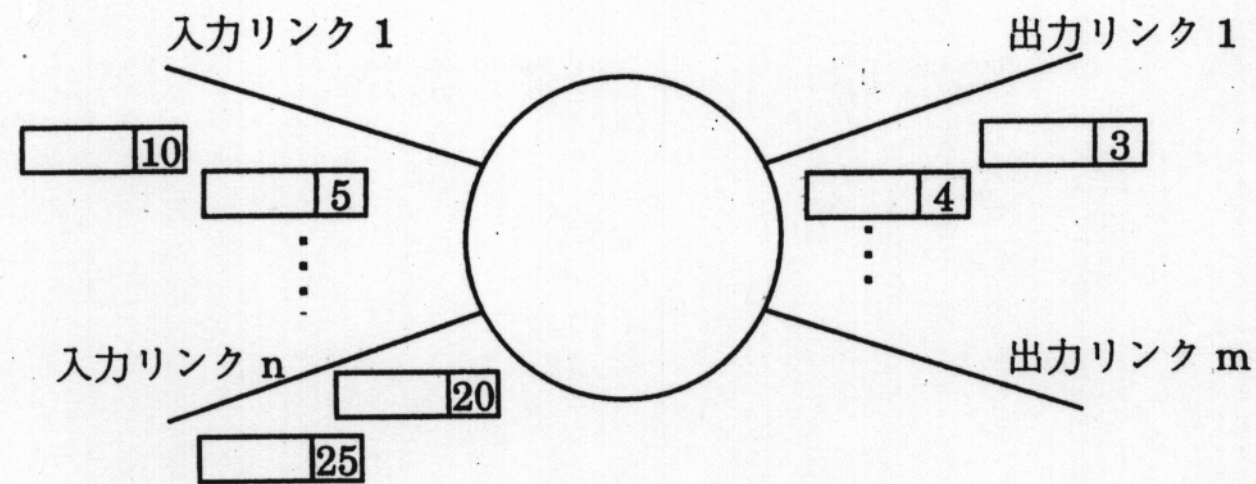
低並列度

イベント A、 B

B は A が生じなかった場合に起動

A が生ずるのはきわめて希

A が生じなかったことが判明するまで、 B を待た
すのは無駄



(a) 保守的方式のタイムスタンプシミュレーションノード

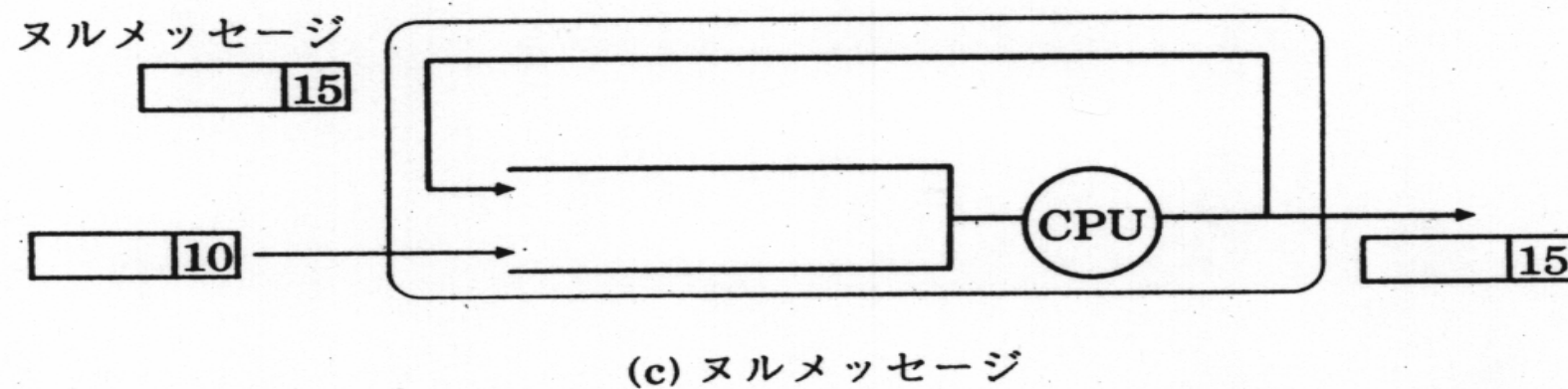
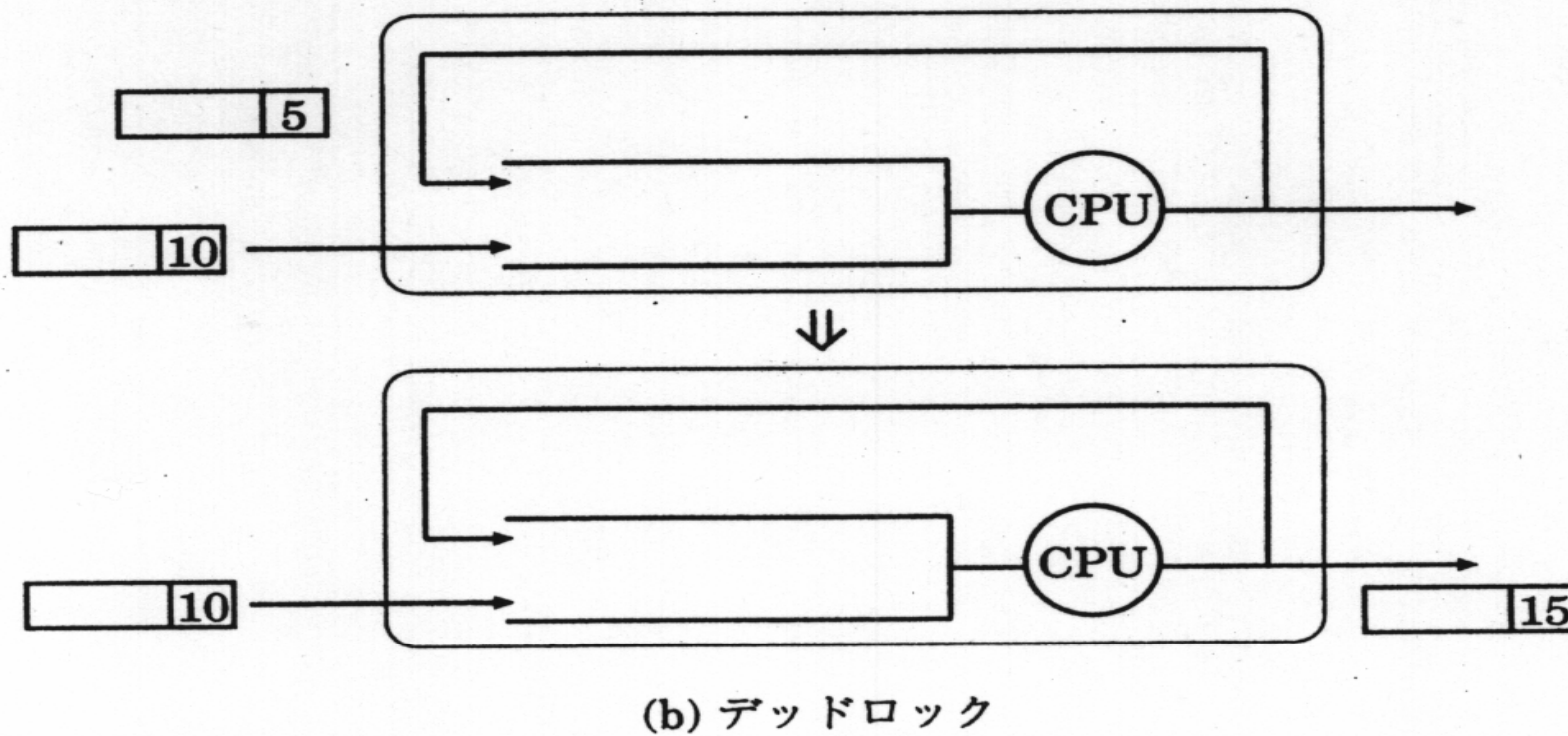


図 6.30 保守的方

シミュレーションにおける並列度を稼げない 並列度の向上

A、B のイベント処理を並列に実行

A が生じれば B のシミュレーションを無効化

(3) タイムワープ方式

先行したシミュレーションの無効化

アンチメッセージを送出

最も番号の小さなタイムスタンプ

以前の状態はすべて確定

履歴として記憶する必要はない

広域仮想時刻 (global virtual time)

6. 5 データベース処理

トランザクション処理

問い合わせ処理

関係データベース

基本演算

選択, 射影, 結合

6.5.1ソーティング

バブルソート ($O(N^2)$)、

クイックソート ($O(N \log N)$)、

ヒープソート ($O(N \log N)$)

一般にレコード数 N は極めて多いこと

レコード数は大幅に変動すること

レコードは通常ディスクに格納。

アクセスはヘッドやチャネルを通して逐次

表 6.1 並列ハードウェアソータ

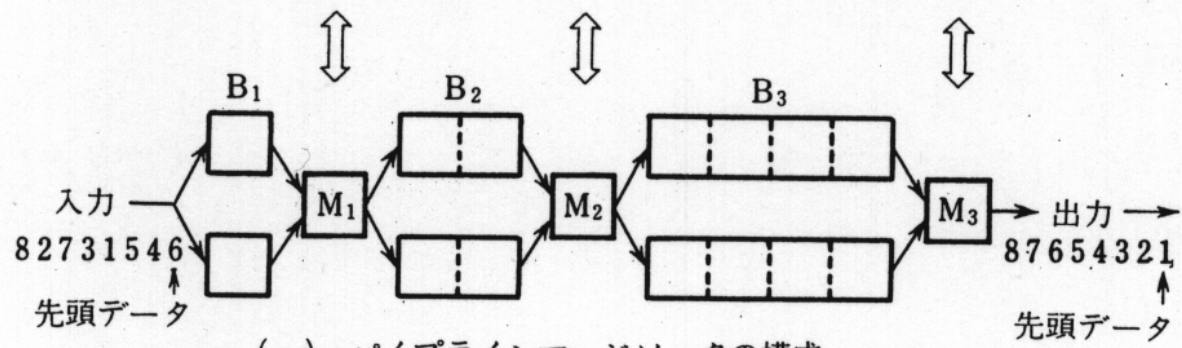
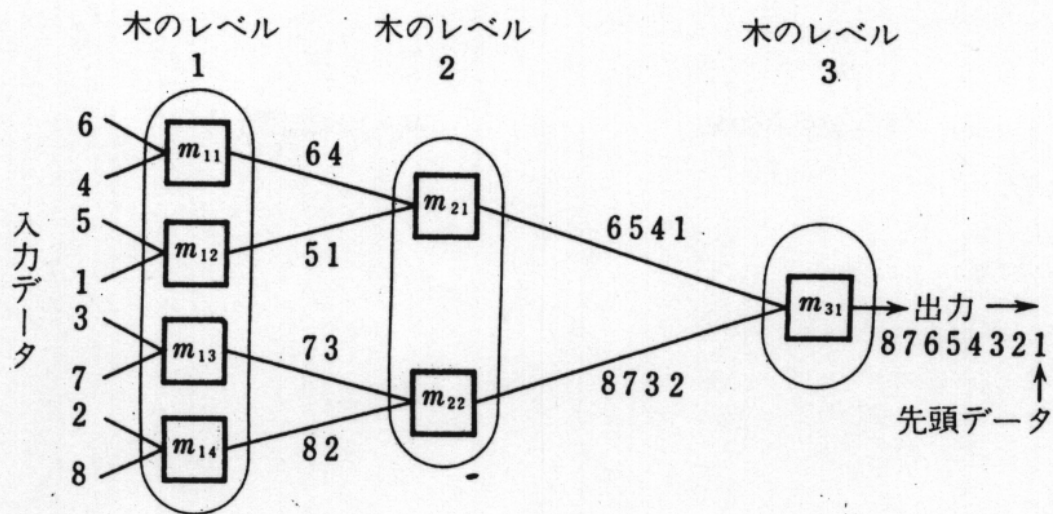
演算器数	処理時間	例
$\log N$	N	パイプラインマージソート
$\log N$	N	パイプラインヒープソート
N	N	並列奇偶置換ソート
N	N	並列トリーントソート
N	N	並列計数ソート
N	N	リバウンドソート
N	N	パイプラインバブルソート
N	\sqrt{N}	格子上パイトニックソート
$N(\log N)^2$	$(\log N)^2$	シャッフル結合パイトニックソート

N : レコード数

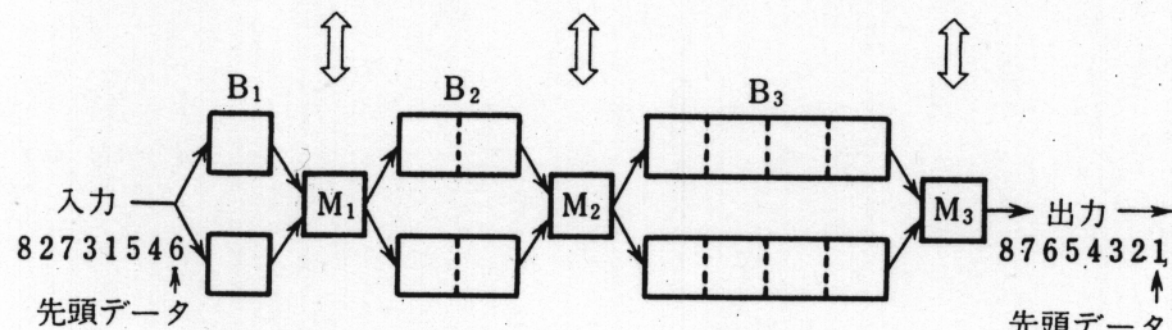
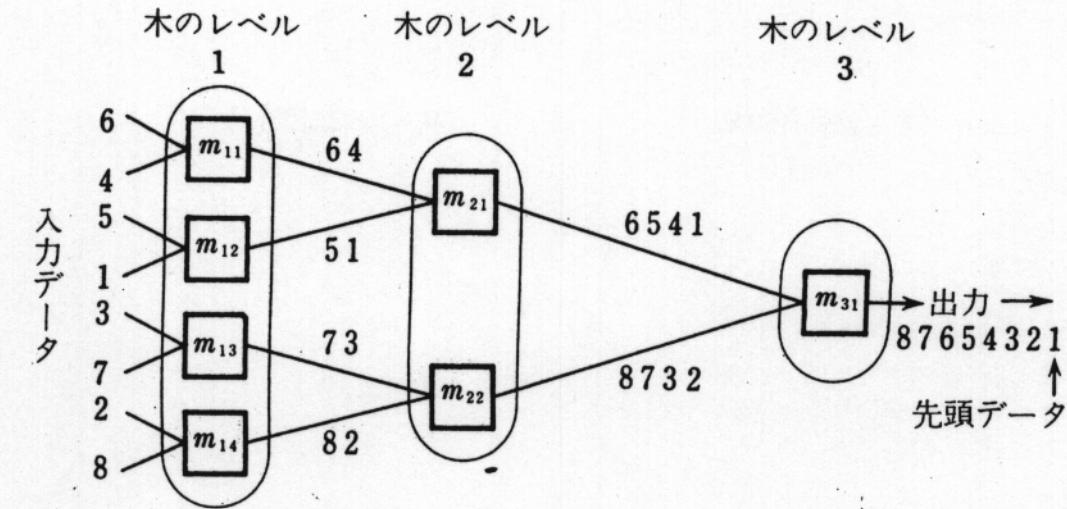
(1) パイプラインマージソータ

IBMのS.Toddにより提案された方式

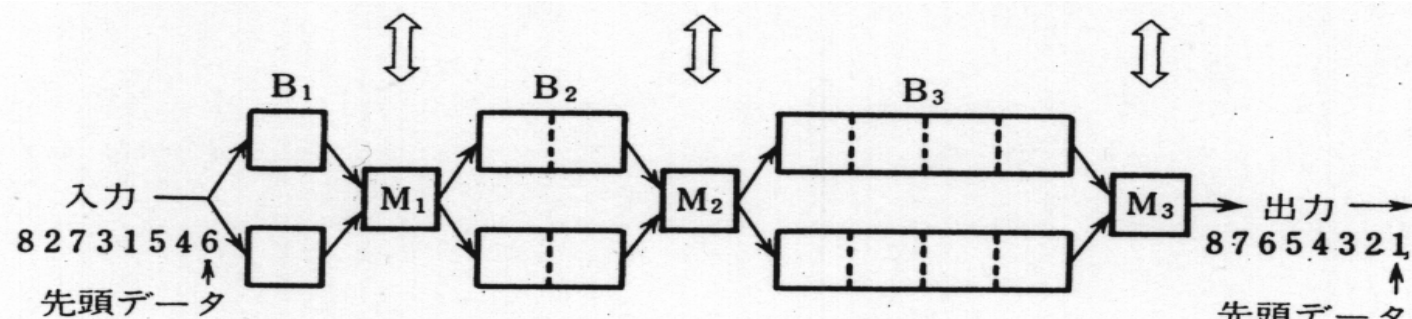
新世代コンピュータ開発機構（ICOT）の
データベースマシンDeltaなど



(a) パイプラインマージソータの構成



(a) パイプラインマージソータの構成



(a) パイプラインマージソータの構成

時刻	B ₁ 上	B ₁ 下	M ₁ 起動	B ₂ 上	B ₂ 下	M ₂ 起動	B ₃ 上	B ₃ 下	M ₃ 起動	出力
1	6		○							
2		4		←○						
3	5			4		○				
4	1			6						
5	3				1	←○				
6	7			5			1			
7	2			3			4			
8	8			7			5		○	
9				2			6			
10				8			2		←○	
11							3		1	← 出力開始時点
12								7		
13								8		
14									4	
15	出力開始までの時間は									
16	○印の項と ←○印の項をすべて									
17	加算すると得られる									
18										8

(b) 処理の流れ

(2) パイプラインヒープソータ

北海道大学で考案されたソータ

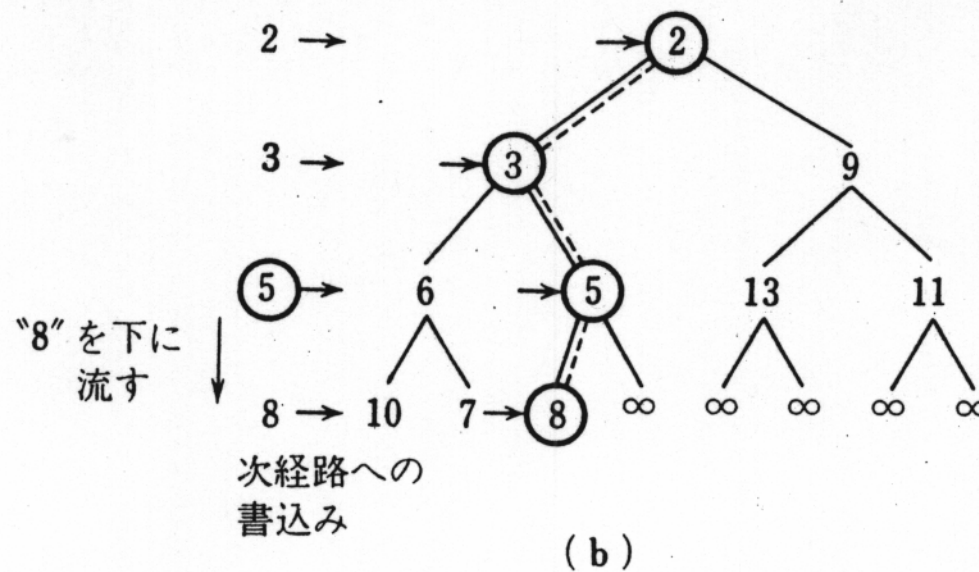
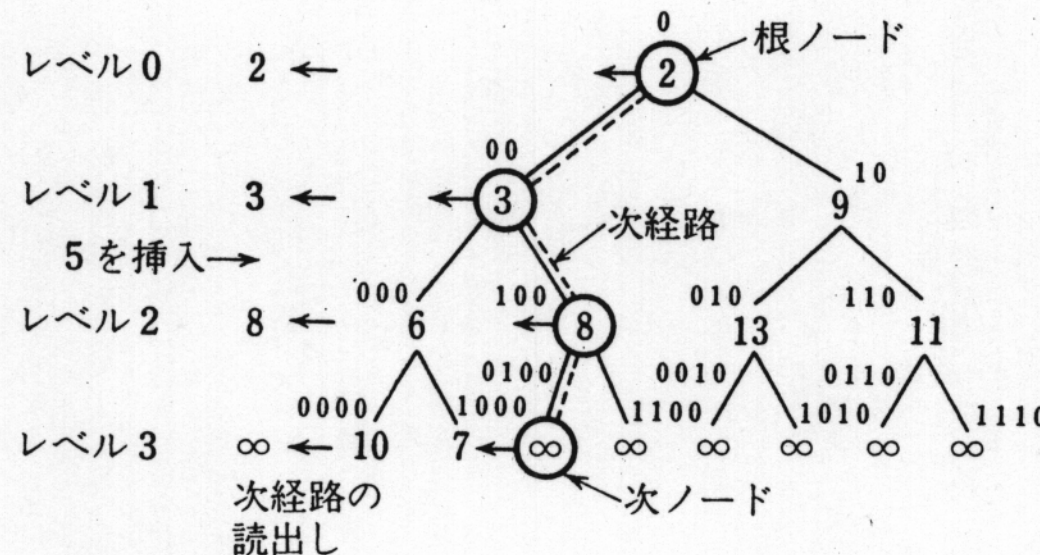
ヒープ：

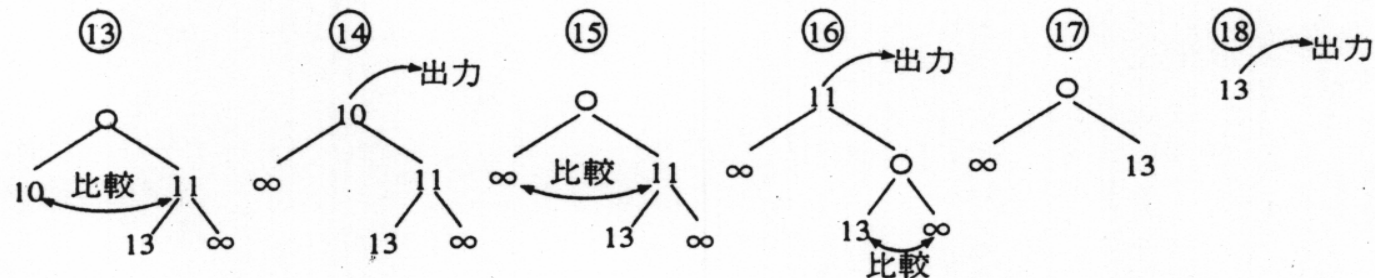
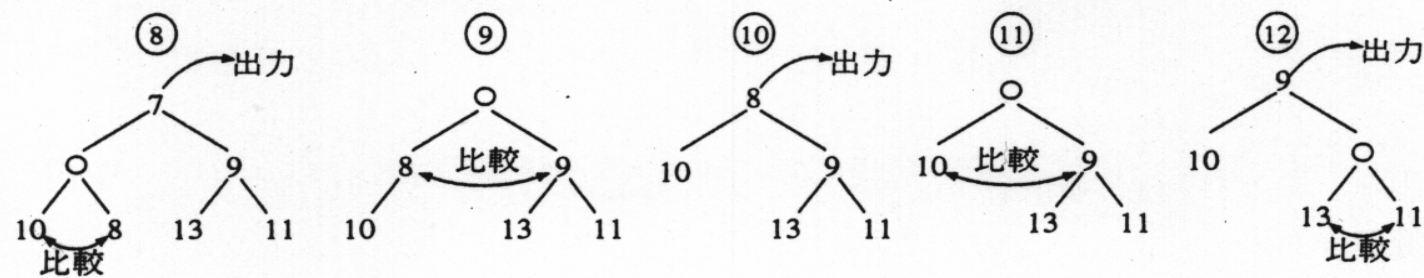
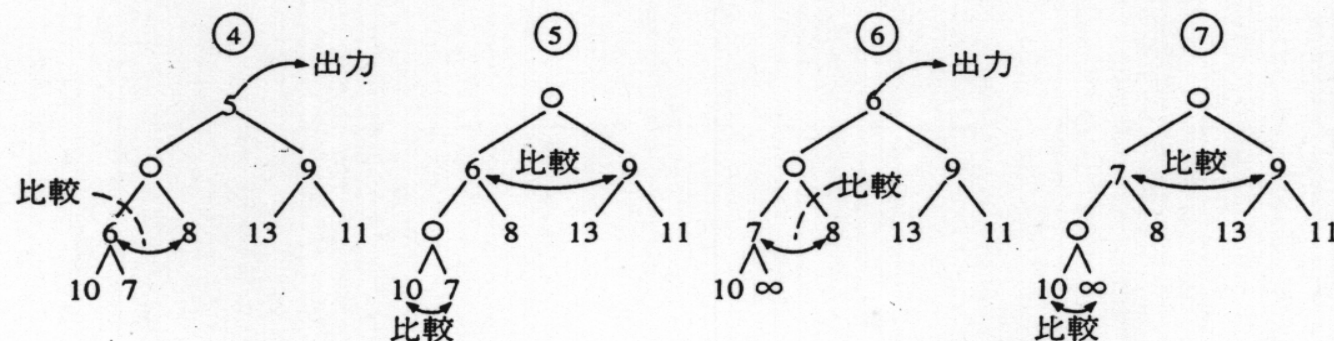
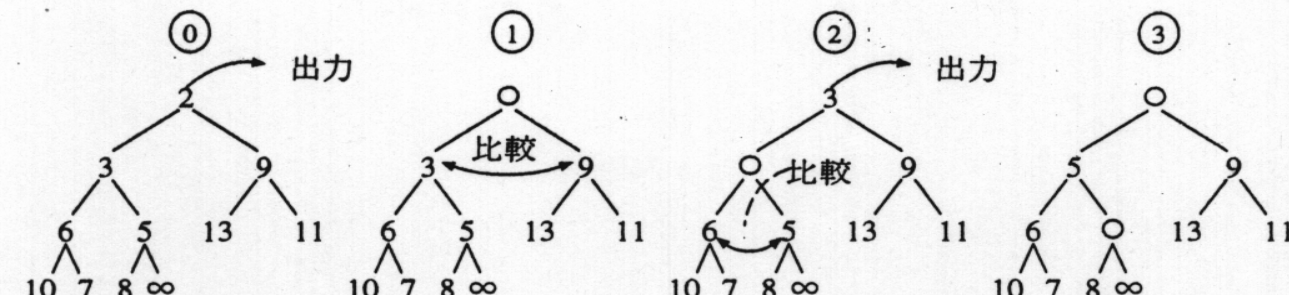
- ・最下位のノード（葉ノード）を除去すると完全2進木
- ・各ノードのデータはその子ノードのいずれよりも小さいか等しい。

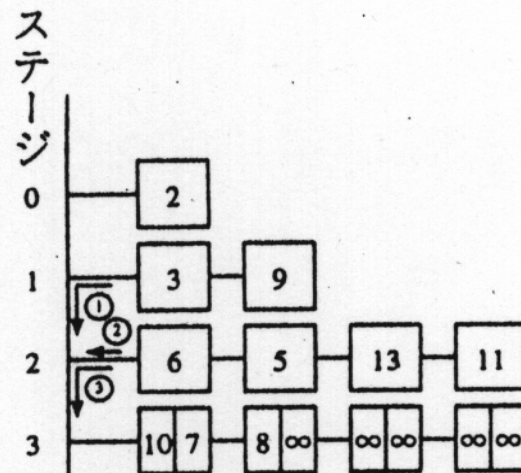
ヒープ生成過程

ヒープ出力過程

入力データ: 5







- ① 空孔となった親につながっている子ノードにデータ要求
- ② 二つの子ノードの読出しと比較
- ③ 空孔となって子ノードにつながる孫ノードへ要求

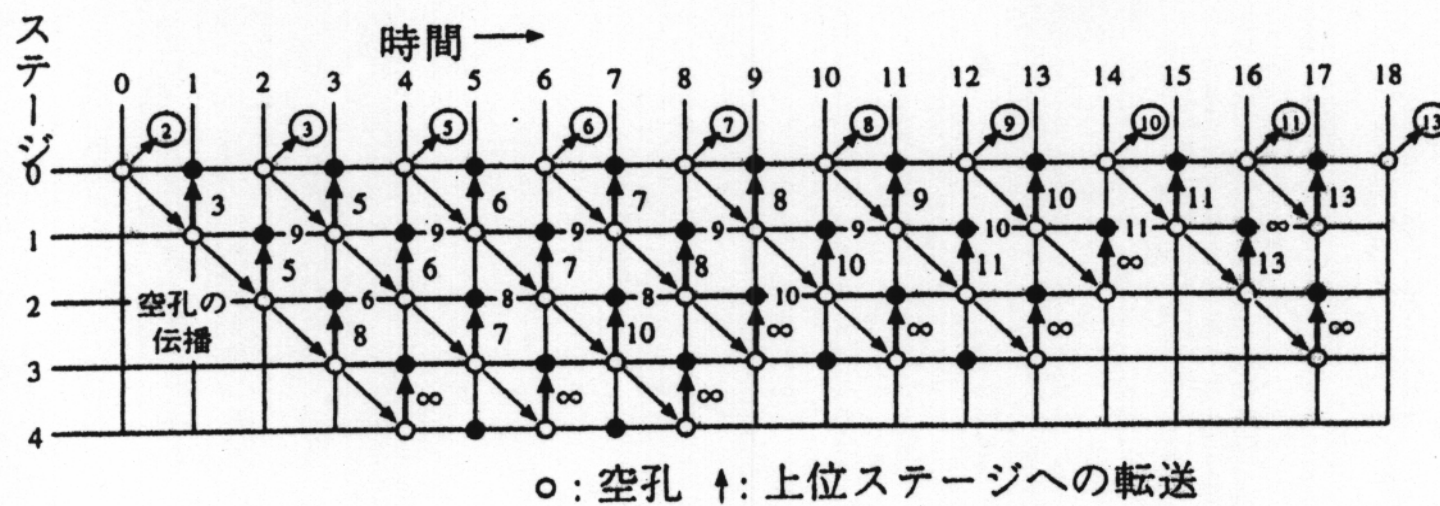


図 6.34 パイプライン方式によるヒープ出力

(3) バイトニックソータ

双調列

順序系列 $(a_1, a_2, a_3, \dots, a_{2m})$ が

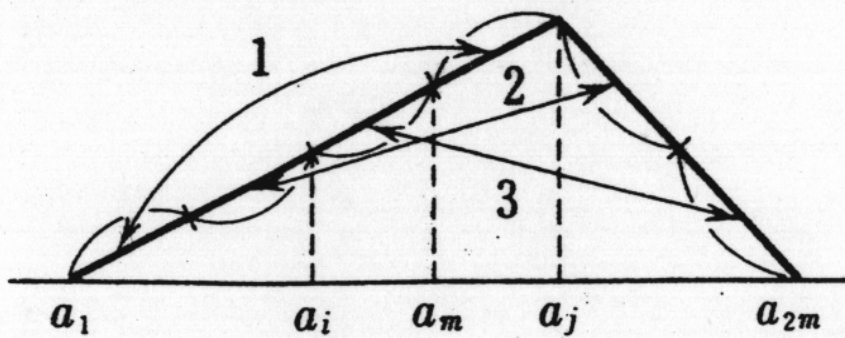
$$a_1 \quad a_2 \quad , \dots , \quad a_j \quad , \dots , \quad a_{2m}$$

(3 7)

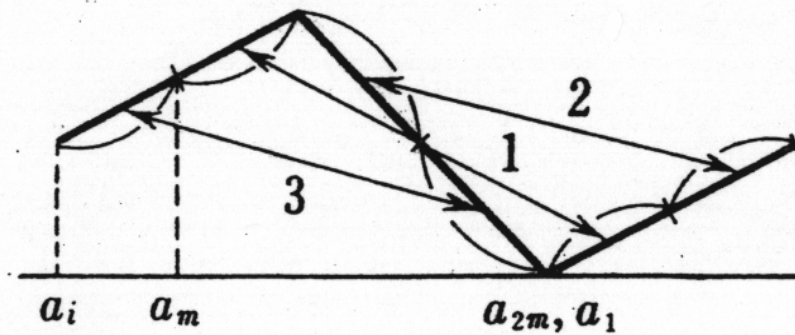
を満足するとき、または、この順序系列を巡回シフトして得られる系列、

$(a_i, a_{i+1}, \dots, a_{2m}, a_1, a_2, \dots, a_{i-1})$ (3 8)

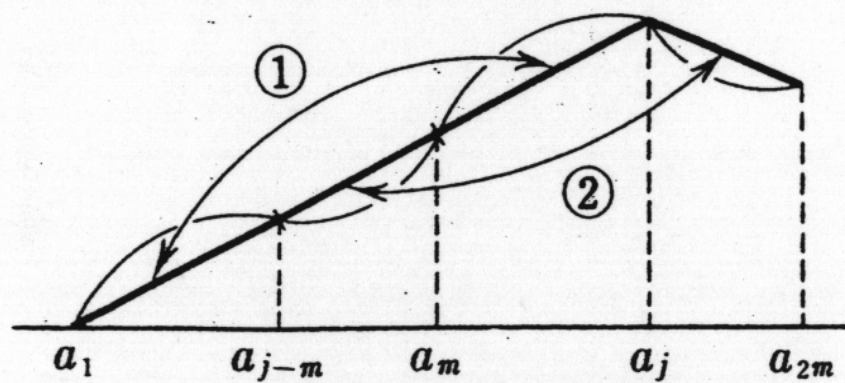
K.E.Batcher博士考案



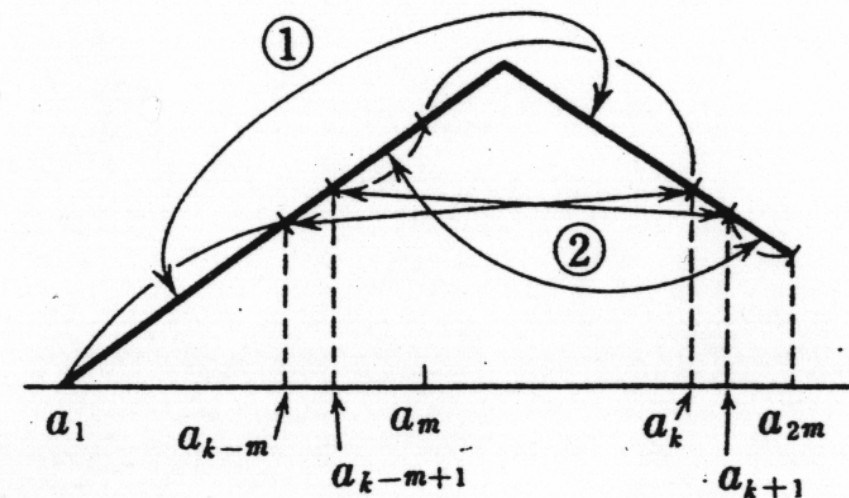
(a) $a_1 \leq a_2 \leq \cdots \leq a_j \geq \cdots \geq a_{2m}$



(b) (a) を巡回シフトしたもの



(c) $a_m \leq a_{2m}$ の場合



(d) $a_m > a_{2m}$ の場合

「定理」

$(a_1, a_2, a_3, \dots, a_{2^m})$ を双調列とし、

$$d_i = \min(a_i, a_{i+m})$$

$$e_i = \max(a_i, a_{i+m}) \quad (39)$$

とするとき、

$$\{d_i\} = (d_1, d_2, \dots, d_m)$$

$$\{e_i\} = (e_1, e_2, \dots, e_m) \quad (40)$$

は双調列となり、

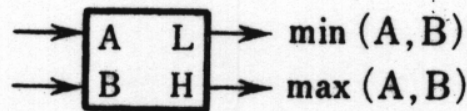
$$\max\{d_i\} \quad \min\{e_i\} \quad (41)$$

バイトニックソータの構成

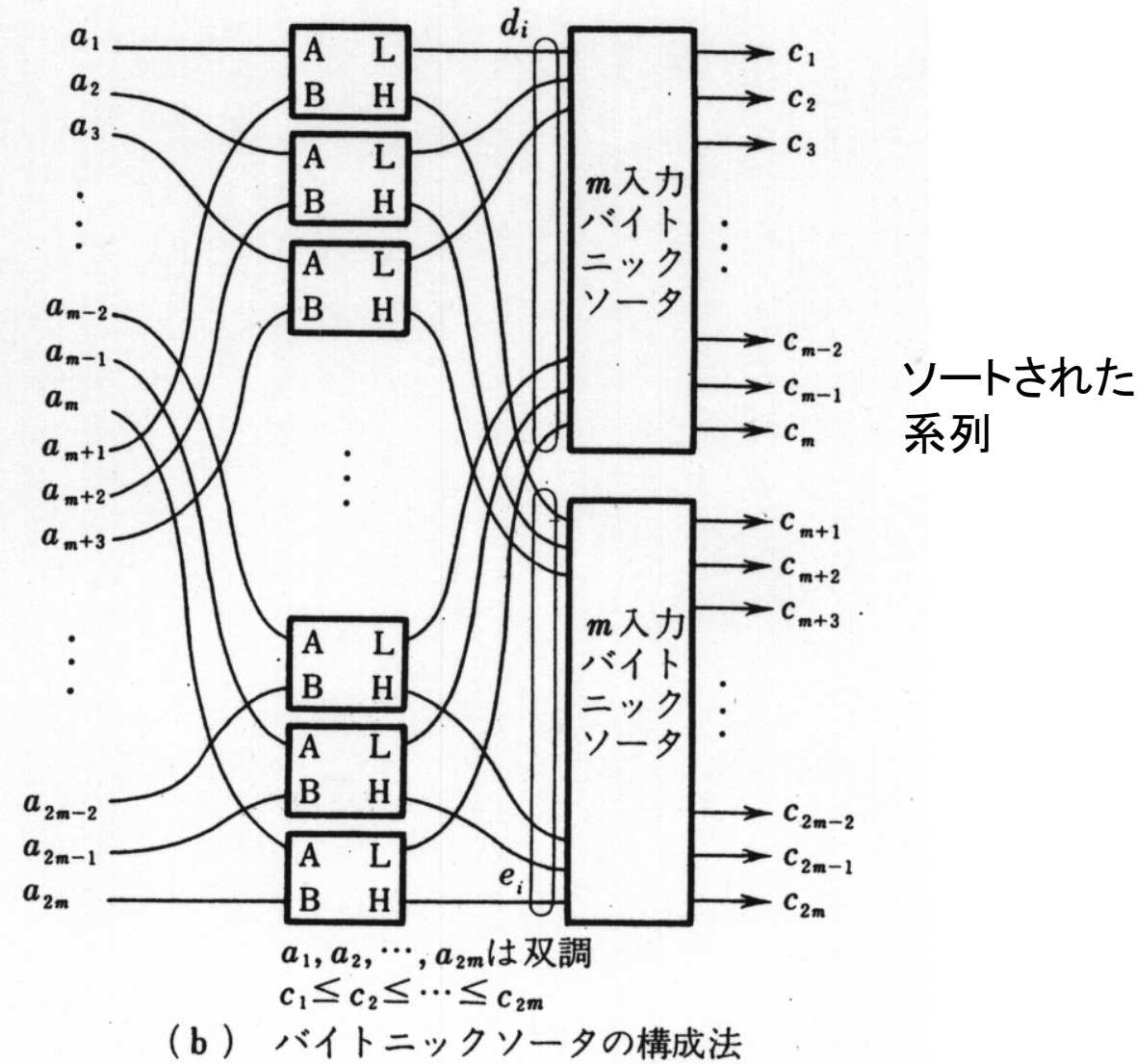
ステージ数

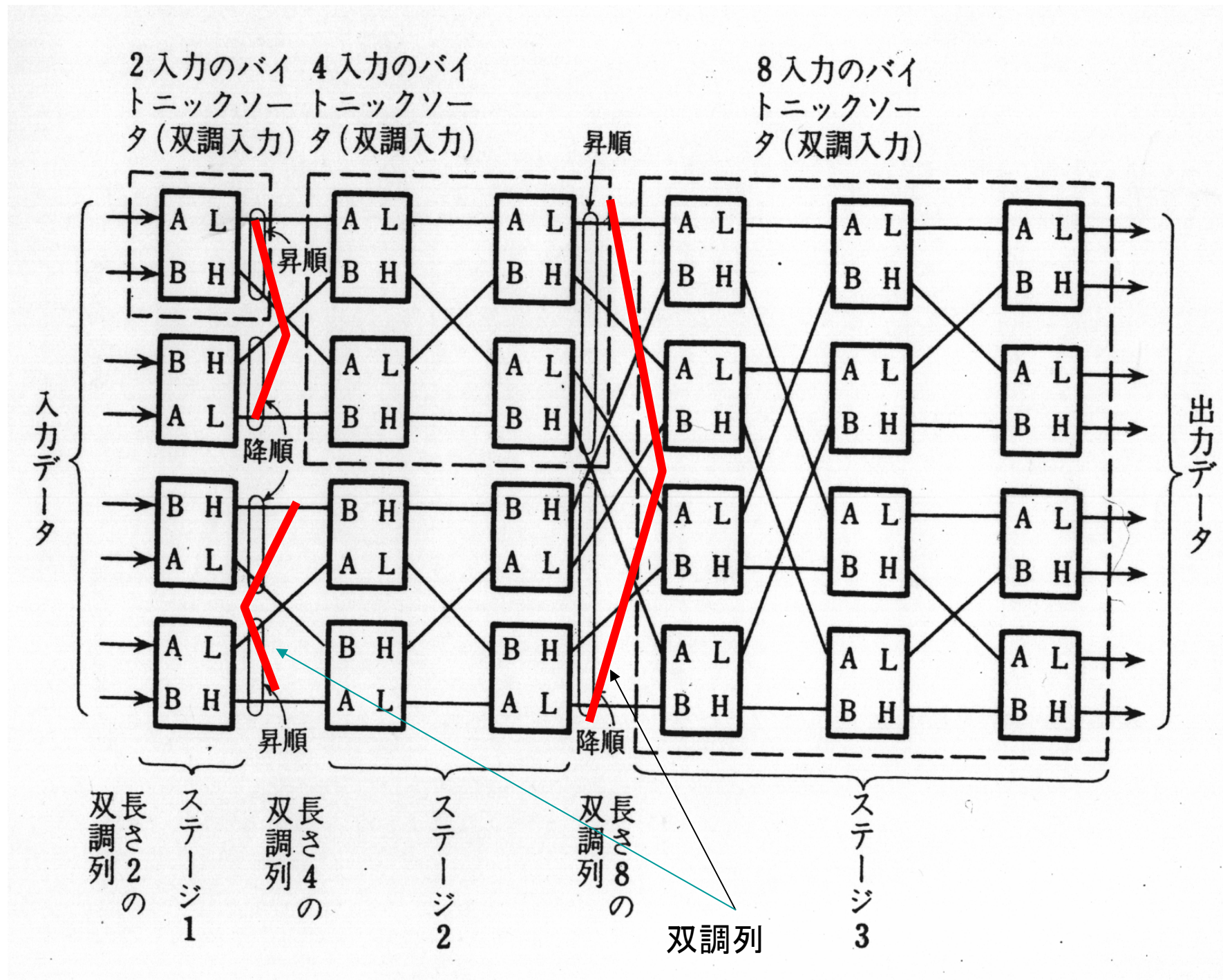
$$1+2+3+\dots+\log N = \log N (\log N + 1) / 2 \quad (49)$$

双調列



(a) 基本セル





6.5.2データベースマシン

データベースの基本モデル

階層モデル、網モデル、

関係モデル、オブジェクト指向モデル

(1) 関係データベース

表形式で表現：「関係」

表の各項目：タプル (tuple)

氏名	成績	出身地	卒業年
A	80	大阪	1990
B	90	京都	1992
C	65	北海道	1993
D	100	島根	1995
E	不	東京	1994

(a) 学生データベース

企業名	所在地	業務	年商(億)
イ	東京	コンピュータ	100
ロ	北海道	海産物	20
ハ	長野	精密機器	50
ニ	京都	和菓子	10
ホ	島根	瓦	5

(b) 企業データベース

都道府県名	氏名	成績	卒業年	企業名	業務	年商(億)
島根	D	100	1995	ホ	瓦	5
東京	E	不	1994	イ	コンピュータ	100
北海道	C	65	1994	ロ	海産物	20
京都	B	90	1992	ニ	和菓子	10

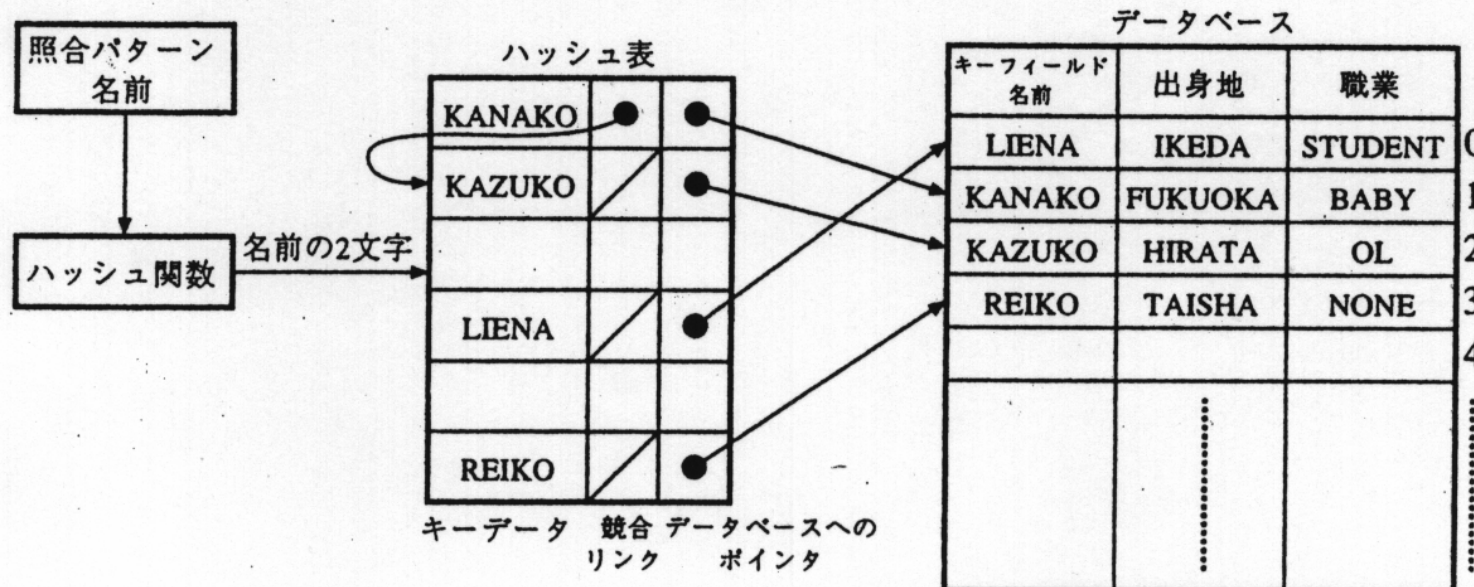
(c) U-ターン就職データベース

教科書訂正

図 6.38 関係データベースの例

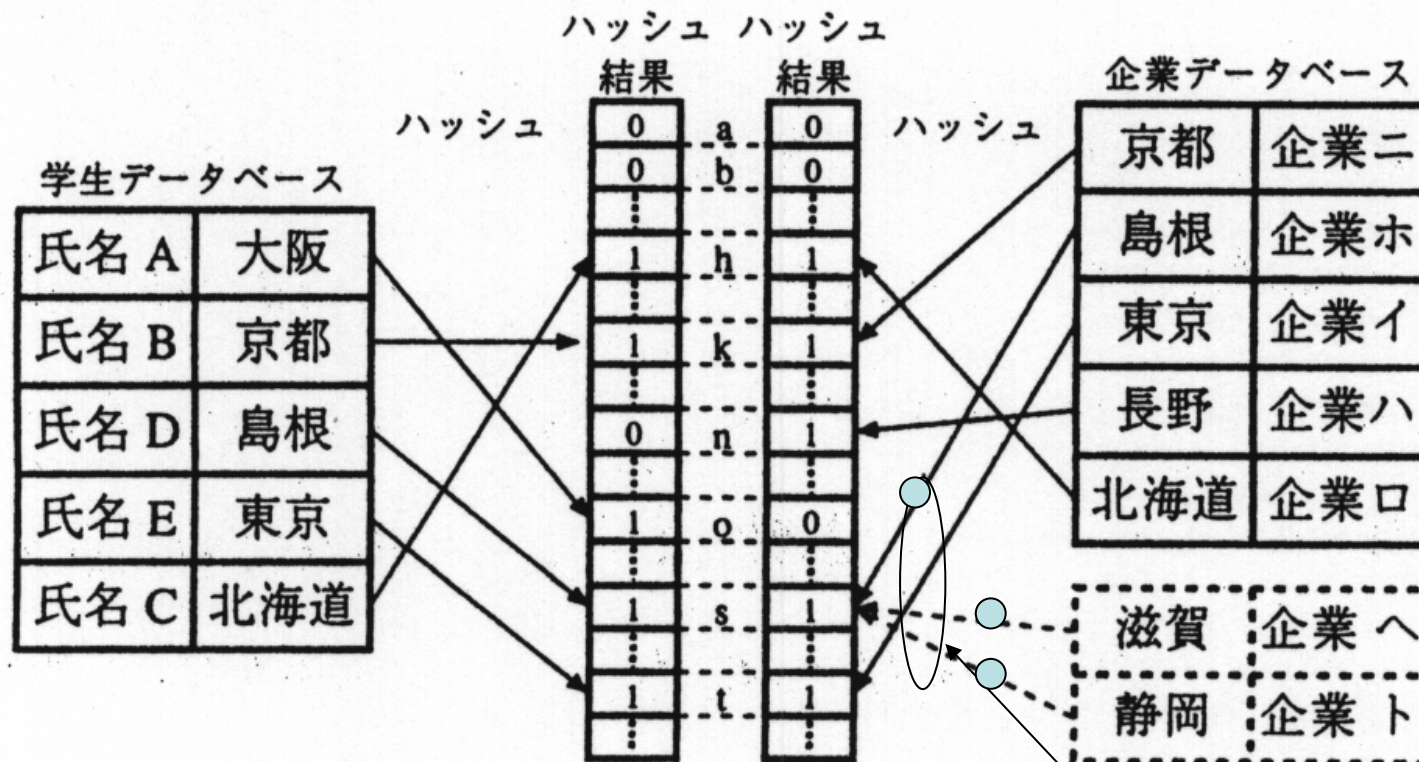
学生データベース		企業データベース	
氏名 A	大阪	京都	企業二
氏名 B	京都	失敗	比較
氏名 D	島根	島根	企業ホ
氏名 E	東京	成功	比較
氏名 C	北海道	東京	企業イ
		長野	企業ハ
		北海道	企業ロ

(a) ソーティングを利用した結合操作



(b) ハッシング法

地名の最初のア
ルファベットで
ハッシュ



(c) ハッシュを用いた結合操作

図 6.39 結合操作の高速化

競合

基本操作

選択 (selection)

射影 (projection)

結合 (join)

学生データベースと企業データベースの 2 つのデータベース

U - ターン就職データベースの作成

結合操作 : 時間のかかる処理

データベースのタプル数 : 各々 N_1, N_2

処理時間 : $O(N_1 \times N_2)$

・ソータの利用

処理時間 : $O(N_1 + N_2)$

- ・ハッシュの利用

(2) 単一プロセッサによるデータベースマシン

单一プロセッサに多数のディスクが

結合されたシステム

データベースマシン：

当初、選択操作を高速化する手法

D.Slotnick教授の提唱したLogic/track

トロント大学のR A P、

テキサス大学のC A S S M

情報フィルタの機構を実現

結合操作の高速化は実現できない
商用の関係データベースマシン
情報フィルタ機構とソータ機構を組み合わせた方式
ソータは多くの場合、マージソータ
NTTのRINDA、日立RDSP、三菱GREO、東芝DBE、富士通DBA
(3) マルチプロセッサによるデータベースマシン
データベースマシンにおける並列処理
検索・問合わせごとの並列処理
関係データベース演算間での並列・パイプライン処理
関係データベース演算内の並列処理

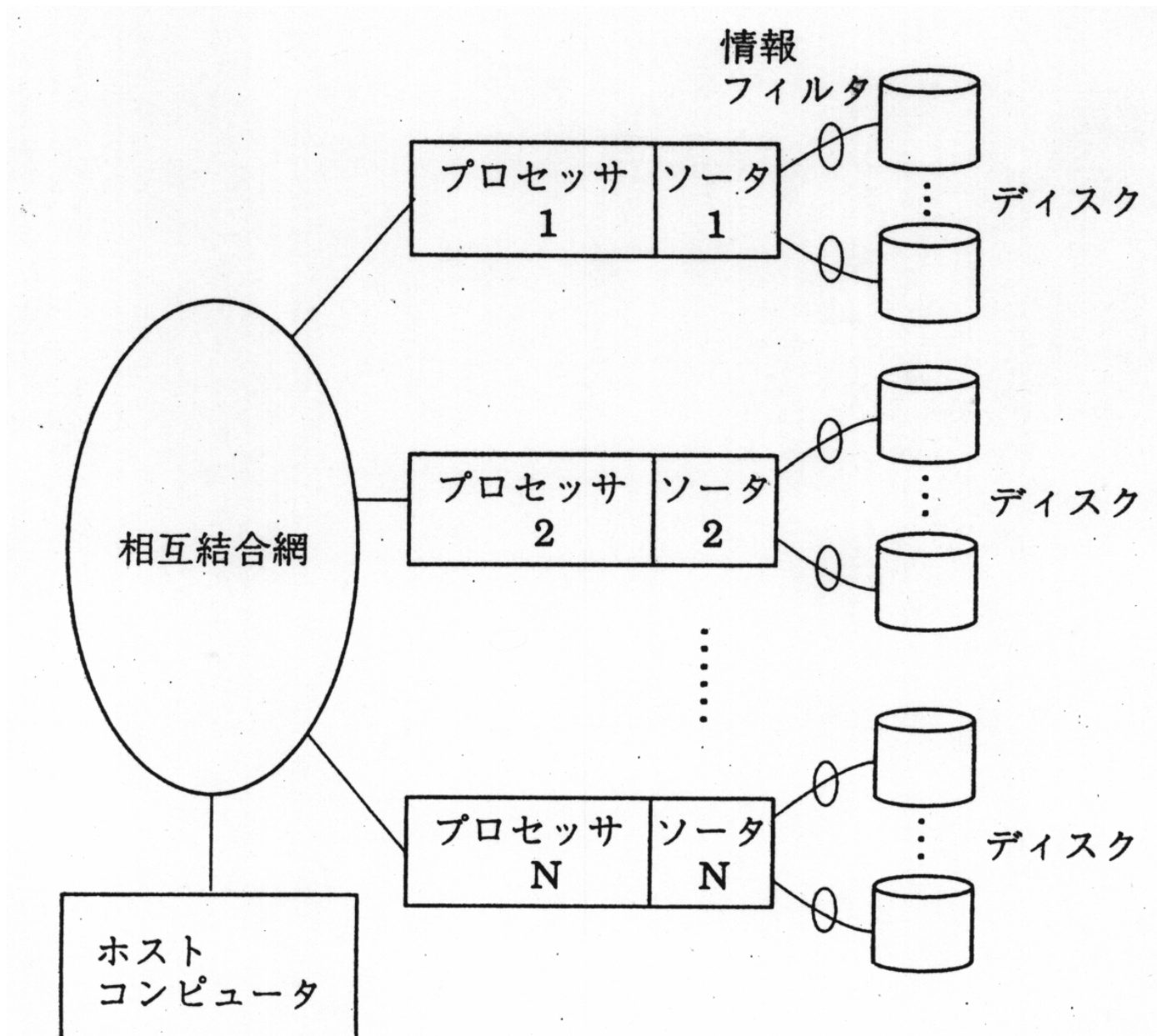


図 6.40 データベースマシンの構成

関係データベース演算内での並列処理

結合網内でのソーティング処理

大規模な結合操作ではクラスタ内でのソートされたデータ
がクラスタ間でさらにソートされる必要

相互結合網内でのソート機能が必要

NCR社のNCR3600の相互結合網Y-net

各ノードにソータが装備

NCR3600 :

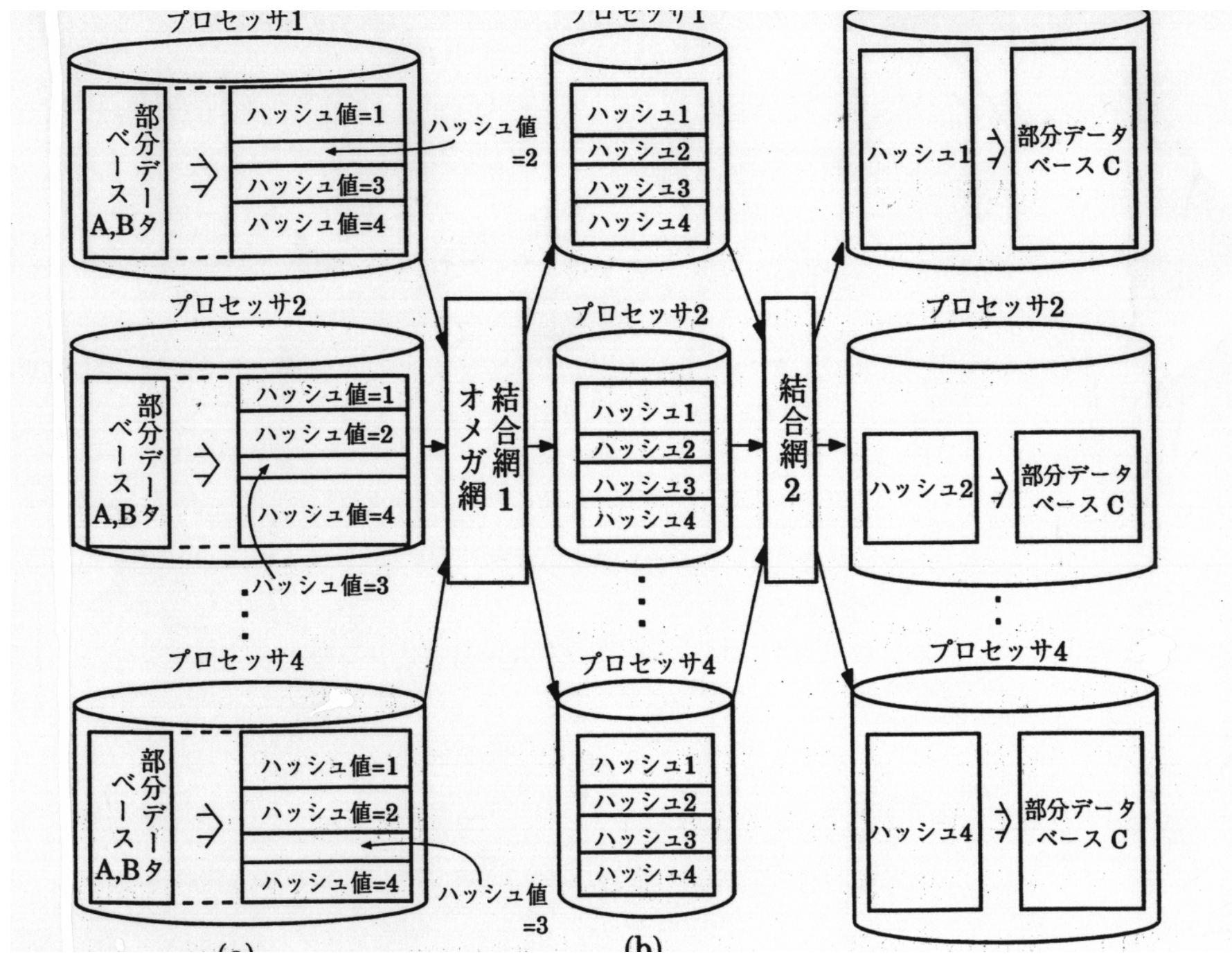
最大256台のマイクロプロセッサi486で構成
20台のディスクアレイからなるディスクサブシステム
(容量21.7GB) が48台接続できる。

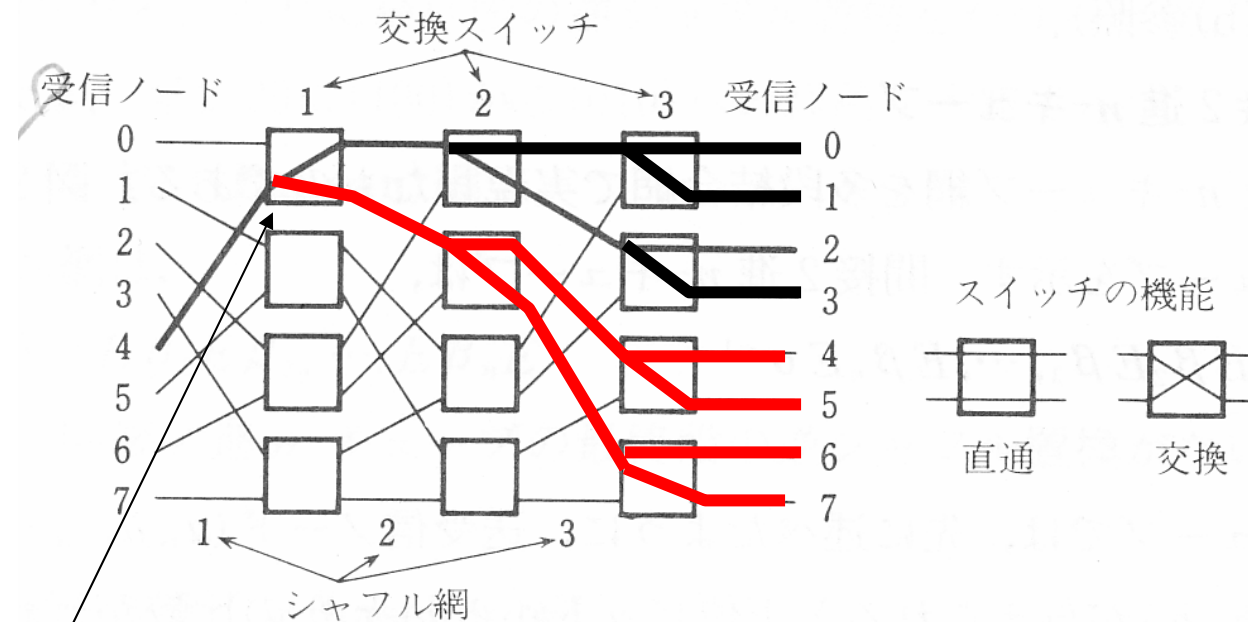
NCR5380 (2004年現在)

最大512台のIntel Xeon 3.06GHz HyperThreading
BYNET : Banyan Network 120MB/s (node-node)
マージ機能付き
最大200TB

②東大のSDC

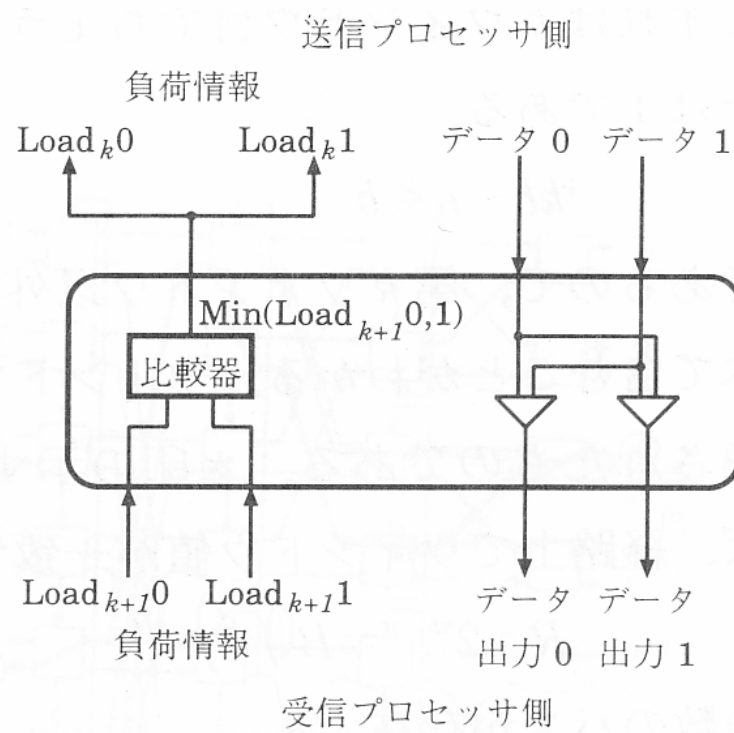
ハッシュを利用したデータベースマシン
平坦化ネットワーク付き





負荷分散オメガネット

このスイッチで
行き先が2分



平坦化

長いものから

CH1

CH₂

CH₃

CH₄

短いものから

CH1

CH₂

CH₃

CH₄

PC

P1

P2

P3

5 P0~
4 P1~
3 P2~
2 P3~

A circular diagram representing a container. Five points are marked on its circumference: P_0 at the top, P_1 at the right, P_2 at the bottom, P_3 at the left, and CH_4 at the top-left, CH_1 at the top-right, CH_3 at the bottom-left, and CH_2 at the bottom-right. A curved arrow at the bottom indicates a clockwise flow.

28サイクル

P1P2P3

P1P2 P1 P1

P2P3

818

P2 P2 P3P0 P2 P3

CH3

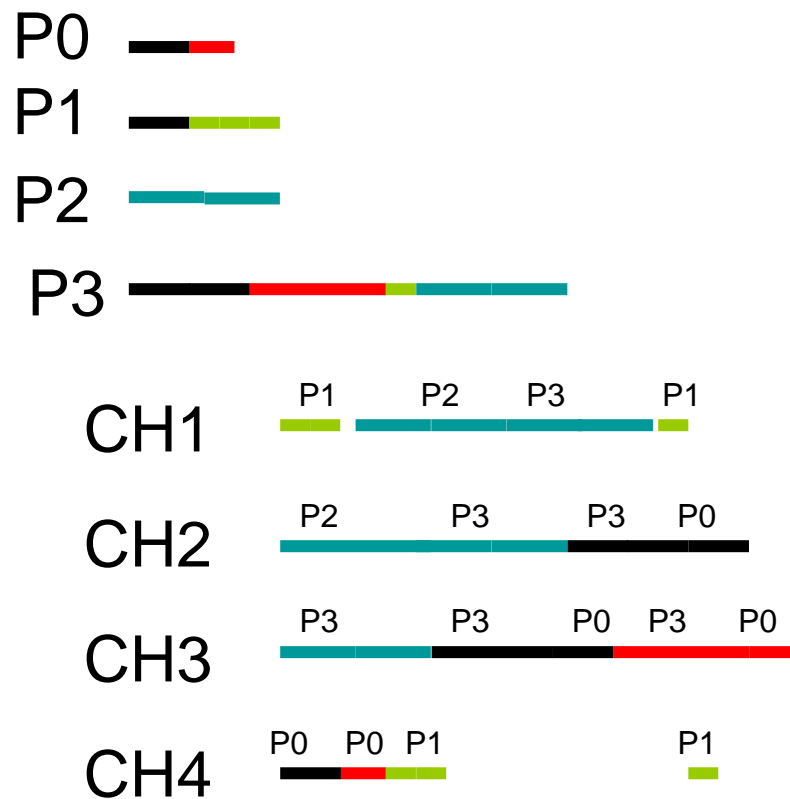
P3 P3 P0 POP1 P3

CH₄

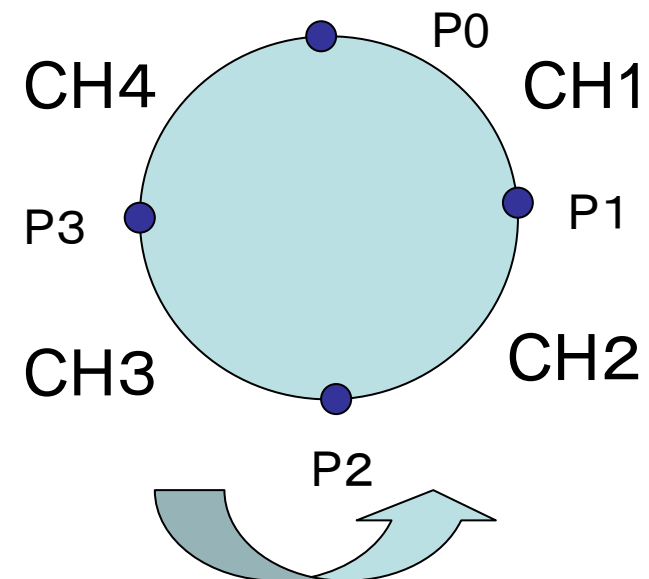
P0 P1 P2 P0 P1 P0



バラツキがある場合



5 P0 →
4 P1 →
3 P2 →
2 P3 →



34サイクル

(4) RAID技術

RAID (Redundant Array of
Inexpensive Disks)

レベル 1 から 5

レベル1、3、5のシステム

レベル1

ディスク：単純に2重化、3重化

レベル3

誤り検出方式：パリティ

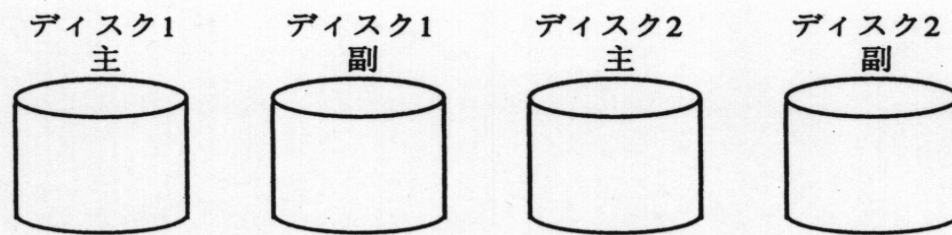
元のデータ列： 0010 1101 0000 1111

排他的論理和： 1 1 0 0

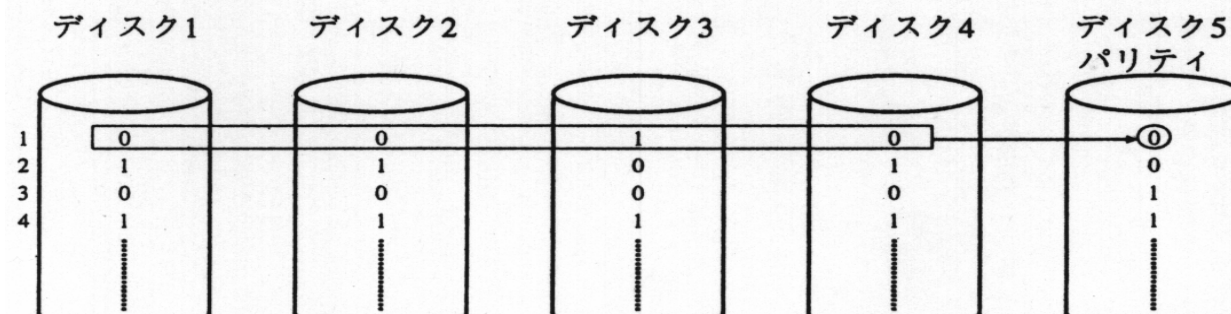
パリティ列： 0 0 1 1

ディスクを5台用いる場合

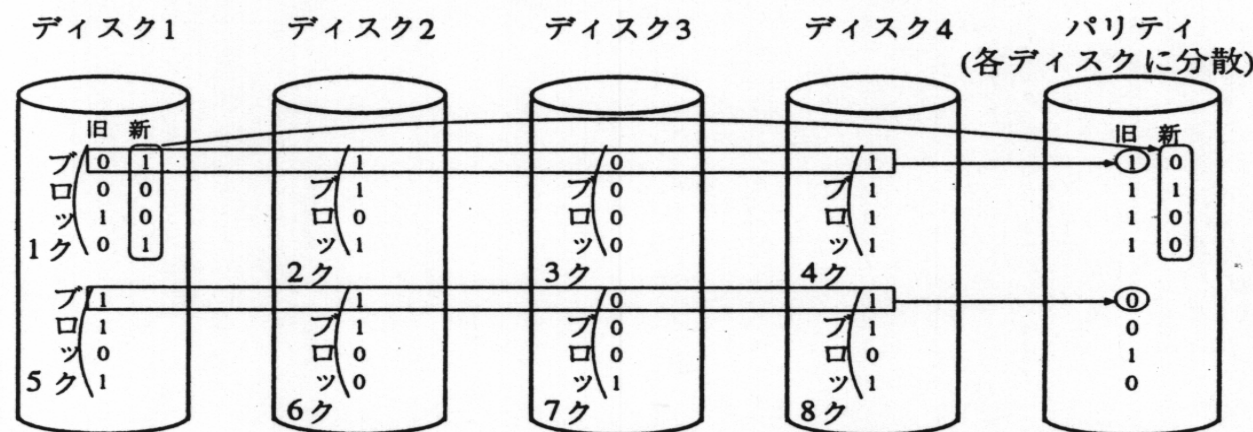
パリティ：4ビットごとに計算



(a) RAID レベル1



(b) RAID レベル3



(c) RAID レベル5

- ・元のビットデータ列：4台のディスクにインタリープして記憶

ディスク i ：先の4ビット小片の第 i ビット目のみ記憶

- ・パリティ列：5番目のディスクにまとめて記憶

ディスク 2 が固定的故障した場合

元のデータ列： 0*10 1*01 0*00 1*11

パリティ列： 0 0 1 1

排他的論理和： 1 0 1 0

ディスク 2： 0 1 0 1

レベル3

- ・ 読出し、書込みに際して各ディスクを1度アクセス
- ・ あるディスクが故障したとき、その他のディスクを1度だけ読み出す
- ・ 1つのデータを格納するのに、すべてのディスクを使用する必要

非常に長いデータの格納には都合がよい

短いデータの格納の際には全ディスク専有問題

レベル5

インタリープの単位：ブロック

ブロック：ディスクの数セクタ（数百バイト程度）分
に対応した長さ

ブロック：4 ビット仮定

ディスク：4 台装備

各パリティ：異なる 4 つのブロックの対応ビットごと
に付ける

旧ブロック 1 : 0010

旧パリティ : 1111

新ブロック 1 : 1001

新パリティの計算

ブロック 2、 3、 4 を読み出し、
新ブロック 1 と排他的論理和をとる

時間がかかる

旧パリティ = ブロック 2 \oplus ブロック 3
 \oplus ブロック 4 \oplus 旧ブロック 1 (5 0)

旧ブロック 1 \oplus 旧パリティ = ブロック 2 \oplus
ブロック 3 \oplus ブロック 4 (5 1)

新パリティ = 新ブロック 1 \oplus ブロック 2 \oplus
ブロック 3 \oplus ブロック 4 (5 2)

= 新ブロック 1 \oplus 旧ブロック 1 \oplus
旧パーティ

新パーティの計算：

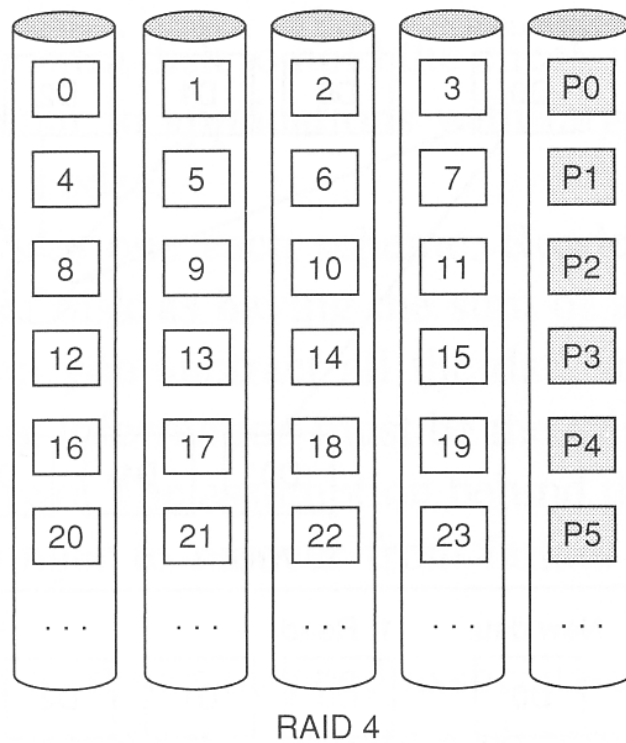
ディスクアクセスを 3 回、
新ブロック 1 の書き込みにディスクアクセス 1 回

レベル 5

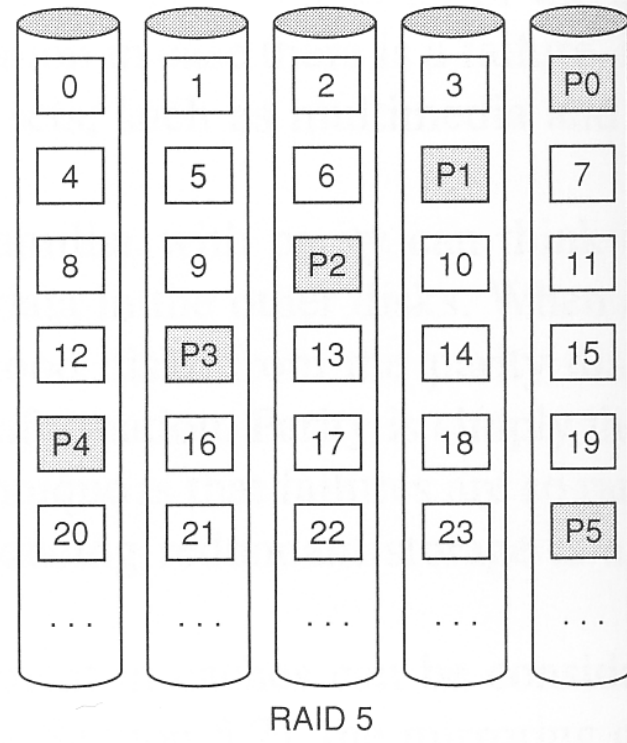
- ・ インタリープの単位が大
短いデータ：複数のディスクにまたがってデータ格
納する必要なし
2 つのディスクにアクセス
多数の短いデータに対して同時にディスクアク

セス

- ・1回の書きごとに4回のディスクアクセスが必要

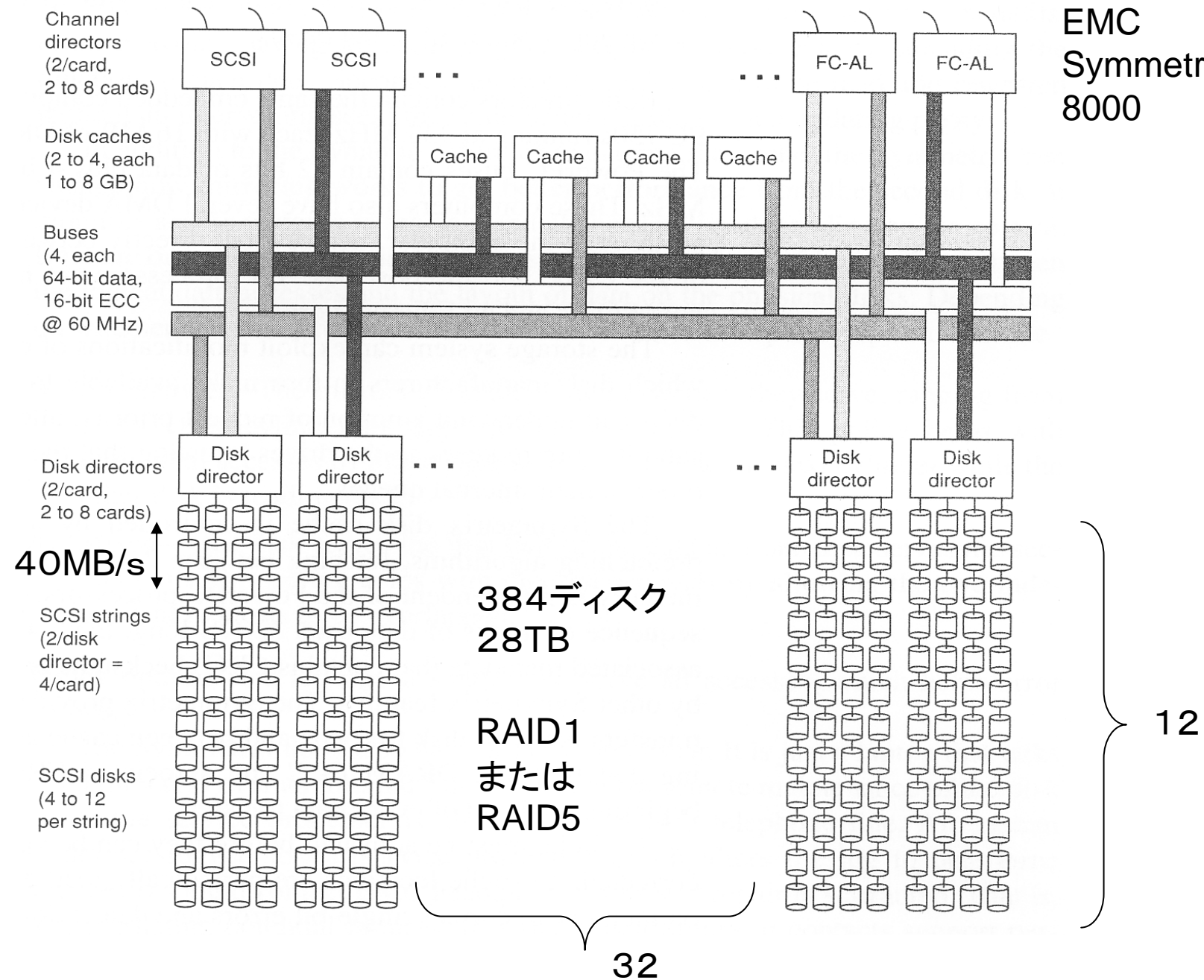


RAID 4



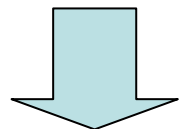
RAID 5

EMC Symmetrix 8000



データマイニング

関係データベース:SQLで問合せ



規則の発見

経営戦略の立案

ごぼうとこんにゃくを買う人は牛肉を買う場

合が多い

データウェアハウス

相関ルールの定義

アイテム：属性

アイテムの集合 $I = \{i_1, i_2, \dots, i_m\}$

データベース $D = \{t_1, t_2, \dots, t_n\}$

アイテム集合 $t_i \subseteq I$

相関ルール $X \Rightarrow Y$

$X, Y \subset I, X \cap Y = \emptyset$

X : ごぼう、こんにゃく

Y : 牛肉

例

$T_1 = (1, 3, 4)$

アイテム: 1, 2, 3, 4, 5

$T_2 = (1, 2, 3, 5)$

アイテムの集合 $I: \{1, 2, 3, 4, 5\}$

$T_3 = (2, 4)$

アイテム集合 $t_i: I$ の部分集合

$T_4 = (1, 2)$

データベース: T_1, T_2, T_3, T_4, T_5

$T_5 = (1, 3, 5)$

長さ k のアイテム集合 t_i : 要素数が k 個

最小サポート値、確信値: 40%

サポート値(X) : D の中での X の割合

確信値($X \cup Y$): X を含むものの内で $X \cup Y$ を含む
ものの割合

$$\text{確信値} = \frac{\text{サポート値}(X \cup Y)}{\text{サポート値}(X)}$$

X : ごぼう、こんにゃく

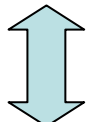
$X \cup Y$: ごぼう、こんにゃく、牛肉

アイテム集合の要素の数が増大するにつれ、

サポート値は単調非増大する

$\text{サポート値}(X \cup Y) \leq \text{サポート値}(X)$

相関ルールを見つけること



ユーザ指定のサポート値、確信値の最小値を
満たす相関ルールをすべて見出すこと

ステップ1: 最小サポート値を満たすアイテム集
合(頻出アイテム集合)を見つける

ステップ2: 頻出アイテム集合から確信値の最
小値を満たすものを見つける

逐次Aprioriアルゴリズム(IBM)

- 初期ステップ: 生起確率>最小サポート値であるアイテムを長さ1の頻出アイテム集合とする
- ステップ1: 長さk-1の頻出アイテム集合から長さkの候補アイテム集合を作成する。

長さk-1の頻出アイテム集合で最初のk-2個のアイテムが共通なものを選ぶ。

- ① $(i_1, i_2, \dots, i_{k-2}, i'_{k-1})$ 、 $(i_1, i_2, \dots, i_{k-2}, i''_{k-1})$ をジョインした $(i_1, i_2, \dots, i_{k-2}, i'_{k-1}, i''_{k-1})$ が候補に入るか？
- ② $(i_2, \dots, i_{k-2}, i'_{k-1}, i''_{k-1})$ $(i_1, i_3, \dots, i_{k-2}, i'_{k-1}, i''_{k-1})$,..., $(i_1, i_2, i_3, \dots, i_{k-3}, i'_{k-1}, i''_{k-1})$ がk-1頻出アイテム集合にないものは排除して長さkの候補アイテム集合 $(i_1, i_2, \dots, i_{k-2}, i'_{k-1}, i''_{k-1})$ を作成

- ステップ2

データベースを検索し、候補アイテム集合のサポート値を求める。最小値より大きなものを長さkの頻出アイテム集合とする。

例

$T_1 = (1, 3, 4)$

$T_2 = (1, 2, 3, 5)$

$T_3 = (2, 4)$

$T_4 = (1, 2)$

$T_5 = (1, 3, 5)$

最小サポート値、確信値: 40%

①長さ1の最頻アイテム集合

{1}、{2}、{3}、{4}、{5}

②長さ2の候補アイテム集合

{1, 2}、{1, 3}、{1, 4}、{1, 5}、{2, 3}、
{2, 4}、{2, 5}、{3, 4}、{3, 5}、{4, 5}

③データベース検索

④長さ2の最頻アイテム集合

{1, 2}、{1, 3}、{1, 5}、{3, 5}

⑤長さ3の候補アイテム集合

{1, 2}、{1, 3}ジョイン{1, 2, 3}:

{2, 3}長さ2最頻アイテムなし

{1, 2}、{1, 5}ジョイン{1, 2, 5}

{2, 5}長さ2最頻アイテムなし

{1, 3}、{1, 5}ジョイン{1, 3, 5}

{3, 5}長さ2最頻アイテムあり

{1, 3, 5}が唯一の長さ3の候補アイテム集合

⑥データベース検索

⑦長さ3の最頻アイテム集合

{1, 3, 5}

T1=(1,3,4)

T2=(1,2,3,5)

T3=(2,4)

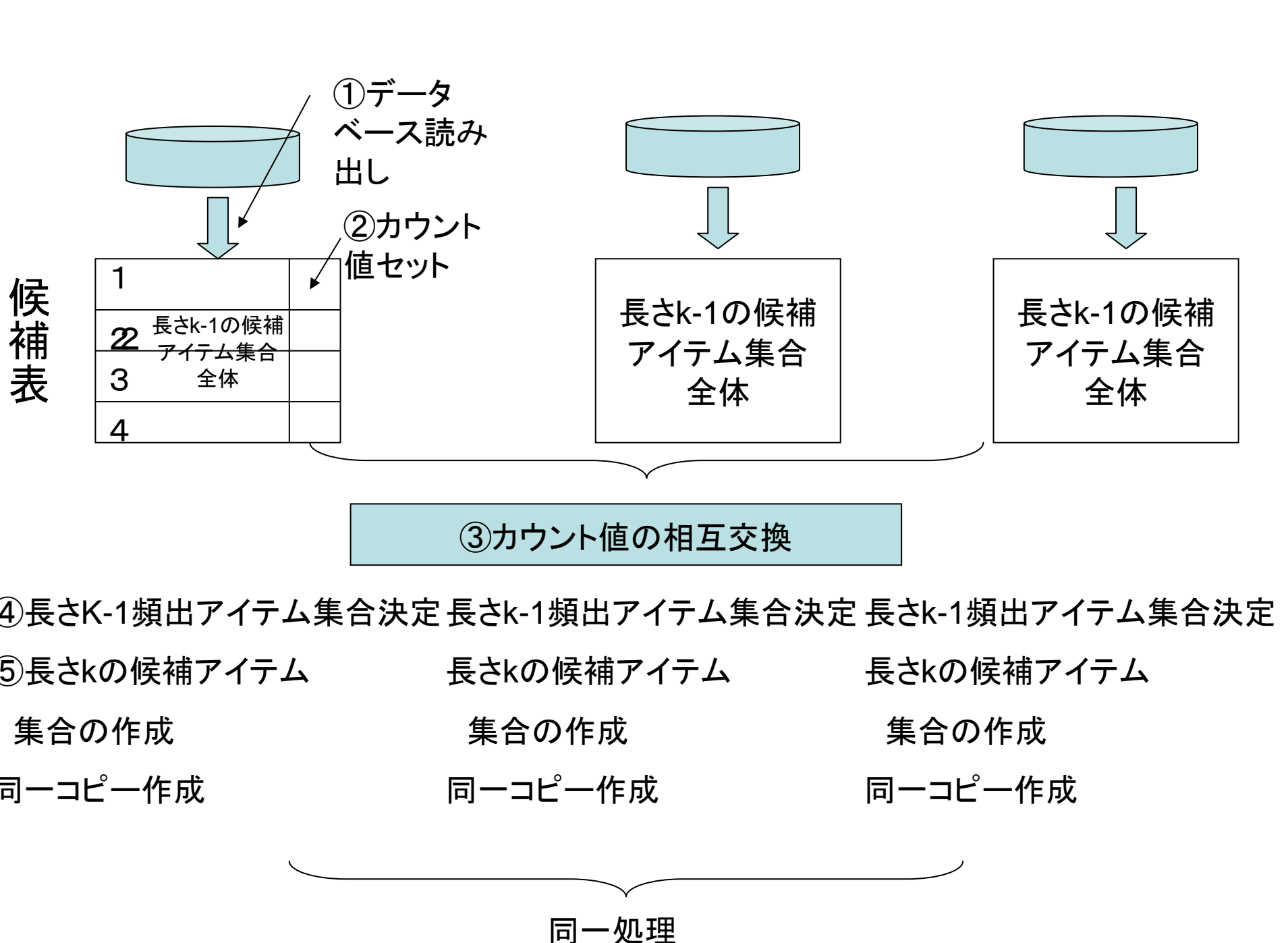
T4=(1,2)

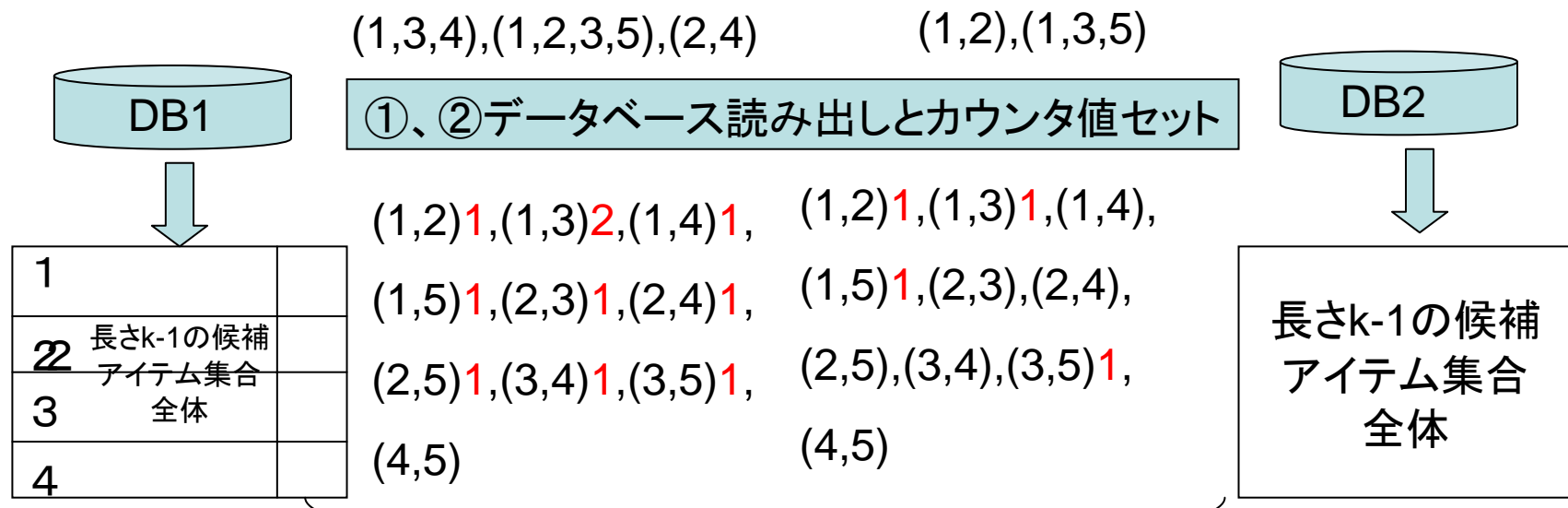
T5=(1,3,5)

並列Apriori法1:NPA (IBM Count Distribution)

- 候補アイテム集合のコピーを全プロセッサが有する
 - データベースは各プロセッサに分割
- 1 各プロセッサの登録表に長さk-1の候補アイテム集合全体を設定する
 - 2 データベース読み出し、候補表に登録されておればカウント+1
 - 3 カウント値を交換。長さk-1の頻出アイテム集合を作成
 - 4 各プロセッサで長さk-1頻出アイテム集合から長さkの候補アイテム集合全体を作成し、各プロセッサの候補表に登録

データベースはプロセッサ間で転送なし
長さ2の候補アイテム集合のサイズが大で溢れる。
例:長さ1の頻出アイテム集合の数: 10^4
長さ2の候補アイテム集合の数: 10^8





③カウント値の相互交換

④長さk-1の頻出アイテム
集合の決定 (1,2),(1,3),(1,5),(3,5)

長さk-1の頻出アイテム集
合の決定

⑤長さkの候補アイテム
(1,3,5)

長さkの候補アイテム

集合の作成

集合の作成

同一コピー作成

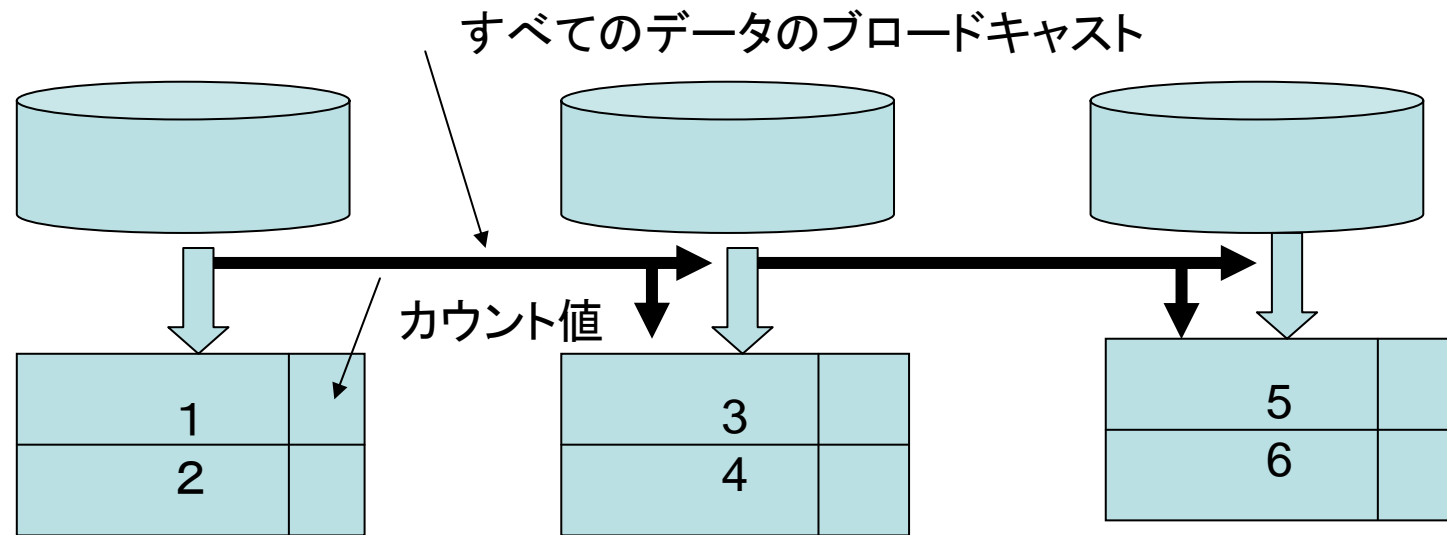
同一コピー作成

同一処理

並列Apriori法2: SPA (IBM Data Distribution)

- 候補アイテム集合を各プロセッサの候補表に分散配置
- データベース分割
 - 1 長さk-1の候補アイテム集合の一部を候補表に登録
 - 2 各プロセッサでデータベースを読み、候補表に登録されていればカウント+1
 - 3 他のプロセッサからのデータベースに1, 2を実行
 - 4 長さk-1の頻出アイテム集合を作成し、ブロードキャスト
 - 5 長さkの候補アイテム集合を作成し、各プロセッサの候補表に分割配置

データベースを他プロセッサにブロードキャスト: オーバヘッド



長さk-1候補アイテム集合(部分)

長さk-1頻出アイテム集合(部分)作成とブロードキャスト

長さk-1頻出アイテム集合(全)

長さk候補アイテム集合作成(部分)

長さk-1候補アイテム集合(部分)

長さk-1頻出アイテム集合(部分)作成とブロードキャスト

長さk-1頻出アイテム集合(全)

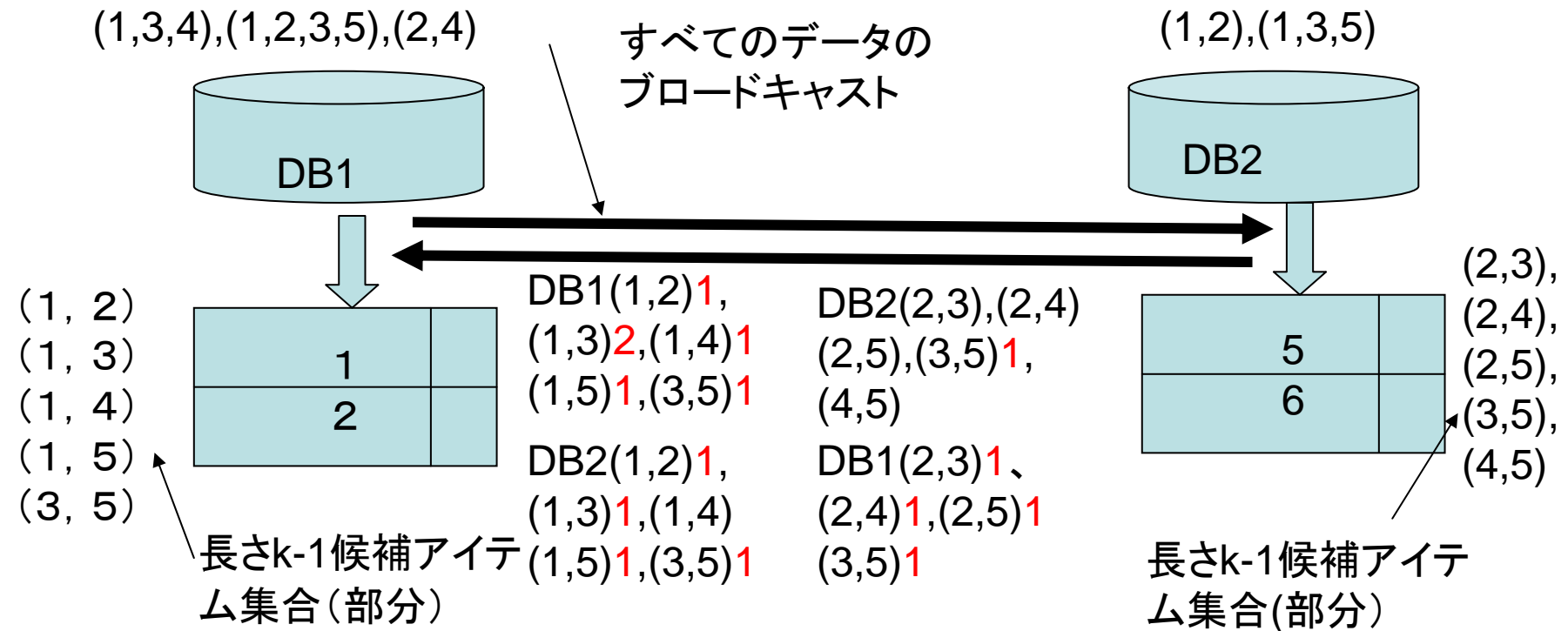
長さk候補アイテム集合作成(部分)

長さk-1候補アイテム集合(部分)

長さk-1頻出アイテム集合(部分)作成とブロードキャスト

長さk-1頻出アイテム集合(全)

長さk候補アイテム集合作成(部分)



長さk-1頻出アイテム集合(部分)作成とブロードキャスト

$(1,2), (1,3), (1,5), (3,5)$

長さk-1頻出アイテム集合(全)

$(1,2), (1,3), (1,5), (3,5)$

$(1,3,5)$

長さk候補アイテム集合作成(部分)

長さk-1頻出アイテム集合(部分)作成とブロードキャスト

長さk-1頻出アイテム集合(全)

長さk候補アイテム集合作成(部分)

並列Apriori法3:HPA (ハッシュ法:東大)

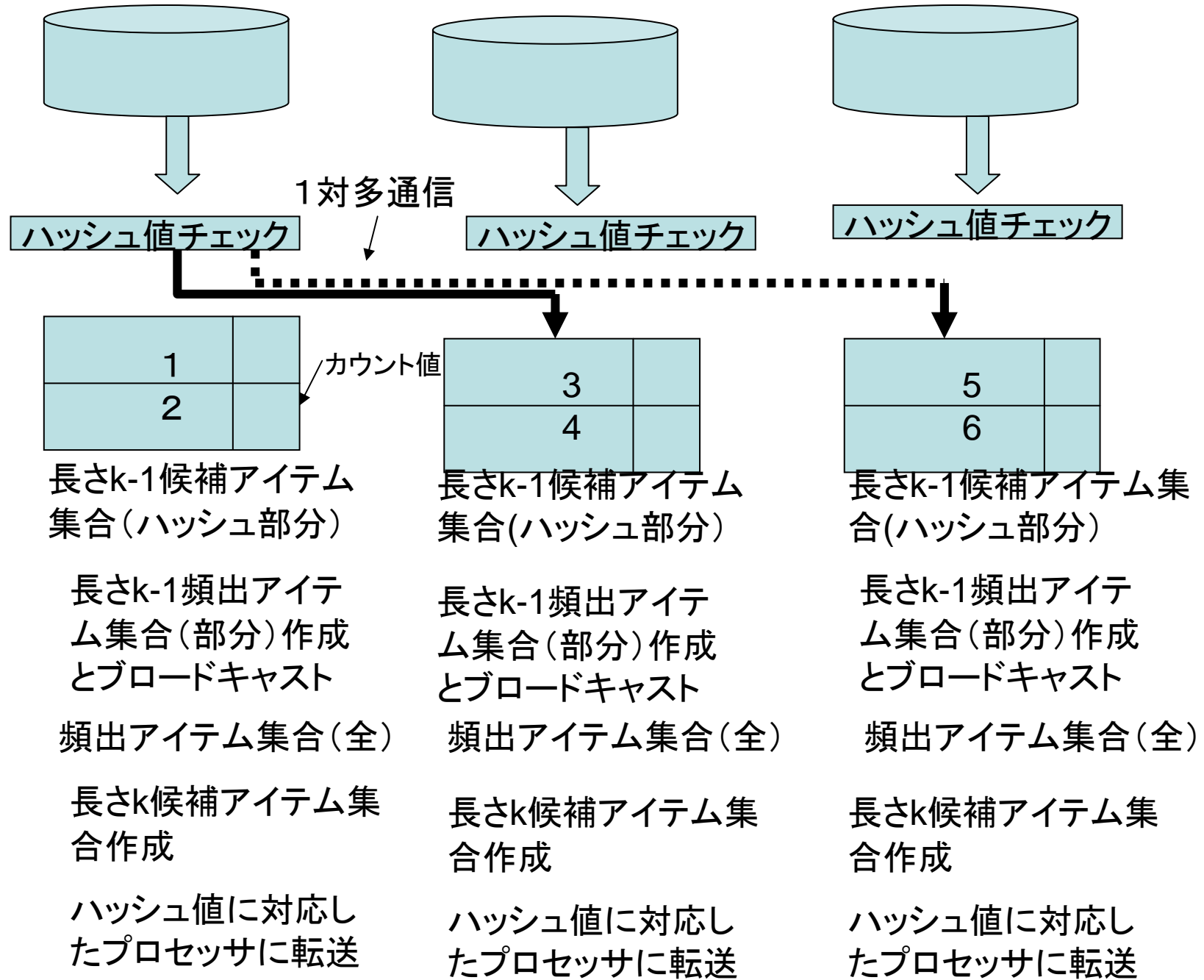
- 候補アイテム集合をハッシュで各プロセッサに分割
 - データベース分割
- 長さk-1の候補アイテム集合をハッシュで各プロセッサに分割配置：
例アイテム3を含むもの → P1へ
含まないもの → P2へ
 - データベースを読み、長さk-1のアイテム集合すべてについて、1と同じハッシュにより、プロセッサ番号をもとめ、そこに転送し、登録表にあればカウント+1
例データ(1, 2, 3, 4)
(1, 2)、(1, 4)、(2, 4) → P2へ
(1, 3)、(2, 3)、(3, 4) → P1へ
 - 長さk-1の頻出アイテム集合を各プロセッサで求め、ブロードキャスト
 - 長さkの候補アイテム集合を作成し、ハッシュ値に対応するプロセッサに分割配置

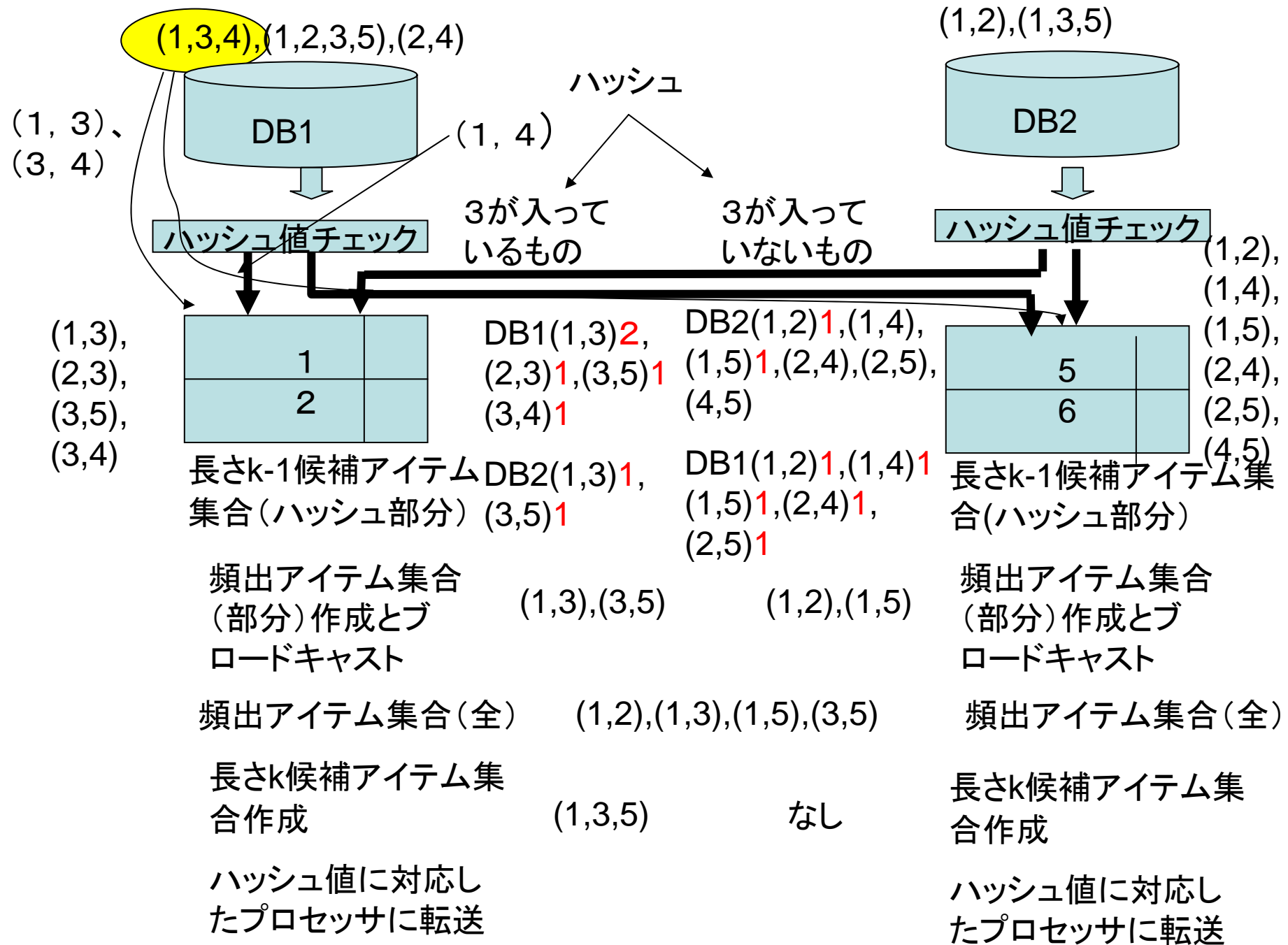
HPA-ELD: アイテム集合に偏りがあり、特定のプロセッサが過負荷

他のプロセッサの候補表にコピーを置き、負荷の分散化

例: アイテム3の生起確率が大極めて大のとき、

P1:過負荷 → P2にも回すようにする





データ数:2048K

平均アイテム数:15

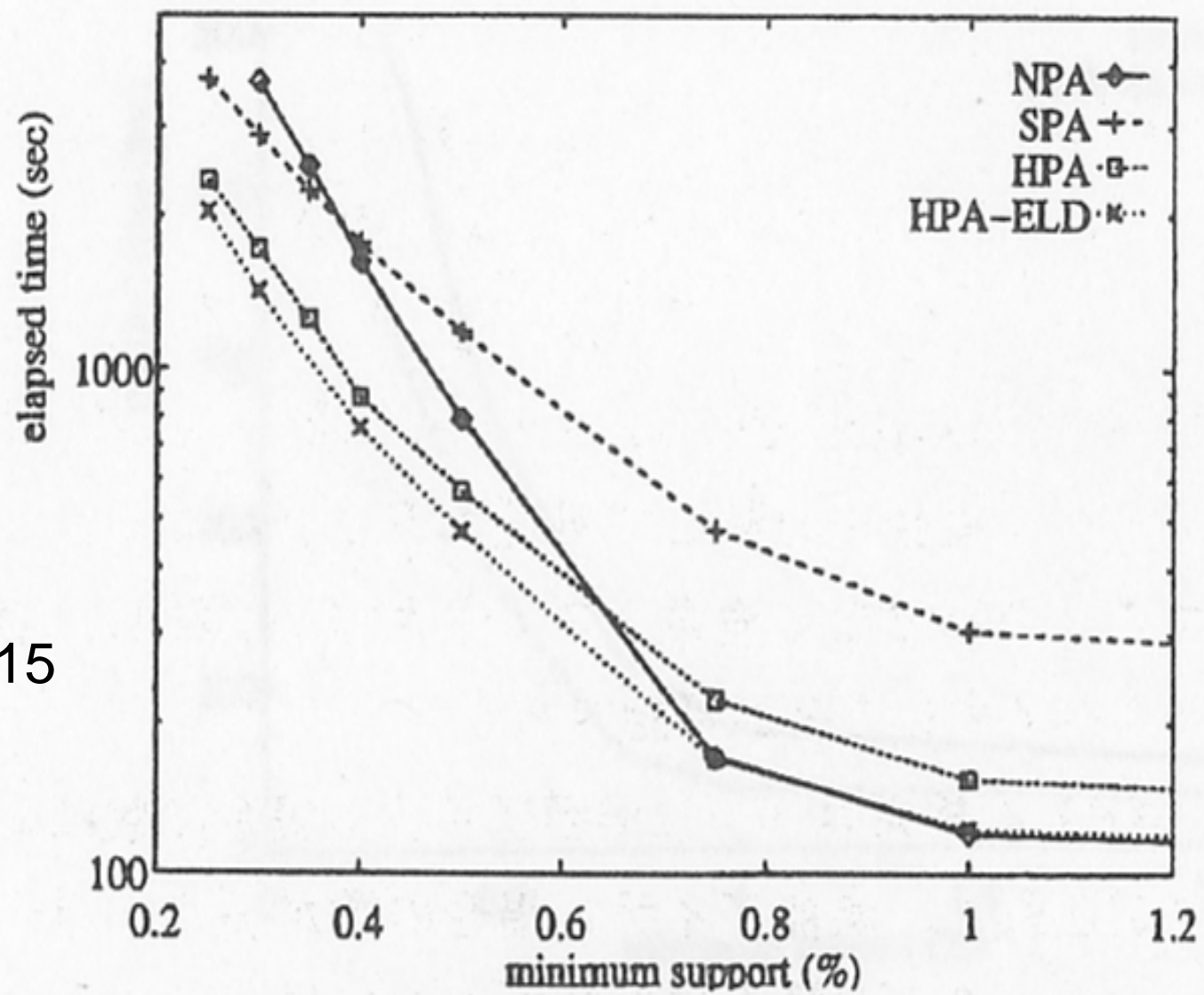
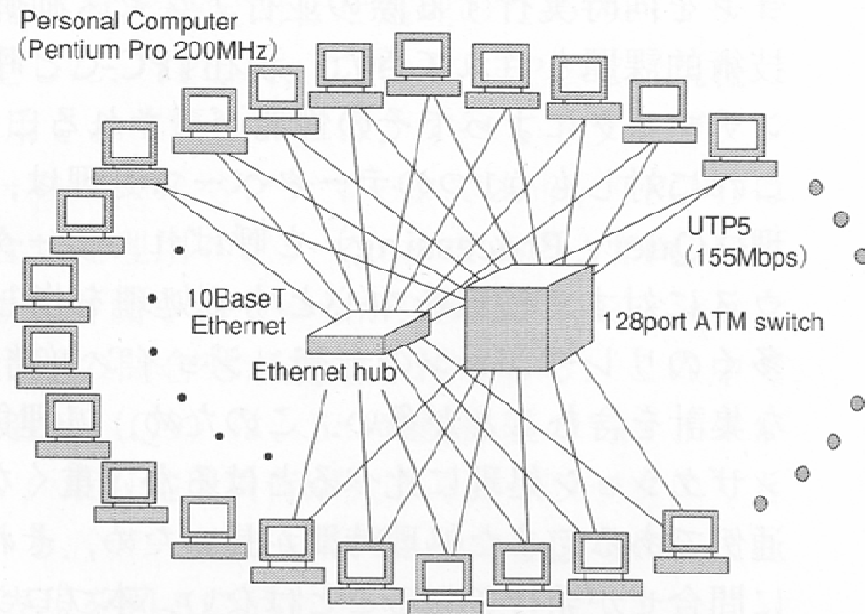


図 2: 最小サポート値を変化させた場合の処理時間

文献

- 1 喜連川優:データベースとデータマイニングにおける並列処理、情報処理、39巻、11号、pp.1089-1094、1998
- 2 新谷隆彦、喜連川優:データマイニングにおける相関関係抽出の並列処理方式、JSPP,pp.97-104、平成8年
- 3 R.Agrawal,J.C.Shafer: Parallel Mining of Association Rules,IEEE Trans.Data Engineering,8,6,pp.962-969,1996
- 4 R.Agrawal,R.Srikant: Fast Algorithms for Mining Association Rules,Proc of 20th VLDB Conf,487-499、1994



CPU	Intel Pentium Pro 200MHz
Chip Set	Intel 440FX
Main Memory	64MB
Disk Drives	For OS Western Digital Caviar 32500 (EIDE, 2.5GB) For databases Seagate Barracuda (Ultra SCSI, 4.3GB, 7200RPM)
SCSI HBA	Adaptec AHA 2940 Ultra Wide
ATM NIC	Interphase 5515 PC ATM Adapter
OS	Solaris2.5.1 for x86

図-1 NEDO-100 PC クラスタの構成

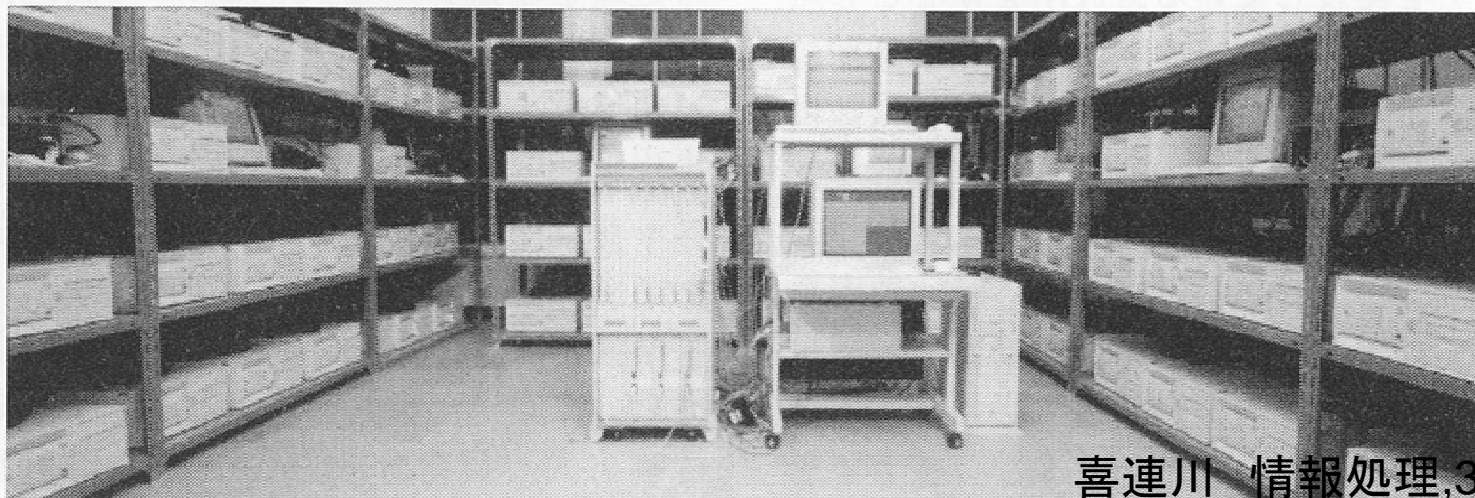
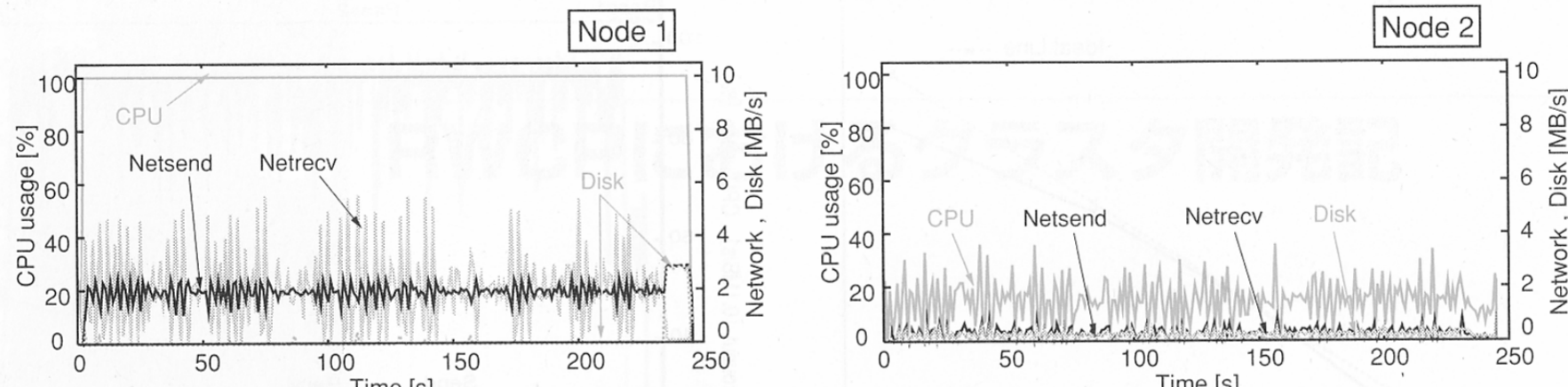
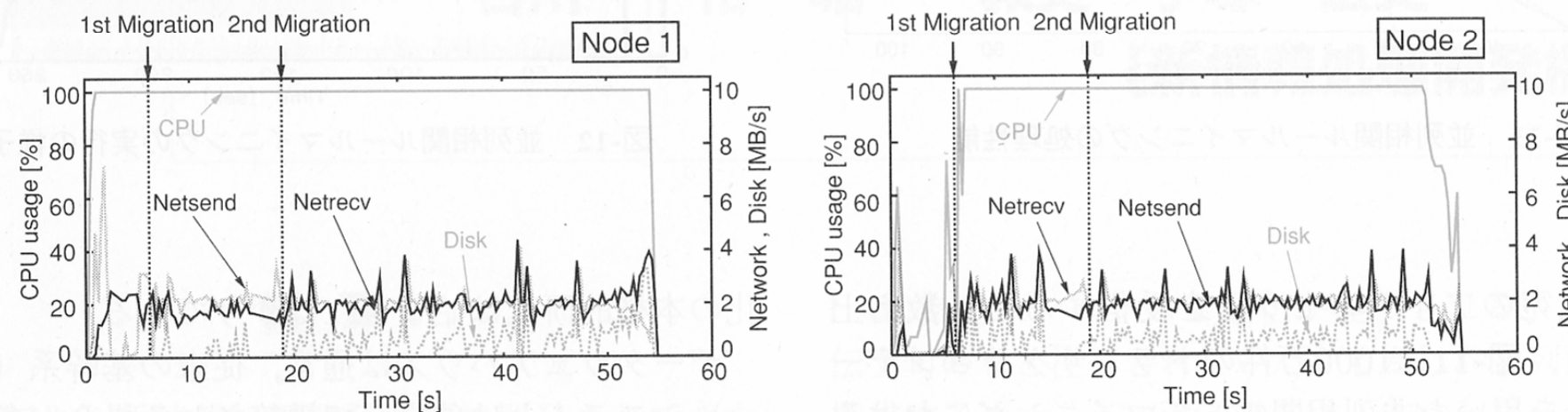


図-2 NEDO-100概観

喜連川 情報処理,39,
11,p.1089, 1998



(a) Without Dynamic Load Balancing



(b) With Dynamic Load Balancing

図-10 実行時動的負荷分散機構の効果

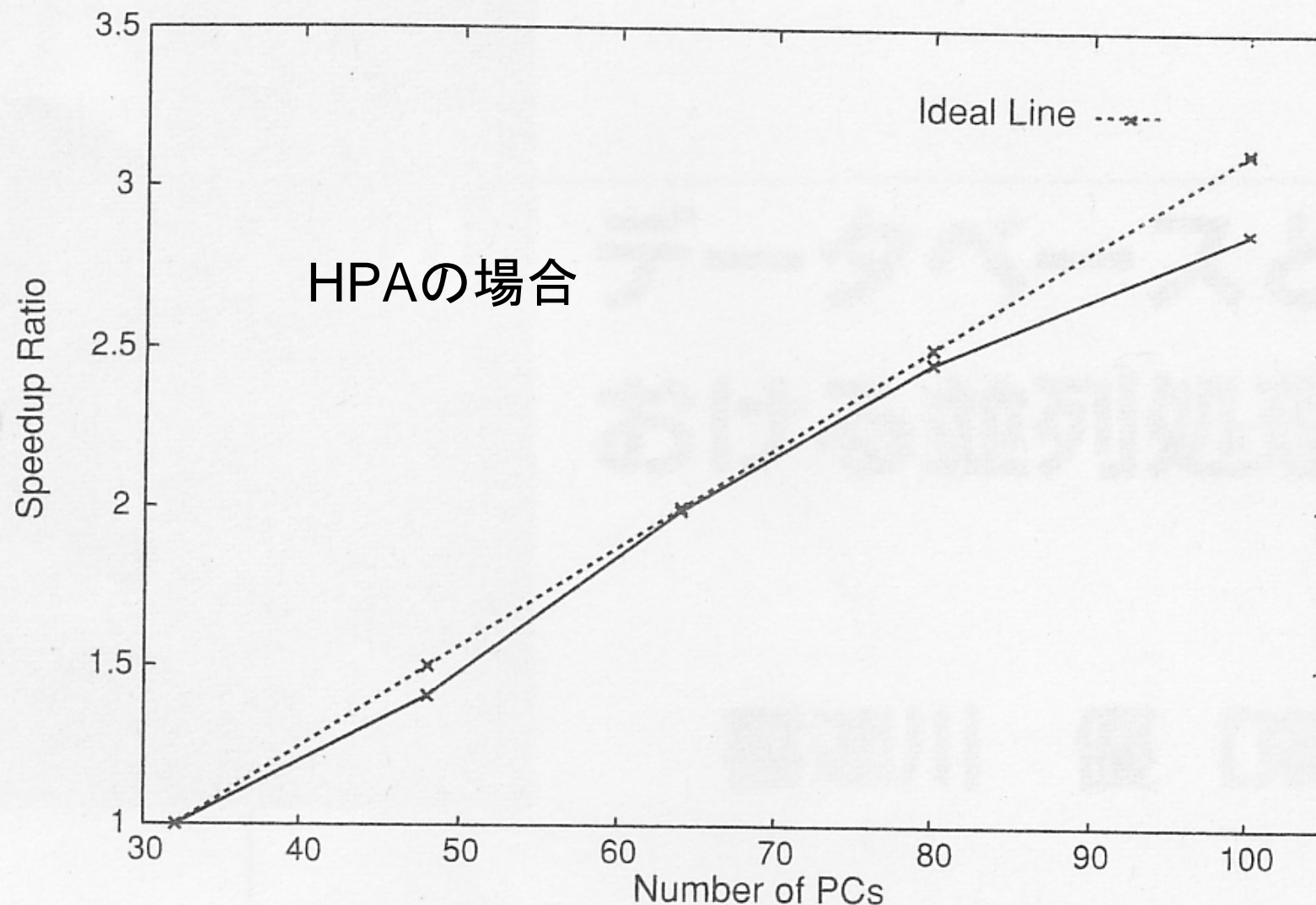


図-11 並列相関ルールマイニングの処理性能

6.6 人工知能

情報検索の並列化

知識データベースの構築とそれに対する

情報検索を高速化

推論規則の並列化

プロダクションシステム、論理型言語PROLOG

新しい探索アルゴリズムの並列化

ニューロコンピュータ、

シミュレーティッド・アニーリング、

遺伝的アルゴリズム

分散協調処理

6.6.1情報検索の並列処理

意味ネットワーク

キーワード検索：連想メモリ

マーカ伝播 (, ,) MBR:Memory Based Reasoning

ビット演算

Connectionist

並列処理

通信を非同期化したSIMD方式

(たとえば、Connection Machine)

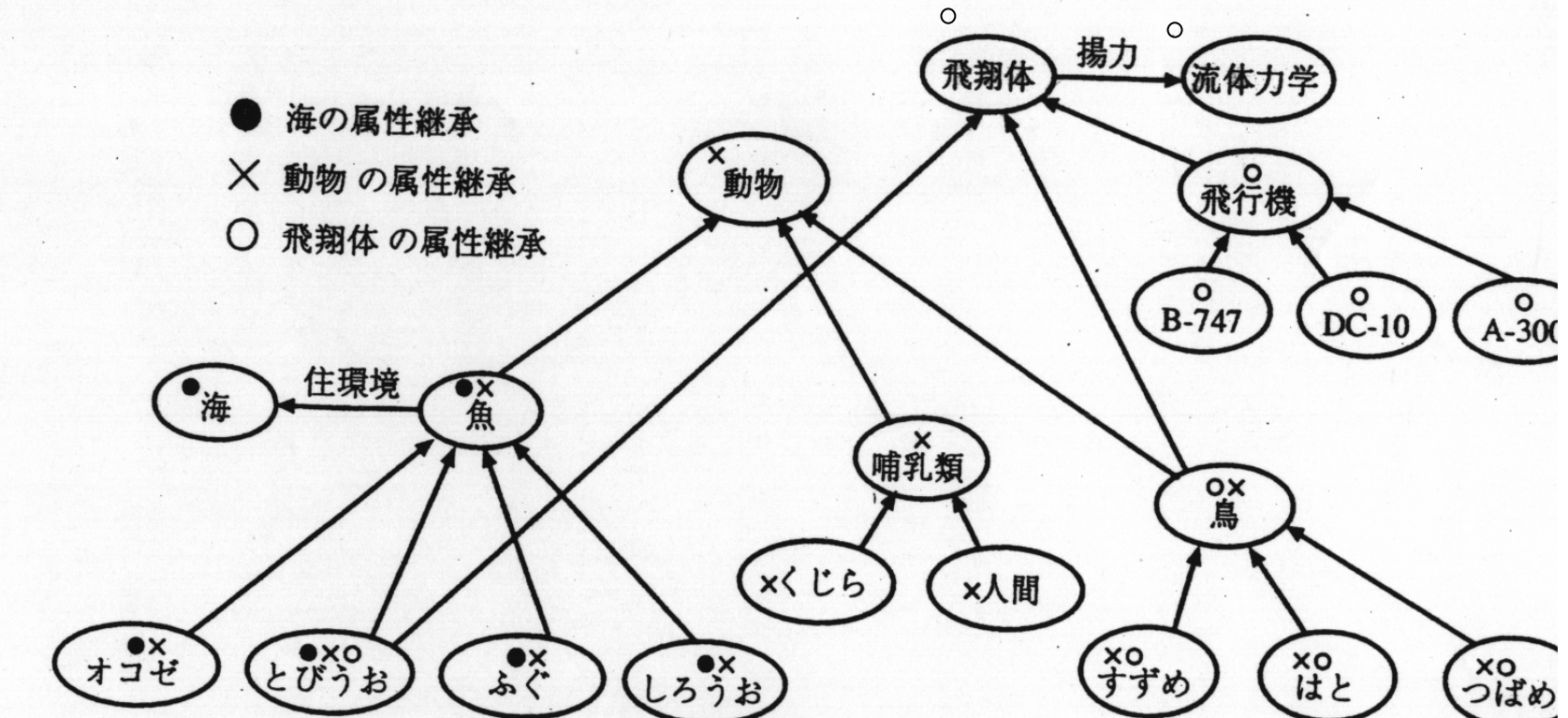


図 6.43 意味ネットワーク

マルチプロセッサ方式

電子技術総合研究所のIXM

マルチプロセッサと連想メモリを有機的結合

6.6.2 プロダクションシステムの並列化

エキスパートシステム構築用の基本メカニズム

(1) OPS5の基本動作

プロダクション：条件文の集合

プロダクションの左辺 (LHS) : 条件要素が連接

右辺 (RHS) : 動作記述 (追加と削除)

プロダクション：プロダクションメモリに格納

データ：ワーキングメモリ (WM) に格納

（その要素を WME ）

(P make-possible-trip

(city name<x> state New-York)

- (weather-forcast place<x> date tomorrow

weather rainy)

(make possible-trip place<x> date tomorrow))

P : プロダクションの開始記号、

make-possible-trip : プロダクション名、

city, weather-forecast : クラス名、 : 属性記号、

New-York, tomorrow など : 値

上記のプロダクション

[もし、 NewYork州の市を表すWMEが存在し、かつ、明日その市の天気が雨である ことを示すWMEが存在しなければ、

明日その市へ旅行することが可能であることを示す新しいWMEをWM中に追加せよ。】

WM中に、

- (city name Buffalo state New-York)

- (weather-forecast place Buffalo
date tomorrow weather fine)

がWMEとして存在すると、上記のプロダクションを実行後

- (possible-trip place Buffalo date tomorrow)

がWMに追加される。

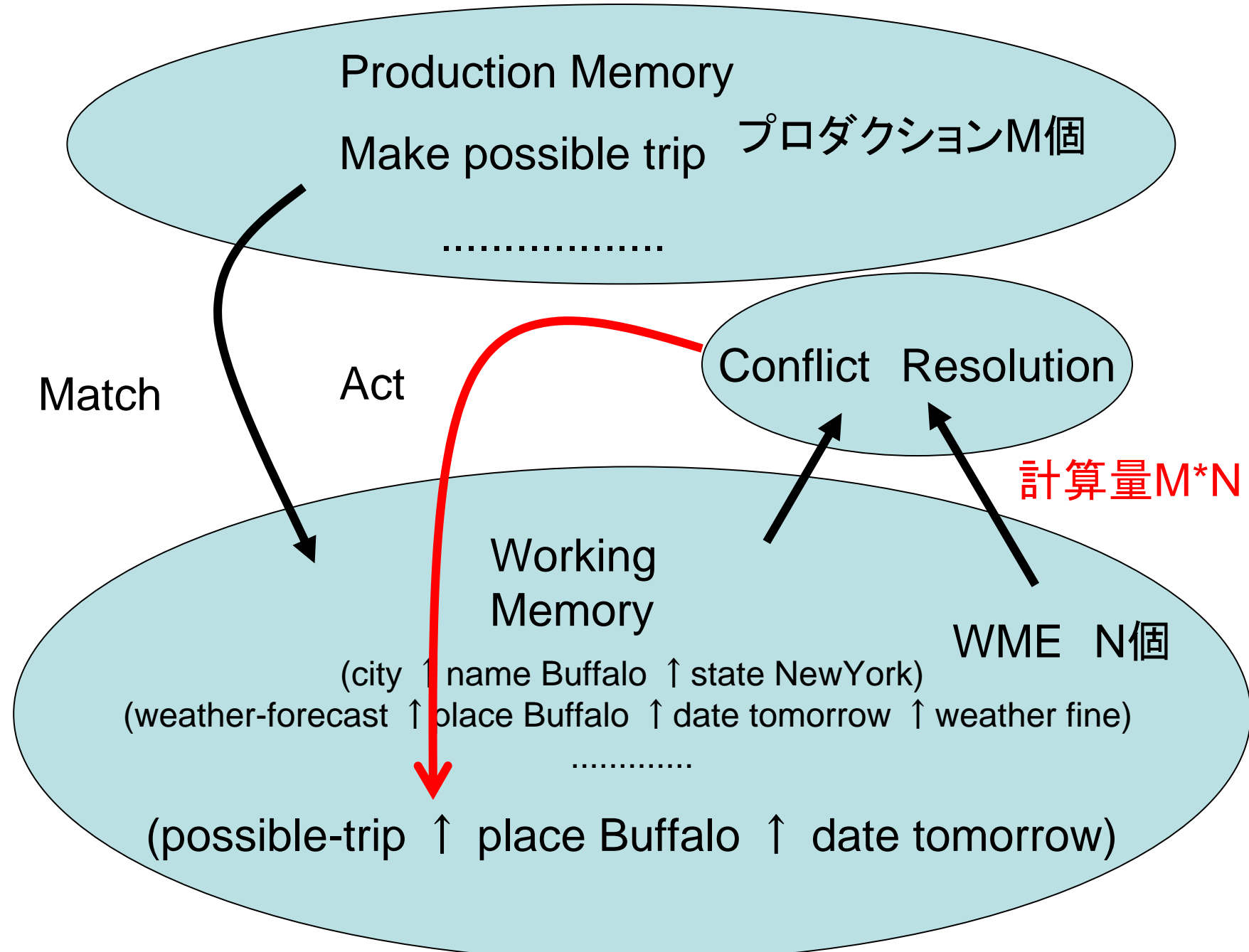
OPS5の実行過程

Match:すべてのプロダクションについてLHSとWM中のWMEの組とのマッチング

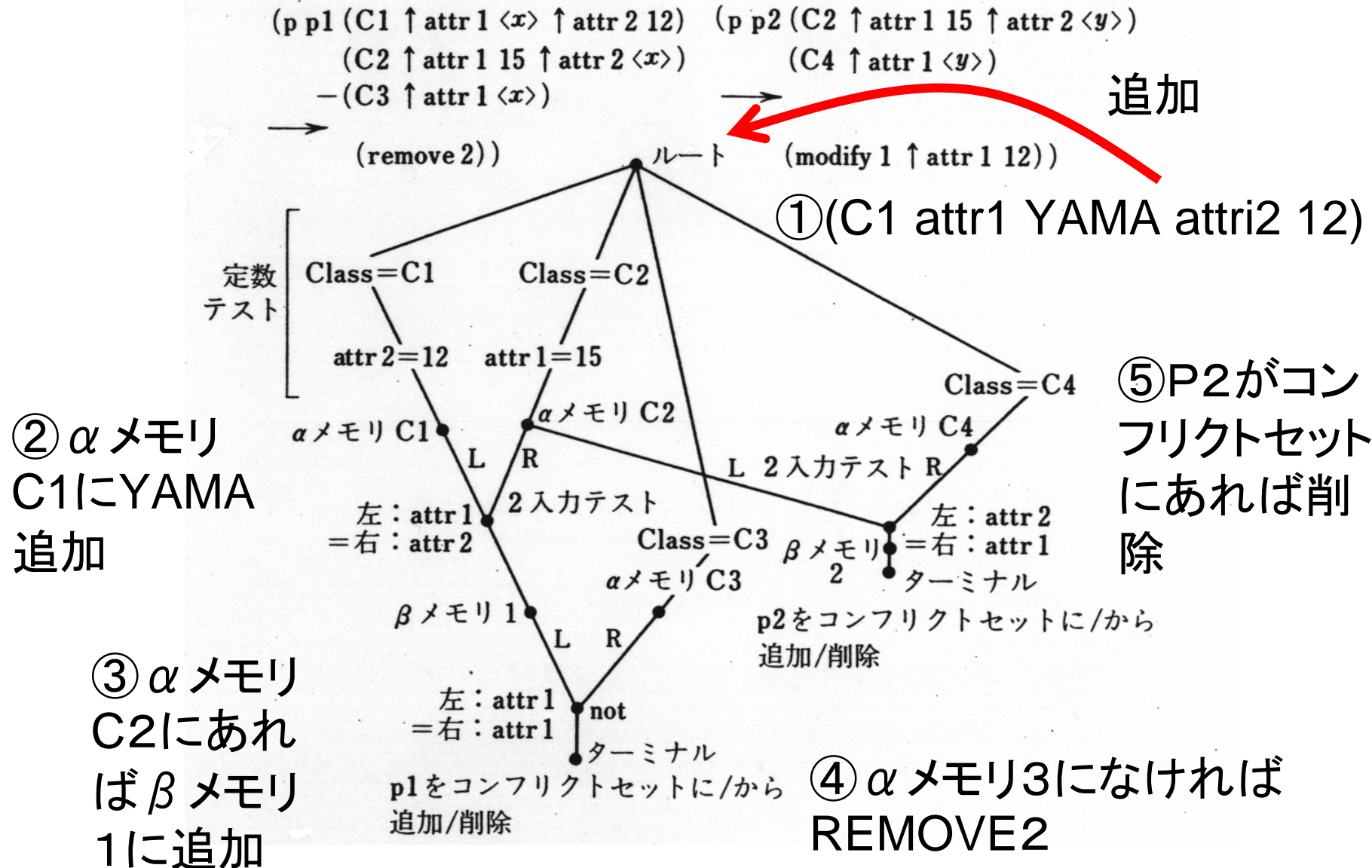
Conflict Resolution:マッチしたプロダクショ

ンの中から、定められた戦略によって、プロダクションを一つ選択

Act : 選択されたプロダクションを実行し、
プロダクションのRHSの実行としてWMEの
追加や削除の実行



(2) RETEアルゴリズム: ACTで変化したWMEのみ処理



6.6.3論理型言語PROLOGの 並列処理

(1) PROLOGの実行過程

PROLOG : Programming in Logicの略

ホーン節 (Horn Clause) の集合

$H_1 : -B_{11}, B_{12}, \dots, B_{1k}.$

...

$H_i : -B_{i1}, B_{i2}, \dots, B_{il}.$ (54)

...

$H_n : -B_{n1}, B_{n2}, \dots, B_{nm}.$

H : 頭部リテラル (head literal) 、

B : 本体 (body) リテラル

頭部リテラルのないホーン節 : ゴール節 ;

例 ?- $B_1, B_2.$

ゴール節以外の節：定義節

本体リテラルのない節：

単位節 (unit clause)、事実節 (fact clause)

頭部及び本体リテラルを含む節：

非単位節、規則節 (rule clause)

「:-」：含意、「,」：論理積

$H:-B_1, B_2.$

「 B_1 かつ B_2 ならば H である」、あるいは、

対偶をとって

「 H でなければ B_1 でないかまたは B_2 でない」

(2) 逐次型PROLOGの実行過程

单一化(unification)

バックトラック

ゴール節から空節を導く過程

?-H₁.

H₁ : -H₂, H₃.

H₂.

(5 9)

H₃.

?-H₁. ?-H₂, H₃. ?-H₃. (空節)

PROLOGの論理的解釈：背理法の論理で実行
「ゴール節は成立しないと過程すると矛盾する。よって
 H は成立する。」

「 H_1 が成立しない」とすると、 によって、
「 H_2 が成立しないかまたは H_3 が成立しない」となる。
しかし、これは、 、 で矛盾する。よって、 H_1 は成立
する。

逐次型PROLOG

- (1) grandmother (X, Y) : -mother (X, Z), mother (Z, Y) .
(2) mother (toshiko, reiko) . →
(3) mother (miyako, mutsumi) .
(4) mother (miyako, kazuko) .
(5) mother (kazuko, liena) .
(6) mother (reiko, aya) .

(a) 例題プログラムの定義節

評価の順番

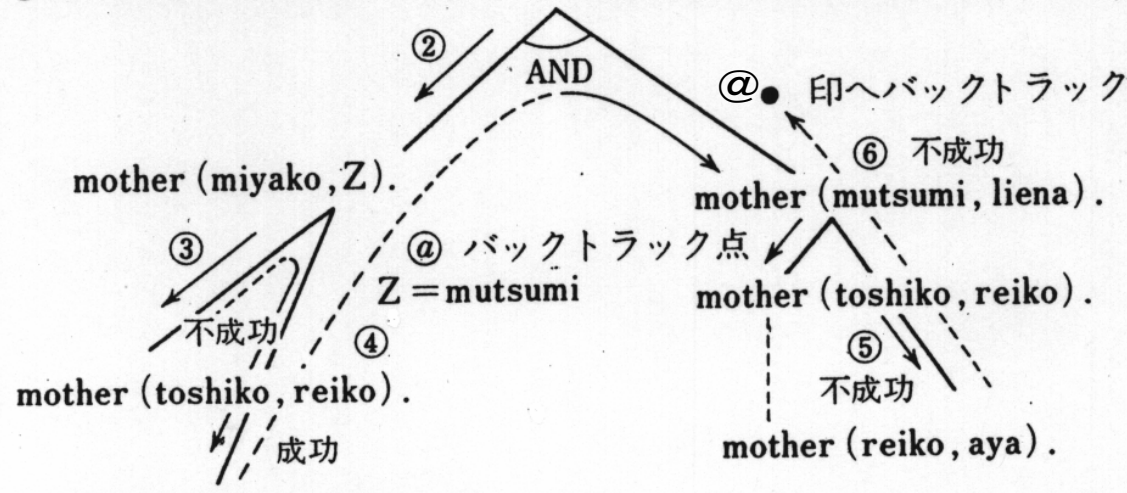
左から右

上から下

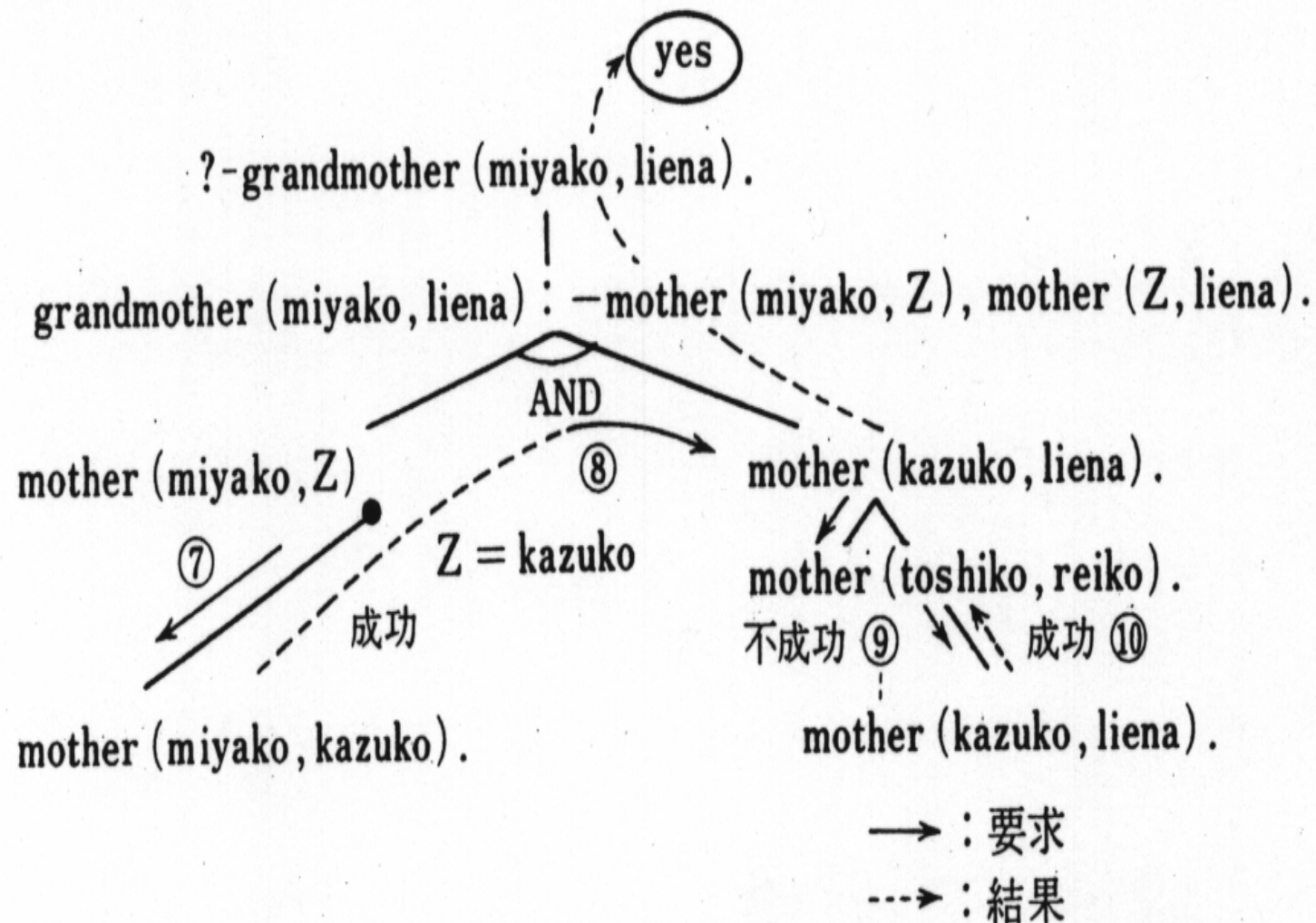
? - grandmother (miyako, liena).

① ↓

grandmother (miyako, liena) : -mother (miyako, Z), mother (Z, liena).



mother (miyako, mutsumi).



(b) 実行過程

单一化操作、環境の保存、引き数の受渡しとバック
トラックなどの高速化

ICOTのPSI

インタプリタ方式

コンパイラ方式

PROLOG向き機械命令セット

(WAM: Warren Abstract Machine)

(3) PROLOGの実行過程における並列処理

?- H_1, H_2, \dots, H_m

$H_1 :- B_{11}, B_{12}$

$H_1 :- B_{21}$

$H_1 :- B_{31}, B_{32}, B_{33}$

① AND並列

ゴール節 : ?- $H_1, H_2, \dots, H_m.$

H_1, H_2, \dots, H_m の单一化処理を同時に起動

解の整合性チェック (consistency check) が必要

ストリーム並列

?- H_1, H_2, \dots, H_m .

ゴールのパイプライン的実行

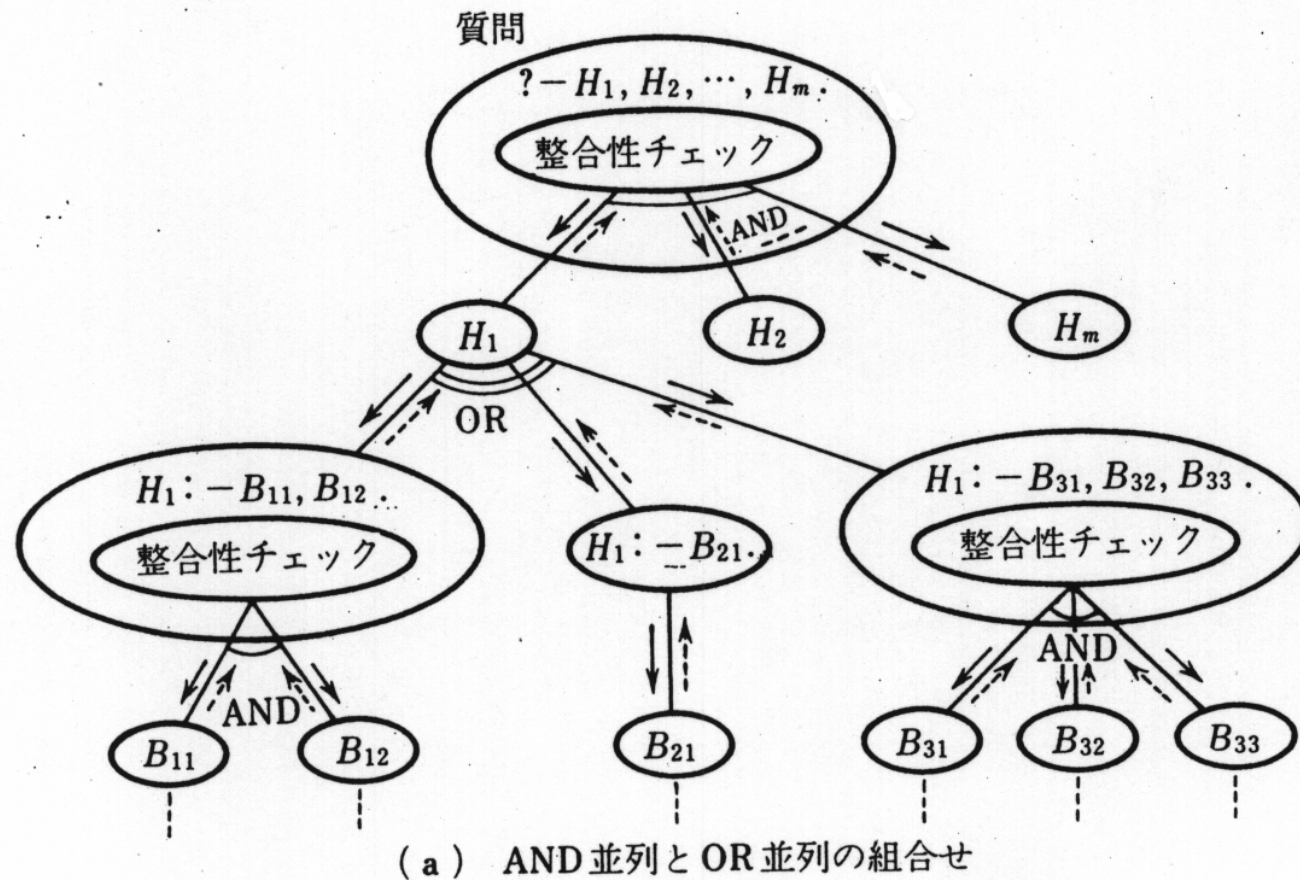
OR並列

$H_1 : -B_{11}, B_{12}.$

$H_1 : -B_{21}.$

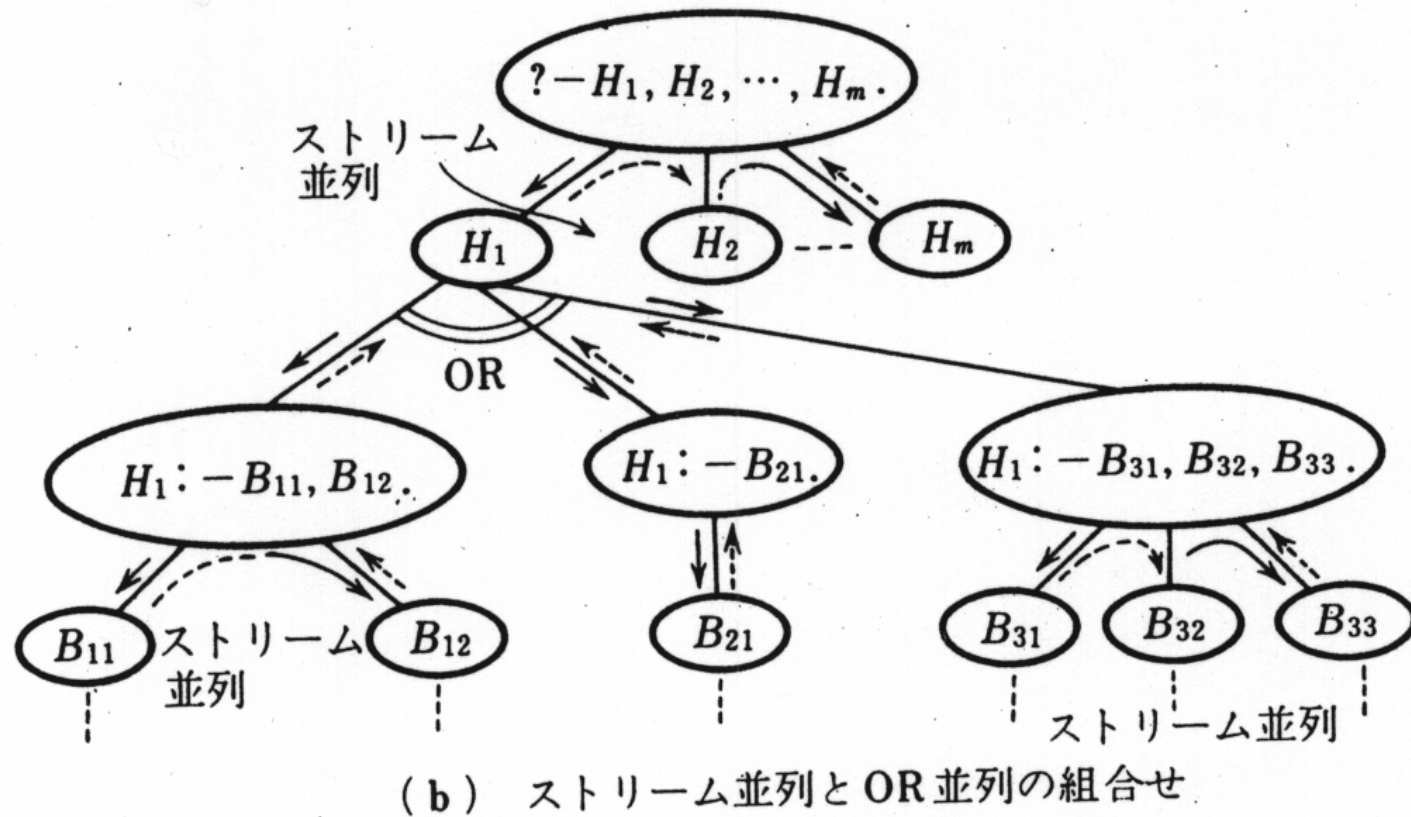
(6 0)

$H_1 : -B_{31}, B_{32}, B_{33}.$



AND並列とOR並列の組み合わせ

ストリーム並列とOR並列の組み合わせ



：プロセス

→ : 要求

→ : 結果

?-H₁ .

单一化可能なものは 3 つ存在
低レベルでの並列処理

单一化操作自体 :

基本的には記号列のパターンマッチング
(サーチ並列)

引数多数の場合 : 各引き数ごとに单一化処理を並
列実行

(引き数間並列)

環境の受渡しや構造体の処理

(4) PROLOG並列コンピュータ

- ・プロセスの適切な機能レベルの設定
- ・プロセスの生成、管理の高速化
- ・効率のよい負荷分散と通信量削減
- ・相互結合網自体の高速化
- ・ガーベッジコレクションの高速化[323]

(5) 第五世代コンピュータ

1982より11年の歳月をかけた大プロジェクト

大規模システム：

PIM/p(富士通、512PE)、

PIM/m (三菱、256PE)、

PIM/c (日立、256PE)

小規模システム

PIM/k (東芝、16PE)、

PIM/i (沖、16PE)

並列論理型言語KL-1の設計とその処理系の開発

ガード付きホーン節

$$H: -G_1, G_2, \dots, G_n | B_1, B_2, \dots, B_m.$$

ゴールHとの单一化の際：そのガード部が満たされた
節が1つのみ選択

KL-1処理系の特徴

- 分散メモリ環境での効率のよい单一化
- (ユニフィケーション)の実現
- マルチプロセッサ上での新しいガーベッジコレクション方式
- (輸出入表やMRB (Multiple Reference Bit) 方式などの導入)の提案
- ユーザ指定(プログラマの指定)による負荷分散方式の導入
- 莊園とよぶメタ管理機能の導入

遅延通信、一括通信など通信オーバヘッド削減 手法の提案

6.6.4 ニューロコンピュータ

（1）歴史

新しい計算モデルの必要性

様々なニューロモデルの提唱と

有効性の実証

ニューロコンピュータの利用目的

学習機械

最適化機械

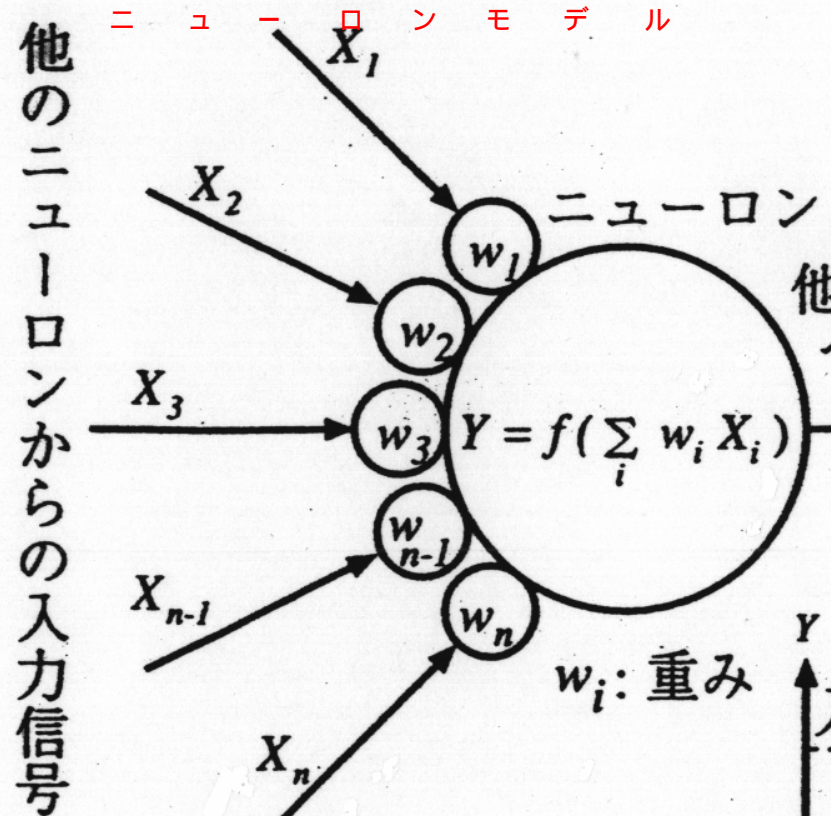
ユーザ問題：

エネルギー関数の最小化の形に定式化

システム：

エネルギー関数を最小化するように動作

平衡点が一つの解



$$f(x) = \frac{1}{1 + \exp(-x + \theta)}$$

$$f'(x) = f(x)(1 - f(x))$$

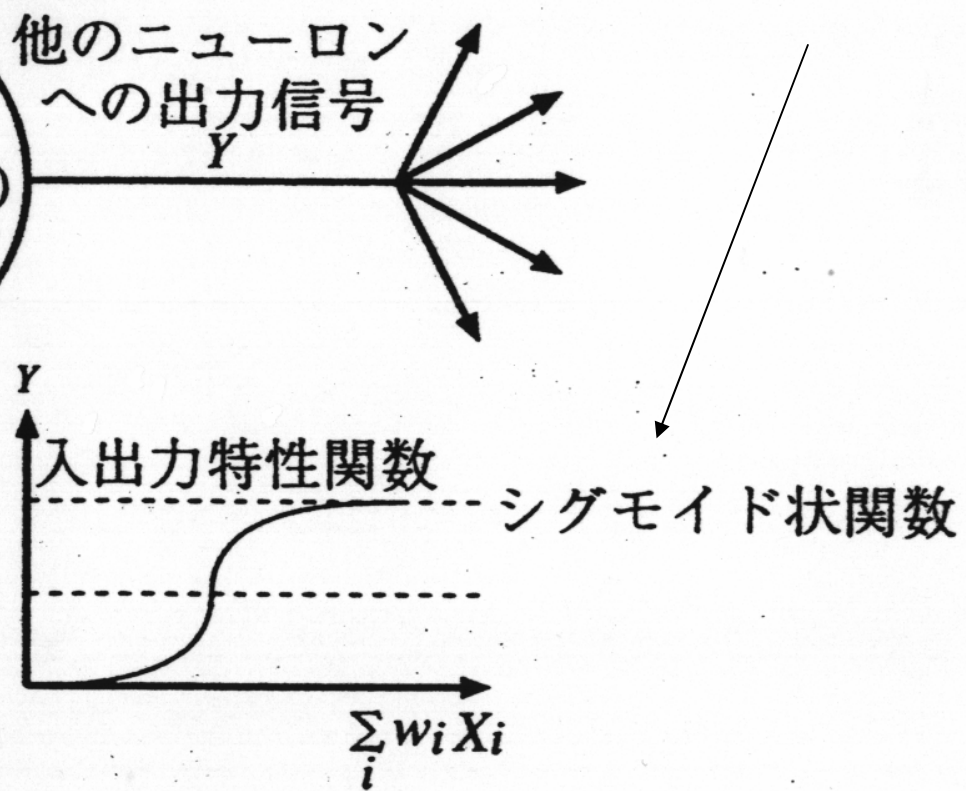


図 6.47 ニューロンモデル

(2) ニ ュ 一 口 コ ン ピ ュ 一 タ

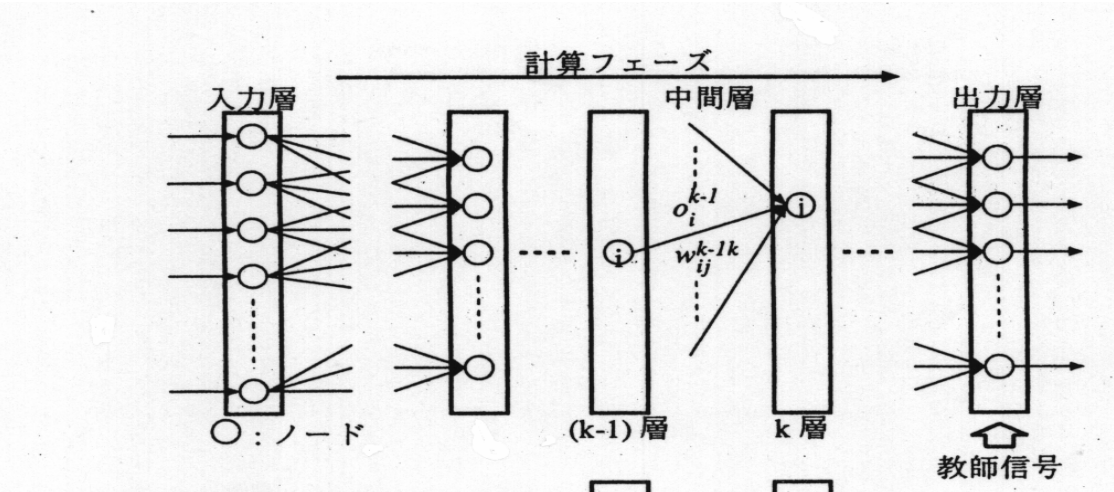
(a) 階層型 モデル

R u m e l h a r t の バックプロパゲーションアルゴリズム

(b) 相互結合型 モデル

ホップフィールド モデル

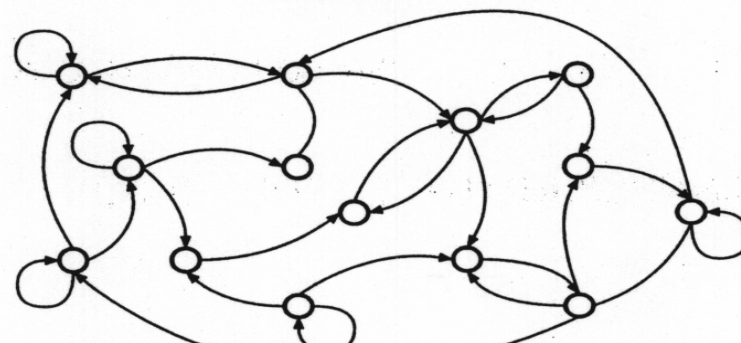
。



w_{ij}^{k-1k} : (k-1) 層のノード i と k 層のノード j との間の重み
 o_i^{k-1} : (k-1) 層のノード i の出力
 δ_j^k : k 層のノード j の学習信号

3層が多い

(a) 階層型モデル



(b) 相互結合型モデル

図 6.48 ネットワークモデル

バックプロパゲーション

入力層に、入力信号を入力する

入力されたデータは、中間層（隠れ層）を経て、
出力層へと伝わる。

出力層Mのノードiから得られる出力を o_i^M とする。

で入力した信号に対応する教師信号を d_i とす
ると、出力層の学習信号 δ_i^M は次式で求められる。

$$\delta_i^M = (d_i - o_i^M) f'(i^M_i) \quad (62)$$

ただし、 $f'(x)$ は特性関数の微分値である。

第k-1層の学習信号は、k層の学習信号を使って次
式で計算される

最急降下法

$$\delta_{i-1}^k = f'(i_{i-1}^k) \sum_j \delta_j^k w_{j-1, i}^k \quad (63)$$

o^{k-1}_i は $k-1$ 層のノード i における出力値

δ^k_j は k 層のノード j における学習値

ノード間のリンクの重みを次式に従って更新する。

$$w^{k-1 \rightarrow k}_{i \rightarrow j}(n+1) = \eta \delta^k_j o^{k-1}_i + \alpha \Delta w^{k-1 \rightarrow k}_{i \rightarrow j}(n)$$

(64)

ただし、 n は学習のステップ

は学習係数

は安定化定数

以上の n から $n+1$ までのステップを、種々の入力

信号とそれに対応する教師信号のセットに対

し、繰り返す。

(b)相互結合型モデル

ネットワークの平衡状態

ホップフィールドモデル

各ノードの動作（状態変化規則）は次式で与えられる。

$$\sum_j w_{ij} u_j - \theta_i > 0 \text{ ならば } u_i = 1$$

$$\sum_j w_{ij} u_j - \theta_i < 0 \text{ ならば } u_i = 0 \quad (65)$$

$$\sum_j w_{ij} u_j - \theta_i = 0 \text{ ならば } u_i \text{ は変化しない}$$

ただし、 u_i はノード i の状態

u_i はノード i のしきい値

エネルギー関数

$$E = -1/2 \sum_i \sum_j w_{ij} u_i u_j + \sum_i \theta_i u_i \quad (66)$$

研究課題

ローカルミニマム問題：

評価関数の設定：

巡回セールスマン問題 (TSP) の近似解

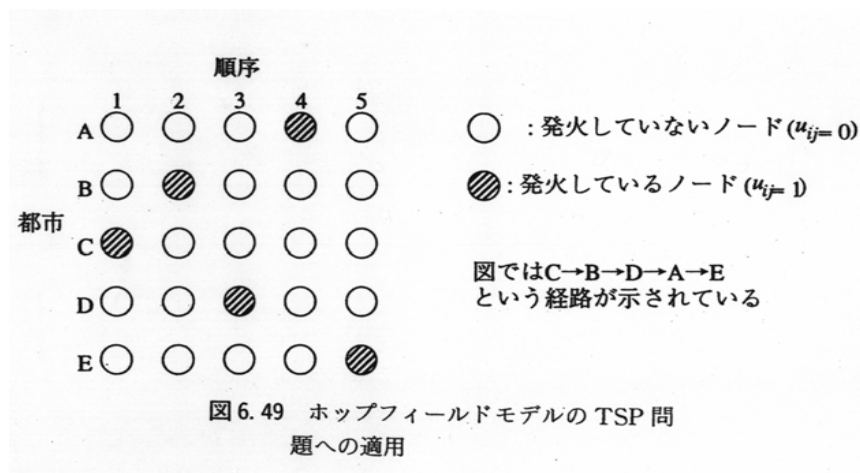
$E = 1/2 [\sum_i \sum_j \sum_k d_{ij} u_{ik} (u_{jk+1} + u_{jk-1})]$: 都市間の距離

$+ A (\sum_i (\sum_k u_{ik} - 1)^2)$: の制約条件

$+ \sum_k (\sum_i u_{ik} - 1)^2)]$ (i j) : の制約条件

: 同時刻には一つの都市しか通らず

: 一度通った都市は二度と通らず



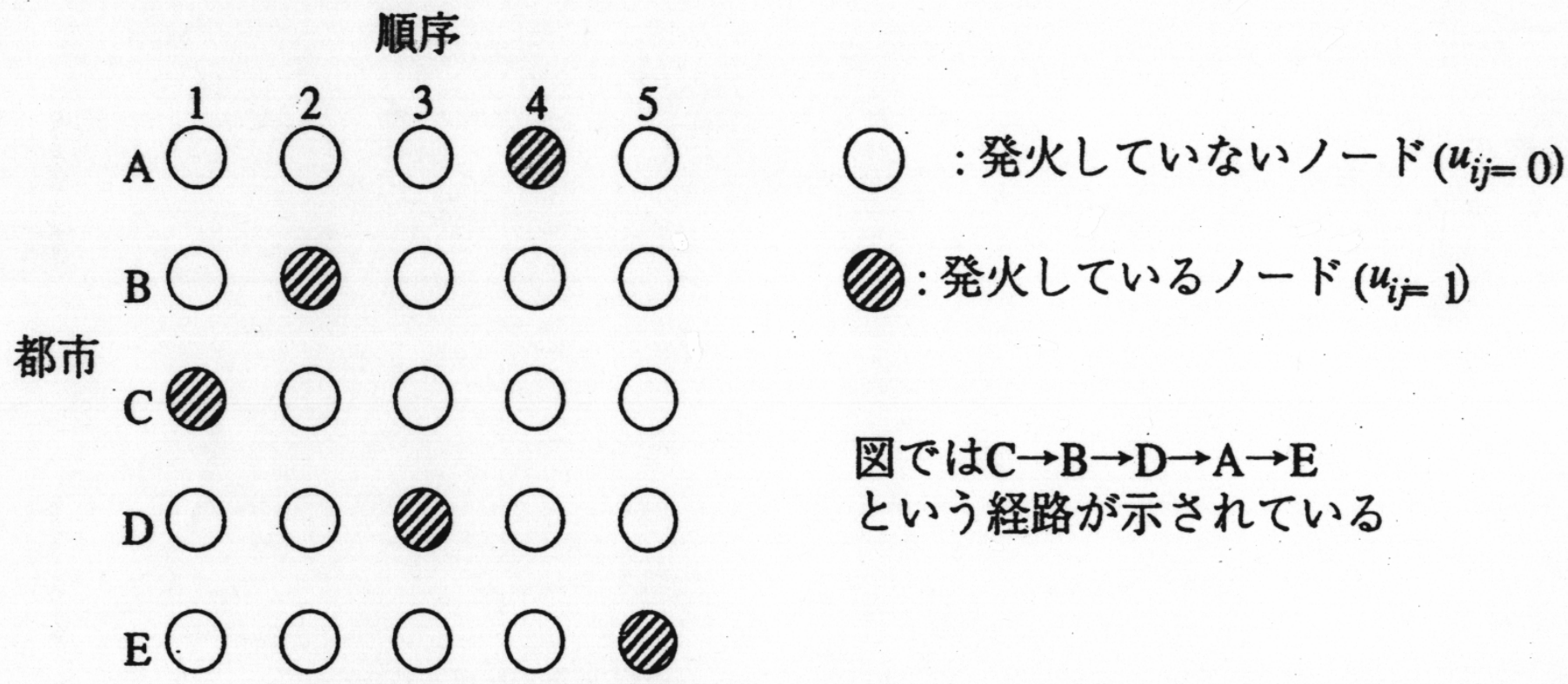


図 6.49 ホップフィールドモデルの TSP 問題への適用

$$E = \frac{1}{2} [\sum_i \sum_j \sum_k d_{ij} u_{ik} (u_{jk+1} + u_{jk-1})$$

$$+ \lambda (\sum_i (\sum_k u_{ik} - 1)^2$$

$$+ \sum_k (\sum_i u_{ik} - 1)^2)] \quad (i \neq j)$$

$$E = -\frac{1}{2} \sum_i \sum_k \sum_j W_{ikj} |u_{ik} u_{jk}| + \sum_i \sum_k \theta_{ik} u_{ik}$$

$$(i \neq j \text{ and } k \neq l)$$

ただし、 u_{ik} は i 行 k 列にあるノードの値

d_{ij} は都市 i と j の距離

λ は距離と制約条件との重要度を決めるパラメータ

このとき、ノード $<i, k>$ 、 $<j, l>$ 間の重み W_{ikjl} 、

および、ノード $<i, k>$ のしきい値 θ_{ik} を

$$W_{ikjl} = -d_{ij} (\delta_{lk+1} + \delta_{lk-1})$$

$$- \lambda (\delta_{ij} (1 - \delta_{kl}) + \delta_{kl} (1 - \delta_{ij})) \quad (68)$$

$$\theta_{ik} = -\lambda$$

$$u_{ij}^2 + (1-u_{ij})^2 = 1$$

$$\begin{aligned}
 \sum_i \left(\sum_k u_{ik} - 1 \right)^2 &= \\
 \sum_i \left[\sum_k u_{ik}^2 + \sum_{k,j,l} \delta_{ij} (1 - \delta_{kl}) u_{ik} u_{jl} - 2 \sum_k u_{ik} + 1 \right] \\
 &= \sum_{i,k,j,l} \delta_{ij} (1 - \delta_{kl}) u_{ik} u_{jl} - \sum_{i,k} u_{ik} + n
 \end{aligned}$$

$$\delta = \begin{cases} 1 & (i=j) \\ 0 & (i \neq j) \end{cases}$$

で与えることにより、ネットワークのエネルギー関数Eは

$$E = -\frac{1}{2} \sum_i \sum_k \sum_j \sum_l w_{ijk} |u_{ik} u_{jl}| + \sum_i \sum_k \theta_{ik} u_{ik} \quad (69)$$
$$(i \neq j \text{ and } k \neq l)$$

(3) 並列処理

ニューロコンピュータの実現機構

ノード間の結線、

各ノードの総入力を計算するための積和演算機構、

各ノードの特性関数のための非線型演算機構

(a) アナログ方式

(b) 光方式

相互結線

積和演算

光変調 (SLM:Spatial Light Modulator) 機能と

受光素子機能を合わせ持った感度可変型受光素

子 (VSPD:Variable Sensitivity Photodector)

非線型演算機構

(c) ベクトルプロセッサの利用

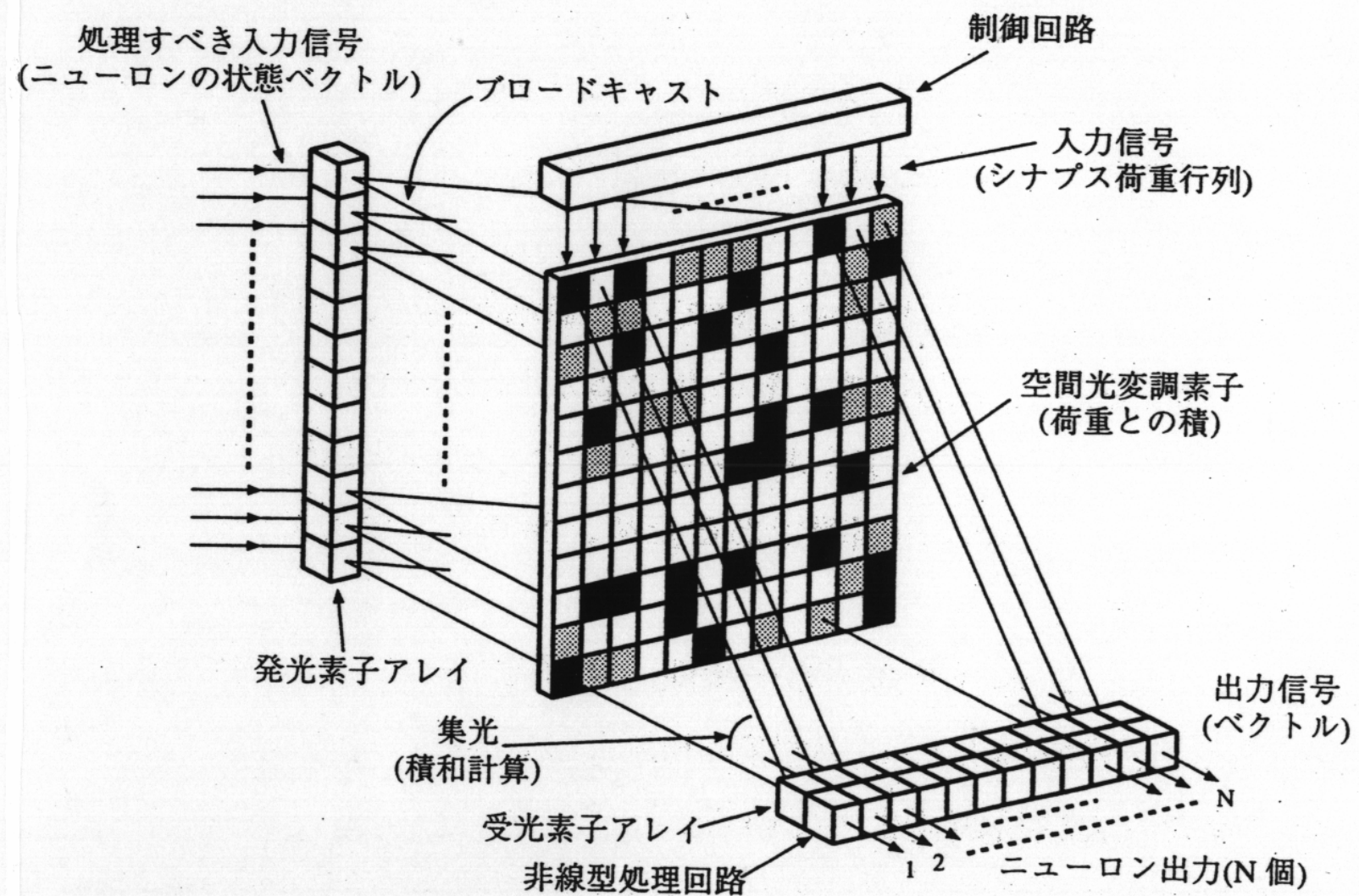


図 6.50 光方式によるニューラルネットワーク (太田, 新田, 久間: 「光電子共存型ニューラルネットワーク」, 情報処理, Vol. 35, No. 6, pp. 543-545 (1994))

(d) ニューロチップ

(e) マルチプロセッサ

マルチプロセッサの利用

- ・ テストパターン並列

m 個のテストパターンを Pp 台の大プロセッサに均等
に分割

一定回数のテストパターンを実行の後、各大プロセ
ッサは重みの交換

重み交換の周期：テストパターンによる収束速度に
大きな影響

- ・層内並列処理

1台の大プロセッサで層をPs台の小プロセッサに分
割し、並列処理

各層間：同一の小プロセッサで分担

- ・層間パイプライン

各層にPs台の小プロセッサを割り付け、各層間でパ
イプライン処理

層内並列処理のみ (NP)

K層をN台の小プロセッサで並列に処理

1つのテストパターンごとに重みの変更

テストパターン並列のみ (TSP)

N組にテストパターンを分割

一定周期で各プロセッサの重みを平均

テストパターン並列と層内並列の組み合せ (2APC)

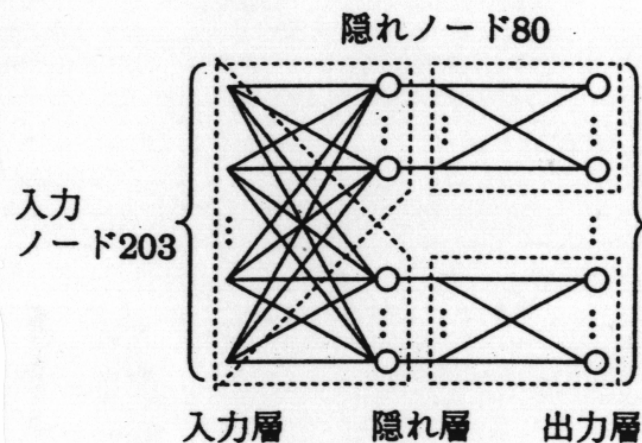
$N = P_p \times P_s$ であり、最適な P_p, P_s の組み合せが期待できる。

テストパターン並列、層間パイプラインの

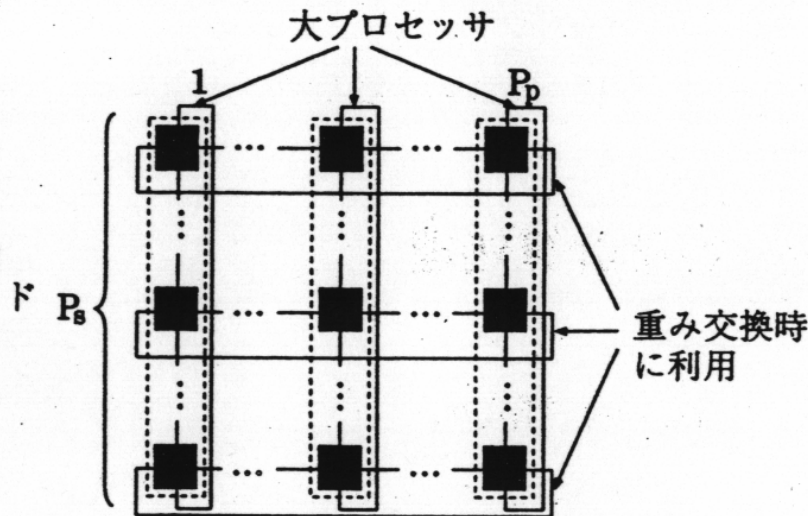
組合せ (3APC)

$N = P_p \times P_s \times L$ であり、最適な P_p, P_s の組み合せが

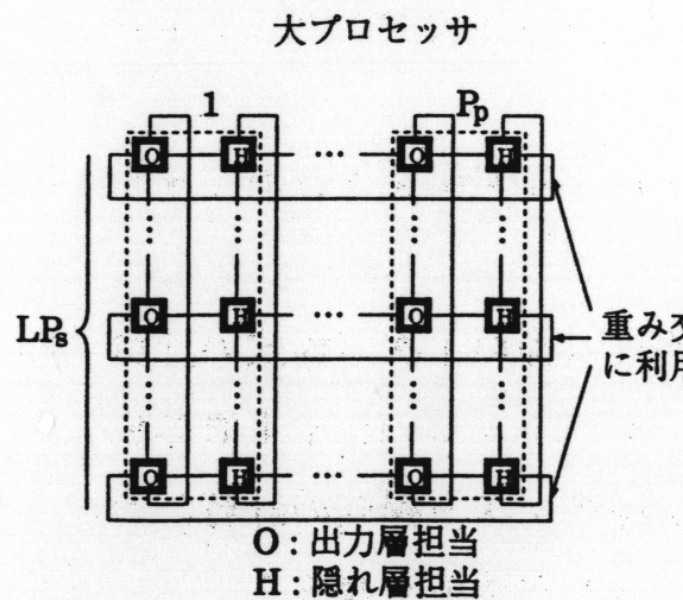
期待できる。



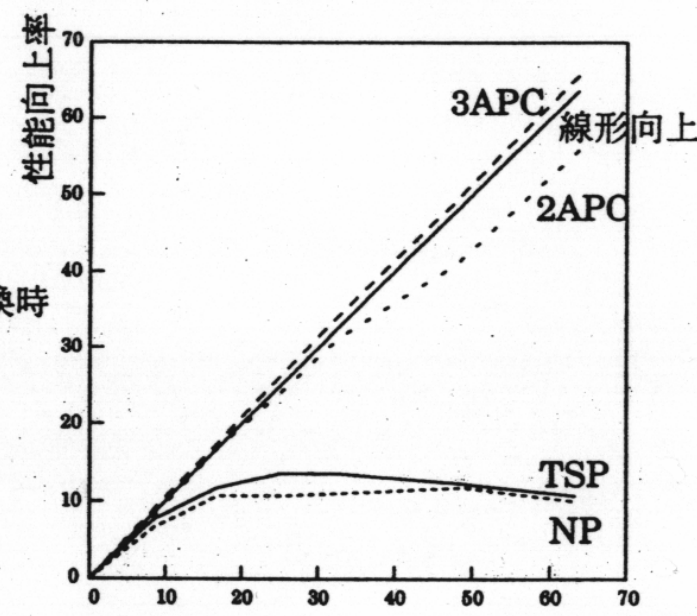
(a) NETtalk 問題



(b) テストパターン並列と層内並列の組合せ
(2APC)



(c) テストパターン並列と層間
パイプラインの組合せ(3APC)



(d) 性能向上率

6.7 数値計算処理

6.7.1 基本的なベクトル

演算と行列計算

A:行列 a_{ij}

下三角行列 L

上三角行列 U

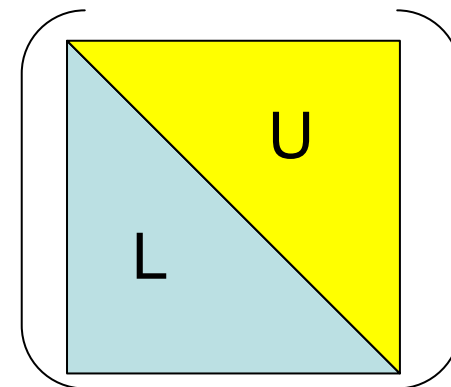
転置行列 A^T a_{ji}

単位行列 I

逆行列 A^{-1} : $AA^{-1}=I$ 、A:正則行列

列ベクトル a

行ベクトル a^T



直交ベクトル: $a_i^T a_j = 0$

ベクトル和: $z = ax + y$

行列とベクトル積: $z = Ax$

行列積: $C = AB$

$$c_{ij} = \sum_k a_{ik} b_{kj}$$

I, J, Kの3重ループ構造

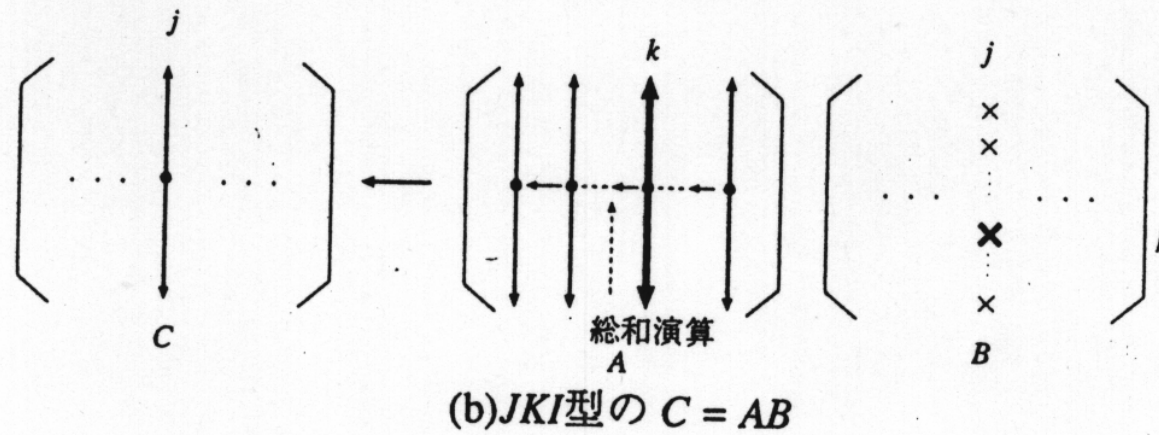
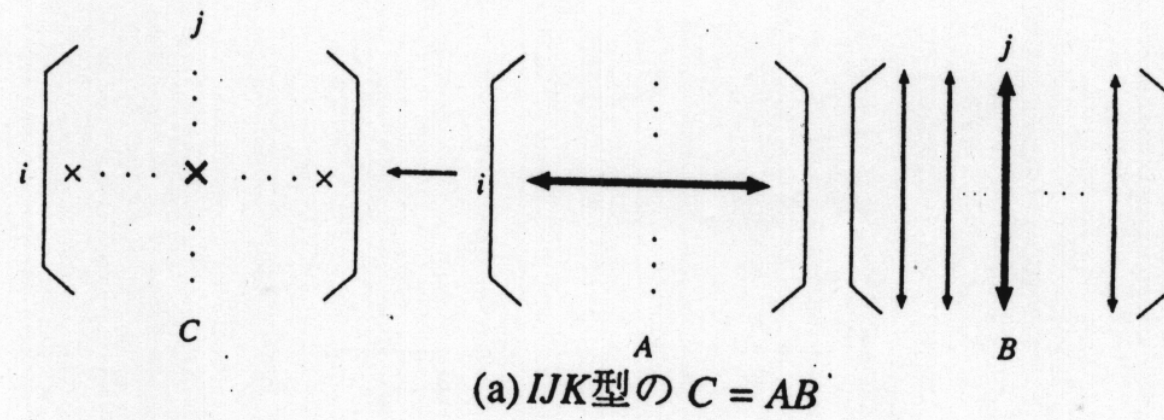
IJK, JIK, KIJ, KJI, IKJ, JKIの6通り

ば、IJK では、

```
DO 10 I=1, N
    DO 20 J=1, N
        C(I, J)=0.0
        DO 30 K=1, N
            C(I, J)=C(I, J)+A(I, K) * B(K, J)      (6.74)
        30 CONTINUE
    20 CONTINUE
    10 CONTINUE
```

また、JKI では

```
DO 10 J=1, N
    DO 20 I=1, N
        C(I, J)=0, 0
    20 CONTINUE
    DO 30 K=1, N
        DO 40 I=1, N
            C(I, J)=C(I, J)+A(I, K) * B(K, J)      (6.75)
        40 CONTINUE
    30 CONTINUE
    10 CONTINUE
```



← : ベクトル

× : スカラ

太線 : 最内ループ

図 6.52 $C=AB$ 計算におけるメモリアクセス
パターン

6.7.2 1 次方程式の直接解法

$$Ax=b$$

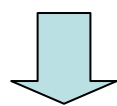
(1) ガウス消去法

前進消去

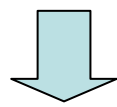
計算量： n が大きいとき、 $n^3/3$ の乗算、 $n^3/3$ の加算

後退代入：加算、乗算 $n^2/2$

$$\begin{aligned}
 X_1 + X_2 + X_3 &= 6 \\
 2X_1 + 3X_2 + 4X_3 &= 20 \\
 X_1 + 4X_2 - 2X_3 &= 3
 \end{aligned}$$



$$\begin{aligned}
 X_1 + X_2 + X_3 &= 6 \\
 X_2 + 2X_3 &= 8 \\
 3X_2 - 3X_3 &= -3
 \end{aligned}$$



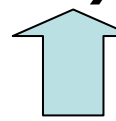
$$\begin{aligned}
 X_1 + X_2 + X_3 &= 6 \\
 X_2 + 2X_3 &= 8 \\
 9X_3 &= 27
 \end{aligned}$$

前進消去

$$\begin{aligned}
 X_1 + 2 + 3 &= 6 \\
 X_2 &= 2 \\
 X_3 &= 3
 \end{aligned}$$



$$\begin{aligned}
 X_1 + X_2 + 3 &= 6 \\
 X_2 + 6 &= 8 \\
 X_3 &= 3
 \end{aligned}$$



$$\begin{aligned}
 X_1 + X_2 + X_3 &= 6 \\
 X_2 + 2X_3 &= 8 \\
 X_3 &= 3
 \end{aligned}$$

後退代入

$$a_{1\ 1}^1 x_1 + a_{1\ 2}^1 x_2 + \cdots + a_{1\ n}^1 x_n = b_1^1$$

$$a_{2\ 1}^1 x_1 + a_{2\ 2}^1 x_2 + \cdots + a_{2\ n}^1 x_n = b_2^1$$

...

$$a_{n-1\ 1}^1 x_1 + a_{n-1\ 2}^1 x_2 + \cdots + a_{n-1\ n}^1 x_n = b_{n-1}^1$$

$$a_{n\ 1}^1 x_1 + a_{n\ 2}^1 x_2 + \cdots + a_{n\ n}^1 x_n = b_n^1$$

$$a_{11}^1 x_1 + a_{12}^1 x_2 + \cdots + a_{1n}^1 x_n = b_1^1$$

$$a_{22}^2 x_2 + \cdots + a_{2n}^2 x_n = b_2^2$$

⋮

$$a_{n-12}^2 x_2 + \cdots + a_{n-1n}^2 x_n = b_{n-1}^2$$

$$a_{n2}^2 x_2 + \cdots + a_{nn}^2 x_n = b_n^2$$

上式で $i, j \geq 2$ に対して

$$a_{ij}^2 = a_{ij}^1 - a_{i1}^1 a_{1j}^1 / a_{11}^1$$

$$b_i^2 = b_i^1 - a_{i1}^1 b_1^1 / a_{11}^1$$

である。一般に分解($k-1$)

$$a_{1,1}^1 x_1 + a_{1,2}^1 x_2 + \cdots + a_{1,n}^1 x_n = b_1^1$$

$$a_{2,2}^2 x_2 + \cdots + a_{2,n}^2 x_n = b_2^2$$

⋮

$$a_{k-1,k-1}^{k-1} x_{k-1} + \cdots + a_{k-1,n}^{k-1} x_n = b_{k-1}^{k-1}$$

$$a_{k,k-1}^{k-1} x_{k-1} + \cdots + a_{k,n}^{k-1} x_n = b_k^{k-1}$$

⋮

$$a_{n,k-1}^{k-1} x_{k-1} + \cdots + a_{n,n}^{k-1} x_n = b_n^{k-1}$$

を用いて、分解 k ($i, j \geq k$)

$$a_{i,j}^k = a_{ij}^{k-1} - a_{i,k-1}^{k-1} a_{k-1,j}^{k-1} / a_{k-1,k-1}^{k-1}$$

$$b_i^k = b_i^{k-1} - a_{i,k-1}^{k-1} b_{k-1}^{k-1} / a_{k-1,k-1}^{k-1}$$

を得る。これを $k=n$ まで繰り返すと、

を得る。これを $k=n$ まで繰り返すと、

$$a_{1,1}^1 x_1 + a_{1,2}^1 x_2 + \cdots + a_{1,n}^1 x_n = b_1^1$$

$$a_{2,2}^2 x_2 + \cdots + a_{2,n}^2 x_n = b_2^2$$

⋮

$$a_{n-1,n-1}^{n-1} x_{n-1} + a_{n,n}^{n-1} x_n = b_n^{n-1}$$

$$a_{n,n}^n x_n = b_n^n$$

$n-1$

$$\sum_{l=1}^{n-1} l^2 = n(n-1)(2n-1) / 6$$

(2) LU分解

$$A=LU$$

$$Ax=b \rightarrow Ly=b, Ux=y$$

外積形式ガウス法

内積形式ガウス法

クラウト法

図 6.53 k 行要素の他行への加算操作

A

$$\alpha_{ik}$$

A α_{ik} をk行に掛けてi行に加算」

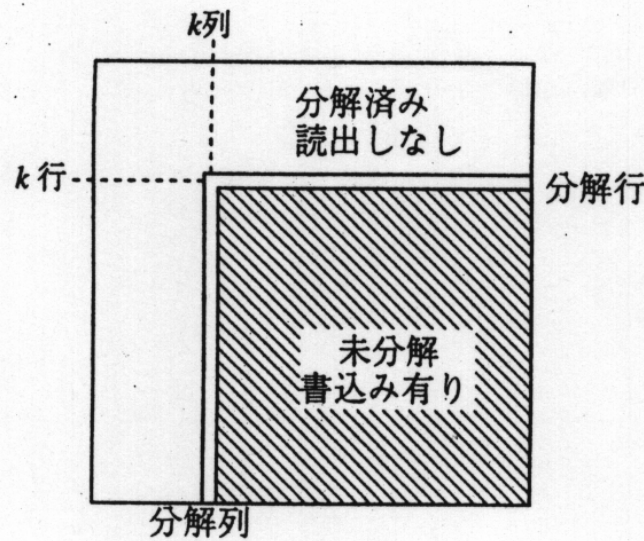
$$L_{n-1} L_{n-2} \cdots L_2 L_1 A x = U x \quad (6.84)$$

$$L_{n-1} L_{n-2} \cdots L_2 L_1 = L_{n-1} + L_{n-2} + \cdots + L_2 + L_1 - (n-2)E = L^{-1}$$

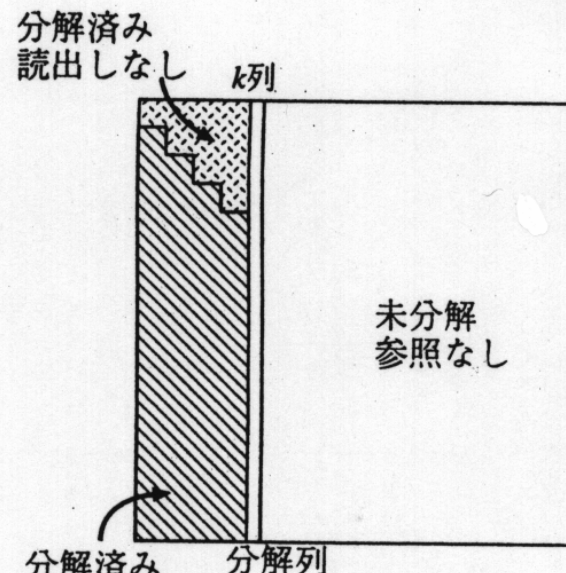
となる。また、

$$\begin{aligned} L &= (L_{n-1} L_{n-2} \cdots L_1)^{-1} = L_1^{-1} L_2^{-1} \cdots L_{n-1}^{-1} \\ &= L_1^{-1} + L_2^{-1} + \cdots + L_{n-1}^{-1} - (n-2)E \end{aligned} \quad (6.85)$$

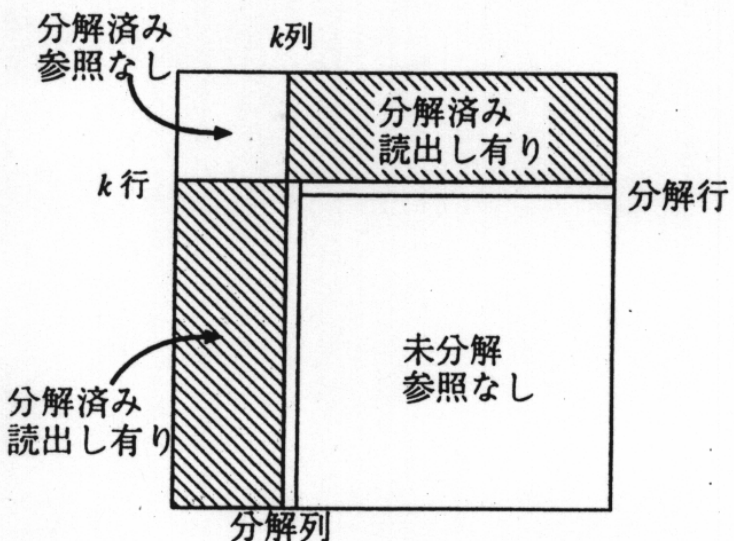
L_i^{-1} : L_i の非対角要素の符号反転したもの



(a) 外積形式ガウス法



(b) 内積形式ガウス法



(c) クラウト法

図 6.54 LU 分解におけるメモリ参照

(b) 内積形式ガウス法

$$\begin{bmatrix} a_{11} & a_{12} & \cdots & a_{1n} \\ a_{21} & a_{22} & \cdots & a_{2n} \\ a_{31} & a_{32} & \cdots & a_{3n} \\ \cdots & & & \\ a_{n1} & a_{n2} & \cdots & a_{nn} \end{bmatrix} = \begin{bmatrix} 1 & & & \\ l_{21} & 1 & & 0 \\ l_{31} & l_{32} & 1 & \\ & \cdots & & \ddots \\ l_{n1} & l_{n2} & \cdots & 1 \end{bmatrix} \begin{bmatrix} u_{11} & u_{12} & \cdots & u_{1n} \\ u_{21} & u_{22} & \cdots & u_{2n} \\ u_{31} & u_{32} & \cdots & u_{3n} \\ \cdots & & & \\ u_{n1} & u_{n2} & \cdots & u_{nn} \end{bmatrix}$$

$$\textcircled{1} u_{11} = a_{11}$$

② $|_{21}u_{11}=a_{21}, |_{31}u_{11}=a_{31}, \dots, |_{n1}u_{11}=a_{n1}$ 並列

$$③ u_{12} = a_{12}, l_{21}u_{12} + u_{22} = a_{22} \text{ 逐次}$$

$$④ l_{31}u_{12} + l_{32}u_{22} = a_{32}, l_{41}u_{12} + l_{42}u_{22} = a_{42}, \dots, l_{n1}u_{12} + l_{n2}u_{22} = a_{n2} \text{ 並列}$$

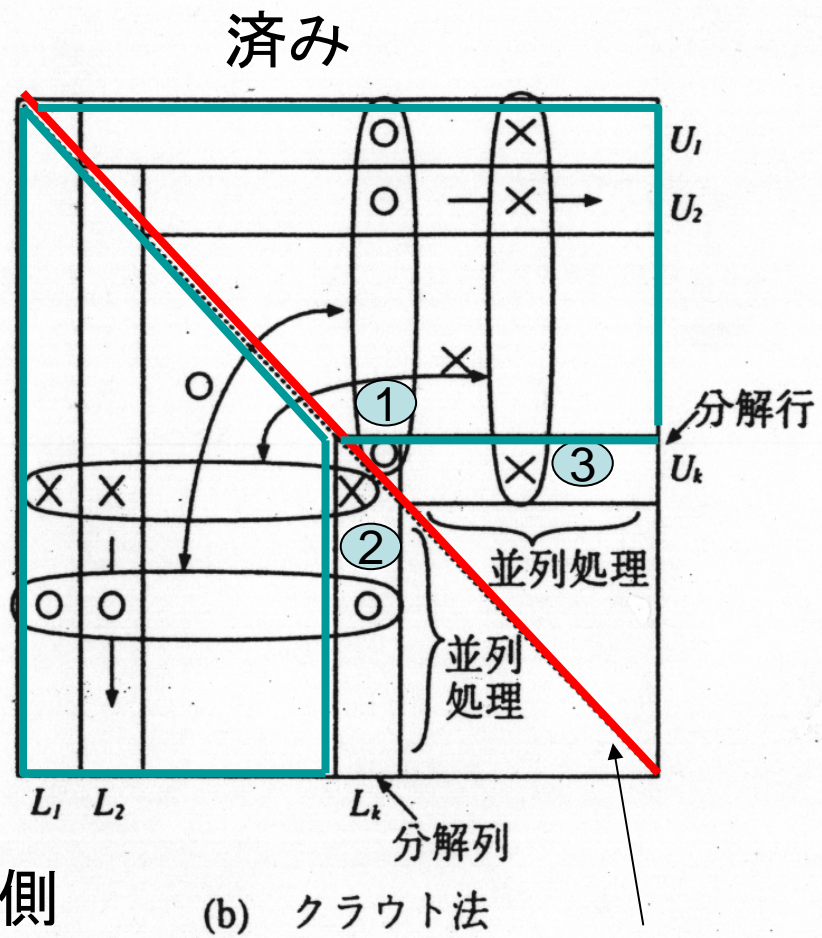
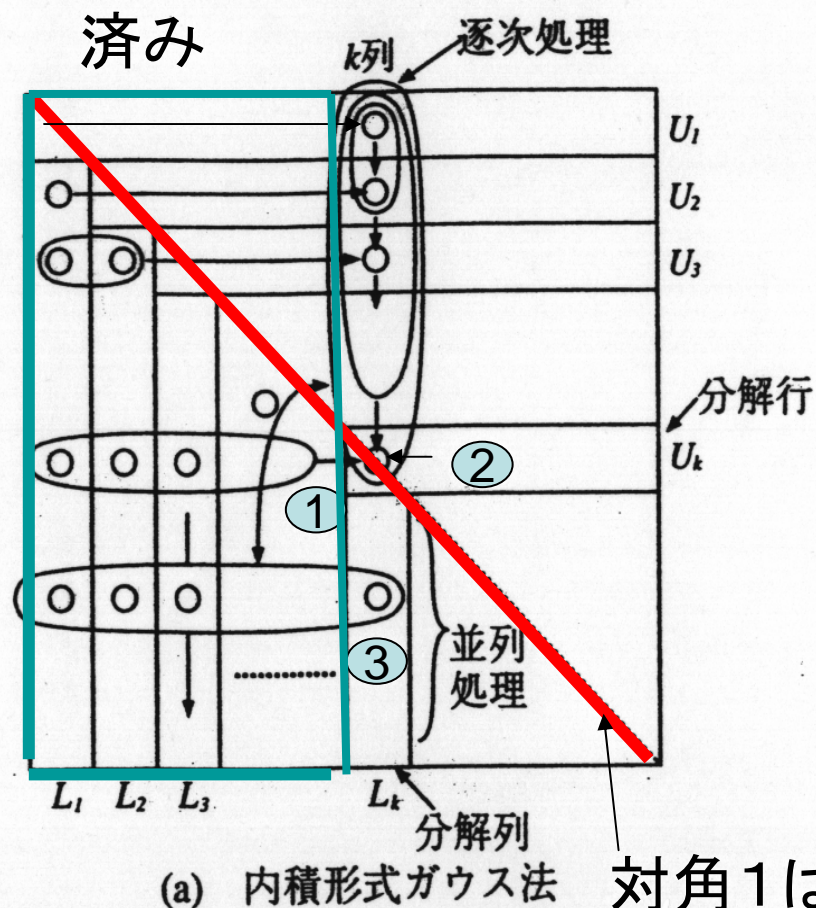


図 6.55 内積形式ガウス法とクラウト法

対角1はU側

(c) クラウト法

クラウト法では U の対角要素が 1 に設定されている。

$$\begin{bmatrix} a_{11} & a_{12} & \cdots & a_{1n} \\ a_{21} & a_{22} & \cdots & a_{2n} \\ a_{31} & a_{32} & \cdots & a_{3n} \\ \vdots & & & \\ a_{n1} & a_{n2} & \cdots & a_{nn} \end{bmatrix} = \begin{bmatrix} l_{11} & & & \\ l_{21} & l_{22} & & 0 \\ l_{31} & l_{32} & l_{33} & \\ & \ddots & & \\ l_{n1} & l_{n2} & \cdots & l_{nn} \end{bmatrix} \begin{bmatrix} 1 & u_{12} & \cdots & u_{1n} \\ 1 & u_{23} & \cdots & u_{2n} \\ & \ddots & & \\ 0 & & \ddots & \\ & & & 1 \end{bmatrix}$$

$$l_{11}=a_{11}, l_{21}=a_{21}, \dots, l_{n1}=a_{n1} \quad \text{第1列}$$

$$l_{11}u_{12}=a_{12}, l_{11}u_{13}=a_{13}, \dots, l_{11}u_{1n}=a_{1n} \quad \text{第1行}$$

ガウス消去法の計算時間

逐次処理で計算量: $O(n^3)$

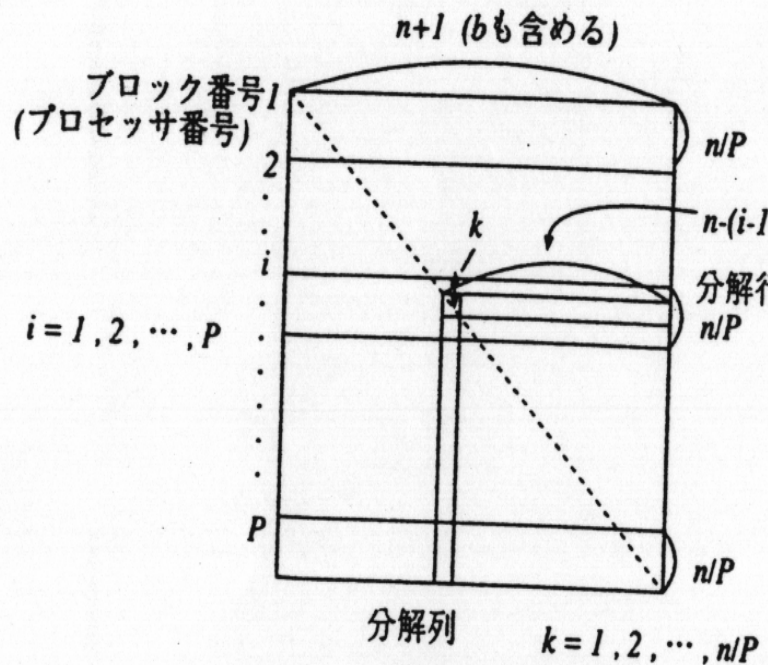
ベクトルプロセッサの場合

式(81)より $k=1$ から $n-1$ に対してベクトル長($n-k+1$)の演算を $(n-k)$ 回行なえばよい。

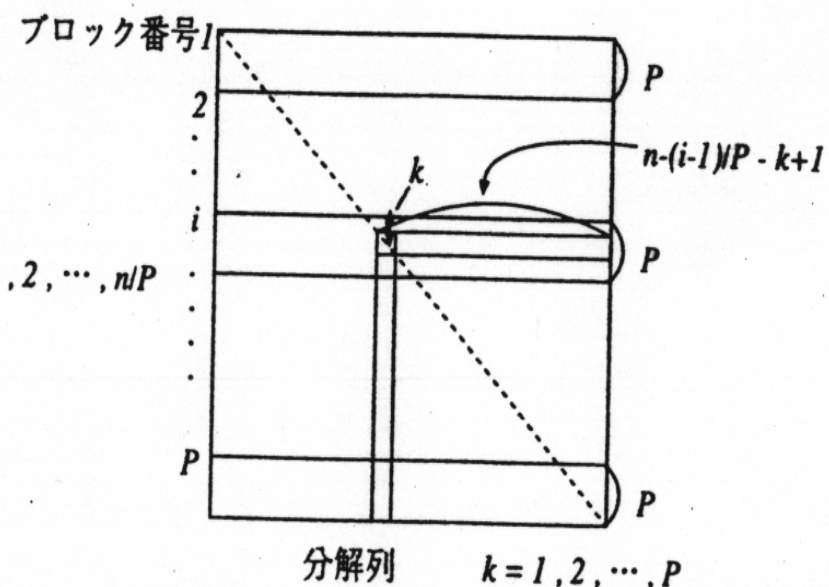
$$\sum_{k=1}^{n-1} k^2 = \sum_{k=1}^{n-1} (n-k)^2 = n(n-1)(2n-1)/6 \quad (94)$$

$$T_{vf} = 2\tau_v \sum_{k=1}^{n-1} (N_{1/2} + n - k + 1) (n - k) = \tau_v (N_{1/2} n^2 + 2n^3/3)$$

②マルチプロセッサ(Block, *)



(a) ブロック分割



(b) サイクリック分割

図 6.56 並列ガウス消去法

A : 行方向に P 個のブロックに分割

n, P : 大

- 粗粒度の場合

n/P : 大

各プロセッサ : n/P の行ブロックが格納

P_i に割り当てられた k 番目の行を分解することを考え
る。手順は、

(i) $P_i (1 \leq i \leq P-1)$ の k 番目の行要素 (b も含める) を $P_k (k > i)$ のプロセッサにプロードキャストする。転送
量は $(n - (i-1)n/P - k+1)$

である。

(iii) P_k では P_i から転送された各要素を用いて
式(81)の計算を n/P 行分行なう。計算量は

$$\begin{aligned} & 2(n/P) \sum_{i=1}^{P-1} \sum_{k=1}^{n/P} (n - (i-1)n/P - k+1) \\ & = (n/P)^2 (P-1) (n+n/P+1) \\ & \quad n^3 (1/P+1/P^2) \end{aligned} \quad (96)$$

(iii) 分解行が P_p となると、他のプロセッサは処理をすべて終えているので、 P_p の処理時間は

$$\begin{aligned} & 2 \sum_{k=1}^{n/P-1} (n - (P-1)n/P - k+1) (n/P - k) \\ & \quad 2/3 (n/P)^3 \end{aligned} \quad (97)$$

式(96)と式(97)より計算時間は

$$n^3(1/P + 1/P^2 + 2/(3P^3)) \quad (98)$$

また、ブロードキャスト時間 T_b を

$$T_b = aT_L + b\mathfrak{m} \quad (99)$$

としよう。ここで、 T_L はブロードキャストされたデータの最初の要素が到着するまでの時間(レイテンシ)であり、 \mathfrak{m} はデータ転送量である。a、bは演算時間を1としたときの相対値である。

転送時間：

$$\sum_{i=1}^{P-1} \sum_{k=1}^{n/P} (aT_L + b(n - (i-1)n/P - k + 1))$$

$$anT_L + bn^2/2 \quad (100)$$

逐次処理の場合（計算量は $2/3n^3$ ）と比較したスピードアップは

$$2P / (3(1+P(aT_L/n^2+b/(2n)))) \quad (101)$$

・ 細粒度の場合

極端な場合： $n=P$ の場合

式(96)と式(100)より、 $n=P$ として、

計算 $2\sum_{i=1}^{P-1} (P-i+1) = P^2$

通信 $\sum_{i=1}^{P-1} (aT_L + b(P-i+1))$

$$aPT_L + (b/2)P^2$$

(1 0 2)

スピードアップ率は

$$\begin{aligned} & (2/3)P^3 / \{P^2(1+b/2) + aPT_L\} \\ & = \{4 / (3(2+b))\}P / \{1 + 2(aT_L/P) / (2+b)\} \end{aligned}$$

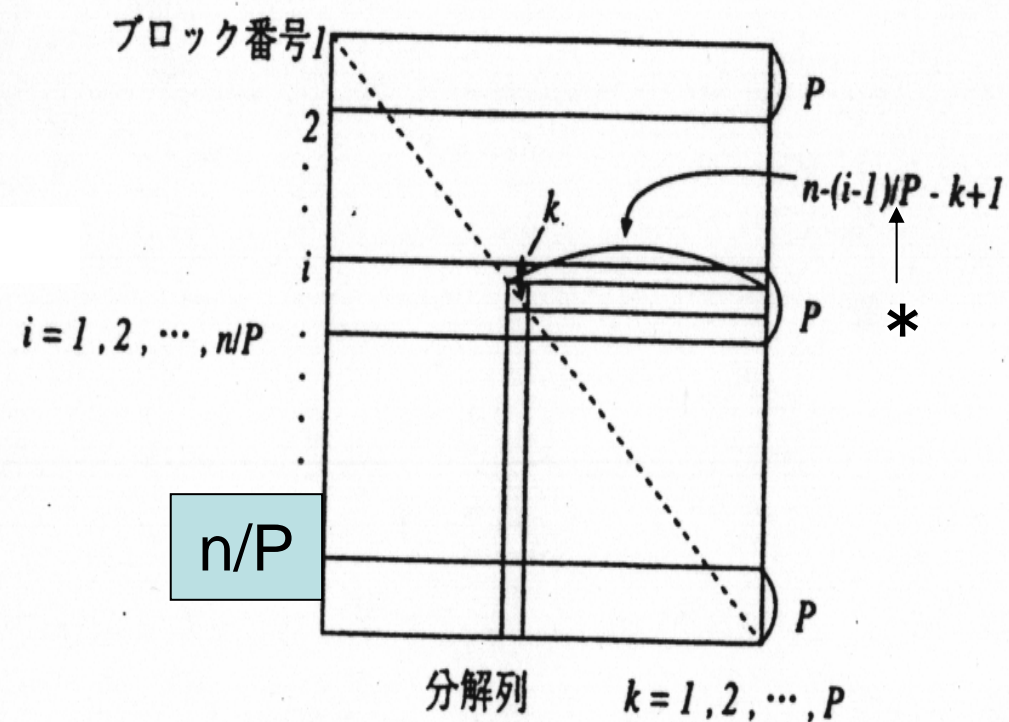
(1 0 3)

③(Cyclic, *)

分割の場合

- 粗粒度の場合

A: 行方向に
 n/P のブロックに分割
各ブロック: P 行



(b) サイクリック分割

各行を各プロセッサが担当

第*i*ブロックのプロセッサ P_k に割り当てられた行を
分解する場合

手順：

(i) P_k の行要素をすべてのプロセッサにブロードキャ
ストする。転送量は

$$(n - (i-1)P - k + 1)$$

である。ただし、 $i=1, 2, \dots, n/P$, $k=1, 2, \dots, P$ である。

(ii) 各プロセッサでは P_k から転送された各要素を用
いて式 (81) の計算を行なう。各プロセッサでは行

の分解をする必要があるので、計算量は

$$2 \sum_{i=1}^{n/P} \sum_{k=1}^P (n - (i-1)P - k + 1) (n/P - i + 1) \\ 2n^3/3P \quad (104)$$

データ転送量は式(100)と同一であるので、スピードアップ率は

$$P / (1 + 3P/2(aT_L/n^2 + b/(2n))) \quad (105)$$

・細粒度の場合

(Block, *)の場合と同一となる。

6. 7. 3 反復法

$$Ax = b$$

緩和法

陽解法 左辺計算後、右辺に代入

$$\begin{matrix} & k+1 & & k \\ x & \cdot & Sx & \cdot & g \end{matrix}$$

陰解法 右辺計算後、直接法で x^{k+1} 解く

$$\begin{matrix} & k+1 & & k \\ A & x & \cdot & Bx & \cdot & b \end{matrix}$$

共役勾配法

汎関数の最小化問題に置換え

(1) ヤ コ ピ 法

$$x^{k+1} = D^{-1} \{ (D - A)x^k + b \}$$

並列処理可能

$$x_i = \frac{1}{a_{i,i}} \left(b_i - \sum_{j \neq i} a_{i,j} x_j \right)$$

x^k を放送

収束が遅く実用的にはX

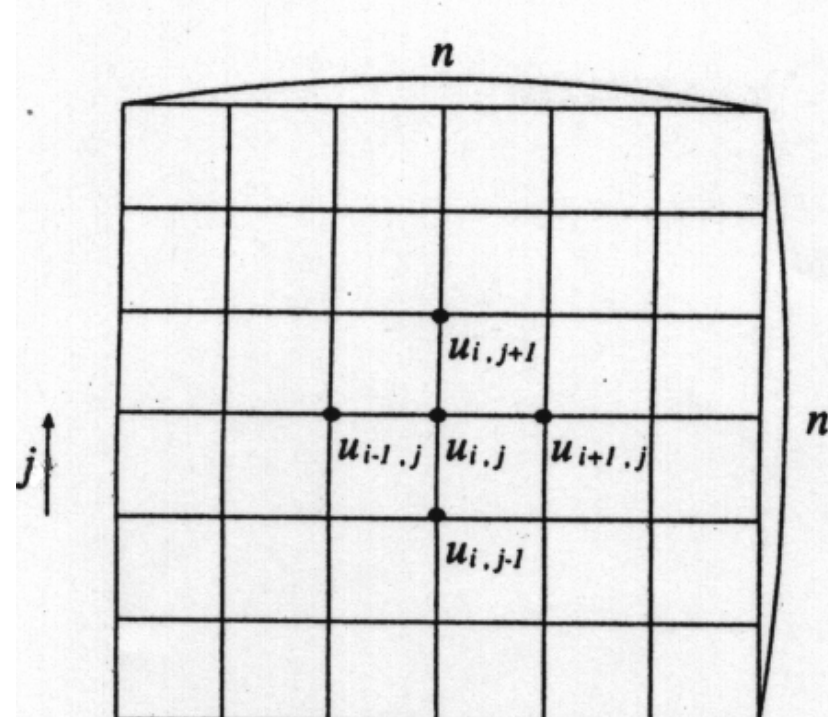
これより,

$$x_i^{k+1} = \frac{1}{a_{i,i}} \left(b_i - \sum_{j \neq i} a_{i,j} x_j^k \right)$$

ラプラス方程式

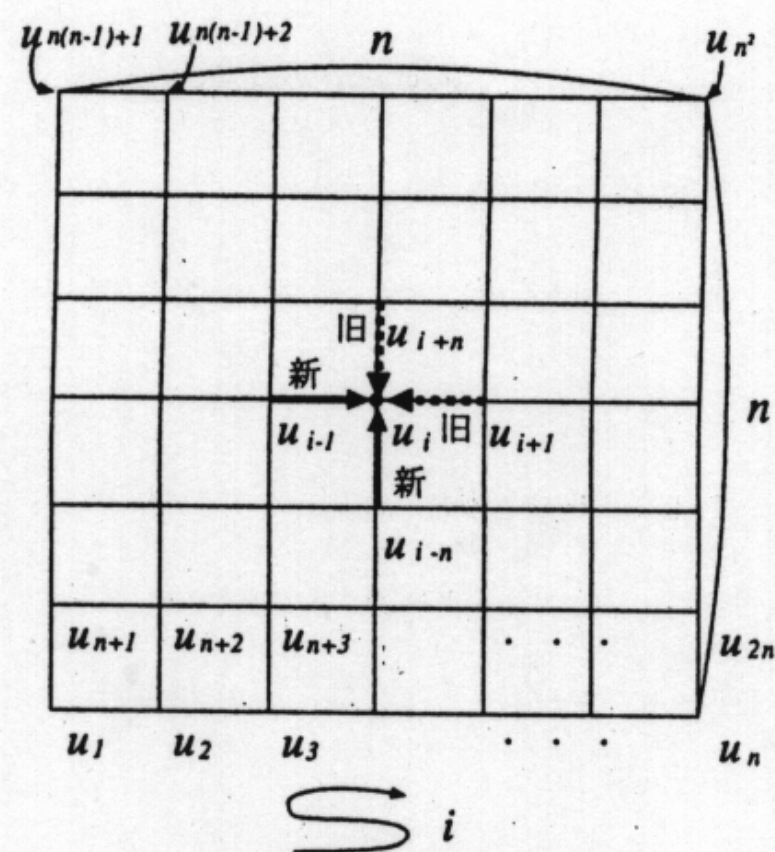
$$\nabla^2 u = \frac{\partial^2 u}{\partial x^2} + \frac{\partial^2 u}{\partial y^2} = 0$$

$$u_{ij} = (u_{i+1j} + u_{i-1j} + u_{ij+1} + u_{ij-1})/4$$



$$\vec{i} \rightarrow \nabla^2 u = \frac{\partial u^2}{\partial x^2} + \frac{\partial u^2}{\partial y^2} = 0$$

(a) 2次元番号付け



(b) 1次元番号付け

(2) ガウス-ザイデル法

(a) 基本アルゴリズム

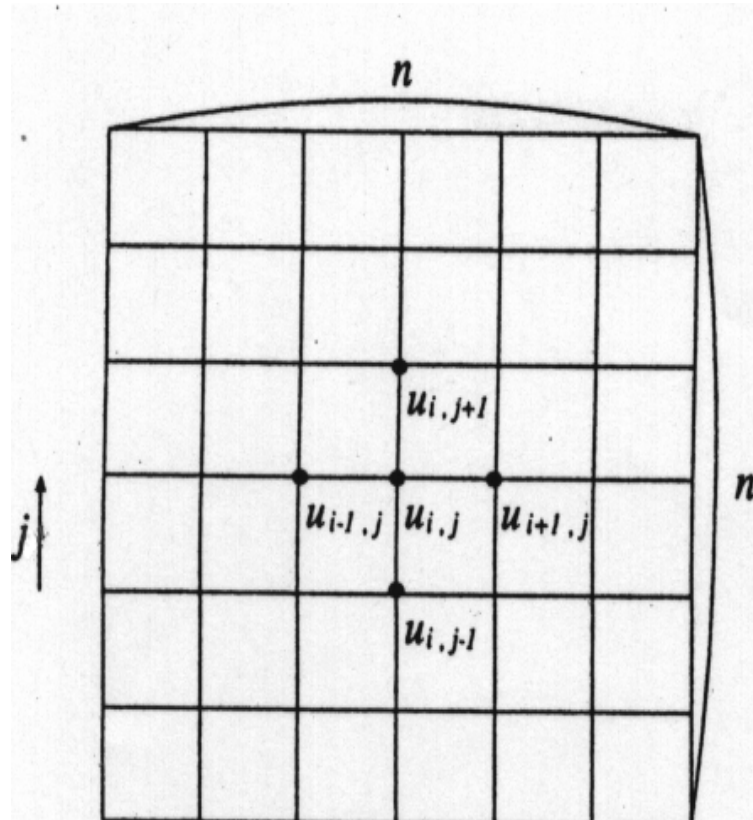
$$A = L + D + U$$

$$Dx = b - Lx - Ux$$

$$x^{k+1} = D^{-1}(b - Lx^{k+1} - Ux^k)$$

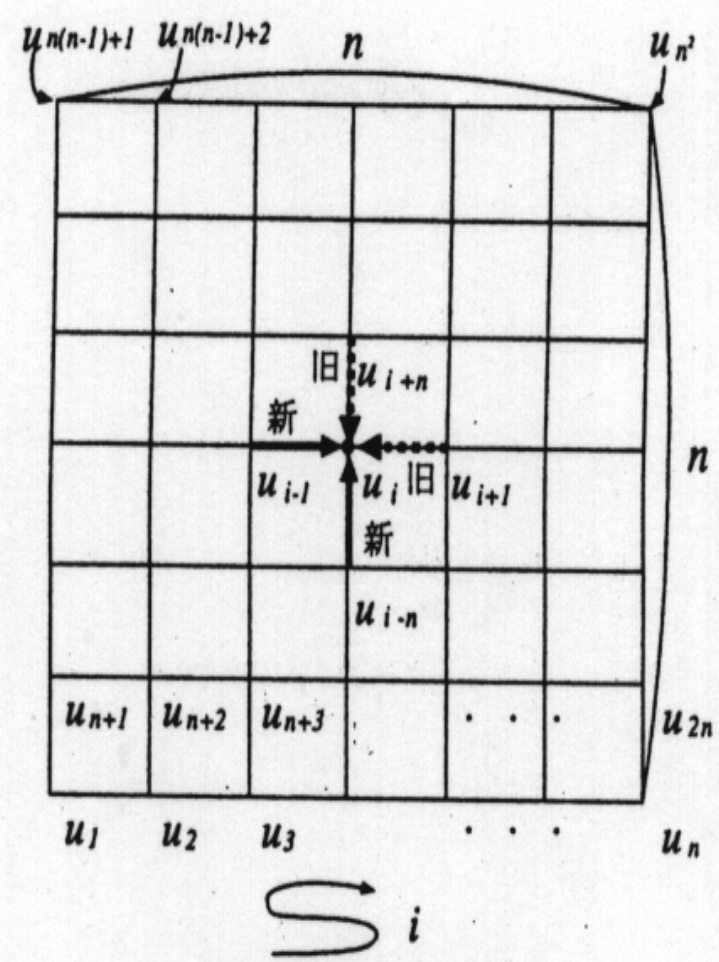
収束速いが逐次的

$$x_i^{k+1} = \frac{1}{a_{i,i}} \left(b_i - \sum_{j < i} a_{i,j} x_j^{k+1} - \sum_{j > i} a_{i,j} x_j^k \right)$$



$$\overrightarrow{i} \cdot \nabla^2 u = \frac{\partial u^2}{\partial x^2} + \frac{\partial u^2}{\partial y^2} = 0$$

(a) 2次元番号付け



(b) 1次元番号付け

(b) Red-Black 法

要素の入れ替えで並列処理できる場合あり

x の要素 x_i と x_j を入れ替える行列 P_{ij}

入替え行列 P

$$PP^T = I, P^T = P^{-1}$$

$$PAP^{-1}Px = Pb$$

$$Px = y, P_b = c$$

$$PAP^T = \begin{bmatrix} D_R & E \\ F & D_B \end{bmatrix}$$

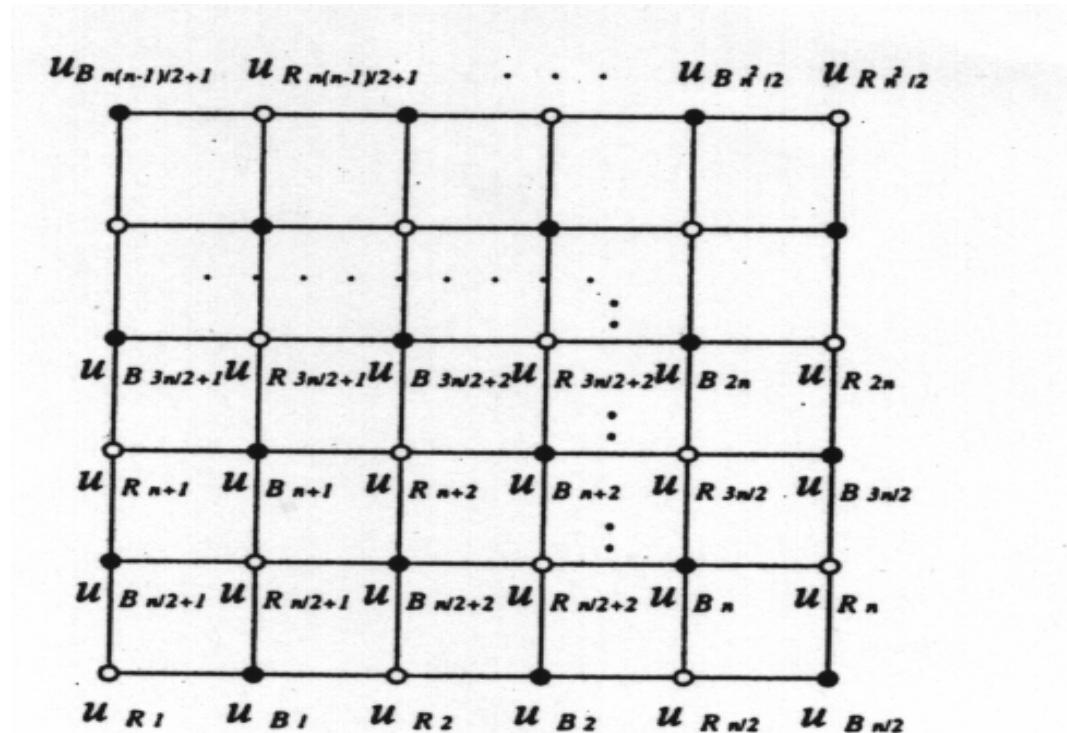
とすると

$$\begin{bmatrix} D_R & E \\ F & D_B \end{bmatrix} \begin{bmatrix} \mathbf{y}_R \\ \mathbf{y}_B \end{bmatrix} = \begin{bmatrix} \mathbf{C}_R \\ \mathbf{C}_B \end{bmatrix}$$

$$\left(\begin{array}{cccc|c} 1 & & & & & i\text{行} \\ & 1 & & & & \\ & & 0 & & 1 & \\ & & & 1 & & \\ & & & & 1 & \\ & & & & & 0 & j\text{行} \\ & & & & & & 1 \\ \hline & & & & & & \end{array} \right)$$

$$D_R y_R^{k+1} = C_R - E y_B^k$$

$$D_B y_B^{k+1} = C_B - F y_k^{k+1}$$



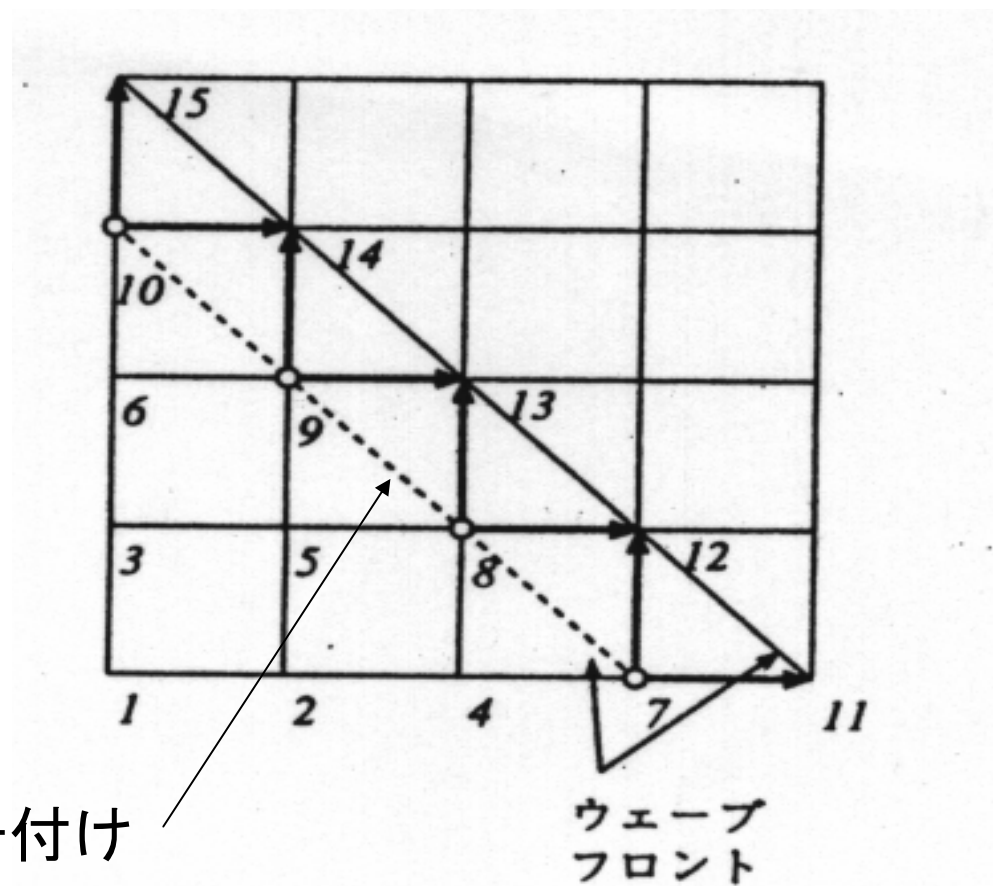
番号付け

○ : Red

● : Black

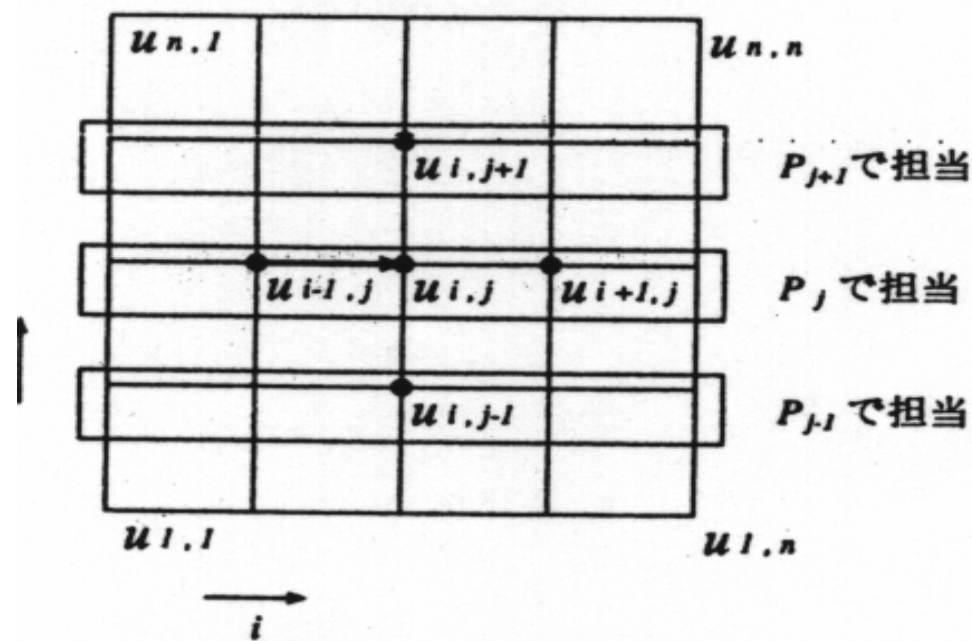
(c) Red-Black 法

(c) ウエーブフロント方式



(d) ウエーブフロント法

(d) 線ガウス-ザイデル
方式



(e) 線ガウス-ザイデル 法

(3) SOR法

$$x^{k+1} = (1 - \omega)x^k + \omega D^{-1}(b - Lx^{k+1} - Ux^k)$$

(4) ADI法：陰解法

(4) ADI法 [349]

図 6.57 に示すラプラス方程式を考える。ADI(Alternate Direction Implicit)法では、1回の反復を X 方向(I 方向)と Y 方向(J 方向)に分割して、それぞれを陰解法で解く。ラプラスの方程式を

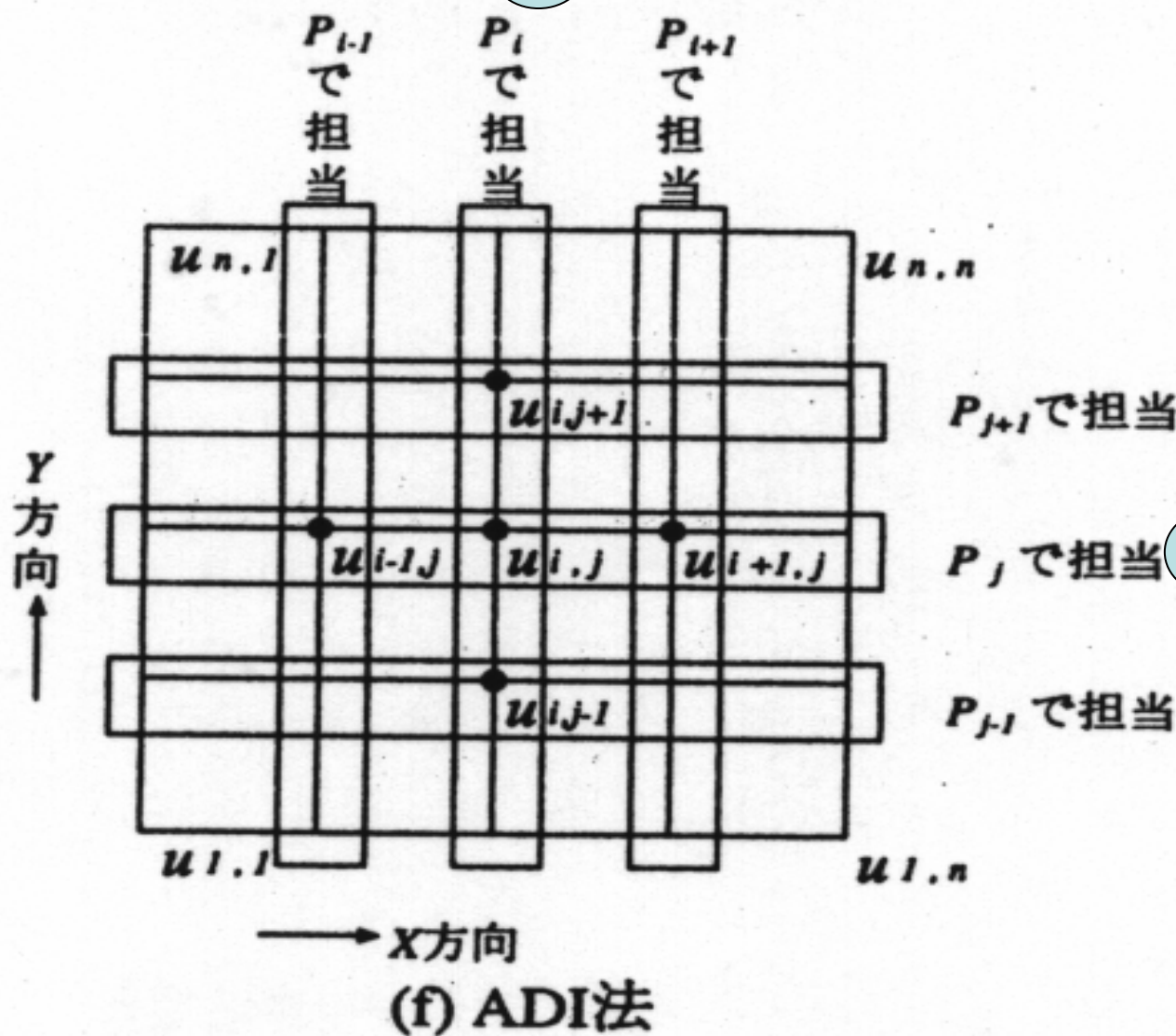
$$\begin{aligned} u_{i,j}^{k+1/2} &= u_{i,j}^k + (1/\alpha) (u_{i+1,j}^{k+1/2} + u_{i-1,j}^{k+1/2} - 2u_{i,j}^{k+1/2} + u_{i,j+1}^k + u_{i,j-1}^k - 2u_{i,j}^k) \\ u_{i,j}^{k+1} &= u_{i,j}^{k+1/2} + (1/\alpha) (u_{i,j+1}^{k+1} + u_{i,j-1}^{k+1} - 2u_{i,j}^{k+1/2} + u_{i+1,j}^{k+1/2} + u_{i-1,j}^{k+1/2} - 2u_{i,j}^{k+1/2}) \end{aligned} \quad (6.124 \text{ a})$$

で反復して解く。これより、

$$(\alpha + 2)u_{i,j}^{k+1/2} - u_{i+1,j}^{k+1/2} - u_{i-1,j}^{k+1/2} = (\alpha - 2)u_{i,j}^k + u_{i,j+1}^k + u_{i,j-1}^k \quad (6.124 \text{ b})$$

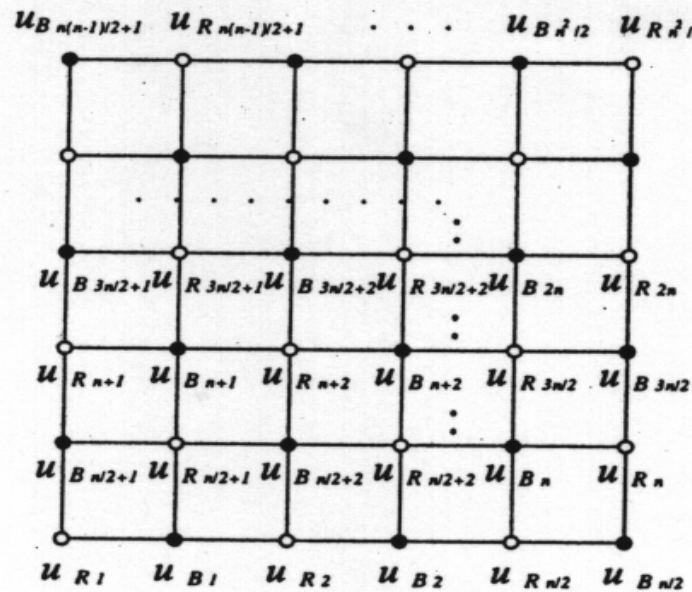
$$(\alpha + 2)u_{i,j}^{k+1} - u_{i,j+1}^{k+1} - u_{i,j-1}^{k+1} = (\alpha - 2)u_{i,j}^{k+1/2} + u_{i+1,j}^{k+1/2} + u_{i-1,j}^{k+1/2} \quad (6.124 \text{ c})$$

2

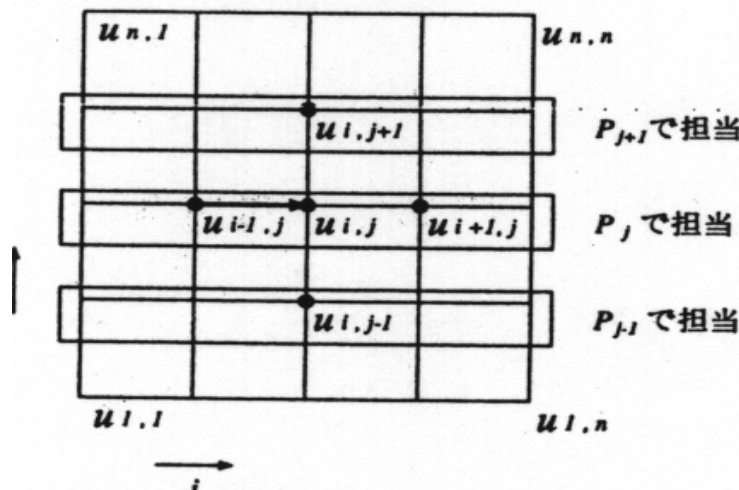


1

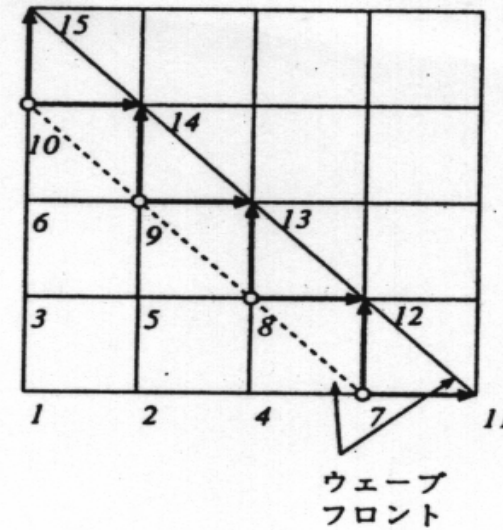
j



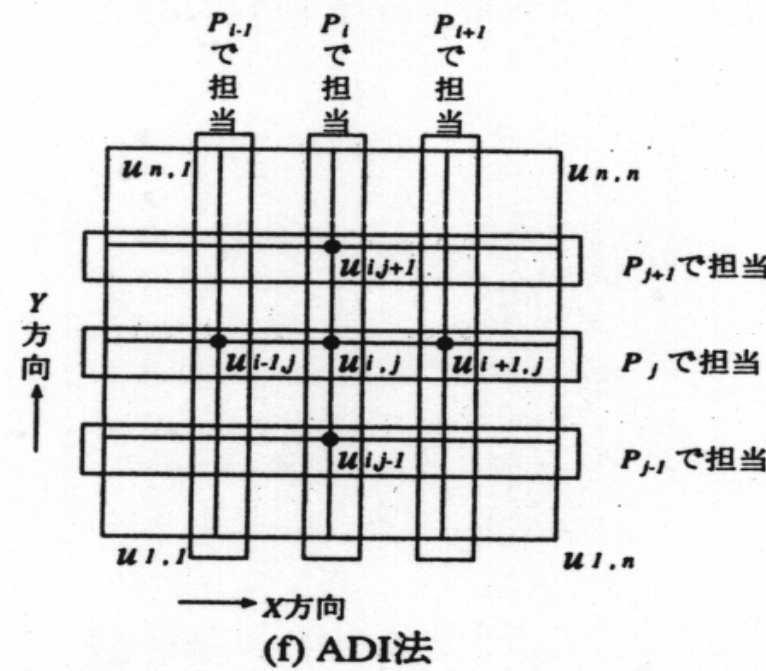
(c) Red-Black 法



(e) 線ガウス-ザイデル 法



(d) ウエーブフロント 法



(f) ADI 法

(5) 共役勾配法

行列A: 対称、正定値行列

$$x^T A x > 0$$

汎関数の最小化: 解を求める

$$F(x) = x^T A x - 2x^T b$$

$$F(x) = x^T A x - 2x^T b \quad (6.125)$$

を考える。共役勾配法では、 $F(x)$ を最小化する x を求めることが $Ax=b$ の解を求めることが同一になる、ことを利用する。まずこれを証明しよう。

[証明] 任意のベクトル h に対して

$$\begin{aligned} F(x+h) &= (x+h)^T A (x+h) - 2(x+h)^T b \\ &= F(x) + 2h^T (Ax - b) + h^T A h \end{aligned} \quad (6.126)$$

である。 A が対称行列であり、 $x^T A h = (Ax)^T h = h^T A x$ である。 $Ax=b$ なら、任意のベクトルに対して、 $h^T A h > 0$ より、

$$F(A^{-1}b+h) > F(A^{-1}b) \quad (6.127)$$

であるので、 $x=A^{-1}b$ で F は最小である。

また、 $F(x)$ が最小なら $Ax=b$ であることは、その対偶をとって、 $Ax \neq b$ なら、 $F(x)$ は最小でないことを示せばよい。

$r = Ax - b$ の非ゼロ要素を r_k 、 $h^T = (0, 0, \dots, h_k, \dots, 0)$ とすると、

$$F(x+h) - F(x) = 2h_k r_k + a_{kk} h_k^2 < 0$$

となるような h_k を採ることができます。したがって、 $F(x)$ は最小ではない。

Q. E. D.

さて, $F(x)$ の最小化問題を考えよう. x の反復を与える式として,

$$x^{k+1} = x^k + \alpha_k p_k \quad (6.128)$$

を考える. これを式(6.125)に代入すると, $A = A^T$ であるので,

$$F(x^{k+1}) = F(x^k) - 2\alpha_k p_k^T r_k + \alpha_k^2 p_k^T A p_k \quad (6.129)$$

ここで,

$$r_k = b - Ax^k \quad (6.130)$$

である. 式(6.129)を α_k についての 2 次式と見れば, これを最小化するのは

$$\alpha_k = p_k^T r_k / p_k^T A p_k \quad (6.131)$$

の場合である.

次に p_k を下記のように定める. まず, 相異なる p_i と p_j について, A 直交, すなわち,

$$p_i^T A p_j = 0 \quad F(x^{k+1}) - F(x^k) < p_k^T A p_k \left[\alpha_k - p_k^T r_k / (p_k^T A p_k) \right]^2 - \left(\frac{p_k^T r_k}{p_k^T A p_k} \right)^2 \quad (6.132)$$

となるようにする.

$$< - \left(\frac{p_k^T r_k}{p_k^T A p_k} \right)^2$$

また、

$$\mathbf{p}_{k+1} = \mathbf{r}_{k+1} + \beta_k \mathbf{p}_k \quad (6.133)$$

とすると、 A 直交性より

$$\mathbf{p}_{k+1}^T A \mathbf{p}_k = \mathbf{r}_{k+1}^T A \mathbf{p}_k + \beta_k \mathbf{p}_k^T A \mathbf{p}_k = 0 \quad (6.134)$$

であるので、

$$\begin{aligned} \beta_k &= -\mathbf{r}_{k+1}^T A \mathbf{p}_k / \mathbf{p}_k^T A \mathbf{p}_k & \mathbf{r}_{k+1} &= \mathbf{b} - A \mathbf{x}^{k+1} \\ & & &= \mathbf{b} - A(\mathbf{x}^k + \alpha_k \mathbf{p}_k) \end{aligned} \quad (6.135)$$

また、式(130)より

$$\mathbf{r}_{k+1} = \mathbf{r}_k - \alpha_k A \mathbf{p}_k \quad = \mathbf{r}_k - A \alpha_k \mathbf{p}_k \quad (6.136)$$

したがって以上より初期値を \mathbf{x}^0 とすると、 $\mathbf{p}_0 = \mathbf{r}_0 = \mathbf{b} - A \mathbf{x}^0$ であるので、プログラムは

$$\begin{aligned} \text{While } |\mathbf{r}_{k+1}| > \varepsilon \\ \alpha_k &= \mathbf{p}_k^T \mathbf{r}_k / \mathbf{p}_k^T A \mathbf{p}_k & (i) \\ \mathbf{x}^{k+1} &= \mathbf{x}^k + \alpha_k \mathbf{p}_k & (ii) \\ \mathbf{r}_{k+1} &= \mathbf{r}_k - \alpha_k A \mathbf{p}_k & (iii) \\ \beta_k &= -\mathbf{r}_{k+1}^T A \mathbf{p}_k / \mathbf{p}_k^T A \mathbf{p}_k & (iv) \\ \mathbf{p}_{k+1} &= \mathbf{r}_{k+1} + \beta_k \mathbf{p}_k & (v) \end{aligned} \quad (6.137)$$

となる。逐次処理では、(i)には $2n^2 + 4n$ 、(ii)から(v)にはそれぞれ $2n$ 時間必要となる。また、共役勾配法は反復回数 n で確実に収束することが理論的に保証されている。

逐次処理

(i)には $2n^2+4n$ 、(ii)から(v)にはそれぞれ $2n$ 時間必要となる。また、共役勾配法は反復回数nで確実に収束することが理論的に保証されている。

並列処理

A が密行列であり、粗粒度(n/P は大)の場合を考える。各プロセッサには行列 A 、ベクトル x^k 、 p_k 、 r_k の行ブロック(行数は n/p 。 P はプロセッサ台数)を担当させる場合(Block, *)を考える。上記プログラムの各文((i) - (v))について考える。

(i)

- Ap_k の処理

行列とベクトルの積である。各プロセッサから他のプロセッサに長さ n/P のデータのブロードキャストが必要である。H P F の項で述べたように通信と処理のオーバラップができれば理想であるが、ここではオーバラップはないものとする。式 (99) より、通信時間は

$$(aT_L + bn/P)P \quad (138)$$

計算時間は

$$2n^2/P$$

(1 3 9)

である。

- $p_k^T r_k$ と $p_k^T A p_k$ の処理

これは内積計算である。各プロセッサでの n / P 個のデータの積和時間は

$$4n/P$$

(1 4 0)

各プロセッサ内の結果のプロセッサ間での積和計算時間はトリー状に $\log P$ 段で計算されるとし、

$$cT_N \log P$$

(1 4 1)

と表されるとしよう。 T_N はプロセッサ間の平均通信時

間であり、 $\log P$ （ハイパキューブ）、 \sqrt{P} （トーラス）、
 P （リング）などと表されよう。

- a_k のプロードキャスト

転送時間は

$$(aT_L + b) \quad (142)$$

(i i)、(i i i)、(v)

各プロセッサで独立に処理できる。

計算時間は

$$6n/p \quad (143)$$

(IV)

- $r_{k+1}^T A p_k$ の処理

これはは内積計算である。

各プロセッサでの n / P 個のデータの積和時間は

$$2n/P \quad (144)$$

各プロセッサ内の結果の積和計算の時間は

$$cT_N \log P \quad (145)$$

- β_k のブロードキャスト

転送時間は

$$(aT_L + b) \quad (146)$$

逐次処理の場合には $(2n^2+12n)$ の時間がかかる。式
(138)から(145)より、
並列処理によるスピードアップは

$$P / \{1 + (aT_L/2)(P/n)^2 + (bP/2)/n + cT_N P \log P / n^2\}$$

(147)

である。CG法は並列処理に向いた方式といえる。